



Autorità di Sistema Portuale del Mare Adriatico Meridionale



PORTO DI BARI

REALIZZAZIONE DI DENTE DI ATTRACCO ALLA BANCHINA "CAPITANERIA" NELLA DARSENA INTERNA MOLO S. VITO

[CUP B91C18000160005]

DIRETTORE DEL DIPARTIMENTO TECNICO:
Ing. Francesco DI LEVERANO

GRUPPO DI LAVORO:

Ing. Paolo IUSCO (Progettista)

Ing. Eugenio PAGNOTTA (Collaboratore e CSP)

Davide BOASSO (Collaboratore parte grafica)

LIVELLO PROGETTUALE:

- FATTIB. TECNICO ECONOMICA
 DEFINITIVO
 ESECUTIVO

RESPONSABILE UNICO DEL PROCEDIMENTO:
Ing. Annunziata ATTOLICO

TITOLO ELABORATO:

**PROGETTO DELLE STRUTTURE
DEFINIZIONE STRUTTURA E MODELLO DI CALCOLO**

N. ELABORATO:

ST.2

NOME FILE:

DATA PRIMA EMISSIONE ED EVENTUALI REVISIONI:

18.04.2019

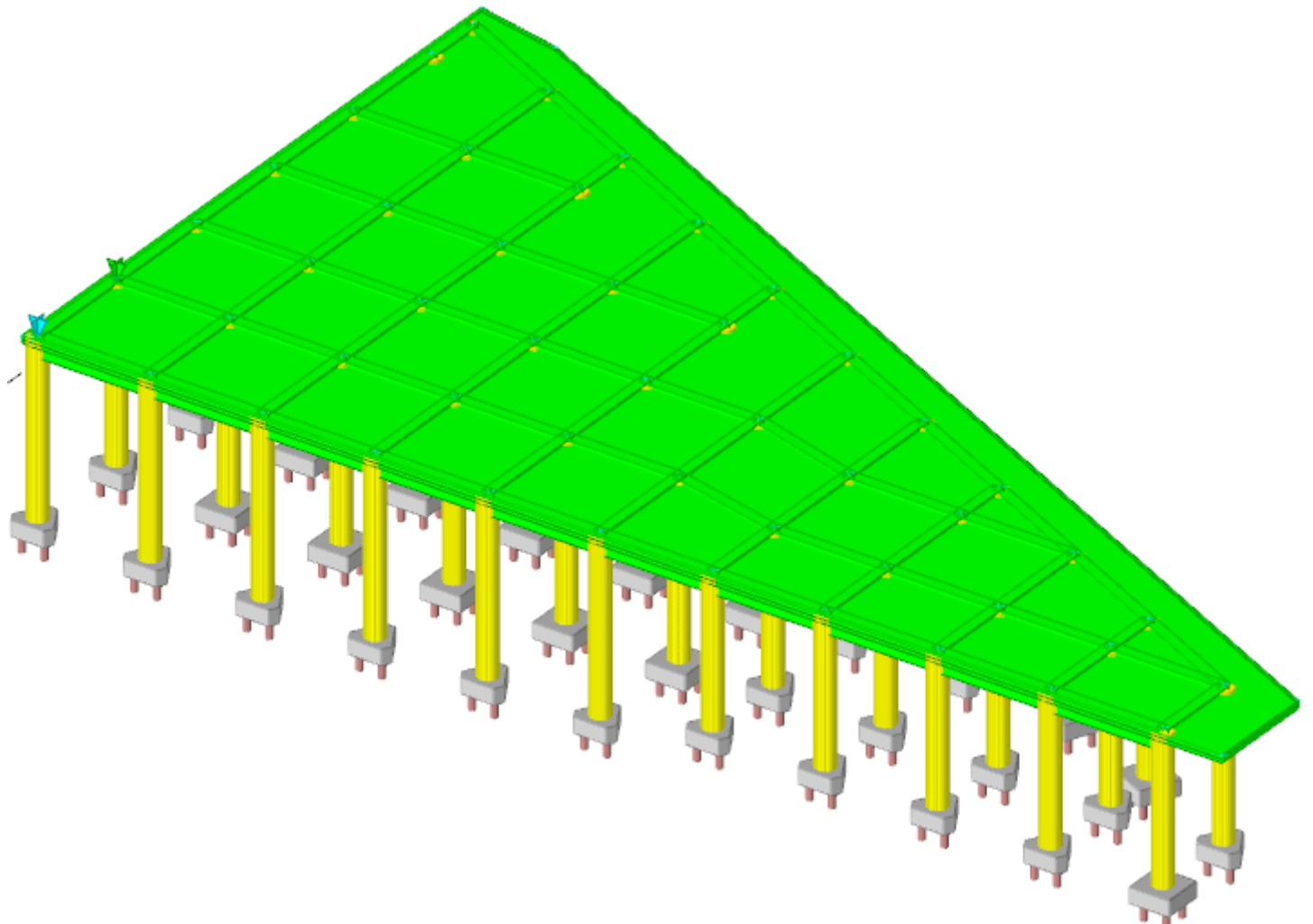
SCALA:

procedura di appalto integrato per la progettazione
esecutiva e per l'esecuzione dei lavori

**REALIZZAZIONE DI DENTE DI ATTRACCO ALLA BANCHINA "CAPITANERIA"
NELLA DARSENA INTERNA DEL PORTO DI BARI**

definizione della struttura e modello di calcolo

1 Rappresentazione generale dell'edificio



*Struttura
Vista assonometrica dell'edificio nella sua interezza*

2 Normative

D.M. LL. PP. 11-03-88

Norme Tecniche riguardanti le indagini sui terreni e sulle rocce, la stabilità dei pendii naturali e delle scarpate, i criteri generali e le prescrizioni per la progettazione, l'esecuzione ed il collaudo delle opere di sostegno delle terre e delle opere di fondazione.

Circolare Ministeriale del 24-07-88, n. 30483/STC.

Legge 02-02-74 n. 64, art. 1 - D.M. 11-03-88

Norme Tecniche riguardanti le indagini sui terreni e sulle rocce, la stabilità dei pendii naturali e delle scarpate, i criteri generali e le prescrizioni per la progettazione, l'esecuzione ed il collaudo delle opere di sostegno delle terre e delle opere di fondazione.

Norme Tecniche per le Costruzioni - D.M. 17-01-18

Sicurezza e prestazioni attese (cap.2), Azioni sulle costruzioni (cap.3), Costruzioni in calcestruzzo (par.4.1), Costruzioni in legno (par.4.4), Costruzioni in muratura (par.4.5), Progettazione geotecnica (cap.6), Progettazione per azioni sismiche (cap.7), Costruzioni esistenti (cap.8), Riferimenti tecnici (cap.12), EC3.

3 Descrizione del software

Descrizione del programma Sismicad

Si tratta di un programma di calcolo strutturale che nella versione più estesa è dedicato al progetto e verifica degli elementi in cemento armato, acciaio, muratura e legno di opere civili .Il programma utilizza come analizzatore e solutore del modello strutturale un proprio solutore agli elementi finiti tridimensionale fornito col pacchetto. Il programma è sostanzialmente diviso in tre moduli: un pre processore che consente l'introduzione della geometria e dei carichi e crea il file dati di input al solutore; il solutore agli elementi finiti; un post processore che a soluzione avvenuta elabora i risultati eseguendo il progetto e la verifica delle membrature e producendo i grafici ed i tabulati di output.

Specifiche tecniche

Denominazione del software: Sismicad 12.13

Produttore del software: Concrete

Concrete srl, via della Pieve, 15, 35121 PADOVA - Italy

<http://www.concrete.it>

Rivenditore: CONCRETE SRL - Via della Pieve 19 - 35121 Padova - tel.049-8754720

Versione: 12.13

Identificatore licenza: SW-8221895

Intestatario della licenza: AUTORITA' PORTUALE DI BARI - P.LE C. COLOMBO, 1 - BARI

Versone regolarmente licenziata

Schematizzazione strutturale e criteri di calcolo delle sollecitazioni

Il programma schematizza la struttura attraverso l'introduzione nell'ordine di fondazioni, poste anche a quote diverse, platee, platee nervate, plinti e travi di fondazione poggiante tutte su suolo elastico alla Winkler, di elementi verticali, pilastri e pareti in c.a. anche con fori, di orizzontamenti costituiti da solai orizzontali e inclinati (falde), e relative travi di piano e di falda; è ammessa anche l'introduzione di elementi prismatici in c.a. di interpiano con possibilità di collegamento in inclinato a solai posti a quote diverse. I nodi strutturali possono essere connessi solo a travi, pilastri e pareti, simulando così impalcati infinitamente deformabili nel piano, oppure a elementi lastra di spessore dichiarato dall'utente simulando in tal modo impalcati a rigidezza finita. I nodi appartenenti agli impalcati orizzontali possono essere connessi rigidamente ad uno o più nodi principali giacenti nel piano dell'impalcato; generalmente un nodo principale coincide con il baricentro delle masse. Tale opzione, oltre a ridurre significativamente i tempi di elaborazione, elimina le approssimazioni numeriche connesse all'utilizzo di elementi lastra quando si richiede l'analisi a impalcati infinitamente rigidi. Per quanto concerne i carichi, in fase di immissione dati, vengono definite, in numero a scelta dell'utente, condizioni di carico elementari le quali, in aggiunta alle azioni sismiche e variazioni termiche, vengono combinate attraverso coefficienti moltiplicativi per fornire le combinazioni richieste per le verifiche successive. L'effetto di disassamento delle forze orizzontali, indotto ad esempio dai torcenti di piano per costruzioni in zona sismica, viene simulato attraverso l'introduzione di eccentricità planari aggiuntive le quali costituiscono ulteriori condizioni elementari di carico da cumulare e combinare secondo i criteri del paragrafo precedente. Tipologicamente sono ammessi sulle travi e sulle pareti carichi uniformemente distribuiti e carichi trapezoidali; lungo le aste e nei nodi di incrocio delle membrature sono anche definibili componenti di forze e coppie concentrate comunque dirette nello spazio. Sono previste distribuzioni di temperatura, di intensità a scelta dell'utente, agenti anche su singole porzioni di struttura. Il calcolo delle sollecitazioni si basa sulle seguenti ipotesi e modalità: - travi e pilastri deformabili a sforzo normale, flessione deviata, taglio deviato e momento torcente. Sono previsti coefficienti riduttivi dei momenti di inerzia a scelta dell'utente per considerare la riduzione della rigidezza flessionale e torsionale per effetto della fessurazione del conglomerato cementizio. E' previsto un moltiplicatore della rigidezza assiale dei pilastri per considerare, se pure in modo approssimato, l'accorciamento dei pilastri per sforzo normale durante la costruzione. - le travi di fondazione su suolo alla Winkler sono risolte in forma chiusa tramite uno specifico elemento finito; - le pareti in c.a. sono analizzate schematizzandole come elementi lastra-piastre discretizzati con passo massimo assegnato in fase di immissione dati; - le pareti in muratura possono essere schematizzate con elementi lastra-piastre con spessore flessionale ridotto rispetto allo spessore membranale. - I plinti su suolo alla Winkler sono modellati con la introduzione di molle verticali elastoplastiche. La traslazione orizzontale a scelta dell'utente è bloccata o gestita da molle orizzontali di modulo di reazione proporzionale al verticale. - I pali sono modellati suddividendo l'asta in più aste immerse in terreni di stratigrafia definita dall'utente. Nei nodi di divisione tra le aste vengono inserite molle assialsimmetriche elastoplastiche precaricate dalla spinta a riposo che hanno come pressione minima la spinta attiva e come pressione massima la spinta passiva modificabile attraverso opportuni coefficienti. - i plinti su pali sono modellati attraverso aste di rigidezza elevata che collegano un punto della struttura in elevazione con le aste che simulano la presenza dei pali; - le piastre sono discretizzate in un numero finito di elementi lastra-piastre con passo massimo assegnato in fase di immissione dati; nel caso di platee di fondazione i nodi sono collegati al suolo da molle a venti rigidezza alla traslazione verticale ed richiesta anche orizzontale. - La deformabilità nel proprio piano di piani dichiarati non infinitamente rigidi e di falde (piani inclinati) può essere controllata attraverso la introduzione di elementi membranali nelle zone di solaio. - I disassamenti tra elementi asta sono gestiti automaticamente dal programma attraverso la introduzione di collegamenti rigidi locali. - Alle estremità di elementi asta è possibile inserire svincolamenti tradizionali così come cerniere parziali (che trasmettono una quota di ciò che trasmetterebbero in condizioni di collegamento rigido) o cerniere plastiche. - Alle estremità di elementi bidimensionali è possibile inserire svincolamenti con cerniere parziali del momento flettente avente come asse il bordo dell'elemento. - Il calcolo degli effetti del sisma è condotto, a scelta dell'utente, con analisi statica lineare, con analisi dinamica modale o con analisi statica non lineare, in accordo alle varie normative adottate. Le masse, nel caso di impalcati dichiarati rigidi sono concentrate nei nodi principali di piano altriimenti vengono considerate diffuse nei nodi giacenti sull'impalcato stesso. Nel caso di analisi sismica vengono anche controllati gli spostamenti di interpiano.

Verifiche delle membrature in cemento armato

Nel caso più generale le verifiche degli elementi in c.a. possono essere condotte col metodo delle tensioni ammissibili (D.M. 14-1-92) o agli stati limite in accordo al D.M. 09-01-96, al D.M. 14-01-08, al D.M. 17-01-18 o secondo Eurocodice 2. Le travi sono progettate e verificate a flessione retta e taglio; a richiesta è possibile la verifica per le sei componenti della sollecitazione. I pilastri ed i pali sono verificati per le sei componenti della sollecitazione. Per gli elementi bidimensionali giacenti in un medesimo piano è disponibile la modalità di verifica che consente di analizzare lo stato di verifica nei singoli nodi degli elementi. Nelle verifiche (a presso flessione e punzonamento) è ammessa la introduzione dei momenti di calcolo modificati in base alle direttive dell'EC2, Appendice A.2.8. I plinti superficiali sono verificati assumendo lo schema statico di mensole con incastri posti a filo o in asse pilastro. Gli ancoraggi delle armature delle membrature in c.a. sono calcolati sulla base della effettiva tensione normale che ogni barra assume nella sezione di verifica distinguendo le zone di ancoraggio in zone di buona o cattiva aderenza. In particolare il programma valuta la tensione normale che ciascuna barra può assumere in una sezione sviluppando l'aderenza sulla superficie cilindrica posta a sinistra o a destra della sezione considerata; se in una sezione una barra assume per effetto dell'aderenza una tensione normale minore di quella ammissibile, il suo contributo all'area complessiva viene ridotto dal programma nel rapporto tra la tensione normale che la barra può assumere per effetto dell'aderenza e quella ammissibile. Le verifiche sono effettuate a partire dalle aree di acciaio equivalenti così calcolate che vengono evidenziate in relazione. A seguito di analisi inelastiche eseguite in accordo a OPCM 3431 o D.M. 14-01-08, al D.M. 17-01-18 vengono condotte verifiche di resistenza per i meccanismi fragili (nodi e taglio) e verifiche di deformabilità per i meccanismi duttili.

4 Descrizione hardware

| | | |
|-------------------|--|-----------------|
| Processore | Intel(R) Xeon(R) CPU | E5430 @ 2.66GHz |
| Architettura | AMD64 | |
| Frequenza | 2666 MHz | |
| Memoria | 8,00 GB | |
| Sistema operativo | Microsoft Windows 7 Professional Service Pack 1 (64 bit) | |

5 Dati generali

5.1 Materiali

5.1.1 Materiali c.a.

Descrizione: descrizione o nome assegnato all'elemento.

Rck: resistenza caratteristica cubica; valore medio nel caso di edificio esistente. [daN/cm²]

E: modulo di elasticità longitudinale del materiale per edifici o materiali nuovi. [daN/cm²]

G: modulo di elasticità tangenziale del materiale, viene impiegato nella modellazione di aste e di elementi guscio a comportamento ortotropo. [daN/cm²]

v: coefficiente di Poisson. Il valore è adimensionale.

y: peso specifico del materiale. [daN/cm³]

α: coefficiente longitudinale di dilatazione termica. [°C-1]

| Descrizione | Rck | E | G | v | y | α |
|-------------|-----|--------|---------------------|-----|--------|---------|
| C35/45 | 450 | 346255 | Default (157388.57) | 0.1 | 0.0025 | 0.00001 |

5.1.2 Curve di materiali c.a.

Descrizione: descrizione o nome assegnato all'elemento.

Curva: curva caratteristica.

Reaz.traz.: reagisce a trazione.

Comp.frag.: ha comportamento fragile.

E.compr.: modulo di elasticità a compressione. [daN/cm²]

Incr.compr.: incrudimento di compressione. Il valore è adimensionale.

EpsEc: ε elastico a compressione. Il valore è adimensionale.

EpsUc: ε ultimo a compressione. Il valore è adimensionale.

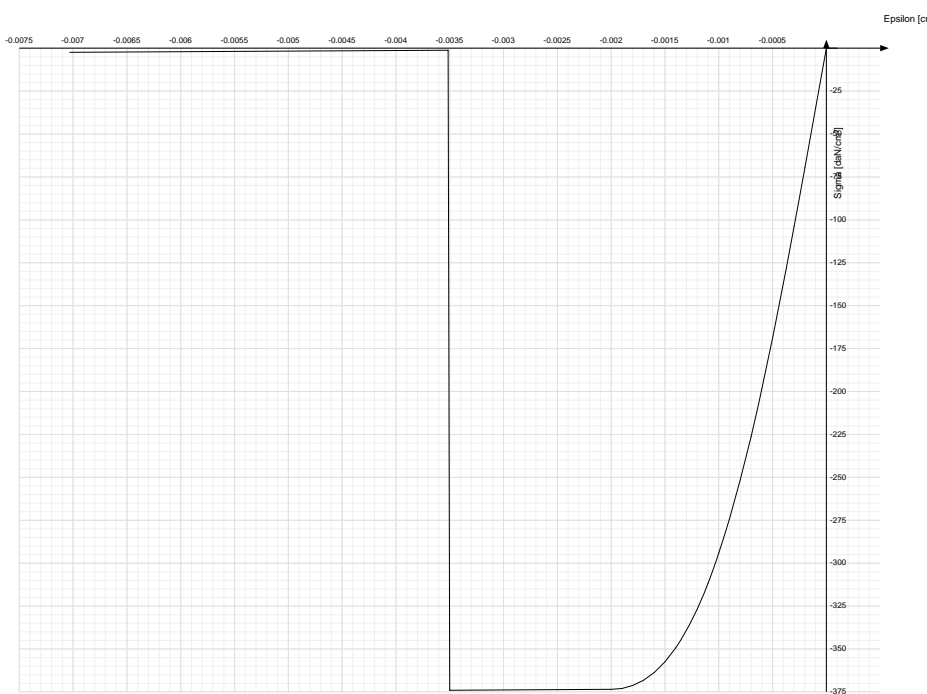
E.traz.: modulo di elasticità a trazione. [daN/cm²]

Incr.traz.: incrudimento di trazione. Il valore è adimensionale.

EpsEt: ε elastico a trazione. Il valore è adimensionale.

EpsUt: ε ultimo a trazione. Il valore è adimensionale.

| Curva | | | | | | | | | | | |
|-------------|------------|------------|-----------|-------------|--------|---------|-----------|------------|-----------|-----------|--|
| Descrizione | Reaz.traz. | Comp.frag. | E.compr. | Incr.compr. | EpsEc | EpsUc | E.traz. | Incr.traz. | EpsEt | EpsUt | |
| C35/45 | No | Si | 346254.85 | 0.001 | -0.002 | -0.0035 | 346254.85 | 0.001 | 0.0000678 | 0.0000745 | |



5.1.3 Armature

Descrizione: descrizione o nome assegnato all'elemento.

fyk: resistenza caratteristica. [daN/cm²]

σamm.: tensione ammissibile. [daN/cm²]

Tipo: tipo di barra.

E: modulo di elasticità longitudinale del materiale per edifici o materiali nuovi. [daN/cm²]

y: peso specifico del materiale. [daN/cm³]

v: coefficiente di Poisson. Il valore è adimensionale.**a:** coefficiente longitudinale di dilatazione termica. [$^{\circ}\text{C}-1$]**Livello di conoscenza:** indica se il materiale è nuovo o esistente, e in tal caso il livello di conoscenza secondo Circ.617 02/02/09 §C8A. Informazione impiegata solo in analisi D.M. 14-01-08 (N.T.C.) e D.M. 17-01-18 (N.T.C.).

| Descrizione | fyk | $\sigma_{amm.}$ | Tipo | E | v | v | α | Livello di conoscenza |
|--|------|-----------------|---------------------|---------|---------|-----|----------|-----------------------|
| B450C | 4500 | 2550 | Aderenza migliorata | 2060000 | 0.00785 | 0.3 | 0.000012 | Nuovo |
| FeB 44 k aderenza migliorata LC2 | 4300 | 2550 | Aderenza migliorata | 2060000 | 0.00785 | 0.3 | 0.000012 | LC2 (FC = 1,2) |

5.1.4 Acciai

5.1.4.1 Proprietà acciai base

Descrizione: descrizione o nome assegnato all'elemento.**E:** modulo di elasticità longitudinale del materiale per edifici o materiali nuovi. [daN/cm^2]**G:** modulo di elasticità tangenziale del materiale, viene impiegato nella modellazione di aste e di elementi guscio a comportamento ortotropo. [daN/cm^2]**v:** coefficiente di Poisson. Il valore è adimensionale.**y:** peso specifico del materiale. [daN/cm^3]**a:** coefficiente longitudinale di dilatazione termica. [$^{\circ}\text{C}-1$]

| Descrizione | E | G | v | v | α |
|-------------|---------|---------------------|-----|---------|----------|
| S235 | 2100000 | Default (807692.31) | 0.3 | 0.00785 | 0.000012 |

5.1.4.2 Proprietà acciai CNR 10011

Descrizione: descrizione o nome assegnato all'elemento.**Tipo:** descrizione per norma.**fy($s \leq 40$ mm):** resistenza di snervamento fy per spessori ≤ 40 mm. [daN/cm^2]**fy($s > 40$ mm):** resistenza di snervamento fy per spessori > 40 mm. [daN/cm^2]**fu($s \leq 40$ mm):** resistenza di rottura per trazione fu per spessori ≤ 40 mm. [daN/cm^2]**fu($s > 40$ mm):** resistenza di rottura per trazione fu per spessori > 40 mm. [daN/cm^2]**Prosp. Omega:** prospetto per coefficienti Omega. **$\sigma_{amm.}(s \leq 40$ mm):** $\sigma_{amm.}$ ammissibile per spessori ≤ 40 mm. [daN/cm^2] **$\sigma_{amm.}(s > 40$ mm):** $\sigma_{amm.}$ ammissibile per spessori > 40 mm. [daN/cm^2]**fd($s \leq 40$ mm):** resistenza di progetto fd per spessori ≤ 40 mm. [daN/cm^2]**fd($s > 40$ mm):** resistenza di progetto fd per spessori > 40 mm. [daN/cm^2]

| Descrizione | Tipo | fy($s \leq 40$ mm) | fy($s > 40$ mm) | fu($s \leq 40$ mm) | fu($s > 40$ mm) | Prosp. Omega | $\sigma_{amm.}(s \leq 40$ mm) | $\sigma_{amm.}(s > 40$ mm) | fd($s \leq 40$ mm) | fd($s > 40$ mm) |
|-------------|-------|---------------------|------------------|---------------------|------------------|--------------|-------------------------------|----------------------------|---------------------|------------------|
| S235 | FE360 | 2350 | 2150 | 3600 | 3400 | II | 1600 | 1400 | 2350 | 2100 |

5.1.4.3 Proprietà acciai CNR 10022

Descrizione: descrizione o nome assegnato all'elemento.**Tipo:** descrizione per norma.**fy:** resistenza di snervamento fy. [daN/cm^2]**fu:** resistenza di rottura fu. [daN/cm^2]**fd:** resistenza di progetto fd. [daN/cm^2]**Prospetto omega sag.fr.($s < 3$ mm):** prospetto coeff. omega per spessori < 3 mm.**Prospetto omega sag.fr.($s \geq 3$ mm):** prospetto coeff. omega per spessori ≥ 3 mm.**Prospecti σ crit. Eulero:** prospetti σ critiche euleriane.

| Descrizione | Tipo | fy | fu | fd | Prospetto omega sag.fr.($s < 3$ mm) | Prospetto omega sag.fr.($s \geq 3$ mm) | Prospecti σ crit. Eulero |
|-------------|-------|------|------|------|--------------------------------------|---|---------------------------------|
| S235 | FE360 | 2350 | 3600 | 2350 | b | c | I |

5.1.4.4 Proprietà acciai EC3

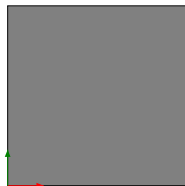
Descrizione: descrizione o nome assegnato all'elemento.**Tipo:** descrizione per norma.**fy($s \leq 40$ mm):** resistenza di snervamento fy per spessori ≤ 40 mm. [daN/cm^2]**fy($s > 40$ mm):** resistenza di snervamento fy per spessori > 40 mm. [daN/cm^2]**fu($s \leq 40$ mm):** resistenza di rottura per trazione fu per spessori ≤ 40 mm. [daN/cm^2]**fu($s > 40$ mm):** resistenza di rottura per trazione fu per spessori > 40 mm. [daN/cm^2]

| Descrizione | Tipo | fy($s \leq 40$ mm) | fy($s > 40$ mm) | fu($s \leq 40$ mm) | fu($s > 40$ mm) |
|-------------|------|---------------------|------------------|---------------------|------------------|
| S235 | S235 | 2350 | 2150 | 3600 | 3600 |

5.2 Sezioni

5.2.1 Sezioni C.A.

5.2.1.1 Sezioni rettangolari C.A.



Descrizione: descrizione o nome assegnato all'elemento.

Area Tx FEM: area di taglio in direzione X per l'analisi FEM. [cm²]

Area Ty FEM: area di taglio in direzione Y per l'analisi FEM. [cm²]

JxFEM: momento di inerzia attorno all'asse X per l'analisi FEM. [cm⁴]

JyFEM: momento di inerzia attorno all'asse Y per l'analisi FEM. [cm⁴]

JtFEM: momento d'inerzia torsionale corretto con il fattore di forma per l'analisi FEM. [cm⁴]

H: altezza della sezione. [cm]

B: larghezza della sezione. [cm]

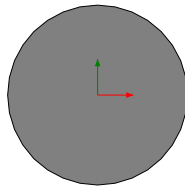
c.s.: copriferro superiore della sezione. [cm]

c.i.: copriferro inferiore della sezione. [cm]

c.l.: copriferro laterale della sezione. [cm]

| Descrizione | Area Tx FEM | Area Ty FEM | JxFEM | JyFEM | JtFEM | H | B | c.s. | c.i. | c.l. |
|-------------|-------------|-------------|---------|---------|---------|-----|----|------|------|------|
| R 60x60 | 3000 | 3000 | 1080000 | 1080000 | 1598400 | 60 | 60 | 5 | 5 | 5 |
| R 60x100 | 5000 | 5000 | 5000000 | 1800000 | 4478400 | 100 | 60 | 5.5 | 5.5 | 5.5 |
| R 60x40 | 2000 | 2000 | 320000 | 720000 | 742400 | 40 | 60 | 5.5 | 5.5 | 5.5 |

5.2.1.2 Sezioni circolari C.A.



Descrizione: descrizione o nome assegnato all'elemento.

Area Tx FEM: area di taglio in direzione X per l'analisi FEM. [cm²]

Area Ty FEM: area di taglio in direzione Y per l'analisi FEM. [cm²]

JxFEM: momento di inerzia attorno all'asse X per l'analisi FEM. [cm⁴]

JyFEM: momento di inerzia attorno all'asse Y per l'analisi FEM. [cm⁴]

JtFEM: momento d'inerzia torsionale corretto con il fattore di forma per l'analisi FEM. [cm⁴]

Diametro: diametro esterno della sezione. [cm]

Copriferro: copriferro riferito alla superficie esterna della sezione. [cm]

| Descrizione | Area Tx FEM | Area Ty FEM | JxFEM | JyFEM | JtFEM | Diametro | Copriferro |
|-------------------|-------------|-------------|------------|------------|------------|----------|------------|
| Circolare (D=100) | 7068.58 | 7068.58 | 4846019.67 | 4846019.67 | 9565500.71 | 100 | 5.5 |

5.2.1.3 Caratteristiche inerziali sezioni C.A.

Descrizione: descrizione o nome assegnato all'elemento.

Xg: ascissa del baricentro definita rispetto al sistema geometrico in cui sono definiti i vertici del poligono. [cm]

Yg: ordinata del baricentro definita rispetto al sistema geometrico in cui sono definiti i vertici del poligono. [cm]

Area: area inerziale nel sistema geometrico centrato nel baricentro. [cm²]

Jx: momento d'inerzia attorno all'asse orizzontale baricentrico di definizione della sezione. [cm⁴]

Jy: momento d'inerzia attorno all'asse verticale baricentrico di definizione della sezione. [cm⁴]

Jxy: momento centrifugo rispetto al sistema di riferimento baricentrico di definizione della sezione. [cm⁴]

Jm: momento d'inerzia attorno all'asse baricentrico principale M. [cm⁴]

Jn: momento d'inerzia attorno all'asse baricentrico principale N. [cm⁴]

a: angolo tra gli assi del sistema di riferimento geometrico di definizione e quelli del sistema di riferimento principale. [deg]

Area Tx FEM: area di taglio in direzione X per l'analisi FEM. [cm²]

Area Ty FEM: area di taglio in direzione Y per l'analisi FEM. [cm²]

JxFEM: momento di inerzia attorno all'asse X per l'analisi FEM. [cm⁴]

JyFEM: momento di inerzia attorno all'asse Y per l'analisi FEM. [cm⁴]

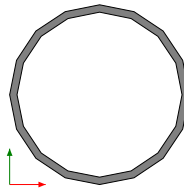
JtFEM: momento d'inerzia torsionale corretto con il fattore di forma per l'analisi FEM. [cm⁴]

| Descrizione | Xg | Yg | Area | Jx | Jy | Jxy | Jm | Jn | a | Area Tx FEM | Area Ty FEM | JxFEM | JyFEM | JtFEM |
|-------------------|----|----|---------|--------|--------|-----|--------|--------|---|-------------|-------------|---------|---------|---------|
| Circolare (D=100) | 0 | 0 | 7853.98 | 4.8E6 | 4.8E6 | 0 | 4.8E6 | 4.8E6 | 0 | 7068.58 | 7068.58 | 4.85E06 | 4.85E06 | 9.57E06 |
| R 60x60 | 30 | 30 | 3600 | 1.1E6 | 1.1E6 | 0 | 1.1E6 | 1.1E6 | 0 | 3000 | 3000 | 1080000 | 1080000 | 1598400 |
| R 60x100 | 30 | 50 | 6000 | 5.0E6 | 1.8E6 | 0 | 5.0E6 | 1.8E6 | 0 | 5000 | 5000 | 5000000 | 1800000 | 4478400 |
| R 60x40 | 30 | 20 | 2400 | 320000 | 720000 | 0 | 320000 | 720000 | 0 | 2000 | 2000 | 320000 | 720000 | 742400 |

5.2.2 Sezioni in acciaio

5.2.2.1 Profili singoli in acciaio

5.2.2.1.1 Tubi tondi



Descrizione: descrizione o nome assegnato all'elemento.

Sup.: superficie bagnata per unità di lunghezza. [mm]

Area Tx FEM: area di taglio in direzione X per l'analisi FEM. [mm²]

Area Ty FEM: area di taglio in direzione Y per l'analisi FEM. [mm²]

JxFEM: momento di inerzia attorno all'asse X per l'analisi FEM. [mm⁴]

JyFEM: momento di inerzia attorno all'asse Y per l'analisi FEM. [mm⁴]

JtFEM: momento d'inerzia torsionale corretto con il fattore di forma per l'analisi FEM. [mm⁴]

d: diametro del tondo. [mm]

s: spessore. [mm]

Categoria: categoria, basata sulla tecnologia costruttiva.

Formatura: tipo di formatura a freddo del sagomato.

| Descrizione | Sup. | Area Tx FEM | Area Ty FEM | JxFEM | JyFEM | JtFEM | d | s | Categoria | Formatura |
|------------------|-------|-------------|-------------|----------|----------|----------|-------|---|--------------------------------------|-----------|
| EN10219 193, 7x8 | 608.5 | 2233 | 2233 | 20155373 | 20155373 | 40310747 | 193.7 | 8 | Sagomato a freddo conforme UNI 10219 | A rullo |

5.2.2.2 Caratteristiche inerziali sezioni in acciaio

5.2.2.2.1 Caratteristiche inerziali principali sezioni in acciaio

Descrizione: descrizione o nome assegnato all'elemento.

Xg: coordinata X del baricentro. [cm]

Yg: coordinata Y del baricentro. [cm]

Area: area inerziale nel sistema geometrico centrato nel baricentro. [cm²]

Jx: momento d'inerzia attorno all'asse orizzontale baricentrico di definizione della sezione. [cm⁴]

Jy: momento d'inerzia attorno all'asse verticale baricentrico di definizione della sezione. [cm⁴]

Jxy: momento centrifugo rispetto al sistema di riferimento baricentrico di definizione della sezione. [cm⁴]

Jm: momento d'inerzia attorno all'asse baricentrico principale M. [cm⁴]

Jn: momento d'inerzia attorno all'asse baricentrico principale N. [cm⁴]

α X su M: angolo tra gli assi del sistema di riferimento geometrico di definizione e quelli del sistema di riferimento principale. [deg]

Jt: momento d'inerzia torsionale corretto con il fattore di forma. [cm⁴]

| Descrizione | Xg | Yg | Area | Jx | Jy | Jxy | Jm | Jn | α X su M | Jt |
|------------------|------|------|-------|---------|---------|-----|---------|---------|----------|---------|
| EN10219 193, 7x8 | 9.69 | 9.69 | 46.67 | 2015.54 | 2015.54 | 0 | 2015.54 | 2015.54 | 0 | 4031.07 |

5.2.2.2.2 Caratteristiche inerziali momenti sezioni in acciaio

Descrizione: descrizione o nome assegnato all'elemento.

ix: raggio di inerzia relativo all'asse x. [cm]

iy: raggio di inerzia relativo all'asse y. [cm]

im: raggio di inerzia relativo all'asse principale m. [cm]

in: raggio di inerzia relativo all'asse principale n. [cm]

Sx: momento statico relativo all'asse x. [cm³]

Sy: momento statico relativo all'asse y. [cm³]

Wx: modulo di resistenza elastico minimo relativo all'asse x. [cm³]

Wy: modulo di resistenza elastico minimo relativo all'asse y. [cm³]

Wm: modulo di resistenza elastico minimo relativo all'asse principale m. [cm³]

Wn: modulo di resistenza elastico minimo relativo all'asse principale n. [cm³]

Wpx: modulo di resistenza plastico relativo all'asse x. [cm³]

Wpy: modulo di resistenza plastico relativo all'asse y. [cm³]

| Descrizione | ix | iy | im | in | Sx | Sy | Wx | Wy | Wm | Wn | Wpx | Wpy |
|------------------|------|------|------|------|--------|--------|--------|--------|--------|--------|--------|--------|
| EN10219 193, 7x8 | 6.57 | 6.57 | 6.57 | 6.57 | 132.77 | 132.77 | 208.11 | 208.11 | 208.11 | 208.11 | 276.05 | 276.05 |

5.2.2.2.3 Caratteristiche inerziali taglio sezioni in acciaio

Descrizione: descrizione o nome assegnato all'elemento.

Atx: area a taglio lungo x. [cm²]

Aty: area a taglio lungo y. [cm²]

| Descrizione | Atx | Aty |
|------------------|-------|-------|
| EN10219 193, 7x8 | 46.67 | 46.67 |

5.3 Solai

5.3.1 Solai predalle

Descrizione: descrizione o nome assegnato all'elemento.

Int.: interasse tra le nervature. [cm]

B anima: larghezza anima. [cm]

H: altezza totale. [cm]

H cappa: altezza cappa. [cm]**H lastra:** altezza lastra. [cm]**c.s.:** coprifero superiore. [cm]**c.i.:** coprifero inferiore. [cm]**c.i.a.:** coprifero inferiore ferri aggiuntivi. [cm]**N. tondi:** numero tondi di confezionamento.**Diam. tondi:** diametro tondi di confezionamento. [mm]**Passo rete:** passo rete cappa. [cm]**Diam. rete:** diametro rete cappa. [mm]**Passo r.l.:** passo rete lastra. [cm]**Diam. r.l.:** diametro rete lastra. [mm]**N. file blocchi:** numero file blocchi di allegerimento.**Peso proprio:** peso proprio per unità di superficie. [daN/cm²]**Yg:** ordinata del baricentro definita rispetto al sistema geometrico in cui sono definiti i vertici del poligono. [cm]**Area:** area inerziale nel sistema geometrico centrato nel baricentro. [cm²]**Jx:** momento d'inerzia attorno all'asse orizzontale baricentrico di definizione della sezione. [cm⁴]

| Descrizione | Int. | B anima | H | H cappa | H lastra | c.s. | c.i. | c.i.a. | N. tondi | Diam. tondi | Passo rete | Diam. rete | Passo r.l. | Diam. r.l. | N. file blocchi | Peso proprio | Yg | Area | Jx |
|-------------------------|------|---------|----|---------|----------|------|------|--------|----------|-------------|------------|------------|------------|------------|-----------------|--------------|------|------|-------|
| Pre 40x(5+25+10)/120 | 120 | 40 | 40 | 10 | 5 | 1 | 1 | 4 | 6 | 6 | 20 | 6 | 20 | 6 | 2 | 0.0583 | 21.8 | 2800 | 5.1E5 |

5.4 Fondazioni

5.4.1 Pali

5.4.1.1 Micropali

Descrizione: descrizione o nome assegnato all'elemento.**Calcestruzzo:** calcestruzzo iniettato.**Acciaio:** materiale del tubo.**Tubo in acciaio circolare:** sezione del tubo definito nel database delle sezioni in acciaio.**Diametro perforazione:** diametro di perforazione. [cm]

| Descrizione | Calcestruzzo | Acciaio | Tubo in acciaio circolare | Diametro perforazione |
|----------------|--------------|---------|---------------------------|-----------------------|
| Micropalo D194 | C35/45 | S235 | EN10219 193,7x8 | 30 |

5.4.2 Plinti su pali

5.4.2.1 Plinti rettangolari su 4 pali

Descrizione: descrizione o nome assegnato all'elemento.**Palo:** palo.**Int.:** interasse tra i pali. [cm]**Ric.:** ricoprimento dei pali. [cm]**Sp.:** spessore della suola. [cm]**Ecc. x:** eccentricità del centro del pilastro rispetto al centro della suola, in direzione x. [cm]**Ecc. y:** eccentricità del centro del pilastro rispetto al centro della suola, in direzione y. [cm]**Bicchiere:** bicchiere incassato nella sommità del plinto.**Hdato:** altezza del dado superiore. [cm]**Xdato:** lunghezza base del dado. [cm]**Ydato:** larghezza base del dado. [cm]**Svin.:** svincolo in testa del palo.

| Descrizione | Palo | Int. | Ric. | Sp. | Ecc. x | Ecc. y | Bicchiere | Hdato | Xdato | Ydato | Svin. |
|-----------------------|----------------|------|------|-----|--------|--------|-----------|-------|-------|-------|-------|
| Rettangolare 4 pali 1 | Micropalo D194 | 120 | 30 | 80 | 0 | 0 | | | | | No |

5.4.2.2 Plinti triangolari su 3 pali

Descrizione: descrizione o nome assegnato all'elemento.**Palo:** palo.**Int.:** interasse tra i pali. [cm]**Ric.:** ricoprimento dei pali. [cm]**Sp.:** spessore della suola. [cm]**Ecc. x:** eccentricità del centro del pilastro rispetto al centro della suola, in direzione x. [cm]**Ecc. y:** eccentricità del centro del pilastro rispetto al centro della suola, in direzione y. [cm]**Bicchiere:** bicchiere incassato nella sommità del plinto.**Hdato:** altezza del dado superiore. [cm]**Xdato:** lunghezza base del dado. [cm]**Ydato:** larghezza base del dado. [cm]**Svin.:** svincolo in testa del palo.

| Descrizione | Palo | Int. | Ric. | Sp. | Ecc. x | Ecc. y | Bicchiere | Hdato | Xdato | Ydato | Svin. |
|----------------------|----------------|------|------|-----|--------|--------|-----------|-------|-------|-------|-------|
| Triangolare 3 pali 1 | Micropalo D194 | 120 | 30 | 80 | 0 | 0 | | | | | No |

5.5 Terreni

Descrizione: descrizione o nome assegnato all'elemento.**Coesione:** coesione efficace del terreno. [daN/cm²]**Coesione non drenata:** coesione non drenata (Cu) del terreno, per terreni eminentemente coesivi. [daN/cm²]**Attrito interno:** angolo di attrito interno del terreno. [deg]

δ : angolo di attrito all'interfaccia terreno-cls. [deg]**Coeff. α di adesione**: coeff. di adesione della coesione all'interfaccia terreno-cls, compreso tra 0 ed 1. Il valore è adimensionale.**Coeff. di spinta K0**: coefficiente di spinta a riposo del terreno. Il valore è adimensionale. **γ naturale**: peso specifico naturale del terreno in situ, assegnato alle zone non immerse. [daN/cm^3] **γ saturo**: peso specifico saturo del terreno in situ, assegnato alle zone immerse. [daN/cm^3]**E**: modulo elastico longitudinale del terreno. [daN/cm^2]**v**: coefficiente di Poisson del terreno. Il valore è adimensionale.**Rqd**: rock quality degree. Per roccia assume valori nell'intervallo (0;1]. Il valore convenzionale 0 indica che si tratta di un terreno sciolto. Il valore è adimensionale.**Permeabilità Kh**: permeabilità orizzontale. Permeabilità orizzontale del terreno. [cm/s]**Permeabilità Kv**: permeabilità verticale. Permeabilità verticale del terreno. [cm/s]

| Descrizione | Coesione | Coesione non drenata | Attrito interno | δ | Coeff. α di adesione | Coeff. di spinta K0 | γ naturale | γ saturo | E | v | Rqd | Permeabilità Kh | Permeabilità Kv |
|---|----------|----------------------|-----------------|----------|-----------------------------|---------------------|-------------------|-----------------|--------|------|------|-----------------|-----------------|
| calcare micritico estremamente fratturato | 1 | 0 | 30 | 25 | 1 | 0.5 | 0.0023 | 0.0023 | 50000 | 0.25 | 0.25 | 0.1 | 0.01 |
| calcare fratturato stratificato | 1 | 0 | 32 | 30 | 1 | 0.47 | 0.00235 | 0.00235 | 200000 | 0.3 | 0.25 | 0.1 | 0.01 |
| acqua | 0 | 0 | 0 | 0 | 0 | 1 | 0.001 | 0.001 | 1 | 0 | 0 | 0.1 | 0.01 |

6 Dati di definizione

6.1 Preferenze commessa

6.1.1 Preferenze di analisi

| | |
|--|--|
| Metodo di analisi | D.M. 17-01-18 (N.T.C.) |
| Tipo di costruzione | 2 - Costruzioni con livelli di prestazioni ordinari |
| Vn | 50 |
| Classe d'uso | III |
| Vr | 75 |
| Tipo di analisi | Lineare dinamica |
| Località | Porto di Bari; Latitudine ED50 41,1187° (41° 7' 7''); Longitudine ED50 16,852° (16° 51' 7''); Altitudine s.l.m. 2 m. |
| Categoria del suolo | B - Rocce tenere e depositi di terreni a grana grossa molto addensati o terreni a grana fina molto consistenti |
| Categoria topografica | T1 - Superficie pianeggiante, pendii e rilievi isolati con inclinazione media $i \leq 15^\circ$ |
| Ss orizzontale SLO | 1.2 |
| Tb orizzontale SLO | 0.127 |
| Tc orizzontale SLO | 0.382 |
| Td orizzontale SLO | 1.723 |
| Ss orizzontale SLD | 1.2 |
| Tb orizzontale SLD | 0.149 |
| Tc orizzontale SLD | 0.446 |
| Td orizzontale SLD | 1.748 |
| Ss orizzontale SLV | 1.2 |
| Tb orizzontale SLV | 0.223 |
| Tc orizzontale SLV | 0.669 |
| Td orizzontale SLV | 1.926 |
| St | 1 |
| PVr SLO (%) | 81 |
| Tr SLO | 45.16 |
| Ag/g SLO | 0.0306 |
| Fo SLO | 2.414 |
| Tc' SLO | 0.267 |
| PVr SLD (%) | 63 |
| Tr SLD | 75.43 |
| Ag/g SLD | 0.037 |
| Fo SLD | 2.473 |
| Tc' SLD | 0.324 |
| PVr SLV (%) | 10 |
| Tr SLV | 711.84 |
| Ag/g SLV | 0.0816 |
| Fo SLV | 2.653 |
| Tc' SLV | 0.537 |
| Smorzamento viscoso (%) | 5 |
| Classe di duttilità | Non dissipativa |
| Rotazione del sisma | 0 |
| Quota dello '0' sismico | -680 |
| Regolarità in pianta | No |
| Regolarità in elevazione | Si |
| Edificio C.A. | Si |
| Edificio esistente | No |
| T1,x | 0.38578 |
| T1,y | 0.36207 |
| λ SLO,x | 1 |
| λ SLO,y | 1 |
| λ SLD,x | 1 |
| λ SLD,y | 1 |
| λ SLV,x | 1 |
| λ SLV,y | 1 |
| Numeri modi | 6 |
| Metodo di Ritz | non applicato |
| Limite spostamenti interpiano | 0.0033 |
| Fattore di comportamento per sisma SLD X | 1.5 |
| Fattore di comportamento per sisma SLD Y | 1.5 |
| Fattore di comportamento per sisma SLV X | 1.5 |
| Fattore di comportamento per sisma SLV Y | 1.5 |
| Coefficiente di sicurezza per carico limite (fondazioni superficiali) | 2.3 |
| Coefficiente di sicurezza per scorrimento (fondazioni superficiali) | 1.1 |
| Coefficiente di sicurezza portanza verticale pali infissi, punta | 1.15 |
| Coefficiente di sicurezza portanza verticale pali infissi, laterale compressione | 1.15 |
| Coefficiente di sicurezza portanza verticale pali infissi, laterale trazione | 1.25 |
| Coefficiente di sicurezza portanza verticale pali trivellati, punta | 1.35 |
| Coefficiente di sicurezza portanza verticale pali trivellati, laterale compressione | 1.15 |
| Coefficiente di sicurezza portanza verticale pali trivellati, laterale trazione | 1.25 |
| Coefficiente di sicurezza portanza verticale micropali, punta | 1.35 |
| Coefficiente di sicurezza portanza verticale micropali, laterale compressione | 1.15 |
| Coefficiente di sicurezza portanza verticale micropali, laterale trazione | 1.25 |
| Coefficiente di sicurezza portanza trasversale pali | 1.3 |
| Fattore di correlazione resistenza caratteristica dei pali in base alle verticali indagate | 1.55 |
| Coefficiente di sicurezza per ribaltamento (plinti superficiali) | 1.15 |

6.1.2 Torsione accidentale NTC 08/NTC 18

Quota: Livello o falda a cui si riferisce l'eccentricità.

Eccentricità X: Eccentricità X per sisma Y attribuita alla quota. [cm]

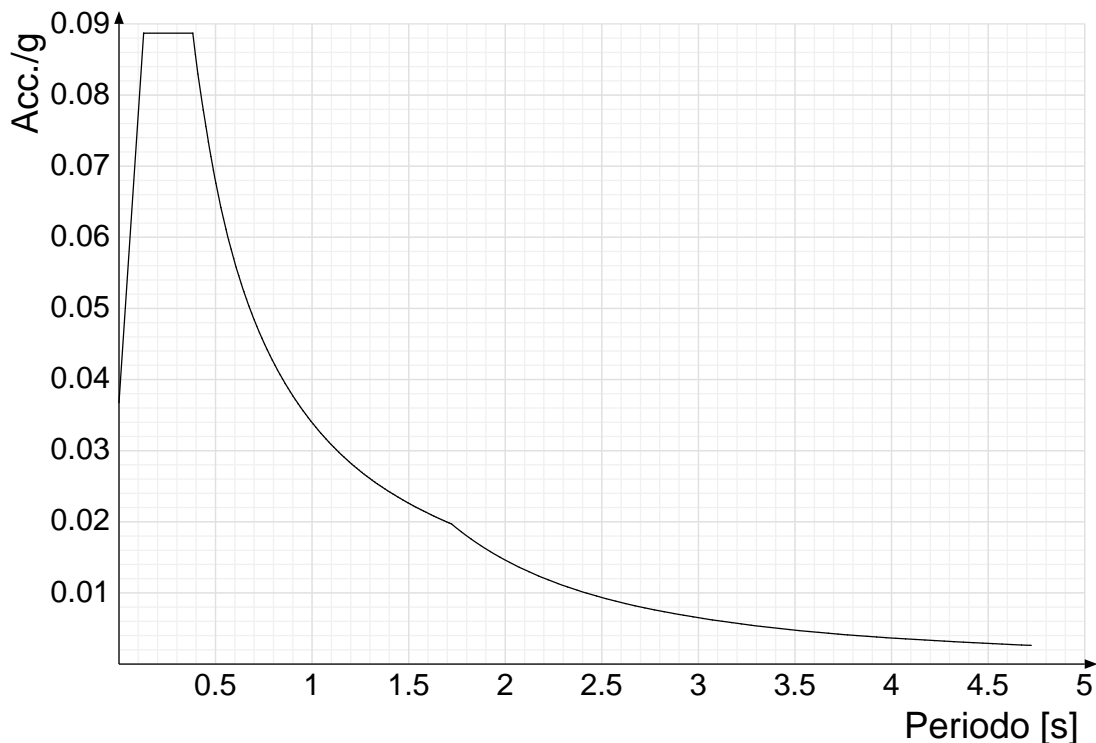
| Quota | Eccentricità X | Eccentricità Y |
|--------------|----------------|----------------|
| Fondale -820 | 0 | 0 |
| Fondale -680 | 0 | 0 |
| banchina | 320 | 175 |

6.1.3 Spettri D.M. 17-01-18

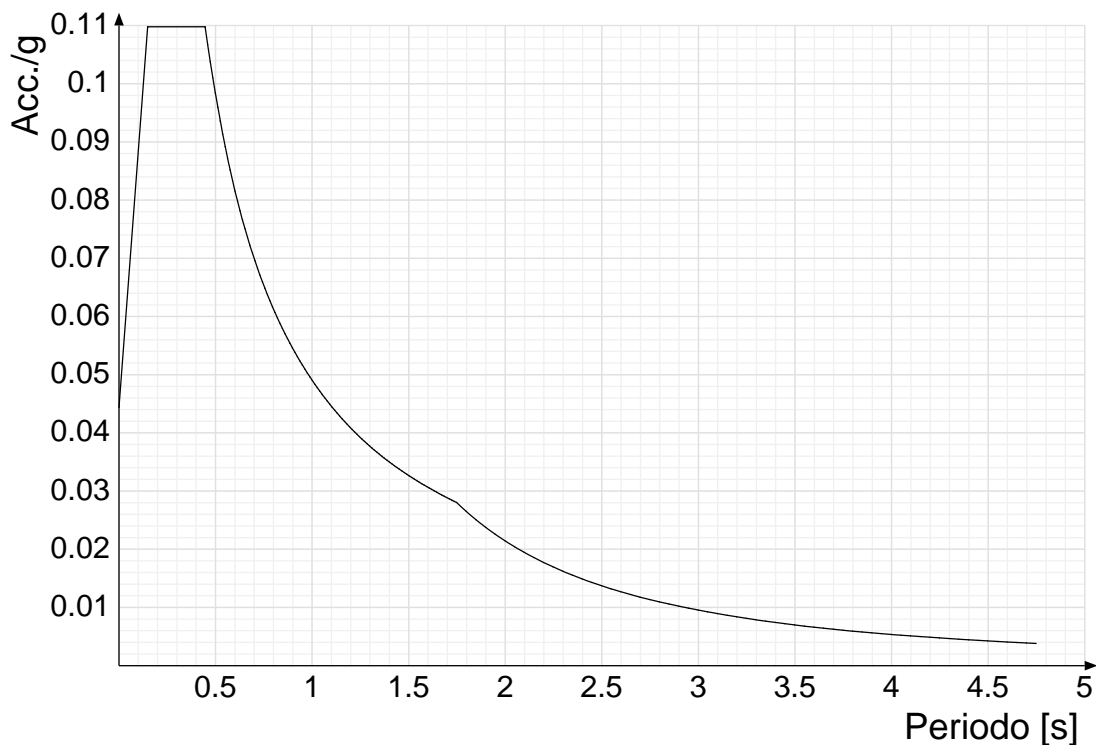
Acc./g: Accelerazione spettrale normalizzata ottenuta dividendo l'accelerazione spettrale per l'accelerazione di gravità.

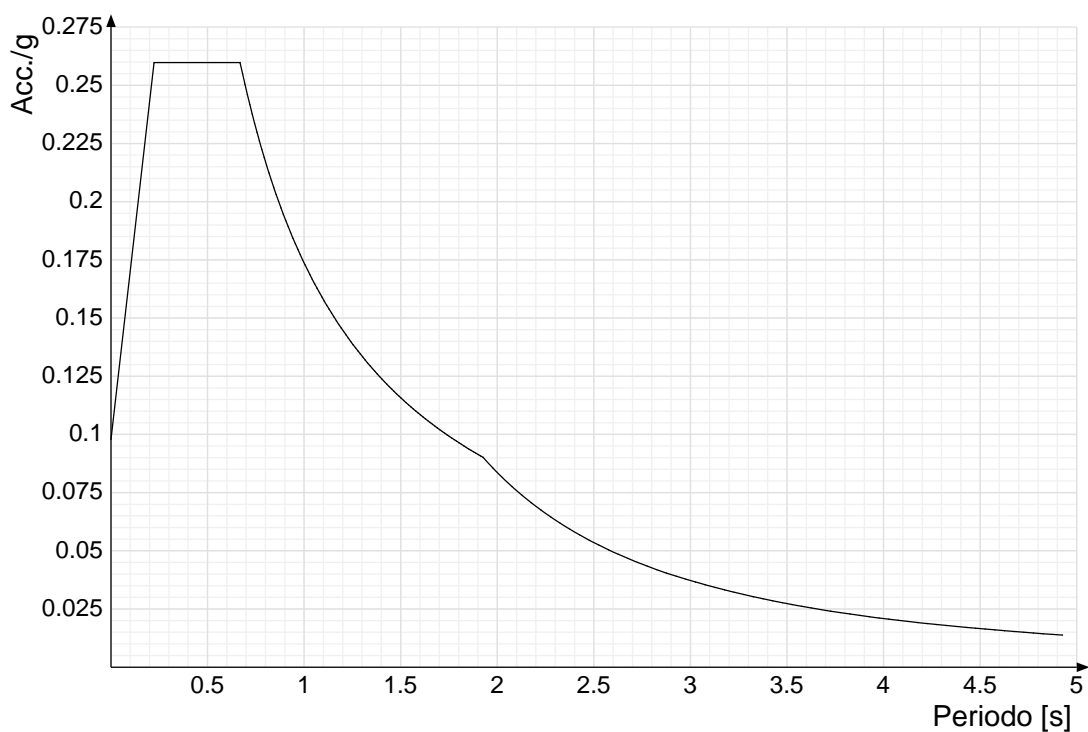
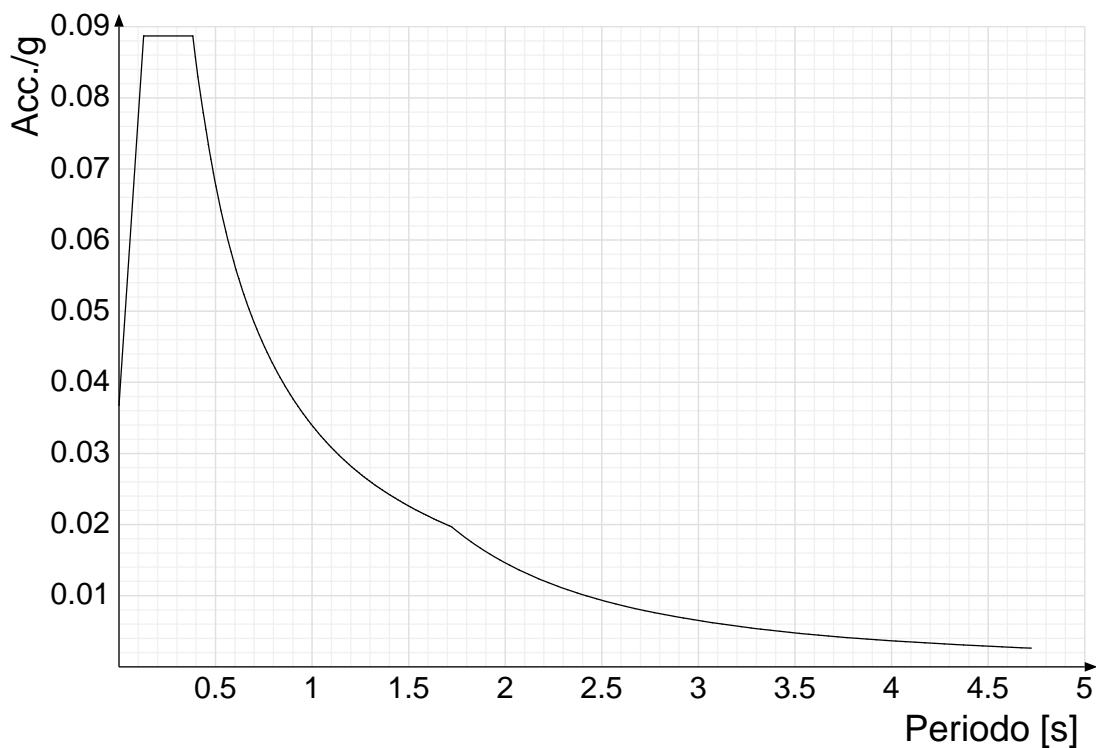
Periodo: Periodo di vibrazione.

Spettro di risposta elastico in accelerazione delle componenti orizzontali SLO § 3.2.3.2.1 [3.2.2]

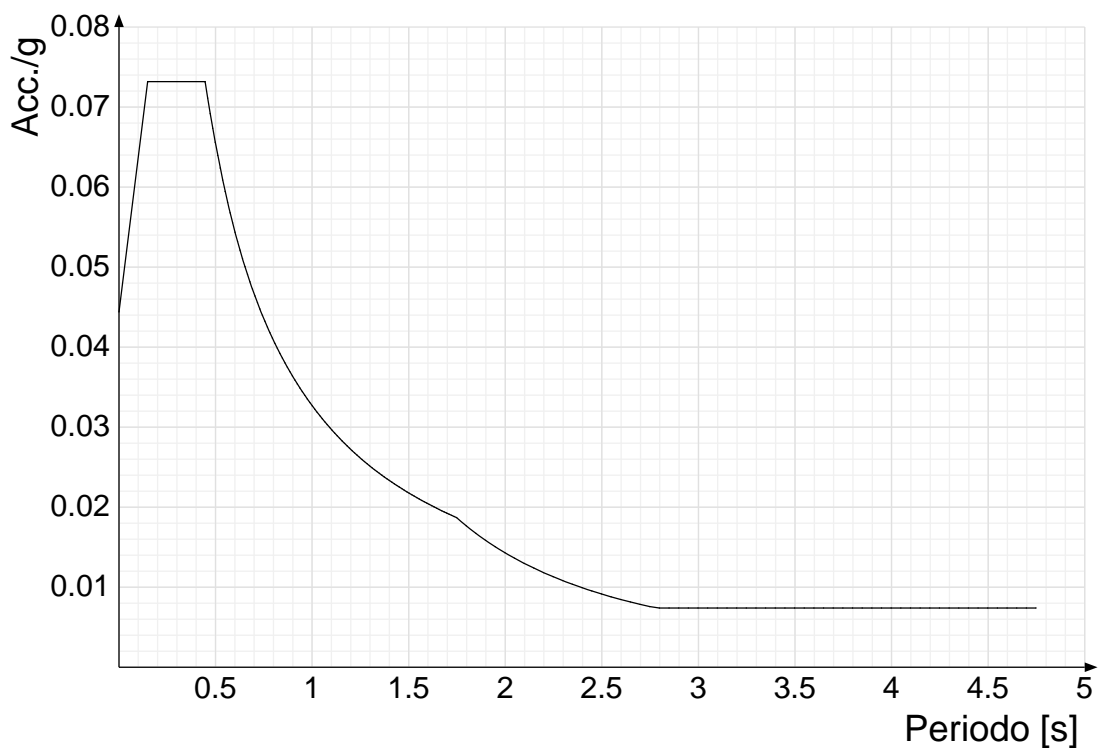


Spettro di risposta elastico in accelerazione delle componenti orizzontali SLD § 3.2.3.2.1 [3.2.2]

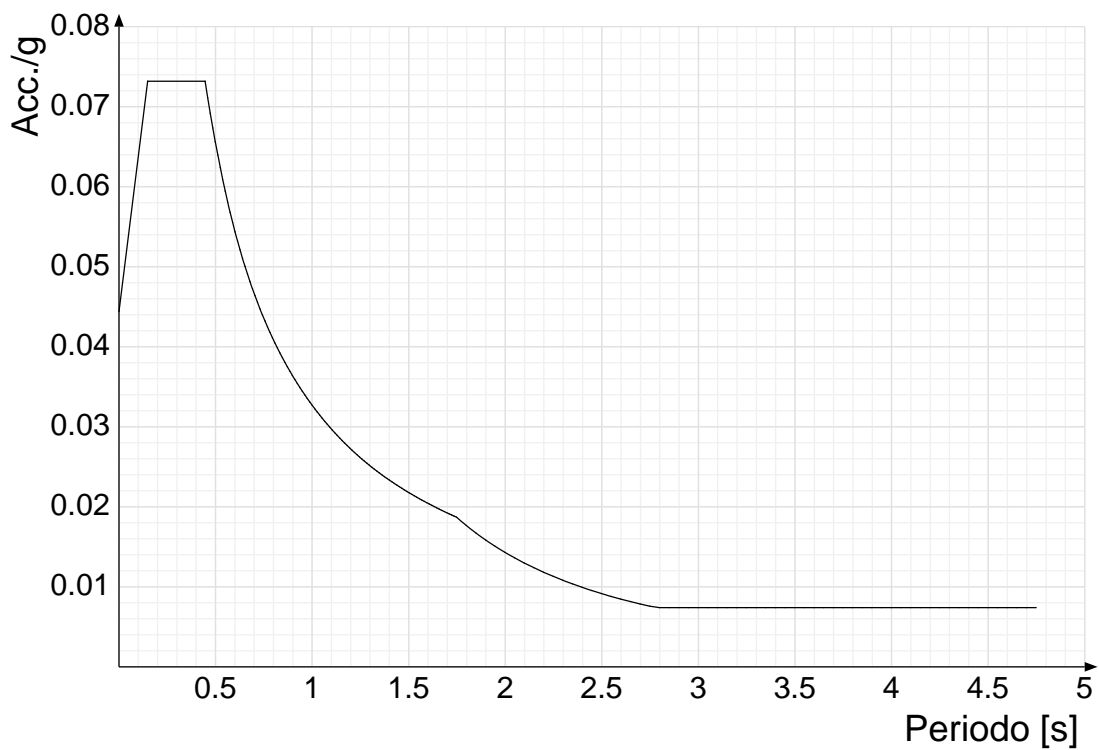


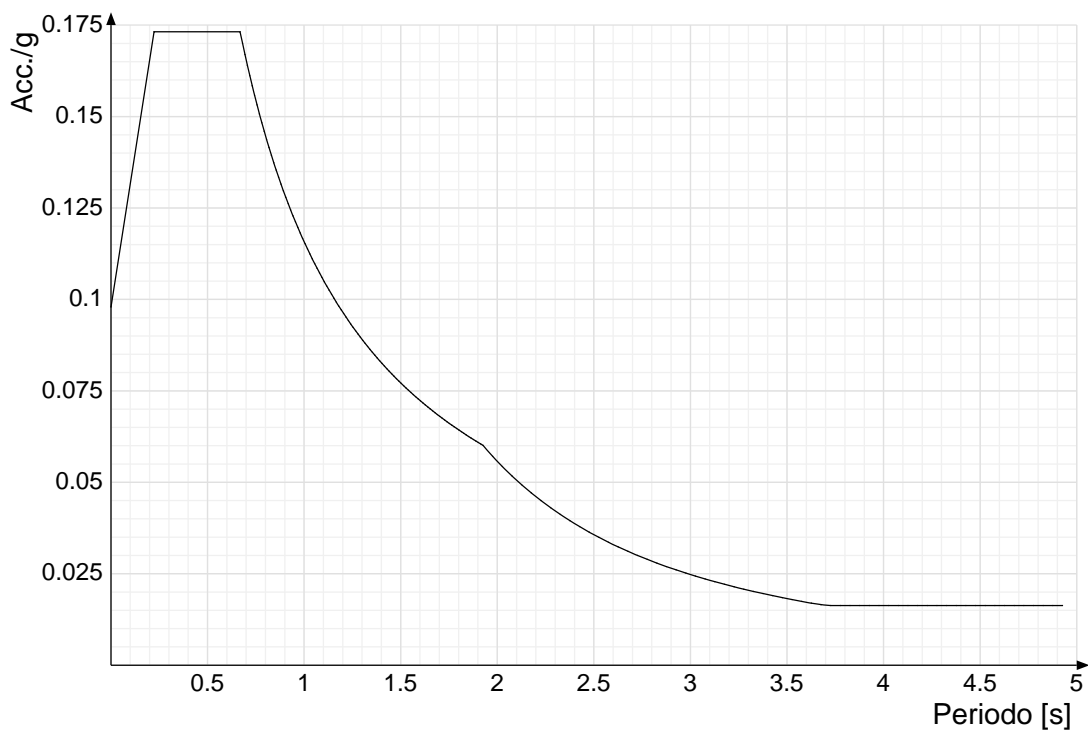
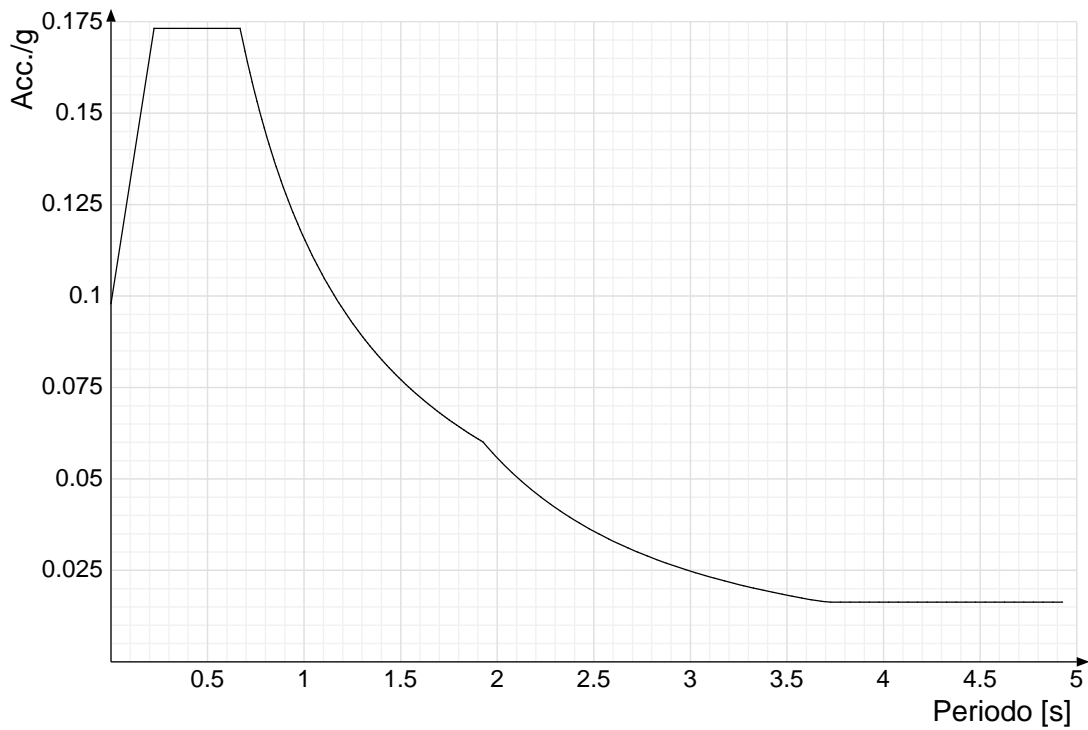
Spettro di risposta elastico in accelerazione delle componenti orizzontali SLV § 3.2.3.2.1 [3.2.2]**Spettro di risposta di progetto in accelerazione delle componenti orizzontali SLO § 3.2.3.4**

Spettro di risposta di progetto in accelerazione della componente X SLD § 3.2.3.5

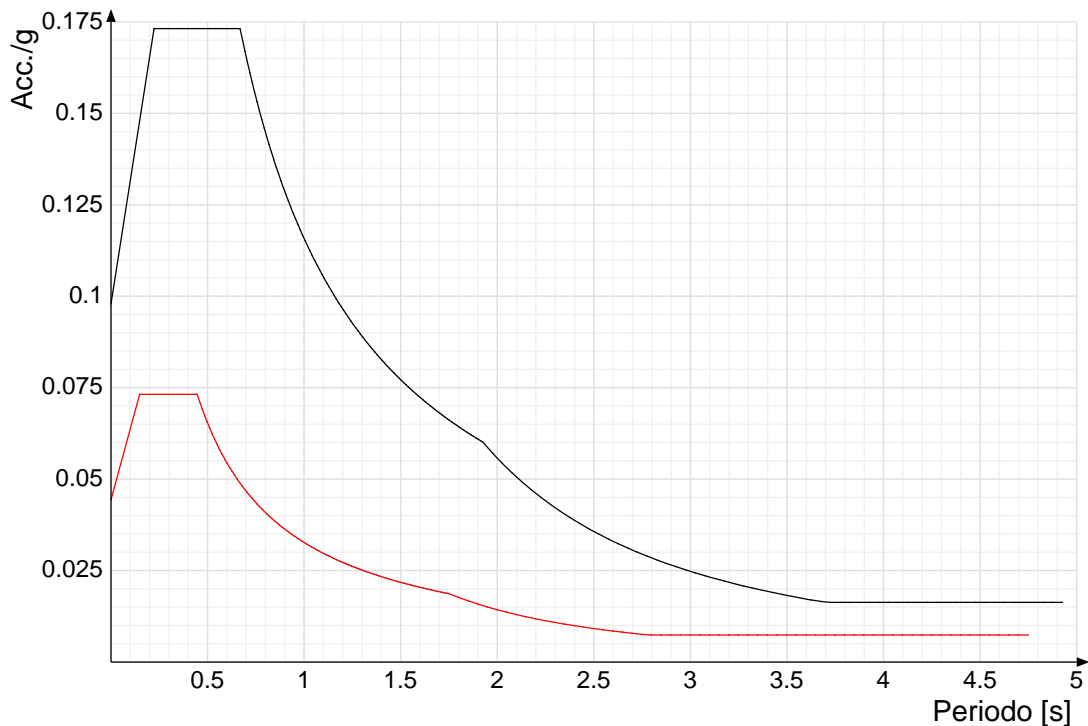


Spettro di risposta di progetto in accelerazione della componente Y SLD § 3.2.3.5

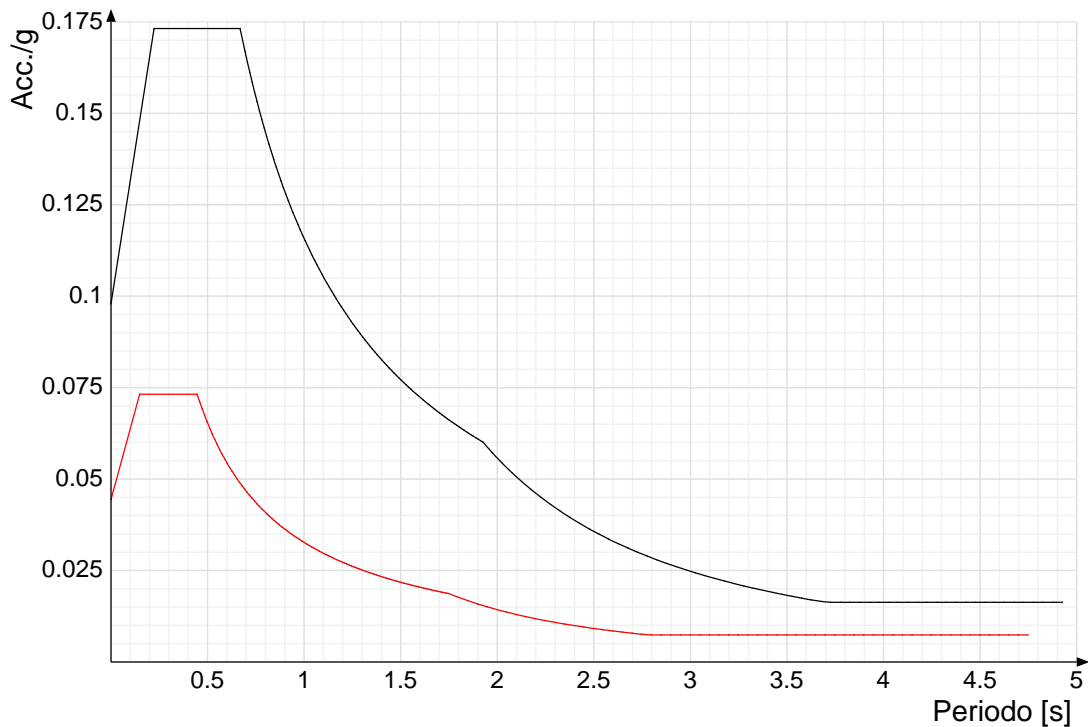


Spettro di risposta di progetto in accelerazione della componente X SLV § 3.2.3.5**Spettro di risposta di progetto in accelerazione della componente Y SLV § 3.2.3.5****Confronti spettri SLV-SLD**

Vengono confrontati lo spettro Spettro di risposta di progetto in accelerazione della componente X SLD § 3.2.3.5 (di colore rosso) e Spettro di risposta di progetto in accelerazione della componente X SLV § 3.2.3.5 (di colore nero).



Vengono confrontati lo spettro Spettro di risposta di progetto in accelerazione della componente Y SLD § 3.2.3.5 (di colore rosso) e Spettro di risposta di progetto in accelerazione della componente Y SLV § 3.2.3.5 (di colore nero).



6.1.4 Preferenze di verifica

6.1.4.1 Normativa di verifica in uso

Norma di verifica
Cemento armato
Legno
Acciaio
Alluminio
Pannelli in gessofibra

D.M. 17-01-18 (N.T.C.)
Preferenze analisi di verifica in stato limite
Preferenze di verifica legno D.M. 17-01-18 (N.T.C.)
Preferenze di verifica acciaio D.M. 17-01-18 (N.T.C.)
Preferenze di verifica alluminio EC9
Preferenze di verifica pannelli gessofibra D.M. 17-01-18 (N.T.C.)

6.1.4.2 Normativa di verifica C.A.

Coefficiente di omogeneizzazione
 γ_s (fattore di sicurezza parziale per l'acciaio)
 γ_c (fattore di sicurezza parziale per il calcestruzzo)
Limite σ_c/f_{ck} in combinazione rara
Limite σ_c/f_{ck} in combinazione quasi permanente
Limite σ_t/f_{tk} in combinazione rara

15
1.15
1.5
0.6
0.45
0.8

| | | |
|---|------|------|
| Coefficiente di riduzione della τ per cattiva aderenza | 0.7 | |
| Dimensione limite fessure w1 §4.1.2.2.4 | 0.02 | [cm] |
| Dimensione limite fessure w2 §4.1.2.2.4 | 0.03 | [cm] |
| Dimensione limite fessure w3 §4.1.2.2.4 | 0.04 | [cm] |
| Fattori parziali di sicurezza unitari per meccanismi duttili di strutture esistenti con fattore q | No | |
| Coprifero secondo EC2 | No | |

6.1.4.3 Normativa di verifica legno

| | | |
|--|------|--|
| γ combinazioni fondamentali massiccio | 1.5 | |
| γ combinazioni fondamentali lamellare | 1.45 | |
| γ combinazioni fondamentali unioni | 1.5 | |
| γ combinazioni eccezionali | 1 | |
| γ combinazioni esercizio | 1 | |
| Kmod durata istantaneo, classe 1 | 1.1 | |
| Kmod durata istantaneo, classe 2 | 1.1 | |
| Kmod durata istantaneo, classe 3 | 0.9 | |
| Kmod durata breve, classe 1 | 0.9 | |
| Kmod durata breve, classe 2 | 0.9 | |
| Kmod durata breve, classe 3 | 0.7 | |
| Kmod durata media, classe 1 | 0.8 | |
| Kmod durata media, classe 2 | 0.8 | |
| Kmod durata media, classe 3 | 0.65 | |
| Kmod durata lunga, classe 1 | 0.7 | |
| Kmod durata lunga, classe 2 | 0.7 | |
| Kmod durata lunga, classe 3 | 0.55 | |
| Kmod durata permanente, classe 1 | 0.6 | |
| Kmod durata permanente, classe 2 | 0.6 | |
| Kmod durata permanente, classe 3 | 0.5 | |
| Kdef classe 1 | 0.6 | |
| Kdef classe 2 | 0.8 | |
| Kdef classe 3 | 2 | |

6.1.4.4 Normativa di verifica acciaio

| | | |
|---|------------|--|
| $\gamma_m 0$ | 1.05 | |
| $\gamma_m 1$ | 1.05 | |
| $\gamma_m 2$ | 1.25 | |
| Coefficiente riduttivo per effetto vettoriale | 0.7 | |
| Calcolo coefficienti C1, C2, C3 per Mcr | automatico | |
| Coefficienti α , β per flessione deviata | unitari | |
| Verifica semplificata conservativa | si | |
| L/e0 iniziale per profili accoppiati compressi | 500 | |
| Metodo semplificato formula (4.2.82) | si | |
| Escludi 6.2.6.7 e 6.2.6.8 in 7.5.4.3 e 7.5.4.5 | si | |
| Applica Nota 1 del prospetto 6.2 | si | |
| Riduzione fy per tubi tondi di classe 4 | no | |
| Effettua la verifica secondo 6.2.8 con irrigidimenti superiori (piastre di base) | si | |
| Limite spostamento relativo interpiano e monopiano colonne | 0.00333 | |
| Limite spostamento relativo complessivo multipiano colonne | 0.002 | |
| Considera taglio resistente estremità sagomati | no | |
| Fattori parziali di sicurezza unitari per meccanismi duttili di strutture esistenti con fattore q | no | |

6.1.5 Preferenze FEM

| | | |
|---|--------------------------|-------|
| Dimensione massima ottimale mesh pareti (default) | 80 | [cm] |
| Dimensione massima ottimale mesh piastre (default) | 80 | [cm] |
| Tipo di mesh dei gusci (default) | Quadrilateri o triangoli | |
| Tipo di mesh imposta ai gusci | Specifico dell'elemento | |
| Metodo P-Delta | non utilizzato | |
| Analisi buckling | non utilizzata | |
| Rapporto spessore flessionale/membranale gusci muratura verticali | 0.2 | |
| Spessori membranale e flessionale pareti XLAM da sole tavole verticali | No | |
| Moltiplicatore rigidezza connettori pannelli pareti legno a diaframma | 1 | |
| Tolleranza di parallelismo | 4.99 | [deg] |
| Tolleranza di unicità punti | 10 | [cm] |
| Tolleranza generazione nodi di aste | 1 | [cm] |
| Tolleranza di parallelismo in suddivisione aste | 4.99 | [deg] |
| Tolleranza generazione nodi di gusci | 4 | [cm] |
| Tolleranza eccentricità carichi concentrati | 100 | [cm] |
| Considera deformazione a taglio delle piastre | No | |
| Modello elastico pareti in muratura | Gusci | |
| Concentra masse pareti nei vertici | No | |
| Segnò risultati analisi spettrale | Analisi statica | |
| Memoria utilizzabile dal solutore | 8000000 | |
| Metodo di risoluzione della matrice | AspenTech MA57 | |
| Scrivi commenti nel file di input | No | |
| Scrivi file di output in formato testo | No | |
| Solidi colle e corpi ruvidi (default) | Solidi reali | |
| Moltiplicatore rigidezza molla torsionale applicata ad aste di fondazione | 1 | |
| Modello trave su suolo alla Winkler nel caso di modellazione lineare | Equilibrio elastico | |

6.1.6 Moltiplicatori inerziali

Tipologia: tipo di entità a cui si riferiscono i moltiplicatori inerziali.

J2: moltiplicatore inerziale di J2. Il valore è adimensionale.

J3: moltiplicatore inerziale di J3. Il valore è adimensionale.

Jt: moltiplicatore inerziale di Jt. Il valore è adimensionale.

A: moltiplicatore dell'area della sezione. Il valore è adimensionale.

A2: moltiplicatore dell'area a taglio in direzione 2. Il valore è adimensionale.

A3: moltiplicatore dell'area a taglio in direzione 3. Il valore è adimensionale.

Conci rigidi: fattore di riduzione dei tronchi rigidi. Il valore è adimensionale.

| Tipologia | J2 | J3 | Jt | A | A2 | A3 | Conci rigidi |
|---------------------|----|----|------|---|----|----|--------------|
| Trave C.A. | 1 | 1 | 0.01 | 1 | 1 | 1 | 0.5 |
| Pilastro C.A. | 1 | 1 | 0.01 | 1 | 1 | 1 | 0.5 |
| Trave di fondazione | 1 | 1 | 0.01 | 1 | 1 | 1 | 0.5 |

| Tipologia | J2 | J3 | Jt | A | A2 | A3 | Conci rigidi |
|------------------------------------|----|----|------|---|----|----|--------------|
| Palo | 1 | 1 | 0.01 | 1 | 1 | 1 | 0 |
| Trave in legno | 1 | 1 | 1 | 1 | 1 | 1 | 1 |
| Colonna in legno | 1 | 1 | 1 | 1 | 1 | 1 | 1 |
| Trave in acciaio | 1 | 1 | 1 | 1 | 1 | 1 | 1 |
| Colonna in acciaio | 1 | 1 | 1 | 1 | 1 | 1 | 1 |
| Trave di reticolare in acciaio | 1 | 1 | 1 | 1 | 1 | 1 | 1 |
| Maschio in muratura | 0 | 1 | 0 | 1 | 1 | 1 | 1 |
| Trave di accoppiamento in muratura | 0 | 1 | 0 | 1 | 1 | 1 | 1 |
| Trave di scala C.A. nervata | 1 | 1 | 1 | 1 | 1 | 1 | 0.5 |
| Trave tralicciata | 1 | 1 | 0.01 | 1 | 1 | 1 | 0.5 |

6.1.7 Preferenze di analisi non lineare FEM

Metodo iterativo

Tolleranza iterazione

Numero massimo iterazioni

Secante

0.0001

50

6.1.8 Preferenze di analisi carichi superficiali

Detrazione peso proprio solai nelle zone di sovrapposizione

non applicata

Metodo di ripartizione

a zone d'influenza

Percentuale carico calcolato a trave continua

0

Esegue smoothing diagrammi di carico

applicata

Tolleranza smoothing altezza trapezi

0.001

Tolleranza smoothing altezza media trapezi

0.001

[daN/cm]

[daN/cm]

6.1.9 Preferenze del suolo

Fondazioni non modellate e struttura bloccata alla base

no

Fondazioni bloccate orizzontalmente

si

Considera peso sismico delle fondazioni

no

Fondazioni superficiali e profonde su suolo elastoplastico

no

Coefficiente di sotterraneo verticale per fondazioni superficiali (default)

3

[daN/cm³]

Rapporto di coefficiente sotterraneo orizzontale/verticale

0.5

Pressione verticale limite sul terreno per abbassamento (default)

10

[daN/cm²]

Pressione verticale limite sul terreno per innalzamento (default)

0.001

[daN/cm²]

Metodo di calcolo della K verticale

Vesic

Metodo di calcolo della portanza e della pressione limite

Vesic

Terreno laterale di riporto da piano posa fondazioni (default)

acqua

[cm]

Dimensione massima della discretizzazione del palo (default)

200

Moltiplicatore coesione per pressione orizzontale limite nei pali

1

Moltiplicatore spinta passiva per pressione orizzontale pali

1

K punta palo (default)

50

[daN/cm³]

Pressione limite punta palo (default)

40

[daN/cm²]

Pressione per verifica schiacciamento fondazioni superficiali

6

[daN/cm²]

Calcola cedimenti fondazioni superficiali

no

Spessore massimo strato

100

[cm]

Profondità massima

3000

[cm]

Cedimento assoluto ammissibile

5

[cm]

Cedimento differenziale ammissibile

5

[cm]

Cedimento relativo ammissibile

5

[cm]

Rapporto di inflessione F/L ammissibile

0.003333

Rotazione rigida ammissibile

0.191

[deg]

Rotazione assoluta ammissibile

0.191

[deg]

Distorsione positiva ammissibile

0.191

[deg]

Distorsione negativa ammissibile

0.095

[deg]

Considera fondazioni compensate

no

Coefficiente di riduzione della a Max attesa

0.3

Condizione per la valutazione della spinta su pareti

Lungo termine

Considera l'azione sismica del terreno anche su pareti sotto lo zero sismico

no

Calcola cedimenti teorici pali

no

Considera accorciamento del palo

si

Distanza influenza cedimento palo

1000

[cm]

Distribuzione attrito laterale

Attrito laterale uniforme

Ripartizione del carico

Ripartizione come da modello FEM

Scelta terreno laterale

Media pesata degli strati coinvolti

Scelta terreno punta

5

[cm]

Cedimento assoluto ammissibile

5

[cm]

Cedimento medio ammissibile

5

[cm]

Cedimento differenziale ammissibile

5

[cm]

Rotazione rigida ammissibile

0.191

[deg]

Trascira la coesione efficace in verifica allo scorrimento

si

Considera inclinazione spinta del terreno contro pareti

no

Esegue verifica a liquefazione

no

Metodo di verifica liquefazione

Seed-Idriss (1982)

Coeff. di sicurezza minimo a liquefazione

1.3

Magnitudo scaling factor per liquefazione

1

6.1.10 Preferenze progetto muratura

Forza minima aggancio al piano (default)

0

[daN/cm]

Denominatore per momento ortogonale (default)

8

Minima resistenza trazione travi (default)

30000

[daN]

Angolo cuneo verifica rialzamento (default)

30

[deg]

Considera d = 0.8 * h nei maschi senza fibre compresse

Si

Verifica pressoflessione deviata

No

Considera effetto piastra in presenza di irrigidimenti

Si

6.2 Azioni e carichi

6.2.1 Azione del vento

Zona

Zona 3

Rugosità

Aree urbane in cui almeno il 15% della superficie sia coperto da edifici la cui altezza media superi i 15m

| | | |
|-----------------------|---------|------------------------|
| Categoria esposizione | V | |
| Vb | 2700 | [cm/s] |
| Tr | 50 | [cm/s] |
| Ct | 1 | [cm/s] |
| qr | 0.00456 | [daN/cm ²] |

6.2.2 Azione della neve

| | | |
|---|--|------------------------|
| Zona | Zona II | |
| Classe topografica | Aree in cui non è presente una significativa rimozione di neve sulla costruzione prodotta dal vento, a | |
| causa del terreno, altre costruzioni o alberi | | |
| Ce | 1 | |
| Ct | 1 | |
| Tr | 50 | |
| qsk | 0.01 | [daN/cm ²] |

6.2.3 Condizioni elementari di carico

Descrizione: nome assegnato alla condizione elementare.

Nome breve: nome breve assegnato alla condizione elementare.

Durata: descrive la durata della condizione (necessario per strutture in legno).

ψ_0 : coefficiente moltiplicatore ψ_0 . Il valore è adimensionale.

ψ_1 : coefficiente moltiplicatore ψ_1 . Il valore è adimensionale.

ψ_2 : coefficiente moltiplicatore ψ_2 . Il valore è adimensionale.

Con segno: descrive se la condizione elementare ha la possibilità di variare di segno.

| Descrizione | Nome breve | Durata | ψ_0 | ψ_1 | ψ_2 | Con segno |
|--------------------------------|-------------|------------|----------|----------|----------|-----------|
| Pesi strutturali | Pesi | Permanente | | | | |
| Permanentì portati | Port. | Permanente | | | | |
| Variabile G | Variabile G | Media | 0.7 | 0.5 | 0.3 | |
| Vento | Vento | Media | 0.6 | 0.2 | 0 | |
| Eccezionale | Eccezionale | Istantaneo | | | | |
| ΔT | ΔT | Media | 0.6 | 0.5 | 0 | No |
| Sisma X SLV | X SLV | | | | | |
| Sisma Y SLV | Y SLV | | | | | |
| Sisma Z SLV | Z SLV | | | | | |
| Eccentricità Y per sisma X SLV | EY SLV | | | | | |
| Eccentricità X per sisma Y SLV | EX SLV | | | | | |
| Sisma X SLD | X SLD | | | | | |
| Sisma Y SLD | Y SLD | | | | | |
| Sisma Z SLD | Z SLD | | | | | |
| Eccentricità Y per sisma X SLD | EY SLD | | | | | |
| Eccentricità X per sisma Y SLD | EX SLD | | | | | |
| Terreno sisma X SLV | Tr x SLV | | | | | |
| Terreno sisma Y SLV | Tr y SLV | | | | | |
| Terreno sisma Z SLV | Tr z SLV | | | | | |
| Terreno sisma X SLD | Tr x SLD | | | | | |
| Terreno sisma Y SLD | Tr y SLD | | | | | |
| Terreno sisma Z SLD | Tr z SLD | | | | | |
| Terreno sisma X SLO | Tr x SLO | | | | | |
| Terreno sisma Y SLO | Tr y SLO | | | | | |
| Terreno sisma Z SLO | Tr z SLO | | | | | |
| Rig. Ux | R Ux | | | | | |
| Rig. Uy | R Uy | | | | | |
| Rig. Rz | R Rz | | | | | |

6.2.4 Combinazioni di carico

Nome: E' il nome esteso che contraddistingue la condizione elementare di carico.

Nome breve: E' il nome compatto della condizione elementare di carico, che viene utilizzato altrove nella relazione.

Pesi: Pesi strutturali

Port.: Permanentì portati

Variabile G: Variabile G

Vento: Vento

ΔT : ΔT

Eccezionale: Eccezionale

X SLO: Sisma X SLO

Y SLO: Sisma Y SLO

Z SLO: Sisma Z SLO

EY SLO: Eccentricità Y per sisma X SLO

EX SLO: Eccentricità X per sisma Y SLO

Tr x SLO: Terreno sisma X SLO

Tr y SLO: Terreno sisma Y SLO

Tr z SLO: Terreno sisma Z SLO

X SLD: Sisma X SLD

Y SLD: Sisma Y SLD

Z SLD: Sisma Z SLD

EY SLD: Eccentricità Y per sisma X SLD

EX SLD: Eccentricità X per sisma Y SLD***Tr x SLD:*** Terreno sisma X SLD***Tr y SLD:*** Terreno sisma Y SLD***Tr z SLD:*** Terreno sisma Z SLD***X SLV:*** Sisma X SLV***Y SLV:*** Sisma Y SLV***Z SLV:*** Sisma Z SLV***EY SLV:*** Eccentricità Y per sisma X SLV***EX SLV:*** Eccentricità X per sisma Y SLV***Tr x SLV:*** Terreno sisma X SLV***Tr y SLV:*** Terreno sisma Y SLV***Tr z SLV:*** Terreno sisma Z SLV***R Ux:*** Rig. Ux***R Uy:*** Rig. Uy***R Rz:*** Rig. Rz

Tutte le combinazioni di carico vengono raggruppate per famiglia di appartenenza. Le celle di una riga contengono i coefficienti moltiplicatori della i-esima combinazione, dove il valore della prima cella è da intendersi come moltiplicatore associato alla prima condizione elementare, la seconda cella si riferisce alla seconda condizione elementare e così via.

Famiglia SLU

Il nome compatto della famiglia è SLU.

| Nome | Nome breve | Pesi | Port. | Variabile G | Vento | ΔT |
|------|------------|------|-------|-------------|-------|-----|
| 1 | SLU 1 | 1 | 0.8 | 0 | 0 | 0 |
| 2 | SLU 2 | 1 | 0.8 | 0 | 0 | 1.5 |
| 3 | SLU 3 | 1 | 0.8 | 0 | 0.9 | 1.5 |
| 4 | SLU 4 | 1 | 0.8 | 0 | 1.5 | 0 |
| 5 | SLU 5 | 1 | 0.8 | 0 | 1.5 | 0.9 |
| 6 | SLU 6 | 1 | 0.8 | 1.05 | 0 | 1.5 |
| 7 | SLU 7 | 1 | 0.8 | 1.05 | 0.9 | 1.5 |
| 8 | SLU 8 | 1 | 0.8 | 1.05 | 1.5 | 0 |
| 9 | SLU 9 | 1 | 0.8 | 1.05 | 1.5 | 0.9 |
| 10 | SLU 10 | 1 | 0.8 | 1.5 | 0 | 0 |
| 11 | SLU 11 | 1 | 0.8 | 1.5 | 0 | 0.9 |
| 12 | SLU 12 | 1 | 0.8 | 1.5 | 0.9 | 0 |
| 13 | SLU 13 | 1 | 0.8 | 1.5 | 0.9 | 0.9 |
| 14 | SLU 14 | 1 | 1.5 | 0 | 0 | 0 |
| 15 | SLU 15 | 1 | 1.5 | 0 | 0 | 1.5 |
| 16 | SLU 16 | 1 | 1.5 | 0 | 0.9 | 1.5 |
| 17 | SLU 17 | 1 | 1.5 | 0 | 1.5 | 0 |
| 18 | SLU 18 | 1 | 1.5 | 0 | 1.5 | 0.9 |
| 19 | SLU 19 | 1 | 1.5 | 1.05 | 0 | 1.5 |
| 20 | SLU 20 | 1 | 1.5 | 1.05 | 0.9 | 1.5 |
| 21 | SLU 21 | 1 | 1.5 | 1.05 | 1.5 | 0 |
| 22 | SLU 22 | 1 | 1.5 | 1.05 | 1.5 | 0.9 |
| 23 | SLU 23 | 1 | 1.5 | 1.5 | 0 | 0 |
| 24 | SLU 24 | 1 | 1.5 | 1.5 | 0 | 0.9 |
| 25 | SLU 25 | 1 | 1.5 | 1.5 | 0.9 | 0 |
| 26 | SLU 26 | 1 | 1.5 | 1.5 | 0.9 | 0.9 |
| 27 | SLU 27 | 1.3 | 0.8 | 0 | 0 | 0 |
| 28 | SLU 28 | 1.3 | 0.8 | 0 | 0 | 1.5 |
| 29 | SLU 29 | 1.3 | 0.8 | 0 | 0.9 | 1.5 |
| 30 | SLU 30 | 1.3 | 0.8 | 0 | 1.5 | 0 |
| 31 | SLU 31 | 1.3 | 0.8 | 0 | 1.5 | 0.9 |
| 32 | SLU 32 | 1.3 | 0.8 | 1.05 | 0 | 1.5 |
| 33 | SLU 33 | 1.3 | 0.8 | 1.05 | 0.9 | 1.5 |
| 34 | SLU 34 | 1.3 | 0.8 | 1.05 | 1.5 | 0 |
| 35 | SLU 35 | 1.3 | 0.8 | 1.05 | 1.5 | 0.9 |
| 36 | SLU 36 | 1.3 | 0.8 | 1.5 | 0 | 0 |
| 37 | SLU 37 | 1.3 | 0.8 | 1.5 | 0 | 0.9 |
| 38 | SLU 38 | 1.3 | 0.8 | 1.5 | 0.9 | 0 |
| 39 | SLU 39 | 1.3 | 0.8 | 1.5 | 0.9 | 0.9 |
| 40 | SLU 40 | 1.3 | 1.5 | 0 | 0 | 0 |
| 41 | SLU 41 | 1.3 | 1.5 | 0 | 0 | 1.5 |
| 42 | SLU 42 | 1.3 | 1.5 | 0 | 0.9 | 1.5 |
| 43 | SLU 43 | 1.3 | 1.5 | 0 | 1.5 | 0 |
| 44 | SLU 44 | 1.3 | 1.5 | 0 | 1.5 | 0.9 |
| 45 | SLU 45 | 1.3 | 1.5 | 1.05 | 0 | 1.5 |
| 46 | SLU 46 | 1.3 | 1.5 | 1.05 | 0.9 | 1.5 |
| 47 | SLU 47 | 1.3 | 1.5 | 1.05 | 1.5 | 0 |
| 48 | SLU 48 | 1.3 | 1.5 | 1.05 | 1.5 | 0.9 |
| 49 | SLU 49 | 1.3 | 1.5 | 1.5 | 0 | 0 |
| 50 | SLU 50 | 1.3 | 1.5 | 1.5 | 0 | 0.9 |
| 51 | SLU 51 | 1.3 | 1.5 | 1.5 | 0.9 | 0 |
| 52 | SLU 52 | 1.3 | 1.5 | 1.5 | 0.9 | 0.9 |

Famiglia SLE rara

Il nome compatto della famiglia è SLE RA.

| Nome | Nome breve | Pesi | Port. | Variabile G | Vento | ΔT |
|------|------------|------|-------|-------------|-------|-----|
| 1 | SLE RA 1 | 1 | 1 | 0 | 0 | 0 |
| 2 | SLE RA 2 | 1 | 1 | 0 | 0 | 1 |
| 3 | SLE RA 3 | 1 | 1 | 0 | 0.6 | 1 |
| 4 | SLE RA 4 | 1 | 1 | 0 | 1 | 0 |
| 5 | SLE RA 5 | 1 | 1 | 0 | 1 | 0.6 |
| 6 | SLE RA 6 | 1 | 1 | 0.7 | 0 | 1 |
| 7 | SLE RA 7 | 1 | 1 | 0.7 | 0.6 | 1 |
| 8 | SLE RA 8 | 1 | 1 | 0.7 | 1 | 0 |
| 9 | SLE RA 9 | 1 | 1 | 0.7 | 1 | 0.6 |
| 10 | SLE RA 10 | 1 | 1 | 1 | 0 | 0 |
| 11 | SLE RA 11 | 1 | 1 | 1 | 0 | 0.6 |

| Nome | Nome breve | Pesi | Port. | Variabile G | Vento | ΔT |
|------|------------|------|-------|-------------|-------|------------|
| 12 | SLE RA 12 | 1 | 1 | 1 | 0.6 | 0 |
| 13 | SLE RA 13 | 1 | 1 | 1 | 0.6 | 0.6 |

Famiglia SLE frequente

Il nome compatto della famiglia è SLE FR.

| Nome | Nome breve | Pesi | Port. | Variabile G | Vento | ΔT |
|------|------------|------|-------|-------------|-------|------------|
| 1 | SLE FR 1 | 1 | 1 | 0 | 0 | 0 |
| 2 | SLE FR 2 | 1 | 1 | 0 | 0 | 0.5 |
| 3 | SLE FR 3 | 1 | 1 | 0 | 0.2 | 0 |
| 4 | SLE FR 4 | 1 | 1 | 0.3 | 0 | 0.5 |
| 5 | SLE FR 5 | 1 | 1 | 0.3 | 0.2 | 0 |
| 6 | SLE FR 6 | 1 | 1 | 0.5 | 0 | 0 |

Famiglia SLE quasi permanente

Il nome compatto della famiglia è SLE QP.

| Nome | Nome breve | Pesi | Port. | Variabile G | Vento | ΔT |
|------|------------|------|-------|-------------|-------|------------|
| 1 | SLE QP 1 | 1 | 1 | 0 | 0 | 0 |
| 2 | SLE QP 2 | 1 | 1 | 0.3 | 0 | 0 |

Famiglia SLU eccezionale

Il nome compatto della famiglia è SLU EX.

| Nome | Nome breve | Pesi | Port. | Variabile G | Vento | Eccezionale | ΔT |
|------|------------|------|-------|-------------|-------|-------------|------------|
| 1 | SLU EX 1 | 1 | 1 | 0 | 0 | 1 | 0 |

Famiglia SLO

Il nome compatto della famiglia è SLO.

Poiché il numero di condizioni elementari previste per le combinazioni di questa famiglia è cospicuo, la tabella verrà spezzata in più parti.

| Nome | Nome breve | Pesi | Port. | Variabile G | Vento | ΔT | X SLO | Y SLO |
|------|------------|------|-------|-------------|-------|------------|-------|-------|
| 1 | SLO 1 | 1 | 1 | 0.3 | 0 | 0 | -1 | -0.3 |
| 2 | SLO 2 | 1 | 1 | 0.3 | 0 | 0 | -1 | -0.3 |
| 3 | SLO 3 | 1 | 1 | 0.3 | 0 | 0 | -1 | 0.3 |
| 4 | SLO 4 | 1 | 1 | 0.3 | 0 | 0 | -1 | 0.3 |
| 5 | SLO 5 | 1 | 1 | 0.3 | 0 | 0 | -0.3 | -1 |
| 6 | SLO 6 | 1 | 1 | 0.3 | 0 | 0 | -0.3 | -1 |
| 7 | SLO 7 | 1 | 1 | 0.3 | 0 | 0 | -0.3 | 1 |
| 8 | SLO 8 | 1 | 1 | 0.3 | 0 | 0 | -0.3 | 1 |
| 9 | SLO 9 | 1 | 1 | 0.3 | 0 | 0 | 0.3 | -1 |
| 10 | SLO 10 | 1 | 1 | 0.3 | 0 | 0 | 0.3 | -1 |
| 11 | SLO 11 | 1 | 1 | 0.3 | 0 | 0 | 0.3 | 1 |
| 12 | SLO 12 | 1 | 1 | 0.3 | 0 | 0 | 0.3 | 1 |
| 13 | SLO 13 | 1 | 1 | 0.3 | 0 | 0 | 1 | -0.3 |
| 14 | SLO 14 | 1 | 1 | 0.3 | 0 | 0 | 1 | -0.3 |
| 15 | SLO 15 | 1 | 1 | 0.3 | 0 | 0 | 1 | 0.3 |
| 16 | SLO 16 | 1 | 1 | 0.3 | 0 | 0 | 1 | 0.3 |

| Nome | Nome breve | Z SLO | EY SLO | EX SLO | Tr x SLO | Tr y SLO | Tr z SLO |
|------|------------|-------|--------|--------|----------|----------|----------|
| 1 | SLO 1 | 0 | -1 | 0.3 | -1 | -0.3 | 0 |
| 2 | SLO 2 | 0 | 1 | -0.3 | -1 | -0.3 | 0 |
| 3 | SLO 3 | 0 | -1 | 0.3 | -1 | 0.3 | 0 |
| 4 | SLO 4 | 0 | 1 | -0.3 | -1 | 0.3 | 0 |
| 5 | SLO 5 | 0 | -0.3 | 1 | -0.3 | -1 | 0 |
| 6 | SLO 6 | 0 | 0.3 | -1 | -0.3 | -1 | 0 |
| 7 | SLO 7 | 0 | -0.3 | 1 | -0.3 | 1 | 0 |
| 8 | SLO 8 | 0 | 0.3 | -1 | -0.3 | 1 | 0 |
| 9 | SLO 9 | 0 | -0.3 | 1 | 0.3 | -1 | 0 |
| 10 | SLO 10 | 0 | 0.3 | -1 | 0.3 | -1 | 0 |
| 11 | SLO 11 | 0 | -0.3 | 1 | 0.3 | 1 | 0 |
| 12 | SLO 12 | 0 | 0.3 | -1 | 0.3 | 1 | 0 |
| 13 | SLO 13 | 0 | -1 | 0.3 | 1 | -0.3 | 0 |
| 14 | SLO 14 | 0 | 1 | -0.3 | 1 | -0.3 | 0 |
| 15 | SLO 15 | 0 | -1 | 0.3 | 1 | 0.3 | 0 |
| 16 | SLO 16 | 0 | 1 | -0.3 | 1 | 0.3 | 0 |

Famiglia SLD

Il nome compatto della famiglia è SLD.

Poiché il numero di condizioni elementari previste per le combinazioni di questa famiglia è cospicuo, la tabella verrà spezzata in più parti.

| Nome | Nome breve | Pesi | Port. | Variabile G | Vento | ΔT | X SLD | Y SLD |
|------|------------|------|-------|-------------|-------|------------|-------|-------|
| 1 | SLD 1 | 1 | 1 | 0.3 | 0 | 0 | -1 | -0.3 |
| 2 | SLD 2 | 1 | 1 | 0.3 | 0 | 0 | -1 | -0.3 |
| 3 | SLD 3 | 1 | 1 | 0.3 | 0 | 0 | -1 | 0.3 |
| 4 | SLD 4 | 1 | 1 | 0.3 | 0 | 0 | -1 | 0.3 |
| 5 | SLD 5 | 1 | 1 | 0.3 | 0 | 0 | -0.3 | -1 |
| 6 | SLD 6 | 1 | 1 | 0.3 | 0 | 0 | -0.3 | -1 |
| 7 | SLD 7 | 1 | 1 | 0.3 | 0 | 0 | -0.3 | 1 |
| 8 | SLD 8 | 1 | 1 | 0.3 | 0 | 0 | -0.3 | 1 |
| 9 | SLD 9 | 1 | 1 | 0.3 | 0 | 0 | 0.3 | -1 |
| 10 | SLD 10 | 1 | 1 | 0.3 | 0 | 0 | 0.3 | -1 |
| 11 | SLD 11 | 1 | 1 | 0.3 | 0 | 0 | 0.3 | 1 |
| 12 | SLD 12 | 1 | 1 | 0.3 | 0 | 0 | 0.3 | 1 |
| 13 | SLD 13 | 1 | 1 | 0.3 | 0 | 0 | 1 | -0.3 |
| 14 | SLD 14 | 1 | 1 | 0.3 | 0 | 0 | 1 | -0.3 |
| 15 | SLD 15 | 1 | 1 | 0.3 | 0 | 0 | 1 | 0.3 |
| 16 | SLD 16 | 1 | 1 | 0.3 | 0 | 0 | 1 | 0.3 |

| Nome | Nome breve | Z SLD | EY SLD | EX SLD | Tr x SLD | Tr y SLD | Tr z SLD |
|------|------------|-------|--------|--------|----------|----------|----------|
| 1 | SLD 1 | 0 | -1 | 0.3 | -1 | -0.3 | 0 |
| 2 | SLD 2 | 0 | 1 | -0.3 | -1 | -0.3 | 0 |
| 3 | SLD 3 | 0 | -1 | 0.3 | -1 | 0.3 | 0 |
| 4 | SLD 4 | 0 | 1 | -0.3 | -1 | 0.3 | 0 |
| 5 | SLD 5 | 0 | -0.3 | 1 | -0.3 | -1 | 0 |
| 6 | SLD 6 | 0 | 0.3 | -1 | -0.3 | -1 | 0 |
| 7 | SLD 7 | 0 | -0.3 | 1 | -0.3 | 1 | 0 |
| 8 | SLD 8 | 0 | 0.3 | -1 | -0.3 | 1 | 0 |
| 9 | SLD 9 | 0 | -0.3 | 1 | 0.3 | -1 | 0 |
| 10 | SLD 10 | 0 | 0.3 | -1 | 0.3 | -1 | 0 |

| Nome | Nome breve | Z SLD | EY SLD | EX SLD | Tr x SLD | Tr y SLD | Tr z SLD |
|------|------------|-------|--------|--------|----------|----------|----------|
| 11 | SLD 11 | 0 | -0.3 | 1 | 0.3 | 1 | 0 |
| 12 | SLD 12 | 0 | 0.3 | -1 | 0.3 | 1 | 0 |
| 13 | SLD 13 | 0 | -1 | 0.3 | 1 | -0.3 | 0 |
| 14 | SLD 14 | 0 | 1 | -0.3 | 1 | -0.3 | 0 |
| 15 | SLD 15 | 0 | -1 | 0.3 | 1 | 0.3 | 0 |
| 16 | SLD 16 | 0 | 1 | -0.3 | 1 | 0.3 | 0 |

Famiglia SLV

Il nome compatto della famiglia è SLV.

Poiché il numero di condizioni elementari previste per le combinazioni di questa famiglia è cospicuo, la tabella verrà spezzata in più parti.

| Nome | Nome breve | Pesi | Port. | Variabile G | Vento | ΔT | X SLV | Y SLV |
|------|------------|------|-------|-------------|-------|----|-------|-------|
| 1 | SLV 1 | 1 | 1 | 0.3 | 0 | 0 | -1 | -0.3 |
| 2 | SLV 2 | 1 | 1 | 0.3 | 0 | 0 | -1 | -0.3 |
| 3 | SLV 3 | 1 | 1 | 0.3 | 0 | 0 | -1 | 0.3 |
| 4 | SLV 4 | 1 | 1 | 0.3 | 0 | 0 | -1 | 0.3 |
| 5 | SLV 5 | 1 | 1 | 0.3 | 0 | 0 | -0.3 | -1 |
| 6 | SLV 6 | 1 | 1 | 0.3 | 0 | 0 | -0.3 | -1 |
| 7 | SLV 7 | 1 | 1 | 0.3 | 0 | 0 | -0.3 | 1 |
| 8 | SLV 8 | 1 | 1 | 0.3 | 0 | 0 | -0.3 | 1 |
| 9 | SLV 9 | 1 | 1 | 0.3 | 0 | 0 | 0.3 | -1 |
| 10 | SLV 10 | 1 | 1 | 0.3 | 0 | 0 | 0.3 | -1 |
| 11 | SLV 11 | 1 | 1 | 0.3 | 0 | 0 | 0.3 | 1 |
| 12 | SLV 12 | 1 | 1 | 0.3 | 0 | 0 | 0.3 | 1 |
| 13 | SLV 13 | 1 | 1 | 0.3 | 0 | 0 | 1 | -0.3 |
| 14 | SLV 14 | 1 | 1 | 0.3 | 0 | 0 | 1 | -0.3 |
| 15 | SLV 15 | 1 | 1 | 0.3 | 0 | 0 | 1 | 0.3 |
| 16 | SLV 16 | 1 | 1 | 0.3 | 0 | 0 | 1 | 0.3 |

| Nome | Nome breve | Z SLV | EY SLV | EX SLV | Tr x SLV | Tr y SLV | Tr z SLV |
|------|------------|-------|--------|--------|----------|----------|----------|
| 1 | SLV 1 | 0 | -1 | 0.3 | -1 | -0.3 | 0 |
| 2 | SLV 2 | 0 | -1 | -0.3 | -1 | -0.3 | 0 |
| 3 | SLV 3 | 0 | -1 | 0.3 | -1 | 0.3 | 0 |
| 4 | SLV 4 | 0 | 1 | -0.3 | -1 | 0.3 | 0 |
| 5 | SLV 5 | 0 | -0.3 | 1 | -0.3 | -1 | 0 |
| 6 | SLV 6 | 0 | 0.3 | -1 | -0.3 | -1 | 0 |
| 7 | SLV 7 | 0 | -0.3 | 1 | -0.3 | 1 | 0 |
| 8 | SLV 8 | 0 | 0.3 | -1 | -0.3 | 1 | 0 |
| 9 | SLV 9 | 0 | -0.3 | 1 | 0.3 | -1 | 0 |
| 10 | SLV 10 | 0 | 0.3 | -1 | 0.3 | -1 | 0 |
| 11 | SLV 11 | 0 | -0.3 | 1 | 0.3 | 1 | 0 |
| 12 | SLV 12 | 0 | 0.3 | -1 | 0.3 | 1 | 0 |
| 13 | SLV 13 | 0 | 0.3 | -1 | 0.3 | 1 | 0 |
| 14 | SLV 14 | 0 | -1 | 0.3 | 1 | -0.3 | 0 |
| 15 | SLV 15 | 0 | -1 | 0.3 | 1 | 0.3 | 0 |
| 16 | SLV 16 | 0 | 1 | -0.3 | 1 | 0.3 | 0 |

Famiglia Calcolo rigidezza torsionale/flessionale di piano

Il nome compatto della famiglia è CRTFP.

| Nome | Nome breve | R UX | R UY | R RZ |
|----------|------------|------|------|------|
| Rig. UX+ | CRTFP UX+ | 1 | 0 | 0 |
| Rig. UX- | CRTFP UX- | -1 | 0 | 0 |
| Rig. Uy+ | CRTFP Uy+ | 0 | 1 | 0 |
| Rig. Uy- | CRTFP Uy- | 0 | -1 | 0 |
| Rig. Rz+ | CRTFP Rz+ | 0 | 0 | 1 |
| Rig. Rz- | CRTFP Rz- | 0 | 0 | -1 |

6.2.5 Definizioni di carichi concentrati**Nome:** nome identificativo della definizione di carico.**Valori:** valori associati alle condizioni di carico.**Condizione:** condizione di carico a cui sono associati i valori.**Descrizione:** nome assegnato alla condizione elementare.**Fx:** componente X del carico concentrato. [daN]**Fy:** componente Y del carico concentrato. [daN]**Fz:** componente Z del carico concentrato. [daN]**Mx:** componente di momento della coppia concentrata attorno all'asse X. [daN*cm]**My:** componente di momento della coppia concentrata attorno all'asse Y. [daN*cm]**Mz:** componente di momento della coppia concentrata attorno all'asse Z. [daN*cm]

| Nome | Valori | | | | | | |
|-----------------|---------------------------|--------|-------|-------|----|----|----|
| | Condizione Descrizione | Fx | Fy | Fz | Mx | My | Mz |
| urto della nave | Pesi strutturali | 0 | 0 | 0 | 0 | 0 | 0 |
| | Permanenti portati | 0 | 0 | 0 | 0 | 0 | 0 |
| | Variabile G | 0 | 0 | 0 | 0 | 0 | 0 |
| | Vento | 0 | 0 | 0 | 0 | 0 | 0 |
| | Eccezionale | 86600 | 50000 | 0 | 0 | 0 | 0 |
| tiro bitta | Pesi strutturali | 0 | 0 | 0 | 0 | 0 | 0 |
| | Permanenti portati | 0 | 0 | 0 | 0 | 0 | 0 |
| | Variabile G | 0 | 0 | 0 | 0 | 0 | 0 |
| | Vento | -50000 | 50000 | 71000 | 0 | 0 | 0 |
| | Eccezionale | 0 | 0 | 0 | 0 | 0 | 0 |

6.2.6 Definizioni di carichi superficiali**Nome:** nome identificativo della definizione di carico.**Valori:** valori associati alle condizioni di carico.**Condizione:** condizione di carico a cui sono associati i valori.**Descrizione:** nome assegnato alla condizione elementare.**Valore:** modulo del carico superficiale applicato alla superficie. [daN/cm²]**Applicazione:** modalità con cui il carico è applicato alla superficie.

| Nome | Valori |
|------|--------|
|------|--------|

| | Condizione Descrizione | Valore | Applicazione |
|--|---------------------------|--------|--------------|
| | Pesi strutturali | 0 | Verticale |
| | Permanenti portati | 0 | Verticale |
| | Variabile G | 0.24 | Verticale |
| | Vento | 0 | Verticale |
| | Eccezionale | 0 | Verticale |

6.2.7 Definizioni di carichi termici

Nome: nome identificativo della definizione di carico.

ΔT faccia interna: variazione di temperatura della faccia interna dell'elemento rispetto alla temperatura di costruzione. [$^{\circ}\text{C}$]

ΔT faccia esterna: variazione di temperatura della faccia esterna dell'elemento rispetto alla temperatura di costruzione. [$^{\circ}\text{C}$]

| Nome | ΔT faccia interna | ΔT faccia esterna |
|------|---------------------------|---------------------------|
| 1 | 0 | 25 |

6.3 Quote

6.3.1 Livelli

Descrizione breve: nome sintetico assegnato al livello.

Descrizione: nome assegnato al livello.

Quota: quota superiore espressa nel sistema di riferimento assoluto. [cm]

Spessore: spessore del livello. [cm]

| Descrizione breve | Descrizione | Quota | Spessore |
|-------------------|--------------|-------|----------|
| L1 | Fondale -820 | -740 | 0 |
| L2 | Fondale -680 | -600 | 0 |
| L3 | banchina | 190 | 40 |

6.3.2 Tronchi

Descrizione breve: nome sintetico assegnato al tronco.

Descrizione: nome assegnato al tronco.

Quota 1: riferimento della prima quota di definizione del tronco. esprimibile come livello, falda, piano orizzontale alla Z specificata. [cm]

Quota 2: riferimento della seconda quota di definizione del tronco. esprimibile come livello, falda, piano orizzontale alla Z specificata. [cm]

| Descrizione breve | Descrizione | Quota 1 | Quota 2 |
|-------------------|-------------------------|--------------|----------|
| T1 | Fondale -820 - banchina | Fondale -820 | banchina |
| T2 | Fondale -680 - banchina | Fondale -680 | banchina |

6.4 Sondaggi del sito

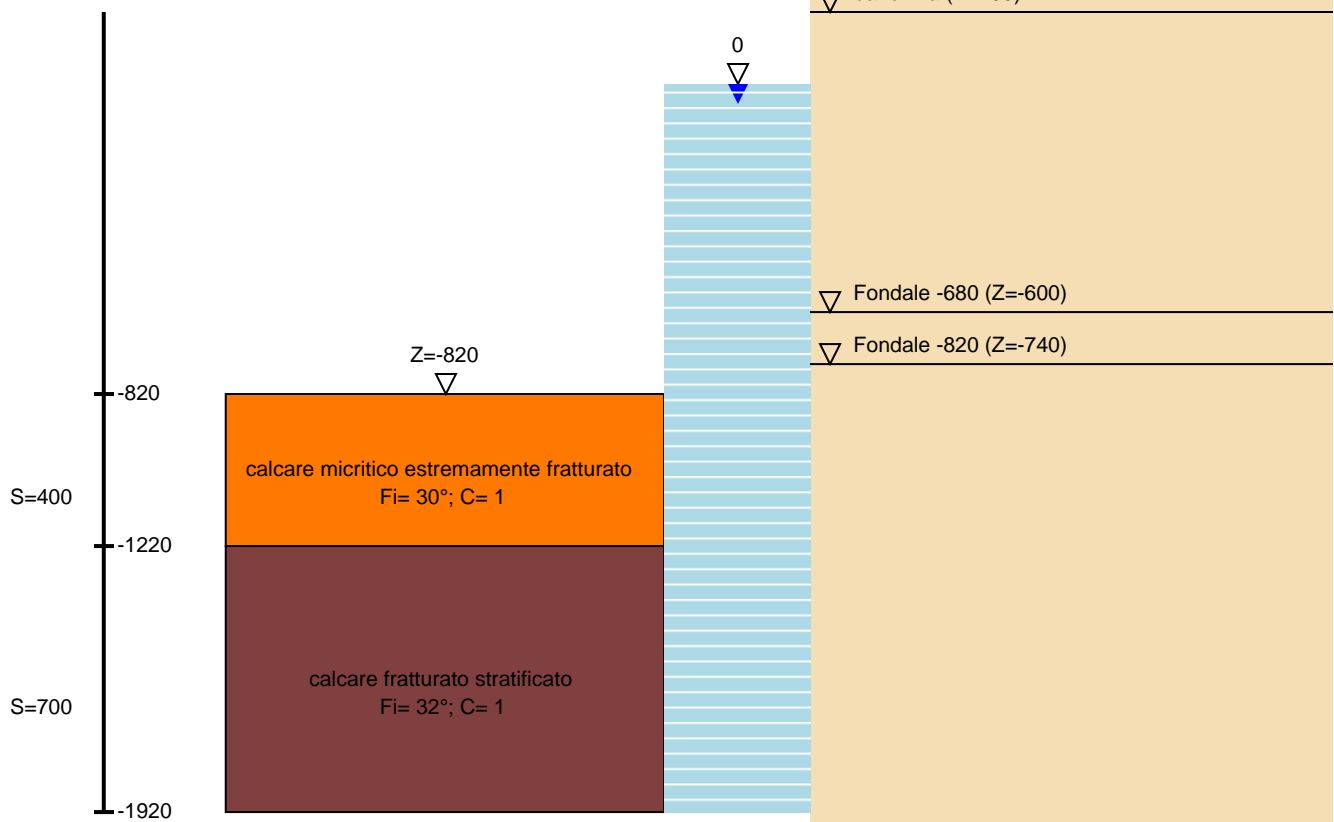
Vengono elencati in modo sintetico tutti i sondaggi risultanti dalle verticali di indagine condotte in sito, con l'indicazione dei terreni incontrati, degli spessori e dell'eventuale falda acquifera.

Nome attribuito al sondaggio: Sondaggio 820 (n.2)

Coordinate planimetriche del sondaggio nel sistema globale scelto: 0, 4000

Quota della sommità del sondaggio (P.C.) nel sistema globale scelto: -820

I valori sono espressi in cm



Stratigrafie

Terreno: terreno mediamente uniforme presente nello strato.

Sp.: spessore dello strato. [cm]

Liqf: indica se considerare lo strato come liquefacibile nelle combinazioni sismiche. Con 'Da verifica' viene considerato quanto risulta dalla verifica condotta a fine calcolo solutore.

Kor,i: coefficiente K orizzontale al livello inferiore dello strato per modellazione palo. [daN/cm^3]

Kor,s: coefficiente K orizzontale al livello superiore dello strato per modellazione palo. [daN/cm^3]

Kve,i: coefficiente K verticale al livello inferiore dello strato per modellazione palo. [daN/cm^3]

Kve,s: coefficiente K verticale al livello superiore dello strato per modellazione palo. [daN/cm^3]

Eel,s: modulo elastico al livello superiore dello strato per calcolo sedimenti istantanei; 0 per non calcolarli. [daN/cm^2]

Eel,i: modulo elastico al livello inferiore dello strato per calcolo sedimenti istantanei; 0 per non calcolarli. [daN/cm^2]

Eed,s: modulo edometrico al livello superiore per calcolo sedimenti complessivi; 0 per non calcolarli. [daN/cm^2]

Eed,i: modulo edometrico al livello inferiore per calcolo sedimenti complessivi; 0 per non calcolarli. [daN/cm^2]

CC,s: coefficiente di compressione vergine CC al livello superiore per calcolo sedimenti di consolidazione; 0 per non calcolarli. Il valore è adimensionale.

CC,i: coefficiente di compressione vergine CC al livello inferiore per calcolo sedimenti di consolidazione; 0 per non calcolarli. Il valore è adimensionale.

CR,s: coefficiente di ricompressione CR al livello superiore per calcolo sedimenti di consolidazione; 0 per non calcolarli. Il valore è adimensionale.

CR,i: coefficiente di ricompressione CR al livello inferiore per calcolo sedimenti di consolidazione; 0 per non calcolarli. Il valore è adimensionale.

E0,s: indice dei vuoti E0 al livello superiore per calcolo sedimenti di consolidazione. Il valore è adimensionale.

E0,i: indice dei vuoti E0 al livello inferiore per calcolo sedimenti di consolidazione. Il valore è adimensionale.

OCR,s: indice di sovraconsolidazione OCR al livello superiore per calcolo sedimenti di consolidazione; 1 per terreno NC. Il valore è adimensionale.

OCR,i: indice di sovraconsolidazione OCR al livello inferiore per calcolo sedimenti di consolidazione; 1 per terreno NC. Il valore è adimensionale.

| Terreno | Sp. | Liqf | Kor,i | Kor,s | Kve,i | Kve,s | Eel,s | Eel,i | Eed,s | Eed,i | CC,s | CC,i | CR,s | CR,i | E0,s | E0,i | OCR,s | OCR,i |
|---|-----|------|-------|-------|-------|-------|--------|--------|-------|-------|------|------|------|------|------|------|-------|-------|
| calcare micritico estremamente fratturato | 400 | No | 5 | 5 | 30 | 30 | 50000 | 50000 | 0 | 0 | 0 | 0 | 0 | 0 | 0 | 0 | 1 | 1 |
| calcare fratturato stratificato | 700 | No | 5 | 5 | 50 | 50 | 200000 | 200000 | 0 | 0 | 0 | 0 | 0 | 0 | 0 | 0 | 1 | 1 |

Falde acquifere

Profondità: profondità della superficie superiore della falda dalla quota del punto di riferimento. [cm]

Carico piezometrico: carico piezometrico rispetto alla superficie superiore, 0 per falde freatiche. [cm]

Spessore: spessore dell'acquifero.

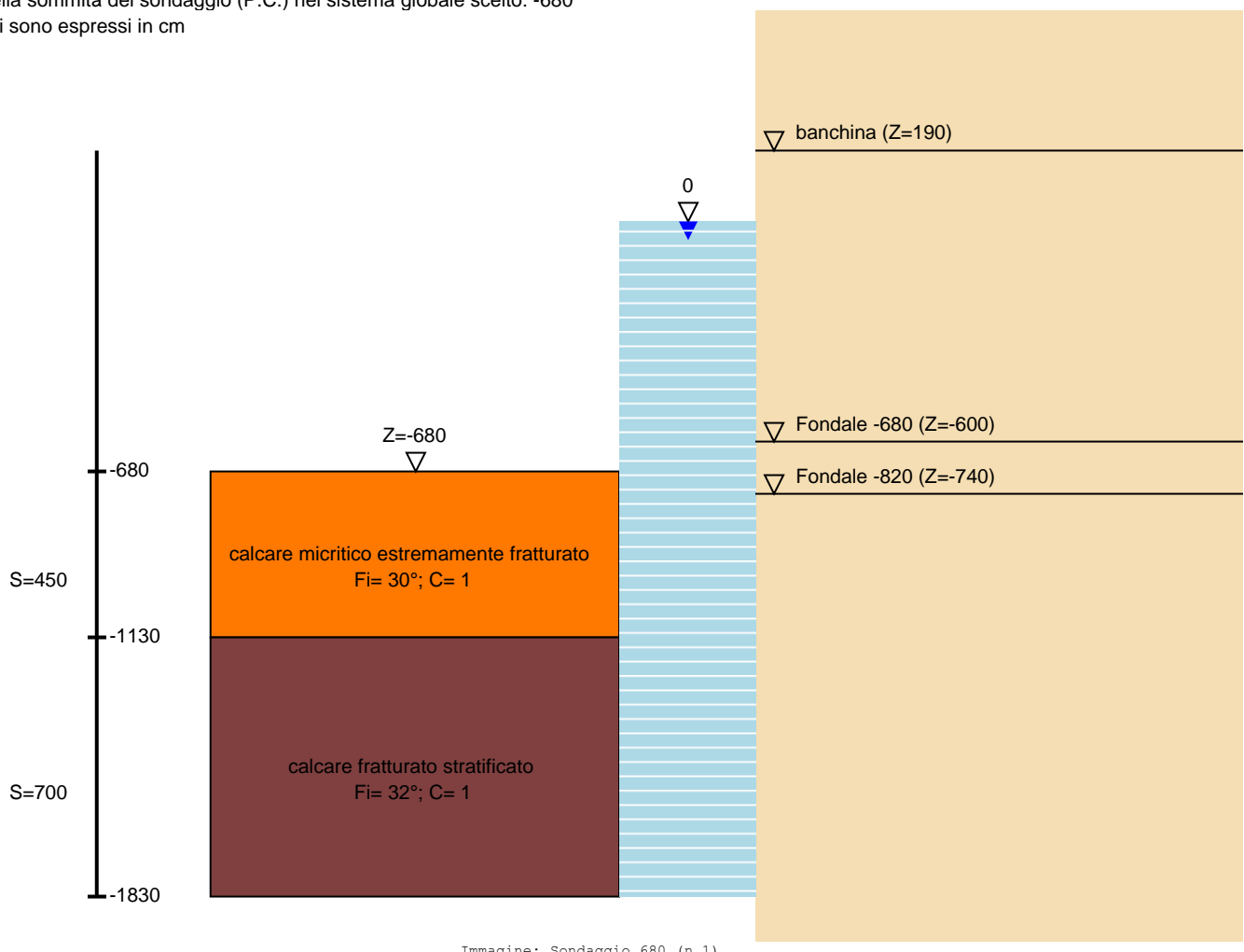
| Profondità | Carico piezometrico | Spessore |
|------------|---------------------|---------------|
| -820 | 0 | Fino in fondo |

Nome attribuito al sondaggio: Sondaggio 680 (n.1)

Coordinate planimetriche del sondaggio nel sistema globale scelto: 6000, 1200

Quota della sommità del sondaggio (P.C.) nel sistema globale scelto: -680

I valori sono espressi in cm



Stratigrafie

Terreno: terreno mediamente uniforme presente nello strato.

Sp.: spessore dello strato. [cm]

Liqf: indica se considerare lo strato come liquefacibile nelle combinazioni sismiche. Con 'Da verifica' viene considerato quanto risulta dalla verifica condotta a fine calcolo solutore.

Kor,i: coefficiente K orizzontale al livello inferiore dello strato per modellazione palo. [daN/cm^3]

Kor,s: coefficiente K orizzontale al livello superiore dello strato per modellazione palo. [daN/cm^3]

Kve,i: coefficiente K verticale al livello inferiore dello strato per modellazione palo. [daN/cm^3]

Kve,s: coefficiente K verticale al livello superiore dello strato per modellazione palo. [daN/cm^3]

Eel,s: modulo elastico al livello superiore dello strato per calcolo sedimenti istantanei; 0 per non calcolarli. [daN/cm^2]

Eel,i: modulo elastico al livello inferiore dello strato per calcolo sedimenti istantanei; 0 per non calcolarli. [daN/cm^2]

Eed,s: modulo edometrico al livello superiore per calcolo sedimenti complessivi; 0 per non calcolarli. [daN/cm^2]

Eed,i: modulo edometrico al livello inferiore per calcolo sedimenti complessivi; 0 per non calcolarli. [daN/cm^2]

CC,s: coefficiente di compressione vergine CC al livello superiore per calcolo sedimenti di consolidazione; 0 per non calcolarli. Il valore è adimensionale.

CC,i: coefficiente di compressione vergine CC al livello inferiore per calcolo sedimenti di consolidazione; 0 per non calcolarli. Il valore è adimensionale.

CR,s: coefficiente di ricompressione CR al livello superiore per calcolo sedimenti di consolidazione; 0 per non calcolarli. Il valore è adimensionale.

CR,i: coefficiente di ricompressione CR al livello inferiore per calcolo sedimenti di consolidazione; 0 per non calcolarli. Il valore è adimensionale.

E0,s: indice dei vuoti E0 al livello superiore per calcolo sedimenti di consolidazione. Il valore è adimensionale.

E0,i: indice dei vuoti E0 al livello inferiore per calcolo sedimenti di consolidazione. Il valore è adimensionale.

OCR,s: indice di sovraconsolidazione OCR al livello superiore per calcolo sedimenti di consolidazione; 1 per terreno NC. Il valore è adimensionale.

OCR,i: indice di sovraconsolidazione OCR al livello inferiore per calcolo sedimenti di consolidazione; 1 per terreno NC. Il valore è adimensionale.

| Terreno | Sp. | Liqf | Kor,i | Kor,s | Kve,i | Kve,s | Eel,s | Eel,i | Eed,s | Eed,i | CC,s | CC,i | CR,s | CR,i | E0,s | E0,i | OCR,s | OCR,i |
|---|-----|------|-------|-------|-------|-------|--------|--------|-------|-------|------|------|------|------|------|------|-------|-------|
| calcare micritico estremamente fratturato | 450 | No | 3 | 3 | 30 | 30 | 50000 | 50000 | 0 | 0 | 0 | 0 | 0 | 0 | 0 | 0 | 1 | 1 |
| calcare fratturato stratificato | 700 | No | 3 | 3 | 50 | 50 | 200000 | 200000 | 0 | 0 | 0 | 0 | 0 | 0 | 0 | 0 | 1 | 1 |

Falde acquifere

Profondità: profondità della superficie superiore della falda dalla quota del punto di riferimento. [cm]

Carico piezometrico: carico piezometrico rispetto alla superficie superiore, 0 per falde freatiche. [cm]

Spessore: spessore dell'acquifero.

| Profondità | Carico piezometrico | Spessore |
|------------|---------------------|---------------|
| -680 | 0 | Fino in fondo |

6.5 Elementi di input

6.5.1 Fili fissi

6.5.1.1 Fili fissi di piano

Livello: quota di inserimento espressa con notazione breve esprimibile come livello, falda, piano orizzontale alla Z specificata. [cm]

Punto: punto di inserimento.

X: coordinata X. [cm]

Y: coordinata Y. [cm]

Estradosso: distanza dalla quota di inserimento misurata in direzione ortogonale al piano della quota e con verso positivo verso l'alto. [cm]

Angolo: angolo misurato dal semiasse positivo delle ascisse in verso antiorario. [deg]

Tipo: tipo di simbolo.

T.c.: testo completo visualizzato accanto al filo fisso, costituito dalla concatenazione del prefisso e del testo.

| Livello | Punto | | Estradosso | Angolo | Tipo | T.c. |
|---------|-------|--------|------------|--------|-------|------|
| | X | Y | | | | |
| L3 | 246 | 1396 | 0 | 0 | Croce | 13 |
| L3 | 2046 | 196 | 0 | 0 | Croce | 28 |
| L3 | 5646 | 196 | 0 | 0 | Croce | 51 |
| L3 | 4446 | 656.9 | 0 | 0 | Croce | 46 |
| L3 | 3846 | 196 | 0 | 0 | Croce | 41 |
| L3 | 3846 | 1512 | 0 | 0 | Croce | 44 |
| L3 | 4446 | 1226.9 | 0 | 0 | Croce | 47 |
| L3 | 846 | 2937 | 0 | 0 | Croce | 22 |
| L3 | 3246 | 1797 | 0 | 0 | Croce | 40 |
| L3 | 5046 | 941.9 | 0 | 0 | Croce | 50 |
| L3 | 61.9 | 3549.3 | 0 | 0 | Croce | 10 |
| L3 | 5046 | 656.9 | 0 | 0 | Croce | 49 |
| L3 | 1446 | 1996 | 0 | 0 | Croce | 26 |
| L3 | 1446 | 796 | 0 | 0 | Croce | 24 |
| L3 | 246 | 1996 | 0 | 0 | Croce | 14 |
| L3 | 246 | 3222.1 | 0 | 0 | Croce | 16 |
| L3 | 846 | 796 | 0 | 0 | Croce | 18 |
| L3 | 846 | 1996 | 0 | 0 | Croce | 20 |
| L3 | -354 | 796 | 0 | 0 | Croce | 4 |
| L3 | -354 | 1996 | 0 | 0 | Croce | 6 |
| L3 | -354 | 2596 | 0 | 0 | Croce | 7 |
| L3 | 246 | 796 | 0 | 0 | Croce | 12 |
| L3 | 2046 | 1996 | 0 | 0 | Croce | 31 |
| L3 | 2646 | 796 | 0 | 0 | Croce | 34 |
| L3 | 2646 | 2082 | 0 | 0 | Croce | 36 |
| L3 | 3246 | 656.9 | 0 | 0 | Croce | 38 |
| L3 | -354 | 3196 | 0 | 0 | Croce | 8 |

| Livello | Punto | | Estradosso | Angolo | Tipo | T.c. |
|---------|--------|--------|------------|--------|-------|------|
| | X | Y | | | | |
| L3 | 1446 | 2652 | 0 | 0 | Croce | 27 |
| L3 | 2046 | 796 | 0 | 0 | Croce | 29 |
| L3 | 5646 | 656.9 | 0 | 0 | Croce | 52 |
| L3 | 3246 | 1226.9 | 0 | 0 | Croce | 39 |
| L3 | 3846 | 656.9 | 0 | 0 | Croce | 42 |
| L3 | 4446 | 196 | 0 | 0 | Croce | 45 |
| L3 | 5046 | 196 | 0 | 0 | Croce | 48 |
| L3 | 2046 | 2367 | 0 | 0 | Croce | 32 |
| L3 | -354 | 3507.1 | 0 | 0 | Croce | 9 |
| L3 | -404 | 146 | 0 | 0 | Croce | 1 |
| L3 | -404 | 3646 | 0 | 0 | Croce | 2 |
| L3 | 3846 | 1226.9 | 0 | 0 | Croce | 43 |
| L3 | 1446 | 1396 | 0 | 0 | Croce | 25 |
| L3 | 1446 | 196 | 0 | 0 | Croce | 23 |
| L3 | 246 | 2596 | 0 | 0 | Croce | 15 |
| L3 | 846 | 196 | 0 | 0 | Croce | 17 |
| L3 | 846 | 1396 | 0 | 0 | Croce | 19 |
| L3 | -354 | 196 | 0 | 0 | Croce | 3 |
| L3 | -354 | 1396 | 0 | 0 | Croce | 5 |
| L3 | 5996.1 | 146 | 0 | 0 | Croce | 53 |
| L3 | 246 | 196 | 0 | 0 | Croce | 11 |
| L3 | 2046 | 1396 | 0 | 0 | Croce | 30 |
| L3 | 2646 | 196 | 0 | 0 | Croce | 33 |
| L3 | 2646 | 1396 | 0 | 0 | Croce | 35 |
| L3 | 3246 | 196 | 0 | 0 | Croce | 37 |
| L3 | 846 | 2596 | 0 | 0 | Croce | 21 |
| L3 | 5996.1 | 730.4 | 0 | 0 | Croce | 54 |

6.5.2 Travi tralicciate di piano

6.5.2.1 Travi tralicciate di piano

Sezione: riferimento ad una definizione di sezione C.A..

P.i.: posizione dei punti d'inserimento rispetto alla geometria della sezione. SA=Sinistra anima, CA=Centro anima, DA=Destra anima

Liv.: quota del punto di inserimento iniziale. esprimibile come livello, falda, piano orizzontale alla Z specificata. [cm]

Punto i.: punto di inserimento iniziale.

X: coordinata X. [cm]

Y: coordinata Y. [cm]

Punto f.: punto di inserimento finale.

X: coordinata X. [cm]

Y: coordinata Y. [cm]

Estr.: distanza dalla quota di inserimento misurata in direzione ortogonale al piano della quota e con verso positivo verso l'alto. [cm]

Mat.: riferimento ad una definizione di materiale calcestruzzo.

Car.lin.: riferimento alla definizione di un carico lineare.L: valori del carico espressi nel sistema locale dell'elemento.G: valori del carico espressi nel sistema globale.

Sovr.: aliquota di sovraresistenza da assicurare in verifica.

S.Z.: indica se l'elemento deve essere verificato considerando il sisma verticale.

C.i.: vincolo o cerniera da applicare al relativo estremo dell'asta nel modello.

C.f.: vincolo o cerniera da applicare al relativo estremo dell'asta nel modello.

P.lin.: peso per unità di lunghezza. [daN/cm]

| Sezione | P.i. | Liv. | Punto i. | | Punto f. | | Estr. | Mat. | Car.lin. | Sovr. | S.Z. | C.i. | C.f. | P.lin. |
|----------|------|------|----------|--------|----------|--------|-------|--------|------------|-------|------|------|------|--------|
| | | | X | Y | X | Y | | | | | | | | |
| R 60x100 | CA | L3 | -354 | 196 | -354 | 796 | 0 | C35/45 | Nessuno; G | 0 | No | No | No | 15 |
| R 60x100 | CA | L3 | 2046 | 2367 | 2646 | 2082 | 0 | C35/45 | Nessuno; G | 0 | No | No | No | 15 |
| R 60x100 | CA | L3 | 1446 | 2652 | 2046 | 2367 | 0 | C35/45 | Nessuno; G | 0 | No | No | No | 15 |
| R 60x100 | CA | L3 | 846 | 2937 | 1446 | 2652 | 0 | C35/45 | Nessuno; G | 0 | No | No | No | 15 |
| R 60x100 | CA | L3 | 246 | 3222.1 | 846 | 2937 | 0 | C35/45 | Nessuno; G | 0 | No | No | No | 15 |
| R 60x100 | CA | L3 | -354 | 3507.1 | 246 | 3222.1 | 0 | C35/45 | Nessuno; G | 0 | No | No | No | 15 |
| R 60x60 | CA | L3 | 2046 | 1396 | 2646 | 1396 | 0 | C35/45 | Nessuno; G | 0 | No | No | No | 9 |
| R 60x60 | CA | L3 | 1446 | 1396 | 2046 | 1396 | 0 | C35/45 | Nessuno; G | 0 | No | No | No | 9 |
| R 60x60 | CA | L3 | 2646 | 2082 | 3246 | 1797 | 0 | C35/45 | Nessuno; G | 0 | No | No | No | 15 |
| R 60x60 | CA | L3 | 846 | 1396 | 1446 | 1396 | 0 | C35/45 | Nessuno; G | 0 | No | No | No | 9 |
| R 60x60 | CA | L3 | -354 | 1396 | 246 | 1396 | 0 | C35/45 | Nessuno; G | 0 | No | No | No | 9 |
| R 60x60 | CA | L3 | 1446 | 1996 | 2046 | 1996 | 0 | C35/45 | Nessuno; G | 0 | No | No | No | 9 |
| R 60x60 | CA | L3 | 846 | 1996 | 1446 | 1996 | 0 | C35/45 | Nessuno; G | 0 | No | No | No | 9 |
| R 60x60 | CA | L3 | 246 | 1996 | 846 | 1996 | 0 | C35/45 | Nessuno; G | 0 | No | No | No | 9 |
| R 60x60 | CA | L3 | -354 | 1996 | 246 | 1996 | 0 | C35/45 | Nessuno; G | 0 | No | No | No | 9 |
| R 60x40 | CA | L3 | 246 | 2596 | 846 | 2596 | 0 | C35/45 | Nessuno; G | 0 | No | No | No | 6 |
| R 60x40 | CA | L3 | -354 | 2596 | 246 | 2596 | 0 | C35/45 | Nessuno; G | 0 | No | No | No | 6 |
| R 60x60 | CA | L3 | 246 | 1396 | 846 | 1396 | 0 | C35/45 | Nessuno; G | 0 | No | No | No | 9 |

| Sezione | P.i. | Liv. | Punto i. | | Punto f. | | Estr. | Mat. | Car.lin. | Sovr. | S.Z | C.i. | C.f. | P.lin. |
|----------|------|------|----------|--------|----------|--------|-------|--------|------------|-------|-----|------|------|--------|
| | | | X | Y | X | Y | | | | | | | | |
| R 60x100 | CA | L3 | 3246 | 1797 | 3846 | 1512 | 0 | C35/45 | Nessuno; G | 0 | No | No | No | 15 |
| R 60x100 | CA | L3 | 3846 | 1512 | 4446 | 1226.9 | 0 | C35/45 | Nessuno; G | 0 | No | No | No | 15 |
| R 60x100 | CA | L3 | 4446 | 1226.9 | 5046 | 941.9 | 0 | C35/45 | Nessuno; G | 0 | No | No | No | 15 |
| R 60x60 | CA | L3 | 3846 | 656.9 | 4446 | 656.9 | 0 | C35/45 | Nessuno; G | 0 | No | No | No | 9 |
| R 60x60 | CA | L3 | 3246 | 656.9 | 3846 | 656.9 | 0 | C35/45 | Nessuno; G | 0 | No | No | No | 9 |
| R 60x60 | CA | L3 | 2646 | 796 | 3246 | 656.9 | 0 | C35/45 | Nessuno; G | 0 | No | No | No | 9 |
| R 60x60 | CA | L3 | 3846 | 1226.9 | 4446 | 1226.9 | 0 | C35/45 | Nessuno; G | 0 | No | No | No | 9 |
| R 60x60 | CA | L3 | 3246 | 1226.9 | 3846 | 1226.9 | 0 | C35/45 | Nessuno; G | 0 | No | No | No | 9 |
| R 60x60 | CA | L3 | 2646 | 1396 | 3246 | 1226.9 | 0 | C35/45 | Nessuno; G | 0 | No | No | No | 9 |
| R 60x100 | CA | L3 | 3246 | 1226.9 | 3246 | 1797 | 0 | C35/45 | Nessuno; G | 0 | No | No | No | 15 |
| R 60x100 | CA | L3 | 3246 | 656.9 | 3246 | 1226.9 | 0 | C35/45 | Nessuno; G | 0 | No | No | No | 15 |
| R 60x100 | CA | L3 | 3246 | 196 | 3246 | 656.9 | 0 | C35/45 | Nessuno; G | 0 | No | No | No | 15 |
| R 60x100 | CA | L3 | 5046 | 656.9 | 5046 | 941.9 | 0 | C35/45 | Nessuno; G | 0 | No | No | No | 15 |
| R 60x100 | CA | L3 | 4446 | 656.9 | 4446 | 1226.9 | 0 | C35/45 | Nessuno; G | 0 | No | No | No | 15 |
| R 60x100 | CA | L3 | 4446 | 196 | 4446 | 656.9 | 0 | C35/45 | Nessuno; G | 0 | No | No | No | 15 |
| R 60x100 | CA | L3 | 3846 | 1226.9 | 3846 | 1512 | 0 | C35/45 | Nessuno; G | 0 | No | No | No | 15 |
| R 60x100 | CA | L3 | 3846 | 656.9 | 3846 | 1226.9 | 0 | C35/45 | Nessuno; G | 0 | No | No | No | 15 |
| R 60x100 | CA | L3 | 3846 | 196 | 3846 | 656.9 | 0 | C35/45 | Nessuno; G | 0 | No | No | No | 15 |
| R 60x100 | CA | L3 | 5046 | 941.9 | 5646 | 656.9 | 0 | C35/45 | Nessuno; G | 0 | No | No | No | 15 |
| R 60x60 | CA | L3 | 2046 | 796 | 2646 | 796 | 0 | C35/45 | Nessuno; G | 0 | No | No | No | 9 |
| R 60x60 | CA | L3 | 1446 | 796 | 2046 | 796 | 0 | C35/45 | Nessuno; G | 0 | No | No | No | 9 |
| R 60x60 | CA | L3 | 846 | 796 | 1446 | 796 | 0 | C35/45 | Nessuno; G | 0 | No | No | No | 9 |
| R 60x60 | CA | L3 | 246 | 796 | 846 | 796 | 0 | C35/45 | Nessuno; G | 0 | No | No | No | 9 |
| R 60x100 | CA | L3 | 1446 | 796 | 1446 | 1396 | 0 | C35/45 | Nessuno; G | 0 | No | No | No | 15 |
| R 60x100 | CA | L3 | 1446 | 196 | 1446 | 796 | 0 | C35/45 | Nessuno; G | 0 | No | No | No | 15 |
| R 60x100 | CA | L3 | 846 | 2596 | 846 | 2937 | 0 | C35/45 | Nessuno; G | 0 | No | No | No | 15 |
| R 60x100 | CA | L3 | 846 | 1996 | 846 | 2596 | 0 | C35/45 | Nessuno; G | 0 | No | No | No | 15 |
| R 60x100 | CA | L3 | 846 | 1396 | 846 | 1996 | 0 | C35/45 | Nessuno; G | 0 | No | No | No | 15 |
| R 60x100 | CA | L3 | 846 | 796 | 846 | 1396 | 0 | C35/45 | Nessuno; G | 0 | No | No | No | 15 |
| R 60x100 | CA | L3 | 846 | 196 | 846 | 796 | 0 | C35/45 | Nessuno; G | 0 | No | No | No | 15 |
| R 60x100 | CA | L3 | 246 | 2596 | 246 | 3222.1 | 0 | C35/45 | Nessuno; G | 0 | No | No | No | 15 |
| R 60x100 | CA | L3 | 246 | 1996 | 246 | 2596 | 0 | C35/45 | Nessuno; G | 0 | No | No | No | 15 |
| R 60x100 | CA | L3 | 246 | 1396 | 246 | 1996 | 0 | C35/45 | Nessuno; G | 0 | No | No | No | 15 |
| R 60x100 | CA | L3 | 246 | 796 | 246 | 1396 | 0 | C35/45 | Nessuno; G | 0 | No | No | No | 15 |
| R 60x100 | CA | L3 | 246 | 196 | 246 | 796 | 0 | C35/45 | Nessuno; G | 0 | No | No | No | 15 |
| R 60x100 | CA | L3 | -354 | 3196 | -354 | 3507.1 | 0 | C35/45 | Nessuno; G | 0 | No | No | No | 15 |
| R 60x100 | CA | L3 | -354 | 2596 | -354 | 3196 | 0 | C35/45 | Nessuno; G | 0 | No | No | No | 15 |
| R 60x100 | CA | L3 | -354 | 1996 | -354 | 2596 | 0 | C35/45 | Nessuno; G | 0 | No | No | No | 15 |
| R 60x100 | CA | L3 | -354 | 1396 | -354 | 1996 | 0 | C35/45 | Nessuno; G | 0 | No | No | No | 15 |
| R 60x100 | CA | L3 | -354 | 796 | -354 | 1396 | 0 | C35/45 | Nessuno; G | 0 | No | No | No | 15 |
| R 60x100 | CA | L3 | 1446 | 1396 | 1446 | 1996 | 0 | C35/45 | Nessuno; G | 0 | No | No | No | 15 |
| R 60x60 | CA | L3 | 4446 | 656.9 | 5046 | 656.9 | 0 | C35/45 | Nessuno; G | 0 | No | No | No | 9 |
| R 60x100 | CA | L3 | 1446 | 1996 | 1446 | 2652 | 0 | C35/45 | Nessuno; G | 0 | No | No | No | 15 |
| R 60x100 | CA | L3 | 2046 | 796 | 2046 | 1396 | 0 | C35/45 | Nessuno; G | 0 | No | No | No | 15 |
| R 60x60 | CA | L3 | -354 | 796 | 246 | 796 | 0 | C35/45 | Nessuno; G | 0 | No | No | No | 9 |
| R 60x100 | CA | L3 | 5046 | 196 | 5646 | 196 | 0 | C35/45 | Nessuno; G | 0 | No | No | No | 15 |
| R 60x100 | CA | L3 | 4446 | 196 | 5046 | 196 | 0 | C35/45 | Nessuno; G | 0 | No | No | No | 15 |
| R 60x100 | CA | L3 | 3846 | 196 | 4446 | 196 | 0 | C35/45 | Nessuno; G | 0 | No | No | No | 15 |
| R 60x100 | CA | L3 | 3246 | 196 | 3846 | 196 | 0 | C35/45 | Nessuno; G | 0 | No | No | No | 15 |
| R 60x100 | CA | L3 | 2646 | 196 | 3246 | 196 | 0 | C35/45 | Nessuno; G | 0 | No | No | No | 15 |
| R 60x100 | CA | L3 | 2046 | 196 | 2646 | 196 | 0 | C35/45 | Nessuno; G | 0 | No | No | No | 15 |
| R 60x100 | CA | L3 | 1446 | 196 | 2046 | 196 | 0 | C35/45 | Nessuno; G | 0 | No | No | No | 15 |
| R 60x100 | CA | L3 | 846 | 196 | 1446 | 196 | 0 | C35/45 | Nessuno; G | 0 | No | No | No | 15 |
| R 60x100 | CA | L3 | 246 | 196 | 846 | 196 | 0 | C35/45 | Nessuno; G | 0 | No | No | No | 15 |
| R 60x100 | CA | L3 | -354 | 196 | 246 | 196 | 0 | C35/45 | Nessuno; G | 0 | No | No | No | 15 |
| R 60x100 | CA | L3 | 5646 | 196 | 5646 | 656.9 | 0 | C35/45 | Nessuno; G | 0 | No | No | No | 15 |
| R 60x100 | CA | L3 | 2646 | 1396 | 2646 | 2082 | 0 | C35/45 | Nessuno; G | 0 | No | No | No | 15 |
| R 60x100 | CA | L3 | 2646 | 796 | 2646 | 1396 | 0 | C35/45 | Nessuno; G | 0 | No | No | No | 15 |
| R 60x100 | CA | L3 | 2646 | 196 | 2646 | 796 | 0 | C35/45 | Nessuno; G | 0 | No | No | No | 15 |
| R 60x100 | CA | L3 | 2046 | 1996 | 2046 | 2367 | 0 | C35/45 | Nessuno; G | 0 | No | No | No | 15 |
| R 60x100 | CA | L3 | 2046 | 1396 | 2046 | 1996 | 0 | C35/45 | Nessuno; G | 0 | No | No | No | 15 |
| R 60x100 | CA | L3 | 2046 | 196 | 2046 | 796 | 0 | C35/45 | Nessuno; G | 0 | No | No | No | 15 |
| R 60x60 | CA | L3 | 5046 | 656.9 | 5646 | 656.9 | 0 | C35/45 | Nessuno; G | 0 | No | No | No | 9 |

6.5.3 Pilastri C.A.

Tr.: riferimento al tronco indicante la quota inferiore e superiore.

Sezione: riferimento ad una definizione di sezione C.A..

P.i.: posizione del punto di inserimento rispetto alla geometria della sezione. SS=Sinistra-sotto, SC=Sinistra-centro, SA=Sinistra-alto, CS=Centro-sotto, CC=Centro-centro, CA=Centro-alto, DS=Destra-sotto, DC=Destra-centro, DA=Destra-alto

Punto: posizione del punto di inserimento rispetto alla geometria della sezione.

X: coordinata X. [cm]

Y: coordinata Y. [cm]

Ang.: angolo misurato dal semiasse positivo delle ascisse in verso antiorario. [deg]

Mat.: riferimento ad una definizione di calcestruzzo.

Car.lin.: riferimento alla definizione di un carico lineare.L: valori del carico espressi nel sistema locale dell'elemento.G: valori del carico espressi nel sistema globale.

Sovr.: aliquota di sovraresistenza da assicurare in verifica.

S.Z: indica se l'elemento deve essere verificato considerando il sisma verticale.

C.i.: svincolo o cerniera da applicare al relativo estremo dell'asta nel modello.

C.f.: svincolo o cerniera da applicare al relativo estremo dell'asta nel modello.

P.lin.: peso per unità di lunghezza. [daN/cm]

Corr.: lista di elementi correlati all'elemento generati durante la modellazione.

| Tr. | Sezione | P.i. | Punto | | Ang. | Mat. | Car.lin. | Sovr. | S.Z | C.i. | C.f. | P.lin. | Corr. |
|-----|-------------------|------|-------|------|------|--------|------------|-------|-----|------|------|--------|-------|
| | | | X | Y | | | | | | | | | |
| T1 | Circolare (D=100) | CC | 2046 | 1396 | 0 | C35/45 | Nessuno; G | 0 | No | No | No | 19.63 | 970 |
| T1 | Circolare (D=100) | CC | 2646 | 1396 | 0 | C35/45 | Nessuno; G | 0 | No | No | No | 19.63 | 977 |
| T1 | Circolare (D=100) | CC | 2646 | 796 | 0 | C35/45 | Nessuno; G | 0 | No | No | No | 19.63 | 976 |
| T1 | Circolare (D=100) | CC | 2646 | 196 | 0 | C35/45 | Nessuno; G | 0 | No | No | No | 19.63 | 975 |

Porto di Bari - Dente di attracco alla banchina Capitaneria

| Tr. | Sezione | P.i. | Punto | | Ang. | Mat. | Car.lin. | Sovr. | S.Z | C.i. | C.f. | P.lin. | Corr. |
|-----|-------------------|------|-------|--------|------|--------|------------|-------|-----|------|------|--------|-------|
| | | | X | Y | | | | | | | | | |
| T1 | Circolare (D=100) | CC | 2046 | 196 | 0 | C35/45 | Nessuno; G | 0 | No | No | No | 19.63 | 974 |
| T1 | Circolare (D=100) | CC | 1446 | 196 | 0 | C35/45 | Nessuno; G | 0 | No | No | No | 19.63 | 973 |
| T1 | Circolare (D=100) | CC | 1446 | 796 | 0 | C35/45 | Nessuno; G | 0 | No | No | No | 19.63 | 972 |
| T1 | Circolare (D=100) | CC | 2046 | 796 | 0 | C35/45 | Nessuno; G | 0 | No | No | No | 19.63 | 971 |
| T1 | Circolare (D=100) | CC | 1446 | 1396 | 0 | C35/45 | Nessuno; G | 0 | No | No | No | 19.63 | 969 |
| T1 | Circolare (D=100) | CC | 2046 | 2367 | 0 | C35/45 | Nessuno; G | 0 | No | No | No | 19.63 | 968 |
| T1 | Circolare (D=100) | CC | 2046 | 1996 | 0 | C35/45 | Nessuno; G | 0 | No | No | No | 19.63 | 967 |
| T1 | Circolare (D=100) | CC | 1446 | 1996 | 0 | C35/45 | Nessuno; G | 0 | No | No | No | 19.63 | 966 |
| T1 | Circolare (D=100) | CC | 1446 | 2652 | 0 | C35/45 | Nessuno; G | 0 | No | No | No | 19.63 | 965 |
| T1 | Circolare (D=100) | CC | 846 | 2596 | 0 | C35/45 | Nessuno; G | 0 | No | No | No | 19.63 | 963 |
| T1 | Circolare (D=100) | CC | 846 | 1996 | 0 | C35/45 | Nessuno; G | 0 | No | No | No | 19.63 | 962 |
| T1 | Circolare (D=100) | CC | -354 | 196 | 0 | C35/45 | Nessuno; G | 0 | No | No | No | 19.63 | 946 |
| T1 | Circolare (D=100) | CC | 846 | 796 | 0 | C35/45 | Nessuno; G | 0 | No | No | No | 19.63 | 960 |
| T1 | Circolare (D=100) | CC | 846 | 196 | 0 | C35/45 | Nessuno; G | 0 | No | No | No | 19.63 | 959 |
| T1 | Circolare (D=100) | CC | 246 | 2596 | 0 | C35/45 | Nessuno; G | 0 | No | No | No | 19.63 | 957 |
| T1 | Circolare (D=100) | CC | 246 | 1996 | 0 | C35/45 | Nessuno; G | 0 | No | No | No | 19.63 | 956 |
| T1 | Circolare (D=100) | CC | 246 | 1396 | 0 | C35/45 | Nessuno; G | 0 | No | No | No | 19.63 | 955 |
| T1 | Circolare (D=100) | CC | 246 | 796 | 0 | C35/45 | Nessuno; G | 0 | No | No | No | 19.63 | 954 |
| T1 | Circolare (D=100) | CC | 246 | 196 | 0 | C35/45 | Nessuno; G | 0 | No | No | No | 19.63 | 953 |
| T1 | Circolare (D=100) | CC | 846 | 1396 | 0 | C35/45 | Nessuno; G | 0 | No | No | No | 19.63 | 961 |
| T1 | Circolare (D=100) | CC | -354 | 3196 | 0 | C35/45 | Nessuno; G | 0 | No | No | No | 19.63 | 951 |
| T1 | Circolare (D=100) | CC | -354 | 2596 | 0 | C35/45 | Nessuno; G | 0 | No | No | No | 19.63 | 950 |
| T1 | Circolare (D=100) | CC | -354 | 1996 | 0 | C35/45 | Nessuno; G | 0 | No | No | No | 19.63 | 949 |
| T1 | Circolare (D=100) | CC | -354 | 1396 | 0 | C35/45 | Nessuno; G | 0 | No | No | No | 19.63 | 948 |
| T1 | Circolare (D=100) | CC | -354 | 796 | 0 | C35/45 | Nessuno; G | 0 | No | No | No | 19.63 | 947 |
| T2 | Circolare (D=100) | CC | 4446 | 1226.9 | 0 | C35/45 | Nessuno; G | 0 | No | No | No | 19.63 | 986 |
| T2 | Circolare (D=100) | CC | 4446 | 656.9 | 0 | C35/45 | Nessuno; G | 0 | No | No | No | 19.63 | 987 |
| T2 | Circolare (D=100) | CC | 4446 | 196 | 0 | C35/45 | Nessuno; G | 0 | No | No | No | 19.63 | 988 |
| T2 | Circolare (D=100) | CC | 3846 | 656.9 | 0 | C35/45 | Nessuno; G | 0 | No | No | No | 19.63 | 984 |
| T2 | Circolare (D=100) | CC | 5046 | 941.9 | 0 | C35/45 | Nessuno; G | 0 | No | No | No | 19.63 | 990 |
| T2 | Circolare (D=100) | CC | 5646 | 196 | 0 | C35/45 | Nessuno; G | 0 | No | No | No | 19.63 | 991 |
| T2 | Circolare (D=100) | CC | 5646 | 656.9 | 0 | C35/45 | Nessuno; G | 0 | No | No | No | 19.63 | 992 |
| T2 | Circolare (D=100) | CC | 3846 | 1512 | 0 | C35/45 | Nessuno; G | 0 | No | No | No | 19.63 | 985 |
| T2 | Circolare (D=100) | CC | 5046 | 196 | 0 | C35/45 | Nessuno; G | 0 | No | No | No | 19.63 | 989 |
| T2 | Circolare (D=100) | CC | 3846 | 1226.9 | 0 | C35/45 | Nessuno; G | 0 | No | No | No | 19.63 | 1030 |
| T2 | Circolare (D=100) | CC | 3246 | 196 | 0 | C35/45 | Nessuno; G | 0 | No | No | No | 19.63 | 982 |
| T2 | Circolare (D=100) | CC | 3246 | 656.9 | 0 | C35/45 | Nessuno; G | 0 | No | No | No | 19.63 | 981 |
| T2 | Circolare (D=100) | CC | 3246 | 1226.9 | 0 | C35/45 | Nessuno; G | 0 | No | No | No | 19.63 | 980 |
| T2 | Circolare (D=100) | CC | 3246 | 1797 | 0 | C35/45 | Nessuno; G | 0 | No | No | No | 19.63 | 979 |
| T2 | Circolare (D=100) | CC | -354 | 3507.1 | 0 | C35/45 | Nessuno; G | 0 | No | No | No | 19.63 | 952 |
| T2 | Circolare (D=100) | CC | 5046 | 656.9 | 0 | C35/45 | Nessuno; G | 0 | No | No | No | 19.63 | 1011 |
| T2 | Circolare (D=100) | CC | 246 | 3222.1 | 0 | C35/45 | Nessuno; G | 0 | No | No | No | 19.63 | 958 |
| T2 | Circolare (D=100) | CC | 846 | 2937 | 0 | C35/45 | Nessuno; G | 0 | No | No | No | 19.63 | 964 |
| T2 | Circolare (D=100) | CC | 3846 | 196 | 0 | C35/45 | Nessuno; G | 0 | No | No | No | 19.63 | 983 |
| T2 | Circolare (D=100) | CC | 2646 | 2082 | 0 | C35/45 | Nessuno; G | 0 | No | No | No | 19.63 | 978 |

6.5.4 Fondazioni profonde

Descrizione breve: descrizione breve usata nelle tabelle dei capitoli dei pali e plinti su pali.

Stratigrafia: stratigrafia del terreno nel punto medio in pianta dell'elemento.

Sondaggio: è possibile indicare esplicitamente un sondaggio definito nelle preferenze oppure richiedere di estrapolare il sondaggio dalla definizione del sito espressa nelle preferenze.

Estradosso: distanza dalla quota superiore del sondaggio misurata in verticale con verso positivo verso l'alto. [cm]

Deformazione volumetrica: valore della deformazione volumetrica impiegato nel calcolo della pressione limite a rottura con la formula di Vesic. Il valore è adimensionale. Accetta anche il valore di default espresso nelle preferenze.

K punta: coefficiente di sotterraneo verticale del terreno in punta palo. [daN/cm³]

Pressione limite punta: valore limite di pressione del terreno in punta palo. [daN/cm²]

| Descrizione breve | Sondaggio | Stratigrafia | K punta | Pressione limite punta |
|-------------------|---------------------|--------------------------|-----------------|------------------------|
| | Estradosso | Deformazione volumetrica | | |
| FPP1 | Sondaggio 820 (n.2) | 0 | Default (0.002) | Default (50) |
| | | | | Default (40) |

6.5.5 Plinti su pali

6.5.5.1 Plinti su pali di piano

Plinto: riferimento ad una definizione di plinto su pali.

Livello: quota di inserimento espressa con notazione breve esprimibile come livello, falda, piano orizzontale alla Z specificata. [cm]

Estr.: distanza dalla quota di inserimento misurata in direzione ortogonale al piano della quota e con verso positivo verso l'alto. [cm]

Punto: punto di inserimento.

X: coordinata X. [cm]

Y: coordinata Y. [cm]

Ang.: angolo misurato dal semiasse positivo delle ascisse in verso antiorario. [deg]

Mat.: riferimento ad una definizione di calcestruzzo.

Lungh.: lunghezza dei pali. [cm]

Fond.: riferimento alla fondazione sottostante l'elemento.

| Plinto | Livello | Estr. | Punto | | Ang. | Mat. | Lungh. | Fond. |
|-----------------------|---------|-------|-------|--------|-------|--------|--------|-------|
| | | | X | Y | | | | |
| Rettangolare 4 pali 1 | L1 | 0 | 846 | 1996 | 0 | C35/45 | 750 | FPP1 |
| Rettangolare 4 pali 1 | L1 | 0 | 246 | 796 | 0 | C35/45 | 750 | FPP1 |
| Rettangolare 4 pali 1 | L1 | 0 | 246 | 1996 | 0 | C35/45 | 750 | FPP1 |
| Rettangolare 4 pali 1 | L1 | 0 | 246 | 2596 | 0 | C35/45 | 750 | FPP1 |
| Triangolare 3 pali 1 | L1 | 0 | -354 | 196 | 0 | C35/45 | 750 | FPP1 |
| Triangolare 3 pali 1 | L1 | 0 | -354 | 1396 | 0 | C35/45 | 750 | FPP1 |
| Triangolare 3 pali 1 | L1 | 0 | -354 | 796 | 0 | C35/45 | 750 | FPP1 |
| Rettangolare 4 pali 1 | L1 | 0 | 1446 | 1396 | 0 | C35/45 | 750 | FPP1 |
| Rettangolare 4 pali 1 | L1 | 0 | 1446 | 1996 | 0 | C35/45 | 750 | FPP1 |
| Triangolare 3 pali 1 | L1 | 0 | 246 | 196 | 0 | C35/45 | 750 | FPP1 |
| Rettangolare 4 pali 1 | L1 | 0 | 1446 | 2652 | 334.6 | C35/45 | 750 | FPP1 |
| Rettangolare 4 pali 1 | L1 | 0 | 2046 | 796 | 0 | C35/45 | 750 | FPP1 |
| Rettangolare 4 pali 1 | L1 | 0 | 2046 | 1396 | 0 | C35/45 | 750 | FPP1 |
| Triangolare 3 pali 1 | L1 | 0 | 2046 | 1996 | 0 | C35/45 | 750 | FPP1 |
| Triangolare 3 pali 1 | L1 | 0 | 2646 | 196 | 0 | C35/45 | 750 | FPP1 |
| Triangolare 3 pali 1 | L1 | 0 | 846 | 196 | 0 | C35/45 | 750 | FPP1 |
| Rettangolare 4 pali 1 | L1 | 0 | 846 | 796 | 0 | C35/45 | 750 | FPP1 |
| Rettangolare 4 pali 1 | L1 | 0 | 846 | 1396 | 0 | C35/45 | 750 | FPP1 |
| Rettangolare 4 pali 1 | L1 | 0 | 2046 | 2367 | 334.6 | C35/45 | 750 | FPP1 |
| Triangolare 3 pali 1 | L1 | 0 | 2046 | 1996 | 0 | C35/45 | 750 | FPP1 |
| Triangolare 3 pali 1 | L1 | 0 | 2646 | 196 | 0 | C35/45 | 750 | FPP1 |
| Triangolare 3 pali 1 | L1 | 0 | -354 | 3196 | 0 | C35/45 | 750 | FPP1 |
| Rettangolare 4 pali 1 | L1 | 0 | 246 | 1396 | 0 | C35/45 | 750 | FPP1 |
| Triangolare 3 pali 1 | L1 | 0 | -354 | 1996 | 0 | C35/45 | 750 | FPP1 |
| Triangolare 3 pali 1 | L1 | 0 | 846 | 2596 | 0 | C35/45 | 750 | FPP1 |
| Triangolare 3 pali 1 | L1 | 0 | 1446 | 196 | 0 | C35/45 | 750 | FPP1 |
| Rettangolare 4 pali 1 | L1 | 0 | 1446 | 796 | 0 | C35/45 | 750 | FPP1 |
| Rettangolare 4 pali 1 | L1 | 0 | 2646 | 1396 | 0 | C35/45 | 750 | FPP1 |
| Rettangolare 4 pali 1 | L1 | 0 | 2646 | 796 | 0 | C35/45 | 750 | FPP1 |
| Triangolare 3 pali 1 | L1 | 0 | -354 | 2596 | 0 | C35/45 | 750 | FPP1 |
| Triangolare 3 pali 1 | L1 | 0 | 354 | 3507.1 | 0 | C35/45 | 750 | FPP1 |
| Rettangolare 4 pali 1 | L2 | 0 | 5046 | 941.9 | 334.6 | C35/45 | 750 | FPP1 |
| Rettangolare 4 pali 1 | L2 | 0 | 3246 | 1797 | 334.6 | C35/45 | 750 | FPP1 |
| Rettangolare 4 pali 1 | L2 | 0 | 846 | 2937 | 334.6 | C35/45 | 750 | FPP1 |
| Rettangolare 4 pali 1 | L2 | 0 | 246 | 3222.1 | 334.6 | C35/45 | 750 | FPP1 |
| Triangolare 3 pali 1 | L2 | 0 | 3846 | 1512 | 0 | C35/45 | 750 | FPP1 |
| Triangolare 3 pali 1 | L2 | 0 | 4446 | 196 | 0 | C35/45 | 750 | FPP1 |
| Triangolare 3 pali 1 | L2 | 0 | 5046 | 196 | 0 | C35/45 | 750 | FPP1 |
| Rettangolare 4 pali 1 | L2 | 0 | 5646 | 196 | 0 | C35/45 | 750 | FPP1 |
| Triangolare 3 pali 1 | L2 | 0 | 5646 | 656.9 | 0 | C35/45 | 750 | FPP1 |
| Rettangolare 4 pali 1 | L2 | 0 | 2646 | 2082 | 334.6 | C35/45 | 750 | FPP1 |
| Triangolare 3 pali 1 | L2 | 0 | 3246 | 196 | 0 | C35/45 | 750 | FPP1 |
| Triangolare 3 pali 1 | L2 | 0 | 3246 | 656.9 | 0 | C35/45 | 750 | FPP1 |
| Triangolare 3 pali 1 | L2 | 0 | 3846 | 1226.9 | 0 | C35/45 | 750 | FPP1 |
| Triangolare 3 pali 1 | L2 | 0 | 3846 | 196 | 0 | C35/45 | 750 | FPP1 |
| Triangolare 3 pali 1 | L2 | 0 | 3846 | 656.9 | 0 | C35/45 | 750 | FPP1 |
| Triangolare 3 pali 1 | L2 | 0 | 5046 | 656.9 | 0 | C35/45 | 750 | FPP1 |
| Triangolare 3 pali 1 | L2 | 0 | 4446 | 656.9 | 0 | C35/45 | 750 | FPP1 |
| Rettangolare 4 pali 1 | L2 | 0 | 4446 | 1226.9 | 334.6 | C35/45 | 750 | FPP1 |
| Triangolare 3 pali 1 | L2 | 0 | 3846 | 1226.9 | 0 | C35/45 | 750 | FPP1 |
| Triangolare 3 pali 1 | L2 | 0 | 3846 | 196 | 0 | C35/45 | 750 | FPP1 |
| Triangolare 3 pali 1 | L2 | 0 | 3846 | 656.9 | 0 | C35/45 | 750 | FPP1 |
| Triangolare 3 pali 1 | L2 | 0 | 5046 | 656.9 | 0 | C35/45 | 750 | FPP1 |
| Triangolare 3 pali 1 | L2 | 0 | 4446 | 656.9 | 0 | C35/45 | 750 | FPP1 |
| Rettangolare 4 pali 1 | L2 | 0 | 4446 | 1226.9 | 334.6 | C35/45 | 750 | FPP1 |
| Triangolare 3 pali 1 | L2 | 0 | 3846 | 1226.9 | 0 | C35/45 | 750 | FPP1 |

6.5.6 Carichi concentrati

6.5.6.1 Carichi concentrati di piano

Carico: riferimento alla definizione di un carico concentrato.

Liv.: quota di inserimento espressa con notazione breve esprimibile come livello, falda, piano orizzontale alla Z specificata. [cm]

Punto: punto di inserimento.

X: coordinata X. [cm]

Y: coordinata Y. [cm]

Estradosso: distanza dalla quota di inserimento misurata in direzione ortogonale al piano della quota e con verso positivo verso l'alto. [cm]

| Carico | Liv. | Punto | Estradosso |
|-----------------|------|-------|------------|
| | | X | Y |
| urto della nave | L3 | -354 | 796 |
| tiro bitta | L3 | -354 | 196 |

6.5.7 Carichi superficiali

6.5.7.1 Comportamenti membranali

Descrizione breve: descrizione breve usata nelle tabelle dei carichi superficiali.

Materiale: riferimento ad una definizione di calcestruzzo. N.B.: il peso degli elementi finiti membrana non viene computato.**Spessore:** spessore degli elementi membrana generati dalla modellazione. [cm]**Variazione termica:** riferimento alla definizione di una variazione termica. Accetta anche il valore "Nessuno".

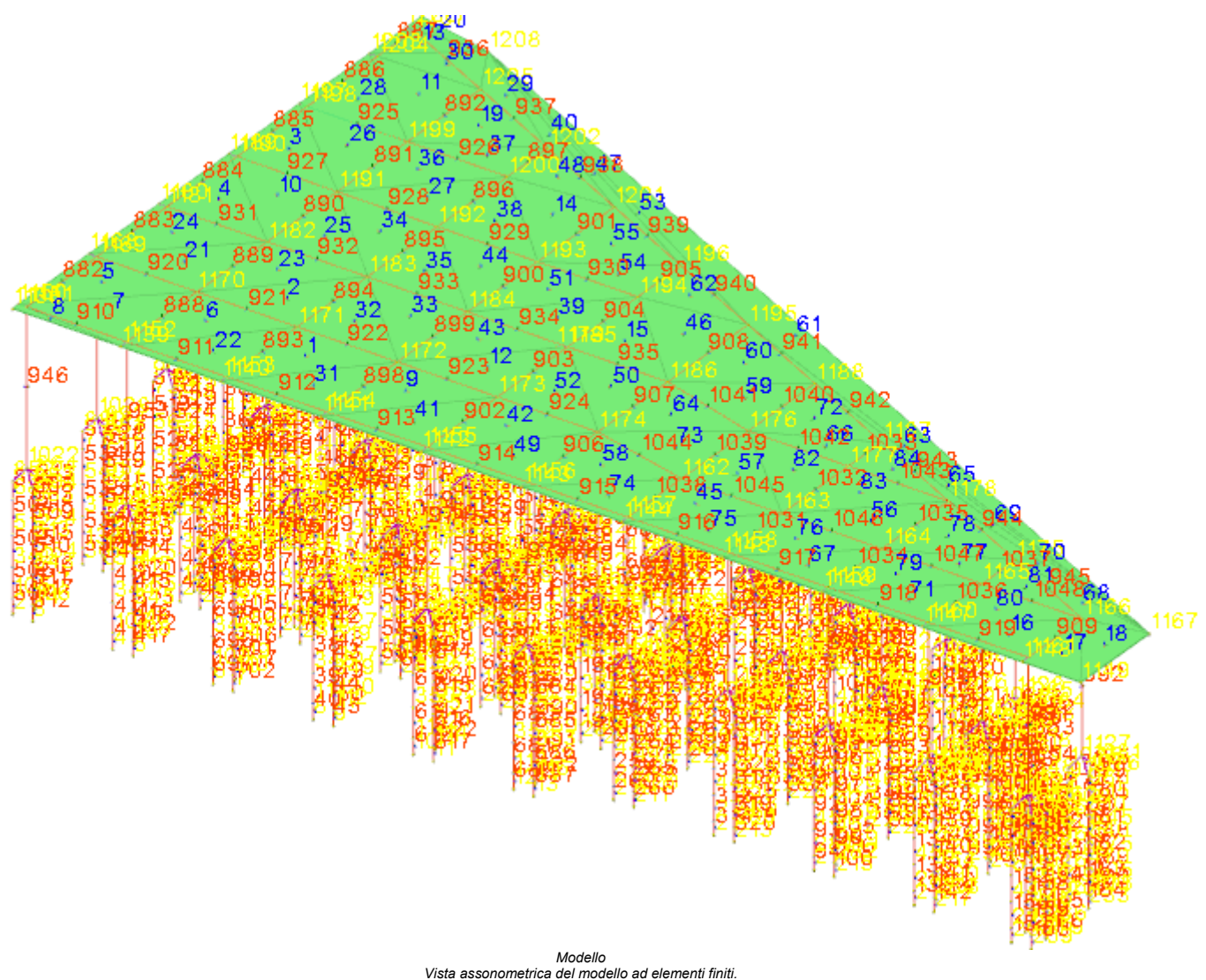
| Descrizione breve | Materiale | Spessore | Variazione termica |
|-------------------|-----------|----------|--------------------|
| ME1 | C35/45 | 40 | Nessuno |

6.5.7.2 Carichi superficiali di piano

Carico: riferimento alla definizione di un carico di superficie.**Solaio:** caratteristiche dell'eventuale solaio in latero-cemento.**Liv.:** quota di inserimento espressa con notazione breve esprimibile come livello, falda, piano orizzontale alla Z specificata. [cm]**Punti:** punti di definizione in pianta.**Indice:** indice del punto corrente nell'insieme dei punti di definizione dell'elemento.**X:** coordinata X. [cm]**Y:** coordinata Y. [cm]**Estr.:** distanza dalla quota di inserimento misurata in direzione ortogonale al piano della quota e con verso positivo verso l'alto. [cm]**Angolo:** direzione delle nervature che trasmettono il carico. Angolo misurato dal semiasse positivo delle ascisse in verso antiorario. [deg]**Comp.:** descrizione sintetica del comportamento del carico superficiale o, nel caso di comportamento membranare, riferimento alla descrizione analitica della membrana.**Fori:** riferimenti a tutti gli elementi che forano il carico superficiale.

| Carico | Solaio | Liv. | Punti | | | Estr. | Angolo | Comp. | Fori |
|--------|---|------|--------|--------|--------|-------|--------|-------|------|
| | | | Indice | X | Y | | | | |
| | C.A.; Pre 40x(5+25+10)/120; C35/45; XS3; 500 | L3 | 1 | -404 | 146 | 0 | 0 | ME1 | |
| | | | 2 | 5996,1 | 146 | | | | |
| | | | 3 | 5996,1 | 730,4 | | | | |
| | | | 4 | 61,9 | 3549,3 | | | | |
| | | | 5 | -404 | 3646 | | | | |

7 Rappresentazione del modello



8 Dati di modellazione

8.1 Nodi

8.1.1 Nodi di definizione

Indice: numero dell'elemento nell'insieme che lo contiene.

Posizione: coordinate del nodo.

X: coordinata X. [cm]

Y: coordinata Y. [cm]

Z: coordinata Z. [cm]

| Indice | Posizione | | |
|--------|-----------|--------|---------|--------|-----------|--------|---------|--------|-----------|--------|---------|--------|-----------|--------|---------|
| | X | Y | Z | | X | Y | Z | | X | Y | Z | | X | Y | Z |
| 2 | -414 | 161.3 | -1570 | 3 | -294 | 161.3 | -1570 | 4 | 186 | 161.3 | -1570 | 5 | 306 | 161.3 | -1570 |
| 6 | 786 | 161.3 | -1570 | 7 | 906 | 161.3 | -1570 | 8 | 1386 | 161.3 | -1570 | 9 | 1506 | 161.3 | -1570 |
| 10 | 1986 | 161.3 | -1570 | 11 | 2106 | 161.3 | -1570 | 12 | 2586 | 161.3 | -1570 | 13 | 2706 | 161.3 | -1570 |
| 14 | -354 | 265.2 | -1570 | 15 | 246 | 265.2 | -1570 | 16 | 846 | 265.2 | -1570 | 17 | 1446 | 265.2 | -1570 |
| 18 | 2046 | 265.2 | -1570 | 19 | 2646 | 265.2 | -1570 | 20 | 186 | 736 | -1570 | 21 | 306 | 736 | -1570 |
| 22 | 786 | 736 | -1570 | 23 | 906 | 736 | -1570 | 24 | 1386 | 736 | -1570 | 25 | 1506 | 736 | -1570 |
| 26 | 1986 | 736 | -1570 | 27 | 2106 | 736 | -1570 | 28 | 2586 | 736 | -1570 | 29 | 2706 | 736 | -1570 |
| 30 | -414 | 761.3 | -1570 | 31 | -294 | 761.3 | -1570 | 32 | 186 | 856 | -1570 | 33 | 306 | 856 | -1570 |
| 34 | 786 | 856 | -1570 | 35 | 906 | 856 | -1570 | 36 | 1386 | 856 | -1570 | 37 | 1506 | 856 | -1570 |
| 38 | 1986 | 856 | -1570 | 39 | 2106 | 856 | -1570 | 40 | 2586 | 856 | -1570 | 41 | 2706 | 856 | -1570 |
| 42 | -354 | 865.2 | -1570 | 43 | 186 | 1336 | -1570 | 44 | 306 | 1336 | -1570 | 45 | 786 | 1336 | -1570 |
| 46 | 906 | 1336 | -1570 | 47 | 1386 | 1336 | -1570 | 48 | 1506 | 1336 | -1570 | 49 | 1986 | 1336 | -1570 |
| 50 | 2106 | 1336 | -1570 | 51 | 2586 | 1336 | -1570 | 52 | 2706 | 1336 | -1570 | 53 | -414 | 1361.3 | -1570 |
| 54 | -294 | 1361.3 | -1570 | 55 | 186 | 1456 | -1570 | 56 | 306 | 1456 | -1570 | 57 | 786 | 1456 | -1570 |
| 58 | 906 | 1456 | -1570 | 59 | 1386 | 1456 | -1570 | 60 | 1506 | 1456 | -1570 | 61 | 1986 | 1456 | -1570 |
| 62 | 2106 | 1456 | -1570 | 63 | 2586 | 1456 | -1570 | 64 | 2706 | 1456 | -1570 | 65 | -354 | 1465.2 | -1570 |
| 66 | 186 | 1936 | -1570 | 67 | 306 | 1936 | -1570 | 68 | 786 | 1936 | -1570 | 69 | 906 | 1936 | -1570 |
| 70 | 1386 | 1936 | -1570 | 71 | 1506 | 1936 | -1570 | 72 | -414 | 1961.3 | -1570 | 73 | -294 | 1961.3 | -1570 |
| 74 | 1986 | 1961.3 | -1570 | 75 | 2106 | 1961.3 | -1570 | 76 | 186 | 2056 | -1570 | 77 | 306 | 2056 | -1570 |
| 78 | 786 | 2056 | -1570 | 79 | 906 | 2056 | -1570 | 80 | 1386 | 2056 | -1570 | 81 | 1506 | 2056 | -1570 |
| 82 | -354 | 2065.2 | -1570 | 83 | 2046 | 2065.2 | -1570 | 84 | 2074.5 | 2287.1 | -1570 | 85 | 1966.1 | 2338.6 | -1570 |
| 86 | 2126 | 2395.4 | -1570 | 87 | 2017.6 | 2447 | -1570 | 88 | 186 | 2536 | -1570 | 89 | 306 | 2536 | -1570 |
| 90 | -414 | 2561.3 | -1570 | 91 | -294 | 2561.3 | -1570 | 92 | 786 | 2561.3 | -1570 | 93 | 906 | 2561.3 | -1570 |
| 94 | 1474.5 | 2572.1 | -1570 | 95 | 1366.1 | 2623.6 | -1570 | 96 | 186 | 2656 | -1570 | 97 | 306 | 2656 | -1570 |
| 98 | -354 | 2665.2 | -1570 | 99 | 846 | 2665.2 | -1570 | 100 | 1526 | 2680.5 | -1570 | 101 | 1417.6 | 2732 | -1570 |
| 102 | -414 | 3161.3 | -1570 | 103 | -294 | 3161.3 | -1570 | 104 | -354 | 3265.2 | -1570 | 105 | -414 | 161.3 | -1482.5 |
| 106 | -294 | 161.3 | -1482.5 | 107 | 186 | 161.3 | -1482.5 | 108 | 306 | 161.3 | -1482.5 | 109 | 786 | 161.3 | -1482.5 |
| 110 | 906 | 161.3 | -1482.5 | 111 | 1386 | 161.3 | -1482.5 | 112 | 1506 | 161.3 | -1482.5 | 113 | 1986 | 161.3 | -1482.5 |
| 114 | 2106 | 161.3 | -1482.5 | 115 | 2586 | 161.3 | -1482.5 | 116 | 2706 | 161.3 | -1482.5 | 117 | -354 | 265.2 | -1482.5 |
| 118 | 246 | 265.2 | -1482.5 | 119 | 846 | 265.2 | -1482.5 | 120 | 1446 | 265.2 | -1482.5 | 121 | 2046 | 265.2 | -1482.5 |
| 122 | 2646 | 265.2 | -1482.5 | 123 | 186 | 736 | -1482.5 | 124 | 306 | 736 | -1482.5 | 125 | 786 | 736 | -1482.5 |
| 126 | 906 | 736 | -1482.5 | 127 | 1386 | 736 | -1482.5 | 128 | 1506 | 736 | -1482.5 | 129 | 1986 | 736 | -1482.5 |
| 130 | 2106 | 736 | -1482.5 | 131 | 2586 | 736 | -1482.5 | 132 | 2706 | 736 | -1482.5 | 133 | -414 | 761.3 | -1482.5 |
| 134 | -294 | 761.3 | -1482.5 | 135 | 186 | 856 | -1482.5 | 136 | 306 | 856 | -1482.5 | 137 | 786 | 856 | -1482.5 |
| 138 | 906 | 856 | -1482.5 | 139 | 1386 | 856 | -1482.5 | 140 | 1506 | 856 | -1482.5 | 141 | 1986 | 856 | -1482.5 |
| 142 | 2106 | 856 | -1482.5 | 143 | 2586 | 856 | -1482.5 | 144 | 2706 | 856 | -1482.5 | 145 | -354 | 865.2 | -1482.5 |
| 146 | 186 | 1336 | -1482.5 | 147 | 306 | 1336 | -1482.5 | 148 | 786 | 1336 | -1482.5 | 149 | 906 | 1336 | -1482.5 |
| 150 | 1386 | 1336 | -1482.5 | 151 | 1506 | 1336 | -1482.5 | 152 | 1986 | 1336 | -1482.5 | 153 | 2106 | 1336 | -1482.5 |
| 154 | 2586 | 1336 | -1482.5 | 155 | 2706 | 1336 | -1482.5 | 156 | -414 | 1361.3 | -1482.5 | 157 | -294 | 1361.3 | -1482.5 |
| 158 | 186 | 1456 | -1482.5 | 159 | 306 | 1456 | -1482.5 | 160 | 786 | 1456 | -1482.5 | 161 | 906 | 1456 | -1482.5 |
| 162 | 1386 | 1456 | -1482.5 | 163 | 1506 | 1456 | -1482.5 | 164 | 1986 | 1456 | -1482.5 | 165 | 2106 | 1456 | -1482.5 |
| 166 | 2586 | 1456 | -1482.5 | 167 | 2706 | 1456 | -1482.5 | 168 | -354 | 1465.2 | -1482.5 | 169 | 186 | 1936 | -1482.5 |
| 170 | 306 | 1936 | -1482.5 | 171 | 786 | 1936 | -1482.5 | 172 | 906 | 1936 | -1482.5 | 173 | 1386 | 1936 | -1482.5 |
| 174 | 1506 | 1936 | -1482.5 | 175 | -414 | 1961.3 | -1482.5 | 176 | -294 | 1961.3 | -1482.5 | 177 | 1986 | 1961.3 | -1482.5 |
| 178 | 2106 | 1961.3 | -1482.5 | 179 | 186 | 2056 | -1482.5 | 180 | 306 | 2056 | -1482.5 | 181 | 786 | 2056 | -1482.5 |
| 182 | 906 | 2056 | -1482.5 | 183 | 1386 | 2056 | -1482.5 | 184 | 1506 | 2056 | -1482.5 | 185 | -354 | 2065.2 | -1482.5 |
| 186 | 2046 | 2065.2 | -1482.5 | 187 | 2074.5 | 2287.1 | -1482.5 | 188 | 1966.1 | 2338.6 | -1482.5 | 189 | 2126 | 2395.4 | -1482.5 |
| 190 | 2017.6 | 2447 | -1482.5 | 191 | 186 | 2536 | -1482.5 | 192 | 306 | 2536 | -1482.5 | 193 | -414 | 2561.3 | -1482.5 |
| 194 | -294 | 2561.3 | -1482.5 | 195 | 786 | 2561.3 | -1482.5 | 196 | 906 | 2561.3 | -1482.5 | 197 | 1474.5 | 2572.1 | -1482.5 |
| 198 | 1366.1 | 2623.6 | -1482.5 | 199 | 186 | 2656 | -1482.5 | 200 | 306 | 2656 | -1482.5 | 201 | -354 | 2665.2 | -1482.5 |
| 202 | 846 | 2665.2 | -1482.5 | 203 | 1526 | 2680.5 | -1482.5 | 204 | 1417.6 | 2732 | -1482.5 | 205 | -414 | 3161.3 | -1482.5 |
| 206 | -294 | 3161.3 | -1482.5 | 207 | -354 | 3265.2 | -1482.5 | 208 | 5586 | 136 | -1430 | 209 | 5706 | 136 | -1430 |
| 210 | 3186 | 161.3 | -1430 | 211 | 3306 | 161.3 | -1430 | 212 | 3786 | 161.3 | -1430 | 213 | 3906 | 161.3 | -1430 |
| 214 | 4386 | 161.3 | -1430 | 215 | 4506 | 161.3 | -1430 | 216 | 4986 | 161.3 | -1430 | 217 | 5106 | 161.3 | -1430 |
| 218 | 5586 | 256 | -1430 | 219 | 5706 | 256 | -1430 | 220 | 3246 | 265.2 | -1430 | 221 | 3846 | 265.2 | -1430 |
| 222 | 4446 | 265.2 | -1430 | 223 | 5046 | 265.2 | -1430 | 224 | 3186 | 622.3 | -1430 | 225 | 3306 | 622.3 | -1430 |
| 226 | 3786 | 622.3 | -1430 | 227 | 3906 | 622.3 | -1430 | 228 | 4386 | 622.3 | -1430 | 229 | 4506 | 622.3 | -1430 |
| 230 | 4986 | 622.3 | -1430 | 231 | 5106 | 622.3 | -1430 | 232 | 5586 | 622.3 | -1430 | 233 | 5706 | 622.3 | -1430 |
| 234 | 3246 | 726.2 | -1430 | 235 | 3846 | 726.2 | -1430 | 236 | 4446 | 726.2 | -1430 | 237 | 5046 | 726.2 | -1430 |
| 238 | 5646 | 726.2 | -1430 | 239 | 5074.5 | 862 | -1430 | 240 | 4966.1 | 913.5 | -1430 | 241 | 5126 | 970.4 | -1430 |
| 242 | 5017.6 | 1021.9 | -1430 | 243 | 4474.5 | 1147 | -1430 | 244 | 3186 | 1192.3 | -1430 | 245 | 3306 | 1192.3 | -1430 |
| 246 | 3786 | 1192.3 | -1430 | 247 | 3906 | 1192.3 | -1430 | 248 | 4366.1 | 1198.5 | -1430 | 249 | 4526 | 1255.4 | -1430 |
| 250 | 3246 | 1296.2 | -1430 | 251 | 3846 | 1296.2 | -1430 | 252 | 4417.6 | 1306.9 | -1430 | 253 | 3786 | 1477.3 | -1430 |
| 254 | 3906 | 1477.3 | -1430 | 255 | 3846 | 1581.2 | -1430 | 256 | 3274.5 | 1717 | -1430 | 257 | 3166.1 | 1768.5 | -1430 |
| 258 | 3326 | 1825.4 | -1430 | 259 | 3217.6 | 1876.9 | -1430 | 260 | 2674.5 | 2002 | -1430 | 261 | 2566.1 | 2053.6 | -1430 |
| 262 | 2726 | 2110.4 | -1430 | 263 | 2617.6 | 2161.9 | -1430 | 264 | 874.5 | 2857.1 | -1430 | 265 | 766.1 | 2908.6 | -1430 |
| 266 | 926 | 2965.5 | -1430 | 267 | 817.6 | 3017 | -1430 | 268 | 274.5 | 3142.1 | -1430 | 269 | 166.1 | 3193.6 | -1430 |
| 270 | 326 | 3250.5 | -1430 | 271 | 217.6 | 3302 | -1430 | 272 | -414 | 3472.4 | -1430 | 273 | -294 | 3472.4 | -1430 |
| 274 | -354 | 3576.4 | -1430 | 275 | 5586 | 136 | -1355 | 276 | 5706 | 136 | | | | | |

| Indice | Posizione | | | Indice | Posizione | | | Indice | Posizione | | | Indice | Posizione | | |
|--------|-----------|--------|---------|---------|-----------|--------|---------|--------|-----------|--------|---------|--------|-----------|--------|---------|
| | X | Y | Z | | X | Y | Z | | X | Y | Z | | X | Y | Z |
| 298 | 5106 | 622.3 | -1355 | 299 | 5586 | 622.3 | -1355 | 300 | 5706 | 622.3 | -1355 | 301 | 3246 | 726.2 | -1355 |
| 302 | 3846 | 726.2 | -1355 | 303 | 4446 | 726.2 | -1355 | 304 | 5046 | 726.2 | -1355 | 305 | 5646 | 726.2 | -1355 |
| 306 | 5074.5 | 862 | -1355 | 307 | 4966.1 | 913.5 | -1355 | 308 | 5126 | 970.4 | -1355 | 309 | 5017.6 | 1021.9 | -1355 |
| 310 | 4474.5 | 1147 | -1355 | 311 | 3186 | 1192.3 | -1355 | 312 | 3306 | 1192.3 | -1355 | 313 | 3786 | 1192.3 | -1355 |
| 314 | 3906 | 1192.3 | -1355 | 315 | 4366.1 | 1198.5 | -1355 | 316 | 4526 | 1255.4 | -1355 | 317 | 3246 | 1296.2 | -1355 |
| 318 | 3846 | 1296.2 | -1355 | 319 | 4417.6 | 1306.9 | -1355 | 320 | 3786 | 1477.3 | -1355 | 321 | 3906 | 1477.3 | -1355 |
| 322 | 3846 | 1581.2 | -1355 | 323 | 3274.5 | 1717 | -1355 | 324 | 3166.1 | 1768.5 | -1355 | 325 | 3326 | 1825.4 | -1355 |
| 326 | 3217.6 | 1876.9 | -1355 | 327 | 2674.5 | 2002 | -1355 | 328 | 2566.1 | 2053.6 | -1355 | 329 | 2726 | 2110.4 | -1355 |
| 330 | 2617.6 | 2161.9 | -1355 | 331 | 874.5 | 2857.1 | -1355 | 332 | 766.1 | 2908.6 | -1355 | 333 | 926 | 2965.5 | -1355 |
| 334 | 817.6 | 3017 | -1355 | 335 | 274.5 | 3142.1 | -1355 | 336 | 166.1 | 3193.6 | -1355 | 337 | 326 | 3250.5 | -1355 |
| 338 | 217.6 | 3302 | -1355 | 339 | -414 | 3472.4 | -1355 | 340 | -294 | 3472.4 | -1355 | 341 | -354 | 3576.4 | -1355 |
| 342 | -414 | 161.3 | -1307.5 | 343 | -294 | 161.3 | -1307.5 | 344 | 186 | 161.3 | -1307.5 | 345 | 306 | 161.3 | -1307.5 |
| 346 | 786 | 161.3 | -1307.5 | 347 | 906 | 161.3 | -1307.5 | 348 | 1386 | 161.3 | -1307.5 | 349 | 1506 | 161.3 | -1307.5 |
| 350 | 1986 | 161.3 | -1307.5 | 351 | 2106 | 161.3 | -1307.5 | 352 | 2586 | 161.3 | -1307.5 | 353 | 2706 | 161.3 | -1307.5 |
| 354 | -354 | 265.2 | -1307.5 | 355 | 246 | 265.2 | -1307.5 | 356 | 846 | 265.2 | -1307.5 | 357 | 1446 | 265.2 | -1307.5 |
| 358 | 2046 | 265.2 | -1307.5 | 359 | 2646 | 265.2 | -1307.5 | 360 | 186 | 736 | -1307.5 | 361 | 306 | 736 | -1307.5 |
| 362 | 786 | 736 | -1307.5 | 363 | 906 | 736 | -1307.5 | 364 | 1386 | 736 | -1307.5 | 365 | 1506 | 736 | -1307.5 |
| 366 | 1986 | 736 | -1307.5 | 367 | 2106 | 736 | -1307.5 | 368 | 2586 | 736 | -1307.5 | 369 | 2706 | 736 | -1307.5 |
| 370 | -414 | 761.3 | -1307.5 | 371 | -294 | 761.3 | -1307.5 | 372 | 186 | 856 | -1307.5 | 373 | 306 | 856 | -1307.5 |
| 374 | 786 | 856 | -1307.5 | 375 | 906 | 856 | -1307.5 | 376 | 1386 | 856 | -1307.5 | 377 | 1506 | 856 | -1307.5 |
| 378 | 1986 | 856 | -1307.5 | 379 | 2106 | 856 | -1307.5 | 380 | 2586 | 856 | -1307.5 | 381 | 2706 | 856 | -1307.5 |
| 382 | -354 | 865.2 | -1307.5 | 383 | 186 | 1336 | -1307.5 | 384 | 306 | 1336 | -1307.5 | 385 | 786 | 1336 | -1307.5 |
| 386 | 906 | 1336 | -1307.5 | 387 | 1386 | 1336 | -1307.5 | 388 | 1506 | 1336 | -1307.5 | 389 | 1986 | 1336 | -1307.5 |
| 390 | 2106 | 1336 | -1307.5 | 391 | 2586 | 1336 | -1307.5 | 392 | 2706 | 1336 | -1307.5 | 393 | -414 | 1361.3 | -1307.5 |
| 394 | -294 | 1361.3 | -1307.5 | 395 | 186 | 1456 | -1307.5 | 396 | 306 | 1456 | -1307.5 | 397 | 786 | 1456 | -1307.5 |
| 398 | 906 | 1456 | -1307.5 | 399 | 1386 | 1456 | -1307.5 | 400 | 1506 | 1456 | -1307.5 | 401 | 1986 | 1456 | -1307.5 |
| 402 | 2106 | 1456 | -1307.5 | 403 | 2586 | 1456 | -1307.5 | 404 | 2706 | 1456 | -1307.5 | 405 | -354 | 1465.2 | -1307.5 |
| 406 | 186 | 1936 | -1307.5 | 407 | 306 | 1936 | -1307.5 | 408 | 786 | 1936 | -1307.5 | 409 | 906 | 1936 | -1307.5 |
| 410 | 1386 | 1936 | -1307.5 | 411 | 1506 | 1936 | -1307.5 | 412 | -414 | 1961.3 | -1307.5 | 413 | -294 | 1961.3 | -1307.5 |
| 414 | 1986 | 1961.3 | -1307.5 | 415 | 2106 | 1961.3 | -1307.5 | 416 | 186 | 2056 | -1307.5 | 417 | 306 | 2056 | -1307.5 |
| 418 | 786 | 2056 | -1307.5 | 419 | 906 | 2056 | -1307.5 | 420 | 1386 | 2056 | -1307.5 | 421 | 1506 | 2056 | -1307.5 |
| 422 | -354 | 2065.2 | -1307.5 | 423 | 2046 | 2065.2 | -1307.5 | 424 | 2074.5 | 2287.1 | -1307.5 | 425 | 1966.1 | 2338.6 | -1307.5 |
| 426 | 2126 | 2395.4 | -1307.5 | 427 | 2017.6 | 2447 | -1307.5 | 428 | 186 | 2536 | -1307.5 | 429 | 306 | 2536 | -1307.5 |
| 430 | -414 | 2561.3 | -1307.5 | 431 | -294 | 2561.3 | -1307.5 | 432 | 786 | 2561.3 | -1307.5 | 433 | 906 | 2561.3 | -1307.5 |
| 434 | 1474.5 | 2572.1 | -1307.5 | 435 | 1366.1 | 2623.6 | -1307.5 | 436 | 186 | 2656 | -1307.5 | 437 | 306 | 2656 | -1307.5 |
| 438 | -354 | 2665.2 | -1307.5 | 439 | 846 | 2665.2 | -1307.5 | 440 | 1526 | 2680.5 | -1307.5 | 441 | 1417.6 | 2732 | -1307.5 |
| 442 | -414 | 3161.3 | -1307.5 | 443 | -294 | 3161.3 | -1307.5 | 444 | -354 | 3265.2 | -1307.5 | 445 | 5586 | 136 | -1205 |
| 446 | 5706 | 136 | -1205 | 447 | 3186 | 161.3 | -1205 | 448 | 3306 | 161.3 | -1205 | 449 | 3786 | 161.3 | -1205 |
| 450 | 3906 | 161.3 | -1205 | 451 | 4386 | 161.3 | -1205 | 452 | 4506 | 161.3 | -1205 | 453 | 4986 | 161.3 | -1205 |
| 454 | 5106 | 161.3 | -1205 | 455 | 5586 | 256 | -1205 | 456 | 5706 | 256 | -1205 | 457 | 3246 | 265.2 | -1205 |
| 458 | 3846 | 265.2 | -1205 | 459 | 4446 | 265.2 | -1205 | 460 | 5046 | 265.2 | -1205 | 461 | 3186 | 622.3 | -1205 |
| 462 | 3306 | 622.3 | -1205 | 463 | 3786 | 622.3 | -1205 | 464 | 5106 | 622.3 | -1205 | 465 | 4386 | 622.3 | -1205 |
| 466 | 4506 | 622.3 | -1205 | 467 | 4986 | 622.3 | -1205 | 468 | 468 | 622.3 | -1205 | 469 | 5586 | 622.3 | -1205 |
| 470 | 5706 | 622.3 | -1205 | 471 | 3246 | 726.2 | -1205 | 472 | 3846 | 726.2 | -1205 | 473 | 4446 | 726.2 | -1205 |
| 474 | 5046 | 726.2 | -1205 | 475 | 5646 | 726.2 | -1205 | 476 | 5074.5 | 862 | -1205 | 477 | 4966.1 | 913.5 | -1205 |
| 478 | 5126 | 970.4 | -1205 | 479 | 5017.6 | 1021.9 | -1205 | 480 | 4474.5 | 1147 | -1205 | 481 | 3186 | 1192.3 | -1205 |
| 482 | 3306 | 1192.3 | -1205 | 483 | 3786 | 1192.3 | -1205 | 484 | 3906 | 1192.3 | -1205 | 485 | 4366.1 | 1198.5 | -1205 |
| 486 | 4526 | 1295.4 | -1205 | 487 | 3246 | 1296.2 | -1205 | 488 | 3846 | 1296.2 | -1205 | 489 | 4417.6 | 1306.9 | -1205 |
| 490 | 3786 | 1477.3 | -1205 | 491 | 3906 | 1477.3 | -1205 | 492 | 3846 | 1581.2 | -1205 | 493 | 3274.5 | 1717 | -1205 |
| 494 | 3166.1 | 1768.5 | -1205 | 495 | 3326 | 1825.4 | -1205 | 496 | 3217.6 | 1876.9 | -1205 | 497 | 2674.5 | 2002 | -1205 |
| 498 | 2566.1 | 2053.6 | -1205 | 499 | 2726 | 2110.4 | -1205 | 500 | 2617.6 | 2161.9 | -1205 | 501 | 874.5 | 2857.1 | -1205 |
| 502 | 766.1 | 2908.6 | -1205 | 503 | 926 | 2965.5 | -1205 | 504 | 817.6 | 3017 | -1205 | 505 | 274.5 | 3142.1 | -1205 |
| 506 | 166.1 | 3193.6 | -1205 | 507 | 326 | 3250.5 | -1205 | 508 | 217.6 | 3302 | -1205 | 509 | -414 | 3472.4 | -1205 |
| 510 | -294 | 3472.4 | -1205 | 511 | -354 | 3576.4 | -1205 | 512 | -414 | 161.3 | -1205 | 513 | -294 | 161.3 | -1205 |
| 514 | 186 | 161.3 | -1205 | 515 | 306 | 161.3 | -1205 | 516 | 786 | 161.3 | -1205 | 517 | 906 | 161.3 | -1205 |
| 518 | 1386 | 161.3 | -1205 | 519 | 1506 | 161.3 | -1205 | 520 | 1986 | 161.3 | -1205 | 521 | 2106 | 161.3 | -1205 |
| 522 | 2586 | 161.3 | -1205 | 523 | 2706 | 161.3 | -1205 | 524 | -354 | 265.2 | -1205 | 525 | 246 | 265.2 | -1205 |
| 526 | 846 | 265.2 | -1205 | 527 | 1446 | 265.2 | -1205 | 528 | 2046 | 265.2 | -1205 | 529 | 2646 | 265.2 | -1205 |
| 530 | 186 | 736 | -1205 | 531 | 306 | 736 | -1205 | 532 | 786 | 736 | -1205 | 533 | 906 | 736 | -1205 |
| 534 | 1386 | 736 | -1205 | 535 | 1506 | 736 | -1205 | 536 | 1986 | 736 | -1205 | 537 | 2106 | 736 | -1205 |
| 538 | 2586 | 736 | -1205 | 539 | 2706 | 736 | -1205 | 540 | -414 | 761.3 | -1205 | 541 | -294 | 761.3 | -1205 |
| 542 | 186 | 856 | -1205 | 543 | 306 | 856 | -1205 | 544 | 786 | 856 | -1205 | 545 | 906 | 856 | -1205 |
| 546 | 1386 | 856 | -1205 | 547 | 1506 | 856 | -1205 | 548 | 1986 | 856 | -1205 | 549 | 2106 | 856 | -1205 |
| 550 | 2586 | 856 | -1205 | 551 | 2706 | 856 | -1205 | 552 | -354 | 865.2 | -1205 | 553 | 186 | 1336 | -1205 |
| 554 | 306 | 1336 | -1205 | 555 | 786 | 1336 | -1205 | 556 | 906 | 1336 | -1205 | 557 | 1386 | 1336 | -1205 |
| 558 | 1506 | 1336 | -1205 | 559 | 1986 | 1336 | -1205 | 560 | 2106 | 1336 | -1205 | 561 | 2586 | 1336 | -1205 |
| 562 | 2706 | 1336 | -1205 | 563 | -414 | 1361.3 | -1205 | 564 | -294 | 1361.3 | -1205 | 565 | 186 | 1456 | -1205 |
| 566 | 306 | 1456 | -1205 | 567 | 786 | 1456 | -1205 | 568 | 906 | 1456 | -1205 | 569 | 1386 | 1456 | -1205 |
| 570 | 1506 | 1456 | -1205 | 571 | 1986 | 1456 | -1205 | 572 | 2106 | 1456 | -1205 | 573 | 2586 | 1456 | -1205 |
| 574 | 2706 | 1456 | -1205 | 575 | -354 | 1465.2 | -1205 | 576 | 186 | 1936 | -1205 | 577 | 306 | 1936 | -1205 |
| 578 | 786 | 1936 | -1205 | 579</td | | | | | | | | | | | |

| Indice | Posizione | | | Indice | Posizione | | | Indice | Posizione | | | Indice | Posizione | | |
|--------|-----------|--------|------|--------|-----------|--------|------|--------|-----------|--------|------|--------|-----------|--------|------|
| | X | Y | Z | | X | Y | Z | | X | Y | Z | | X | Y | Z |
| 690 | 1986 | 161.3 | -920 | 691 | 2106 | 161.3 | -920 | 692 | 2586 | 161.3 | -920 | 693 | 2706 | 161.3 | -920 |
| 694 | -354 | 265.2 | -920 | 695 | 246 | 265.2 | -920 | 696 | 846 | 265.2 | -920 | 697 | 1446 | 265.2 | -920 |
| 698 | 2046 | 265.2 | -920 | 699 | 2646 | 265.2 | -920 | 700 | 186 | 736 | -920 | 701 | 306 | 736 | -920 |
| 702 | 786 | 736 | -920 | 703 | 906 | 736 | -920 | 704 | 1386 | 736 | -920 | 705 | 1506 | 736 | -920 |
| 706 | 1986 | 736 | -920 | 707 | 2106 | 736 | -920 | 708 | 2586 | 736 | -920 | 709 | 2706 | 736 | -920 |
| 710 | -414 | 761.3 | -920 | 711 | -294 | 761.3 | -920 | 712 | 186 | 856 | -920 | 713 | 306 | 856 | -920 |
| 714 | 786 | 856 | -920 | 715 | 906 | 856 | -920 | 716 | 1386 | 856 | -920 | 717 | 1506 | 856 | -920 |
| 718 | 1986 | 856 | -920 | 719 | 2106 | 856 | -920 | 720 | 2586 | 856 | -920 | 721 | 2706 | 856 | -920 |
| 722 | -354 | 865.2 | -920 | 723 | 186 | 1336 | -920 | 724 | 306 | 1336 | -920 | 725 | 786 | 1336 | -920 |
| 726 | 906 | 1336 | -920 | 727 | 1386 | 1336 | -920 | 728 | 1506 | 1336 | -920 | 729 | 1986 | 1336 | -920 |
| 730 | 2106 | 1336 | -920 | 731 | 2586 | 1336 | -920 | 732 | 2706 | 1336 | -920 | 733 | -414 | 1361.3 | -920 |
| 734 | -294 | 1361.3 | -920 | 735 | 186 | 1456 | -920 | 736 | 306 | 1456 | -920 | 737 | 786 | 1456 | -920 |
| 738 | 906 | 1456 | -920 | 739 | 1386 | 1456 | -920 | 740 | 1506 | 1456 | -920 | 741 | 1986 | 1456 | -920 |
| 742 | 2106 | 1456 | -920 | 743 | 2586 | 1456 | -920 | 744 | 2706 | 1456 | -920 | 745 | -354 | 1465.2 | -920 |
| 746 | 186 | 1936 | -920 | 747 | 306 | 1936 | -920 | 748 | 786 | 1936 | -920 | 749 | 906 | 1936 | -920 |
| 750 | 1386 | 1936 | -920 | 751 | 1506 | 1936 | -920 | 752 | -414 | 1961.3 | -920 | 753 | -294 | 1961.3 | -920 |
| 754 | 1986 | 1961.3 | -920 | 755 | 2106 | 1961.3 | -920 | 756 | 186 | 2056 | -920 | 757 | 306 | 2056 | -920 |
| 758 | 786 | 2056 | -920 | 759 | 906 | 2056 | -920 | 760 | 1386 | 2056 | -920 | 761 | 1506 | 2056 | -920 |
| 762 | -354 | 2065.2 | -920 | 763 | 2046 | 2065.2 | -920 | 764 | 2074.5 | 2287.1 | -920 | 765 | 1966.1 | 2338.6 | -920 |
| 766 | 2126 | 2395.4 | -920 | 767 | 2017.6 | 2447 | -920 | 768 | 186 | 2536 | -920 | 769 | 306 | 2536 | -920 |
| 770 | -414 | 2561.3 | -920 | 771 | -294 | 2561.3 | -920 | 772 | 786 | 2561.3 | -920 | 773 | 906 | 2561.3 | -920 |
| 774 | 1474.5 | 2572.1 | -920 | 775 | 1366.1 | 2623.6 | -920 | 776 | 186 | 2656 | -920 | 777 | 306 | 2656 | -920 |
| 778 | -354 | 2665.2 | -920 | 779 | 846 | 2665.2 | -920 | 780 | 1526 | 2680.5 | -920 | 781 | 1417.6 | 2732 | -920 |
| 782 | -414 | 3161.3 | -920 | 783 | -294 | 3161.3 | -920 | 784 | -354 | 3265.2 | -920 | 785 | 5586 | 136 | -905 |
| 786 | 5706 | 136 | -905 | 787 | 3186 | 161.3 | -905 | 788 | 3306 | 161.3 | -905 | 789 | 3786 | 161.3 | -905 |
| 790 | 3906 | 161.3 | -905 | 791 | 4386 | 161.3 | -905 | 792 | 4506 | 161.3 | -905 | 793 | 4986 | 161.3 | -905 |
| 794 | 5106 | 161.3 | -905 | 795 | 5586 | 256 | -905 | 796 | 5706 | 256 | -905 | 797 | 3246 | 265.2 | -905 |
| 798 | 3846 | 265.2 | -905 | 799 | 4446 | 265.2 | -905 | 800 | 5046 | 265.2 | -905 | 801 | 3186 | 622.3 | -905 |
| 802 | 3306 | 622.3 | -905 | 803 | 3786 | 622.3 | -905 | 804 | 3906 | 622.3 | -905 | 805 | 4386 | 622.3 | -905 |
| 806 | 4506 | 622.3 | -905 | 807 | 4986 | 622.3 | -905 | 808 | 5106 | 622.3 | -905 | 809 | 5586 | 622.3 | -905 |
| 810 | 5706 | 622.3 | -905 | 811 | 3246 | 726.2 | -905 | 812 | 3846 | 726.2 | -905 | 813 | 4446 | 726.2 | -905 |
| 814 | 5046 | 726.2 | -905 | 815 | 5646 | 726.2 | -905 | 816 | 5074.5 | 862 | -905 | 817 | 4966.1 | 913.5 | -905 |
| 818 | 5126 | 970.4 | -905 | 819 | 5017.6 | 1021.9 | -905 | 820 | 4474.5 | 1147 | -905 | 821 | 3186 | 1192.3 | -905 |
| 822 | 3306 | 1192.3 | -905 | 823 | 3786 | 1192.3 | -905 | 824 | 3906 | 1192.3 | -905 | 825 | 4366.1 | 1198.5 | -905 |
| 826 | 4526 | 1255.4 | -905 | 827 | 3246 | 1296.2 | -905 | 828 | 3846 | 1296.2 | -905 | 829 | 4417.6 | 1306.9 | -905 |
| 830 | 3786 | 1477.3 | -905 | 831 | 3906 | 1477.3 | -905 | 832 | 3846 | 1581.2 | -905 | 833 | 3274.5 | 1717 | -905 |
| 834 | 3166.1 | 1768.5 | -905 | 835 | 3326 | 1825.4 | -905 | 836 | 3217.6 | 1876.9 | -905 | 837 | 2674.5 | 2002 | -905 |
| 838 | 2566.1 | 2053.6 | -905 | 839 | 2726 | 2110.4 | -905 | 840 | 2617.6 | 2161.9 | -905 | 841 | 874.5 | 2857.1 | -905 |
| 842 | 766.1 | 2908.6 | -905 | 843 | 926 | 2965.5 | -905 | 844 | 817.6 | 3017 | -905 | 845 | 274.5 | 3142.1 | -905 |
| 846 | 166.1 | 3193.6 | -905 | 847 | 326 | 3250.5 | -905 | 848 | 217.6 | 3302 | -905 | 849 | -414 | 3472.4 | -905 |
| 850 | -294 | 3472.4 | -905 | 851 | -354 | 3576.4 | -905 | 852 | -414 | 161.3 | -820 | 853 | -294 | 161.3 | -820 |
| 854 | 186 | 161.3 | -820 | 855 | 306 | 161.3 | -820 | 856 | 786 | 161.3 | -820 | 857 | 906 | 161.3 | -820 |
| 858 | 1386 | 161.3 | -820 | 859 | 1506 | 161.3 | -820 | 860 | 1986 | 161.3 | -820 | 861 | 2106 | 161.3 | -820 |
| 862 | 2586 | 161.3 | -820 | 863 | 2706 | 161.3 | -820 | 864 | -354 | 265.2 | -820 | 865 | 246 | 265.2 | -820 |
| 866 | 846 | 265.2 | -820 | 867 | 1446 | 265.2 | -820 | 868 | 2046 | 265.2 | -820 | 869 | 2646 | 265.2 | -820 |
| 870 | 186 | 736 | -820 | 871 | 306 | 736 | -820 | 872 | 786 | 736 | -820 | 873 | 906 | 736 | -820 |
| 874 | 1386 | 736 | -820 | 875 | 1506 | 736 | -820 | 876 | 1986 | 736 | -820 | 877 | 2106 | 736 | -820 |
| 878 | 2586 | 736 | -820 | 879 | 2706 | 736 | -820 | 880 | -414 | 761.3 | -820 | 881 | -294 | 761.3 | -820 |
| 882 | 186 | 856 | -820 | 883 | 306 | 856 | -820 | 884 | 786 | 856 | -820 | 885 | 906 | 856 | -820 |
| 886 | 1386 | 856 | -820 | 887 | 1506 | 856 | -820 | 888 | 1986 | 856 | -820 | 889 | 2106 | 856 | -820 |
| 890 | 2586 | 856 | -820 | 891 | 2706 | 856 | -820 | 892 | -354 | 865.2 | -820 | 893 | 186 | 1336 | -820 |
| 894 | 306 | 1336 | -820 | 895 | 786 | 1336 | -820 | 896 | 906 | 1336 | -820 | 897 | 1386 | 1336 | -820 |
| 898 | 1506 | 1336 | -820 | 899 | 1986 | 1336 | -820 | 900 | 2106 | 1336 | -820 | 901 | 2586 | 1336 | -820 |
| 902 | 2706 | 1336 | -820 | 903 | -414 | 1361.3 | -820 | 904 | -294 | 1361.3 | -820 | 905 | 186 | 1456 | -820 |
| 906 | 306 | 1456 | -820 | 907 | 786 | 1456 | -820 | 908 | 906 | 1456 | -820 | 909 | 1386 | 1456 | -820 |
| 910 | 1506 | 1456 | -820 | 911 | 1986 | 1456 | -820 | 912 | 2106 | 1456 | -820 | 913 | 2586 | 1456 | -820 |
| 914 | 2706 | 1456 | -820 | 915 | -354 | 1465.2 | -820 | 916 | 186 | 1936 | -820 | 917 | 306 | 1936 | -820 |
| 918 | 786 | 1936 | -820 | 919 | 906 | 1936 | -820 | 920 | 1386 | 1936 | -820 | 921 | 1506 | 1936 | -820 |
| 922 | -414 | 1961.3 | -820 | 923 | -294 | 1961.3 | -820 | 924 | 1986 | 1961.3 | -820 | 925 | 2106 | 1961.3 | -820 |
| 926 | 186 | 2056 | -820 | 927 | 306 | 2056 | -820 | 928 | 786 | 2056 | -820 | 929 | 906 | 2056 | -820 |
| 930 | 1386 | 2056 | -820 | 931 | 1506 | 2056 | -820 | 932 | -354 | 2065.2 | -820 | 933 | 2046 | 2065.2 | -820 |
| 934 | 2074.5 | 2287.1 | -820 | 935 | 1966.1 | 2338.6 | -820 | 936 | 2126 | 2395.4 | -820 | 937 | 2017.6 | 2447 | -820 |
| 938 | 186 | 2536 | -820 | 939 | 306 | 2536 | -820 | 940 | -414 | 2561.3 | -820 | 941 | -294 | 2561.3 | -820 |
| 942 | 786 | 2561.3 | -820 | 943 | 906 | 2561.3 | -820 | 944 | 1474.5 | 2572.1 | -820 | 945 | 1366.1 | 2623.6 | -820 |
| 946 | 186 | 2656 | -820 | 947 | 306 | 2656 | -820 | 948 | -354 | 2665.2 | -820 | 949 | 846 | 2665.2 | -820 |
| 950 | 1526 | 2680.5 | -820 | 951 | 1417.6 | 2732 | -820 | 952 | -414 | 3161.3 | -820 | 953 | -294 | 3161.3 | -820 |
| 954 | -354 | 3265.2 | -820 | 955 | 5586 | 136 | -755 | 956 | 5706 | 136 | -755 | 957 | 3186 | 161.3 | -755 |
| 958 | 3306 | 161.3 | -755 | 959 | 3786 | 161.3 | -755 | 960 | 3906 | 161.3 | -755 | 961 | 4386 | 161.3 | -755 |
| 962 | 4506 | 161.3 | -755 | 963 | 4986 | 161.3 | -755 | 964 | 5106 | 161.3 | -755 | 965 | 5586 | 256 | -755 |
| 966 | 5706 | 256 | -755 | 967 | 3246 | 265.2 | -755 | 968 | 3846 | 265.2 | -755 | 969 | 4446 | 265.2 | -755 |
| 970 | 5046 | 265.2 | -755 | 971 | 3186 | 622.3 | -755 | 972 | 3306 | 622.3 | -755 | 973 | 3786 | 622.3 | -755 |
| 974 | 3906 | 622.3 | -755 | 975 | 4386 | 622.3 | -755 | 976 | 4506 | 622.3 | -755 | 977 | 4986 | 622.3 | -755 |
| 978 | 5106 | 622.3 | -755 | 979 | 5586 | 622.3 | -755 | 980 | 5706 | 622.3 | -755 | 981 | 3246 | 726.2 | -755 |
| 982 | 3846 | 726.2 | -755 | 983 | 4446 | 726.2 | -755 | 984 | 5046 | 726.2 | -755 | 985 | 5646 | 726.2 | -755 |
| | | | | | | | | | | | | | | | |

| Indice | Posizione | | | Indice | Posizione | | | Indice | Posizione | | | Indice | Posizione | | |
|--------|-----------|--------|------|--------|-----------|--------|------|--------|-----------|--------|------|--------|-----------|--------|------|
| | X | Y | Z | | X | Y | Z | | X | Y | Z | | X | Y | Z |
| 1082 | 5074.5 | 862 | -680 | 1083 | 4966.1 | 913.5 | -680 | 1084 | 5126 | 970.4 | -680 | 1085 | 5017.6 | 1021.9 | -680 |
| 1086 | 4474.5 | 1147 | -680 | 1087 | 3186 | 1192.3 | -680 | 1088 | 3306 | 1192.3 | -680 | 1089 | 3786 | 1192.3 | -680 |
| 1090 | 3906 | 1192.3 | -680 | 1091 | 4366.1 | 1198.5 | -680 | 1092 | 4526 | 1255.4 | -680 | 1093 | 3246 | 1296.2 | -680 |
| 1094 | 3846 | 1296.2 | -680 | 1095 | 4417.6 | 1306.9 | -680 | 1096 | 3786 | 1477.3 | -680 | 1097 | 3906 | 1477.3 | -680 |
| 1098 | 3846 | 1581.2 | -680 | 1099 | 3274.5 | 1717 | -680 | 1100 | 3166.1 | 1768.5 | -680 | 1101 | 3326 | 1825.4 | -680 |
| 1102 | 3217.6 | 1876.9 | -680 | 1103 | 2674.5 | 2002 | -680 | 1104 | 2566.1 | 2053.6 | -680 | 1105 | 2726 | 2110.4 | -680 |
| 1106 | 2617.6 | 2161.9 | -680 | 1107 | 874.5 | 2857.1 | -680 | 1108 | 766.1 | 2908.6 | -680 | 1109 | 926 | 2965.5 | -680 |
| 1110 | 817.6 | 3017 | -680 | 1111 | 274.5 | 3142.1 | -680 | 1112 | 166.1 | 3193.6 | -680 | 1113 | 326 | 3250.5 | -680 |
| 1114 | 217.6 | 3302 | -680 | 1115 | -414 | 3472.4 | -680 | 1116 | -294 | 3472.4 | -680 | 1117 | -354 | 3576.4 | -680 |
| 1118 | 3246 | 196 | -600 | 1119 | 3846 | 196 | -600 | 1120 | 4446 | 196 | -600 | 1121 | 5046 | 196 | -600 |
| 1122 | 5646 | 196 | -600 | 1123 | 3246 | 656.9 | -600 | 1124 | 3846 | 656.9 | -600 | 1125 | 4446 | 656.9 | -600 |
| 1126 | 5046 | 656.9 | -600 | 1127 | 5646 | 656.9 | -600 | 1128 | 5046 | 941.9 | -600 | 1129 | 4446 | 1226.9 | -600 |
| 1130 | 3246 | 1226.9 | -600 | 1131 | 3846 | 1226.9 | -600 | 1132 | 3846 | 1512 | -600 | 1133 | 3246 | 1797 | -600 |
| 1134 | 2646 | 2082 | -600 | 1135 | 846 | 2937 | -600 | 1136 | 246 | 3222.1 | -600 | 1137 | -354 | 3507.1 | -600 |
| 1138 | -404 | 146 | 170 | 1139 | 246 | 146 | 170 | 1140 | 846 | 146 | 170 | 1141 | 1446 | 146 | 170 |
| 1142 | 2046 | 146 | 170 | 1143 | 2646 | 146 | 170 | 1144 | 3246 | 146 | 170 | 1145 | 3846 | 146 | 170 |
| 1146 | 4446 | 146 | 170 | 1147 | 5046 | 146 | 170 | 1148 | 5646 | 146 | 170 | 1149 | 5996.1 | 146 | 170 |
| 1150 | -404 | 196 | 170 | 1151 | -354 | 196 | 170 | 1152 | 246 | 196 | 170 | 1153 | 846 | 196 | 170 |
| 1154 | 1446 | 196 | 170 | 1155 | 2046 | 196 | 170 | 1156 | 2646 | 196 | 170 | 1157 | 3246 | 196 | 170 |
| 1158 | 3846 | 196 | 170 | 1159 | 4446 | 196 | 170 | 1160 | 5046 | 196 | 170 | 1161 | 5646 | 196 | 170 |
| 1162 | 3246 | 656.9 | 170 | 1163 | 3846 | 656.9 | 170 | 1164 | 4446 | 656.9 | 170 | 1165 | 5046 | 656.9 | 170 |
| 1166 | 5646 | 656.9 | 170 | 1167 | 5996.1 | 730.4 | 170 | 1168 | -404 | 796 | 170 | 1169 | -354 | 796 | 170 |
| 1170 | 246 | 796 | 170 | 1171 | 846 | 796 | 170 | 1172 | 1446 | 796 | 170 | 1173 | 2046 | 796 | 170 |
| 1174 | 2646 | 796 | 170 | 1175 | 5046 | 941.9 | 170 | 1176 | 3246 | 1226.9 | 170 | 1177 | 3846 | 1226.9 | 170 |
| 1178 | 4446 | 1226.9 | 170 | 1179 | 2000.6 | 1360 | 170 | 1180 | -404 | 1396 | 170 | 1181 | -354 | 1396 | 170 |
| 1182 | 246 | 1396 | 170 | 1183 | 846 | 1396 | 170 | 1184 | 1446 | 1396 | 170 | 1185 | 2046 | 1396 | 170 |
| 1186 | 2646 | 1396 | 170 | 1187 | 3846 | 1512 | 170 | 1188 | 3246 | 1797 | 170 | 1189 | -404 | 1996 | 170 |
| 1190 | -354 | 1996 | 170 | 1191 | 246 | 1996 | 170 | 1192 | 846 | 1996 | 170 | 1193 | 1446 | 1996 | 170 |
| 1194 | 2046 | 1996 | 170 | 1195 | 2646 | 2082 | 170 | 1196 | 2046 | 2367 | 170 | 1197 | -404 | 2596 | 170 |
| 1198 | -354 | 2596 | 170 | 1199 | 246 | 2596 | 170 | 1200 | 846 | 2596 | 170 | 1201 | 1446 | 2652 | 170 |
| 1202 | 846 | 2937 | 170 | 1203 | -404 | 3196 | 170 | 1204 | -354 | 3196 | 170 | 1205 | 246 | 3222.1 | 170 |
| 1206 | -404 | 3507.1 | 170 | 1207 | -354 | 3507.1 | 170 | 1208 | 61.9 | 3549.3 | 170 | 1209 | -404 | 3646 | 170 |

8.2 Carichi concentrati

Indice: numero dell'elemento nell'insieme che lo contiene.

Nodo: nodo su cui agisce il carico.

Condizione: condizione elementare mappata nella quale agisce il carico.

Fx: componente della forza lungo l'asse X. [daN]

Fy: componente della forza lungo l'asse Y. [daN]

Fz: componente della forza lungo l'asse Z. [daN]

Mx: componente del momento attorno all'asse X. [daN*cm]

My: componente del momento attorno all'asse Y. [daN*cm]

Mz: componente del momento attorno all'asse Z. [daN*cm]

| Indice | Nodo | Condizione | Fx | Fy | Fz | Mx | My | Mz |
|--------|------|------------------|----|----|-------|--------|-------|----|
| 1 | 68 | Pesi strutturali | 0 | 0 | 1.1E3 | 0 | 0 | 0 |
| 3 | 79 | Pesi strutturali | 0 | 0 | 1.1E3 | 0 | 0 | 0 |
| 5 | 1042 | Pesi strutturali | 0 | 0 | -8820 | 0 | 0 | 0 |
| 7 | 93 | Pesi strutturali | 0 | 0 | 1.1E3 | 0 | 0 | 0 |
| 9 | 1047 | Pesi strutturali | 0 | 0 | -5890 | 0 | 0 | 0 |
| 11 | 9 | Pesi strutturali | 0 | 0 | 1.1E3 | 0 | 0 | 0 |
| 13 | 1025 | Pesi strutturali | 0 | 0 | -5890 | 0 | 0 | 0 |
| 15 | 25 | Pesi strutturali | 0 | 0 | 1.1E3 | 0 | 0 | 0 |
| 17 | 36 | Pesi strutturali | 0 | 0 | 1.1E3 | 0 | 0 | 0 |
| 19 | 253 | Pesi strutturali | 0 | 0 | 991.6 | 0 | 0 | 0 |
| 21 | 255 | Pesi strutturali | 0 | 0 | 991.6 | 0 | 0 | 0 |
| 23 | 214 | Pesi strutturali | 0 | 0 | 991.6 | 0 | 0 | 0 |
| 25 | 222 | Pesi strutturali | 0 | 0 | 991.6 | 0 | 0 | 0 |
| 27 | 248 | Pesi strutturali | 0 | 0 | 991.6 | 0 | 0 | 0 |
| 29 | 249 | Pesi strutturali | 0 | 0 | 991.6 | 0 | 0 | 0 |
| 31 | 1129 | Pesi strutturali | 0 | 0 | -8820 | -3.0E2 | 420 | 0 |
| 33 | 217 | Pesi strutturali | 0 | 0 | 991.6 | 0 | 0 | 0 |
| 35 | 1121 | Pesi strutturali | 0 | 0 | -5890 | 247.6 | 280.5 | 0 |
| 37 | 209 | Pesi strutturali | 0 | 0 | 991.6 | 0 | 0 | 0 |
| 39 | 218 | Pesi strutturali | 0 | 0 | 991.6 | 0 | 0 | 0 |
| 41 | 232 | Pesi strutturali | 0 | 0 | 991.6 | 0 | 0 | 0 |
| 43 | 238 | Pesi strutturali | 0 | 0 | 991.6 | 0 | 0 | 0 |
| 45 | 28 | Pesi strutturali | 0 | 0 | 1.1E3 | 0 | 0 | 0 |

| Indice | Nodo | Condizione | Fx | Fy | Fz | Mx | My | Mz |
|--------|------|------------------|----|----|-------|-------|-------|----|
| 2 | 69 | Pesi strutturali | 0 | 0 | 1.1E3 | 0 | 0 | 0 |
| 4 | 78 | Pesi strutturali | 0 | 0 | 1.1E3 | 0 | 0 | 0 |
| 6 | 92 | Pesi strutturali | 0 | 0 | 1.1E3 | 0 | 0 | 0 |
| 8 | 99 | Pesi strutturali | 0 | 0 | 1.1E3 | 0 | 0 | 0 |
| 10 | 8 | Pesi strutturali | 0 | 0 | 1.1E3 | 0 | 0 | 0 |
| 12 | 17 | Pesi strutturali | 0 | 0 | 1.1E3 | 0 | 0 | 0 |
| 14 | 24 | Pesi strutturali | 0 | 0 | 1.1E3 | 0 | 0 | 0 |
| 16 | 37 | Pesi strutturali | 0 | 0 | 1.1E3 | 0 | 0 | 0 |
| 18 | 1031 | Pesi strutturali | 0 | 0 | -8820 | 0 | 0 | 0 |
| 20 | 254 | Pesi strutturali | 0 | 0 | 991.6 | 0 | 0 | 0 |
| 22 | 1132 | Pesi strutturali | 0 | 0 | -5890 | 0 | 0 | 0 |
| 24 | 215 | Pesi strutturali | 0 | 0 | 991.6 | 0 | 0 | 0 |
| 26 | 1120 | Pesi strutturali | 0 | 0 | -5890 | 0 | 0 | 0 |
| 28 | 243 | Pesi strutturali | 0 | 0 | 991.6 | 0 | 0 | 0 |
| 30 | 252 | Pesi strutturali | 0 | 0 | 991.6 | 0 | 0 | 0 |
| 32 | 216 | Pesi strutturali | 0 | 0 | 991.6 | 0 | 0 | 0 |
| 34 | 223 | Pesi strutturali | 0 | 0 | 991.6 | 0 | 0 | 0 |
| 36 | 208 | Pesi strutturali | 0 | 0 | 991.6 | 0 | 0 | 0 |
| 38 | 219 | Pesi strutturali | 0 | 0 | 991.6 | 0 | 0 | 0 |
| 40 | 1122 | Pesi strutturali | 0 | 0 | -8820 | 370.7 | 420 | 0 |
| 42 | 233 | Pesi strutturali | 0 | 0 | 991.6 | 0 | 0 | 0 |
| 44 | 1127 | Pesi strutturali | 0 | 0 | -5890 | 24.2 | 280.5 | 0 |
| 46 | 29 | Pesi strutturali | 0 | 0 | 1.1E3 | 0 | 0 | 0 |

| Indice | Nodo | Condizione | Fx | Fy | Fz | Mx | My | Mz | Indice | Nodo | Condizione | Fx | Fy | Fz | Mx | My | Mz |
|--------|------|------------------|----|----|-------|-------|-------|----|--------|------|------------------|----|----|-------|--------|-----|----|
| 47 | 41 | Pesi strutturali | 0 | 0 | 1.1E3 | 0 | 0 | 0 | 48 | 40 | Pesi strutturali | 0 | 0 | 1.1E3 | 0 | 0 | 0 |
| 49 | 1033 | Pesi strutturali | 0 | 0 | -8820 | 370.7 | 420 | 0 | 50 | 51 | Pesi strutturali | 0 | 0 | 1.1E3 | 0 | 0 | 0 |
| 51 | 52 | Pesi strutturali | 0 | 0 | 1.1E3 | 0 | 0 | 0 | 52 | 64 | Pesi strutturali | 0 | 0 | 1.1E3 | 0 | 0 | 0 |
| 53 | 63 | Pesi strutturali | 0 | 0 | 1.1E3 | 0 | 0 | 0 | 54 | 1039 | Pesi strutturali | 0 | 0 | -8820 | 370.7 | 420 | 0 |
| 55 | 261 | Pesi strutturali | 0 | 0 | 991.6 | 0 | 0 | 0 | 56 | 260 | Pesi strutturali | 0 | 0 | 991.6 | 0 | 0 | 0 |
| 57 | 262 | Pesi strutturali | 0 | 0 | 991.6 | 0 | 0 | 0 | 58 | 263 | Pesi strutturali | 0 | 0 | 991.6 | 0 | 0 | 0 |
| 59 | 1134 | Pesi strutturali | 0 | 0 | -8820 | 0 | 0 | 0 | 60 | 210 | Pesi strutturali | 0 | 0 | 991.6 | 0 | 0 | 0 |
| 61 | 211 | Pesi strutturali | 0 | 0 | 991.6 | 0 | 0 | 0 | 62 | 220 | Pesi strutturali | 0 | 0 | 991.6 | 0 | 0 | 0 |
| 63 | 1118 | Pesi strutturali | 0 | 0 | -5890 | 0 | 0 | 0 | 64 | 224 | Pesi strutturali | 0 | 0 | 991.6 | 0 | 0 | 0 |
| 65 | 225 | Pesi strutturali | 0 | 0 | 991.6 | 0 | 0 | 0 | 66 | 234 | Pesi strutturali | 0 | 0 | 991.6 | 0 | 0 | 0 |
| 67 | 1123 | Pesi strutturali | 0 | 0 | -5890 | 0 | 0 | 0 | 68 | 244 | Pesi strutturali | 0 | 0 | 991.6 | 0 | 0 | 0 |
| 69 | 245 | Pesi strutturali | 0 | 0 | 991.6 | 0 | 0 | 0 | 70 | 250 | Pesi strutturali | 0 | 0 | 991.6 | 0 | 0 | 0 |
| 71 | 1130 | Pesi strutturali | 0 | 0 | -5890 | 0 | 0 | 0 | 72 | 212 | Pesi strutturali | 0 | 0 | 991.6 | 0 | 0 | 0 |
| 73 | 213 | Pesi strutturali | 0 | 0 | 991.6 | 0 | 0 | 0 | 74 | 221 | Pesi strutturali | 0 | 0 | 991.6 | 0 | 0 | 0 |
| 75 | 1119 | Pesi strutturali | 0 | 0 | -5890 | 0 | 0 | 0 | 76 | 226 | Pesi strutturali | 0 | 0 | 991.6 | 0 | 0 | 0 |
| 77 | 227 | Pesi strutturali | 0 | 0 | 991.6 | 0 | 0 | 0 | 78 | 235 | Pesi strutturali | 0 | 0 | 991.6 | 0 | 0 | 0 |
| 79 | 1124 | Pesi strutturali | 0 | 0 | -5890 | 0 | 0 | 0 | 80 | 228 | Pesi strutturali | 0 | 0 | 991.6 | 0 | 0 | 0 |
| 81 | 229 | Pesi strutturali | 0 | 0 | 991.6 | 0 | 0 | 0 | 82 | 236 | Pesi strutturali | 0 | 0 | 991.6 | 0 | 0 | 0 |
| 83 | 1125 | Pesi strutturali | 0 | 0 | -5890 | 0 | 0 | 0 | 84 | 72 | Pesi strutturali | 0 | 0 | 1.1E3 | 0 | 0 | 0 |
| 85 | 73 | Pesi strutturali | 0 | 0 | 1.1E3 | 0 | 0 | 0 | 86 | 82 | Pesi strutturali | 0 | 0 | 1.1E3 | 0 | 0 | 0 |
| 87 | 1040 | Pesi strutturali | 0 | 0 | -5890 | 0 | 0 | 0 | 88 | 90 | Pesi strutturali | 0 | 0 | 1.1E3 | 0 | 0 | 0 |
| 89 | 91 | Pesi strutturali | 0 | 0 | 1.1E3 | 0 | 0 | 0 | 90 | 98 | Pesi strutturali | 0 | 0 | 1.1E3 | 0 | 0 | 0 |
| 91 | 1048 | Pesi strutturali | 0 | 0 | -5890 | 247.6 | 280.5 | 0 | 92 | 102 | Pesi strutturali | 0 | 0 | 1.1E3 | 0 | 0 | 0 |
| 93 | 103 | Pesi strutturali | 0 | 0 | 1.1E3 | 0 | 0 | 0 | 94 | 104 | Pesi strutturali | 0 | 0 | 1.1E3 | 0 | 0 | 0 |
| 95 | 1050 | Pesi strutturali | 0 | 0 | -5890 | 247.6 | 280.5 | 0 | 96 | 4 | Pesi strutturali | 0 | 0 | 1.1E3 | 0 | 0 | 0 |
| 97 | 5 | Pesi strutturali | 0 | 0 | 1.1E3 | 0 | 0 | 0 | 98 | 15 | Pesi strutturali | 0 | 0 | 1.1E3 | 0 | 0 | 0 |
| 99 | 1023 | Pesi strutturali | 0 | 0 | -5890 | 0 | 0 | 0 | 100 | 20 | Pesi strutturali | 0 | 0 | 1.1E3 | 0 | 0 | 0 |
| 101 | 21 | Pesi strutturali | 0 | 0 | 1.1E3 | 0 | 0 | 0 | 102 | 33 | Pesi strutturali | 0 | 0 | 1.1E3 | 0 | 0 | 0 |
| 103 | 32 | Pesi strutturali | 0 | 0 | 1.1E3 | 0 | 0 | 0 | 104 | 1029 | Pesi strutturali | 0 | 0 | -8820 | 0 | 0 | 0 |
| 105 | 43 | Pesi strutturali | 0 | 0 | 1.1E3 | 0 | 0 | 0 | 106 | 44 | Pesi strutturali | 0 | 0 | 1.1E3 | 0 | 0 | 0 |
| 107 | 56 | Pesi strutturali | 0 | 0 | 1.1E3 | 0 | 0 | 0 | 108 | 55 | Pesi strutturali | 0 | 0 | 1.1E3 | 0 | 0 | 0 |
| 109 | 1035 | Pesi strutturali | 0 | 0 | -8820 | 0 | 0 | 0 | 110 | 66 | Pesi strutturali | 0 | 0 | 1.1E3 | 0 | 0 | 0 |
| 111 | 67 | Pesi strutturali | 0 | 0 | 1.1E3 | 0 | 0 | 0 | 112 | 77 | Pesi strutturali | 0 | 0 | 1.1E3 | 0 | 0 | 0 |
| 113 | 76 | Pesi strutturali | 0 | 0 | 1.1E3 | 0 | 0 | 0 | 114 | 1041 | Pesi strutturali | 0 | 0 | -8820 | 0 | 0 | 0 |
| 115 | 88 | Pesi strutturali | 0 | 0 | 1.1E3 | 0 | 0 | 0 | 116 | 89 | Pesi strutturali | 0 | 0 | 1.1E3 | 0 | 0 | 0 |
| 117 | 97 | Pesi strutturali | 0 | 0 | 1.1E3 | 0 | 0 | 0 | 118 | 96 | Pesi strutturali | 0 | 0 | 1.1E3 | 0 | 0 | 0 |
| 119 | 1046 | Pesi strutturali | 0 | 0 | -8820 | 0 | 0 | 0 | 120 | 2 | Pesi strutturali | 0 | 0 | 1.1E3 | 0 | 0 | 0 |
| 121 | 3 | Pesi strutturali | 0 | 0 | 1.1E3 | 0 | 0 | 0 | 122 | 14 | Pesi strutturali | 0 | 0 | 1.1E3 | 0 | 0 | 0 |
| 123 | 1022 | Pesi strutturali | 0 | 0 | -5890 | 0 | 0 | 0 | 124 | 53 | Pesi strutturali | 0 | 0 | 1.1E3 | 0 | 0 | 0 |
| 125 | 54 | Pesi strutturali | 0 | 0 | 1.1E3 | 0 | 0 | 0 | 126 | 65 | Pesi strutturali | 0 | 0 | 1.1E3 | 0 | 0 | 0 |
| 127 | 1034 | Pesi strutturali | 0 | 0 | -5890 | 0 | 0 | 0 | 128 | 30 | Pesi strutturali | 0 | 0 | 1.1E3 | 0 | 0 | 0 |
| 129 | 31 | Pesi strutturali | 0 | 0 | 1.1E3 | 0 | 0 | 0 | 130 | 42 | Pesi strutturali | 0 | 0 | 1.1E3 | 0 | 0 | 0 |
| 131 | 1028 | Pesi strutturali | 0 | 0 | -5890 | 0 | 0 | 0 | 132 | 47 | Pesi strutturali | 0 | 0 | 1.1E3 | 0 | 0 | 0 |
| 133 | 48 | Pesi strutturali | 0 | 0 | 1.1E3 | 0 | 0 | 0 | 134 | 60 | Pesi strutturali | 0 | 0 | 1.1E3 | 0 | 0 | 0 |
| 135 | 59 | Pesi strutturali | 0 | 0 | 1.1E3 | 0 | 0 | 0 | 136 | 1037 | Pesi strutturali | 0 | 0 | -8820 | 0 | 0 | 0 |
| 137 | 70 | Pesi strutturali | 0 | 0 | 1.1E3 | 0 | 0 | 0 | 138 | 71 | Pesi strutturali | 0 | 0 | 1.1E3 | 0 | 0 | 0 |
| 139 | 81 | Pesi strutturali | 0 | 0 | 1.1E3 | 0 | 0 | 0 | 140 | 80 | Pesi strutturali | 0 | 0 | 1.1E3 | 0 | 0 | 0 |
| 141 | 1043 | Pesi strutturali | 0 | 0 | -8820 | 0 | 0 | 0 | 142 | 95 | Pesi strutturali | 0 | 0 | 1.1E3 | 0 | 0 | 0 |
| 143 | 94 | Pesi strutturali | 0 | 0 | 1.1E3 | 0 | 0 | 0 | 144 | 100 | Pesi strutturali | 0 | 0 | 1.1E3 | 0 | 0 | 0 |
| 145 | 101 | Pesi strutturali | 0 | 0 | 1.1E3 | 0 | 0 | 0 | 146 | 1049 | Pesi strutturali | 0 | 0 | -8820 | -2.6E2 | 420 | 0 |
| 147 | 10 | Pesi strutturali | 0 | 0 | 1.1E3 | 0 | 0 | 0 | 148 | 11 | Pesi strutturali | 0 | 0 | 1.1E3 | 0 | 0 | 0 |
| 149 | 18 | Pesi strutturali | 0 | 0 | 1.1E3 | 0 | 0 | 0 | 150 | 1026 | Pesi strutturali | 0 | 0 | -5890 | 0 | 0 | 0 |

| Indice | Nodo | Condizione | Fx | Fy | Fz | Mx | My | Mz | Indice | Nodo | Condizione | Fx | Fy | Fz | Mx | My | Mz |
|--------|------|------------------|--------|-------|-------|--------|-------|----|--------|------|------------------|-------|-------|-------|--------|-------|----|
| 151 | 26 | Pesi strutturali | 0 | 0 | 1.1E3 | 0 | 0 | 0 | 152 | 27 | Pesi strutturali | 0 | 0 | 1.1E3 | 0 | 0 | 0 |
| 153 | 39 | Pesi strutturali | 0 | 0 | 1.1E3 | 0 | 0 | 0 | 154 | 38 | Pesi strutturali | 0 | 0 | 1.1E3 | 0 | 0 | 0 |
| 155 | 1032 | Pesi strutturali | 0 | 0 | -8820 | 0 | 0 | 0 | 156 | 49 | Pesi strutturali | 0 | 0 | 1.1E3 | 0 | 0 | 0 |
| 157 | 50 | Pesi strutturali | 0 | 0 | 1.1E3 | 0 | 0 | 0 | 158 | 62 | Pesi strutturali | 0 | 0 | 1.1E3 | 0 | 0 | 0 |
| 159 | 61 | Pesi strutturali | 0 | 0 | 1.1E3 | 0 | 0 | 0 | 160 | 1038 | Pesi strutturali | 0 | 0 | -8820 | 0 | 0 | 0 |
| 161 | 74 | Pesi strutturali | 0 | 0 | 1.1E3 | 0 | 0 | 0 | 162 | 75 | Pesi strutturali | 0 | 0 | 1.1E3 | 0 | 0 | 0 |
| 163 | 83 | Pesi strutturali | 0 | 0 | 1.1E3 | 0 | 0 | 0 | 164 | 1044 | Pesi strutturali | 0 | 0 | -5890 | 0 | 0 | 0 |
| 165 | 12 | Pesi strutturali | 0 | 0 | 1.1E3 | 0 | 0 | 0 | 166 | 13 | Pesi strutturali | 0 | 0 | 1.1E3 | 0 | 0 | 0 |
| 167 | 19 | Pesi strutturali | 0 | 0 | 1.1E3 | 0 | 0 | 0 | 168 | 1027 | Pesi strutturali | 0 | 0 | -5890 | 247.6 | 280.5 | 0 |
| 169 | 6 | Pesi strutturali | 0 | 0 | 1.1E3 | 0 | 0 | 0 | 170 | 7 | Pesi strutturali | 0 | 0 | 1.1E3 | 0 | 0 | 0 |
| 171 | 16 | Pesi strutturali | 0 | 0 | 1.1E3 | 0 | 0 | 0 | 172 | 1024 | Pesi strutturali | 0 | 0 | -5890 | 0 | 0 | 0 |
| 173 | 22 | Pesi strutturali | 0 | 0 | 1.1E3 | 0 | 0 | 0 | 174 | 23 | Pesi strutturali | 0 | 0 | 1.1E3 | 0 | 0 | 0 |
| 175 | 35 | Pesi strutturali | 0 | 0 | 1.1E3 | 0 | 0 | 0 | 176 | 34 | Pesi strutturali | 0 | 0 | 1.1E3 | 0 | 0 | 0 |
| 177 | 1030 | Pesi strutturali | 0 | 0 | -8820 | 0 | 0 | 0 | 178 | 45 | Pesi strutturali | 0 | 0 | 1.1E3 | 0 | 0 | 0 |
| 179 | 46 | Pesi strutturali | 0 | 0 | 1.1E3 | 0 | 0 | 0 | 180 | 58 | Pesi strutturali | 0 | 0 | 1.1E3 | 0 | 0 | 0 |
| 181 | 57 | Pesi strutturali | 0 | 0 | 1.1E3 | 0 | 0 | 0 | 182 | 1036 | Pesi strutturali | 0 | 0 | -8820 | 0 | 0 | 0 |
| 183 | 269 | Pesi strutturali | 0 | 0 | 991.6 | 0 | 0 | 0 | 184 | 268 | Pesi strutturali | 0 | 0 | 991.6 | 0 | 0 | 0 |
| 185 | 270 | Pesi strutturali | 0 | 0 | 991.6 | 0 | 0 | 0 | 186 | 271 | Pesi strutturali | 0 | 0 | 991.6 | 0 | 0 | 0 |
| 187 | 1136 | Pesi strutturali | 0 | 0 | -8820 | 287.7 | 420 | 0 | 188 | 265 | Pesi strutturali | 0 | 0 | 991.6 | 0 | 0 | 0 |
| 189 | 264 | Pesi strutturali | 0 | 0 | 991.6 | 0 | 0 | 0 | 190 | 266 | Pesi strutturali | 0 | 0 | 991.6 | 0 | 0 | 0 |
| 191 | 267 | Pesi strutturali | 0 | 0 | 991.6 | 0 | 0 | 0 | 192 | 1135 | Pesi strutturali | 0 | 0 | -8820 | -4.3E2 | 420 | 0 |
| 193 | 257 | Pesi strutturali | 0 | 0 | 991.6 | 0 | 0 | 0 | 194 | 256 | Pesi strutturali | 0 | 0 | 991.6 | 0 | 0 | 0 |
| 195 | 258 | Pesi strutturali | 0 | 0 | 991.6 | 0 | 0 | 0 | 196 | 259 | Pesi strutturali | 0 | 0 | 991.6 | 0 | 0 | 0 |
| 197 | 1133 | Pesi strutturali | 0 | 0 | -8820 | 0 | 0 | 0 | 198 | 85 | Pesi strutturali | 0 | 0 | 1.1E3 | 0 | 0 | 0 |
| 199 | 84 | Pesi strutturali | 0 | 0 | 1.1E3 | 0 | 0 | 0 | 200 | 86 | Pesi strutturali | 0 | 0 | 1.1E3 | 0 | 0 | 0 |
| 201 | 87 | Pesi strutturali | 0 | 0 | 1.1E3 | 0 | 0 | 0 | 202 | 1045 | Pesi strutturali | 0 | 0 | -8820 | -90.1 | 420 | 0 |
| 203 | 240 | Pesi strutturali | 0 | 0 | 991.6 | 0 | 0 | 0 | 204 | 239 | Pesi strutturali | 0 | 0 | 991.6 | 0 | 0 | 0 |
| 205 | 241 | Pesi strutturali | 0 | 0 | 991.6 | 0 | 0 | 0 | 206 | 242 | Pesi strutturali | 0 | 0 | 991.6 | 0 | 0 | 0 |
| 207 | 1128 | Pesi strutturali | 0 | 0 | -8820 | -1.3E2 | 420 | 0 | 208 | 272 | Pesi strutturali | 0 | 0 | 991.6 | 0 | 0 | 0 |
| 209 | 273 | Pesi strutturali | 0 | 0 | 991.6 | 0 | 0 | 0 | 210 | 274 | Pesi strutturali | 0 | 0 | 991.6 | 0 | 0 | 0 |
| 211 | 1137 | Pesi strutturali | 0 | 0 | -5890 | 79.9 | 280.5 | 0 | 212 | 230 | Pesi strutturali | 0 | 0 | 991.6 | 0 | 0 | 0 |
| 213 | 231 | Pesi strutturali | 0 | 0 | 991.6 | 0 | 0 | 0 | 214 | 237 | Pesi strutturali | 0 | 0 | 991.6 | 0 | 0 | 0 |
| 215 | 1126 | Pesi strutturali | 0 | 0 | -5890 | 24.2 | 280.5 | 0 | 216 | 246 | Pesi strutturali | 0 | 0 | 991.6 | 0 | 0 | 0 |
| 217 | 247 | Pesi strutturali | 0 | 0 | 991.6 | 0 | 0 | 0 | 218 | 251 | Pesi strutturali | 0 | 0 | 991.6 | 0 | 0 | 0 |
| 219 | 1131 | Pesi strutturali | 0 | 0 | -5890 | 0 | 0 | 0 | 220 | 1169 | Eccezionale | 56300 | 32500 | 0 | 0 | 0 | 0 |
| 221 | 1151 | Vento | -5.0E4 | 50000 | 71000 | 0 | 0 | 0 | 486 | 1179 | Rig. Ux | 1 | 0 | 0 | 0 | 0 | 0 |
| 487 | 1179 | Rig. Uy | 0 | 1 | 0 | 0 | 0 | 0 | 488 | 1179 | Rig. Rz | 0 | 0 | 0 | 0 | 0 | 1 |

8.3 Carichi concentrati sismici

Indice: numero dell'elemento nell'insieme che lo contiene.

Nodo: nodo su cui agisce il carico.

Condizione: condizione elementare mappata nella quale agisce il carico.

Fx: componente della forza lungo l'asse X. [daN]

Fy: componente della forza lungo l'asse Y. [daN]

Fz: componente della forza lungo l'asse Z. [daN]

Mz: componente del momento attorno all'asse Z. [daN*cm]

Peso: peso sismico. [daN]

γ: coefficiente γ. Il valore è adimensionale.

| Indice | Nodo | Condizione | Fx | Fy | Fz | Mz | Peso | γ | Indice | Nodo | Condizione | Fx | Fy | Fz | Mz | Peso | γ |
|--------|------|--------------------------------|-------|----|----|--------|-------|---|--------|------|--------------------------------|----|-------|----|-------|-------|---|
| 489 | 1151 | Sisma X SLV | 5.5E3 | 0 | 0 | 0 | 3.2E4 | 1 | 490 | 1151 | Sisma Y SLV | 0 | 5.5E3 | 0 | 0 | 3.2E4 | 1 |
| 491 | 1151 | Eccentricità Y per sisma X SLV | 0 | 0 | 0 | -9.6E5 | 3.2E4 | 1 | 492 | 1151 | Eccentricità X per sisma Y SLV | 0 | 0 | 0 | 1.8E6 | 3.2E4 | 1 |
| 493 | 1151 | Sisma X SLO | 2.8E3 | 0 | 0 | 0 | 3.2E4 | 1 | 494 | 1151 | Sisma Y SLO | 0 | 2.8E3 | 0 | 0 | 3.2E4 | 1 |
| 495 | 1151 | Eccentricità Y per sisma X SLO | 0 | 0 | 0 | -4.9E5 | 3.2E4 | 1 | 496 | 1151 | Eccentricità X per sisma Y SLO | 0 | 0 | 0 | 9.0E5 | 3.2E4 | 1 |
| 497 | 1151 | Sisma X SLD | 2.3E3 | 0 | 0 | 0 | 3.2E4 | 1 | 498 | 1151 | Sisma Y SLD | 0 | 2.3E3 | 0 | 0 | 3.2E4 | 1 |
| 499 | 1151 | Eccentricità Y per sisma X SLD | 0 | 0 | 0 | -4.0E5 | 3.2E4 | 1 | 500 | 1151 | Eccentricità X per sisma Y SLD | 0 | 0 | 0 | 7.4E5 | 3.2E4 | 1 |
| 501 | 1152 | Sisma X SLV | 7.9E3 | 0 | 0 | 0 | 4.6E4 | 1 | 502 | 1152 | Sisma Y SLV | 0 | 7.9E3 | 0 | 0 | 4.6E4 | 1 |

| Indice | Nodo | Condizione | Fx | Fy | Fz | Mz | Peso | Y | Indice | Nodo | Condizione | Fx | Fy | Fz | Mz | Peso | Y |
|--------|------|--------------------------------|-------|----|----|--------|-------|---|--------|------|--------------------------------|----|-------|----|-------|-------|---|
| 503 | 1152 | Eccentricità Y per sisma X SLV | 0 | 0 | 0 | -1.4E6 | 4.6E4 | 1 | 504 | 1152 | Eccentricità X per sisma Y SLV | 0 | 0 | 0 | 2.5E6 | 4.6E4 | 1 |
| 505 | 1152 | Sisma X SLO | 4034 | 0 | 0 | 0 | 4.6E4 | 1 | 506 | 1152 | Sisma Y SLO | 0 | 4.1E3 | 0 | 0 | 4.6E4 | 1 |
| 507 | 1152 | Eccentricità Y per sisma X SLO | 0 | 0 | 0 | -7.1E5 | 4.6E4 | 1 | 508 | 1152 | Eccentricità X per sisma Y SLO | 0 | 0 | 0 | 1.3E6 | 4.6E4 | 1 |
| 509 | 1152 | Sisma X SLD | 3.4E3 | 0 | 0 | 0 | 4.6E4 | 1 | 510 | 1152 | Sisma Y SLD | 0 | 3.4E3 | 0 | 0 | 4.6E4 | 1 |
| 511 | 1152 | Eccentricità Y per sisma X SLD | 0 | 0 | 0 | -5.9E5 | 4.6E4 | 1 | 512 | 1152 | Eccentricità X per sisma Y SLD | 0 | 0 | 0 | 1.1E6 | 4.6E4 | 1 |
| 513 | 1153 | Sisma X SLV | 7.9E3 | 0 | 0 | 0 | 4.6E4 | 1 | 514 | 1153 | Sisma Y SLV | 0 | 7.9E3 | 0 | 0 | 4.6E4 | 1 |
| 515 | 1153 | Eccentricità Y per sisma X SLV | 0 | 0 | 0 | -1.4E6 | 4.6E4 | 1 | 516 | 1153 | Eccentricità X per sisma Y SLV | 0 | 0 | 0 | 2.5E6 | 4.6E4 | 1 |
| 517 | 1153 | Sisma X SLO | 4034 | 0 | 0 | 0 | 4.6E4 | 1 | 518 | 1153 | Sisma Y SLO | 0 | 4.1E3 | 0 | 0 | 4.6E4 | 1 |
| 519 | 1153 | Eccentricità Y per sisma X SLO | 0 | 0 | 0 | -7.1E5 | 4.6E4 | 1 | 520 | 1153 | Eccentricità X per sisma Y SLO | 0 | 0 | 0 | 1.3E6 | 4.6E4 | 1 |
| 521 | 1153 | Sisma X SLD | 3.4E3 | 0 | 0 | 0 | 4.6E4 | 1 | 522 | 1153 | Sisma Y SLD | 0 | 3.4E3 | 0 | 0 | 4.6E4 | 1 |
| 523 | 1153 | Eccentricità Y per sisma X SLD | 0 | 0 | 0 | -5.9E5 | 4.6E4 | 1 | 524 | 1153 | Eccentricità X per sisma Y SLD | 0 | 0 | 0 | 1.1E6 | 4.6E4 | 1 |
| 525 | 1154 | Sisma X SLV | 7.9E3 | 0 | 0 | 0 | 4.6E4 | 1 | 526 | 1154 | Sisma Y SLV | 0 | 7.9E3 | 0 | 0 | 4.6E4 | 1 |
| 527 | 1154 | Eccentricità Y per sisma X SLV | 0 | 0 | 0 | -1.4E6 | 4.6E4 | 1 | 528 | 1154 | Eccentricità X per sisma Y SLV | 0 | 0 | 0 | 2.5E6 | 4.6E4 | 1 |
| 529 | 1154 | Sisma X SLO | 4034 | 0 | 0 | 0 | 4.6E4 | 1 | 530 | 1154 | Sisma Y SLO | 0 | 4.1E3 | 0 | 0 | 4.6E4 | 1 |
| 531 | 1154 | Eccentricità Y per sisma X SLO | 0 | 0 | 0 | -7.1E5 | 4.6E4 | 1 | 532 | 1154 | Eccentricità X per sisma Y SLO | 0 | 0 | 0 | 1.3E6 | 4.6E4 | 1 |
| 533 | 1154 | Sisma X SLD | 3.4E3 | 0 | 0 | 0 | 4.6E4 | 1 | 534 | 1154 | Sisma Y SLD | 0 | 3.4E3 | 0 | 0 | 4.6E4 | 1 |
| 535 | 1154 | Eccentricità Y per sisma X SLD | 0 | 0 | 0 | -5.9E5 | 4.6E4 | 1 | 536 | 1154 | Eccentricità X per sisma Y SLD | 0 | 0 | 0 | 1.1E6 | 4.6E4 | 1 |
| 537 | 1155 | Sisma X SLV | 7.9E3 | 0 | 0 | 0 | 4.6E4 | 1 | 538 | 1155 | Sisma Y SLV | 0 | 7.9E3 | 0 | 0 | 4.6E4 | 1 |
| 539 | 1155 | Eccentricità Y per sisma X SLV | 0 | 0 | 0 | -1.4E6 | 4.6E4 | 1 | 540 | 1155 | Eccentricità X per sisma Y SLV | 0 | 0 | 0 | 2.5E6 | 4.6E4 | 1 |
| 541 | 1155 | Sisma X SLO | 4034 | 0 | 0 | 0 | 4.6E4 | 1 | 542 | 1155 | Sisma Y SLO | 0 | 4.1E3 | 0 | 0 | 4.6E4 | 1 |
| 543 | 1155 | Eccentricità Y per sisma X SLO | 0 | 0 | 0 | -7.1E5 | 4.6E4 | 1 | 544 | 1155 | Eccentricità X per sisma Y SLO | 0 | 0 | 0 | 1.3E6 | 4.6E4 | 1 |
| 545 | 1155 | Sisma X SLD | 3.4E3 | 0 | 0 | 0 | 4.6E4 | 1 | 546 | 1155 | Sisma Y SLD | 0 | 3.4E3 | 0 | 0 | 4.6E4 | 1 |
| 547 | 1155 | Eccentricità Y per sisma X SLD | 0 | 0 | 0 | -5.9E5 | 4.6E4 | 1 | 548 | 1155 | Eccentricità X per sisma Y SLD | 0 | 0 | 0 | 1.1E6 | 4.6E4 | 1 |
| 549 | 1156 | Sisma X SLV | 7.9E3 | 0 | 0 | 0 | 4.6E4 | 1 | 550 | 1156 | Sisma Y SLV | 0 | 7.9E3 | 0 | 0 | 4.6E4 | 1 |
| 551 | 1156 | Eccentricità Y per sisma X SLV | 0 | 0 | 0 | -1.4E6 | 4.6E4 | 1 | 552 | 1156 | Eccentricità X per sisma Y SLV | 0 | 0 | 0 | 2.5E6 | 4.6E4 | 1 |
| 553 | 1156 | Sisma X SLO | 4.0E3 | 0 | 0 | 0 | 4.6E4 | 1 | 554 | 1156 | Sisma Y SLO | 0 | 4.1E3 | 0 | 0 | 4.6E4 | 1 |
| 555 | 1156 | Eccentricità Y per sisma X SLO | 0 | 0 | 0 | -7.0E5 | 4.6E4 | 1 | 556 | 1156 | Eccentricità X per sisma Y SLO | 0 | 0 | 0 | 1.3E6 | 4.6E4 | 1 |
| 557 | 1156 | Sisma X SLD | 3.4E3 | 0 | 0 | 0 | 4.6E4 | 1 | 558 | 1156 | Sisma Y SLD | 0 | 3.4E3 | 0 | 0 | 4.6E4 | 1 |
| 559 | 1156 | Eccentricità Y per sisma X SLD | 0 | 0 | 0 | -5.9E5 | 4.6E4 | 1 | 560 | 1156 | Eccentricità X per sisma Y SLD | 0 | 0 | 0 | 1.1E6 | 4.6E4 | 1 |
| 561 | 1157 | Sisma X SLV | 6.6E3 | 0 | 0 | 0 | 3.8E4 | 1 | 562 | 1157 | Sisma Y SLV | 0 | 6.6E3 | 0 | 0 | 3.8E4 | 1 |
| 563 | 1157 | Eccentricità Y per sisma X SLV | 0 | 0 | 0 | -1.2E6 | 3.8E4 | 1 | 564 | 1157 | Eccentricità X per sisma Y SLV | 0 | 0 | 0 | 2.1E6 | 3.8E4 | 1 |
| 565 | 1157 | Sisma X SLO | 3.3E3 | 0 | 0 | 0 | 3.8E4 | 1 | 566 | 1157 | Sisma Y SLO | 0 | 3.4E3 | 0 | 0 | 3.8E4 | 1 |
| 567 | 1157 | Eccentricità Y per sisma X SLO | 0 | 0 | 0 | -5.9E5 | 3.8E4 | 1 | 568 | 1157 | Eccentricità X per sisma Y SLO | 0 | 0 | 0 | 1.1E6 | 3.8E4 | 1 |
| 569 | 1157 | Sisma X SLD | 2.8E3 | 0 | 0 | 0 | 3.8E4 | 1 | 570 | 1157 | Sisma Y SLD | 0 | 2.8E3 | 0 | 0 | 3.8E4 | 1 |
| 571 | 1157 | Eccentricità Y per sisma X SLD | 0 | 0 | 0 | -4.9E5 | 3.8E4 | 1 | 572 | 1157 | Eccentricità X per sisma Y SLD | 0 | 0 | 0 | 8.9E5 | 3.8E4 | 1 |
| 573 | 1158 | Sisma X SLV | 6.6E3 | 0 | 0 | 0 | 3.8E4 | 1 | 574 | 1158 | Sisma Y SLV | 0 | 6.6E3 | 0 | 0 | 3.8E4 | 1 |
| 575 | 1158 | Eccentricità Y per sisma X SLV | 0 | 0 | 0 | -1.2E6 | 3.8E4 | 1 | 576 | 1158 | Eccentricità X per sisma Y SLV | 0 | 0 | 0 | 2.1E6 | 3.8E4 | 1 |
| 577 | 1158 | Sisma X SLO | 3.3E3 | 0 | 0 | 0 | 3.8E4 | 1 | 578 | 1158 | Sisma Y SLO | 0 | 3.4E3 | 0 | 0 | 3.8E4 | 1 |
| 579 | 1158 | Eccentricità Y per sisma X SLO | 0 | 0 | 0 | -5.9E5 | 3.8E4 | 1 | 580 | 1158 | Eccentricità X per sisma Y SLO | 0 | 0 | 0 | 1.1E6 | 3.8E4 | 1 |
| 581 | 1158 | Sisma X SLD | 2.8E3 | 0 | 0 | 0 | 3.8E4 | 1 | 582 | 1158 | Sisma Y SLD | 0 | 2.8E3 | 0 | 0 | 3.8E4 | 1 |
| 583 | 1158 | Eccentricità Y per sisma X SLD | 0 | 0 | 0 | -4.9E5 | 3.8E4 | 1 | 584 | 1158 | Eccentricità X per sisma Y SLD | 0 | 0 | 0 | 8.9E5 | 3.8E4 | 1 |
| 585 | 1159 | Sisma X SLV | 6.6E3 | 0 | 0 | 0 | 3.8E4 | 1 | 586 | 1159 | Sisma Y SLV | 0 | 6.6E3 | 0 | 0 | 3.8E4 | 1 |
| 587 | 1159 | Eccentricità Y per sisma X SLV | 0 | 0 | 0 | -1.2E6 | 3.8E4 | 1 | 588 | 1159 | Eccentricità X per sisma Y SLV | 0 | 0 | 0 | 2.1E6 | 3.8E4 | 1 |
| 589 | 1159 | Sisma X SLO | 3.3E3 | 0 | 0 | 0 | 3.8E4 | 1 | 590 | 1159 | Sisma Y SLO | 0 | 3.4E3 | 0 | 0 | 3.8E4 | 1 |
| 591 | 1159 | Eccentricità Y per sisma X SLO | 0 | 0 | 0 | -5.9E5 | 3.8E4 | 1 | 592 | 1159 | Eccentricità X per sisma Y SLO | 0 | 0 | 0 | 1.1E6 | 3.8E4 | 1 |
| 593 | 1159 | Sisma X SLD | 2.8E3 | 0 | 0 | 0 | 3.8E4 | 1 | 594 | 1159 | Sisma Y SLD | 0 | 2.8E3 | 0 | 0 | 3.8E4 | 1 |
| 595 | 1159 | Eccentricità Y per sisma X SLD | 0 | 0 | 0 | -4.9E5 | 3.8E4 | 1 | 596 | 1159 | Eccentricità X per sisma Y SLD | 0 | 0 | 0 | 8.9E5 | 3.8E4 | 1 |
| 597 | 1160 | Sisma X SLV | 6.6E3 | 0 | 0 | 0 | 3.8E4 | 1 | 598 | 1160 | Sisma Y SLV | 0 | 6.6E3 | 0 | 0 | 3.8E4 | 1 |
| 599 | 1160 | Eccentricità Y per sisma X SLV | 0 | 0 | 0 | -1.2E6 | 3.8E4 | 1 | 600 | 1160 | Eccentricità X per sisma Y SLV | 0 | 0 | 0 | 2.1E6 | 3.8E4 | 1 |
| 601 | 1160 | Sisma X SLO | 3.3E3 | 0 | 0 | 0 | 3.8E4 | 1 | 602 | 1160 | Sisma Y SLV | 0 | 3.4E3 | 0 | 0 | 3.8E4 | 1 |
| 603 | 1160 | Eccentricità Y per sisma X SLO | 0 | 0 | 0 | -5.9E5 | 3.8E4 | 1 | 604 | 1160 | Eccentricità X per sisma Y SLO | 0 | 0 | 0 | 1.1E6 | 3.8E4 | 1 |
| 605 | 1160 | Sisma X SLD | 2.8E3 | 0 | 0 | 0 | 3.8E4 | 1 | 606 | 1160 | Sisma Y SLD | 0 | 2.8E3 | 0 | 0 | 3.8E4 | 1 |
| 607 | 1160 | Eccentricità Y per sisma X SLD | 0 | 0 | 0 | -4.9E5 | 3.8E4 | 1 | 608 | 1160 | Eccentricità X per sisma Y SLD | 0 | 0 | 0 | 8.9E5 | 3.8E4 | 1 |
| 609 | 1161 | Sisma X SLV | 6.1E3 | 0 | 0 | 0 | 3.5E4 | 1 | 610 | 1161 | Sisma Y SLV | 0 | 6.1E3 | 0 | 0 | 3.5E4 | 1 |
| 611 | 1161 | Eccentricità Y per sisma X SLV | 0 | 0 | 0 | -1.1E6 | 3.5E4 | 1 | 612 | 1161 | Eccentricità X per sisma Y SLV | 0 | 0 | 0 | 1.9E6 | 3.5E4 | 1 |
| 613 | 1161 | Sisma X SLO | 3.1E3 | 0 | 0 | 0 | 3.5E4 | 1 | 614 | 1161 | Sisma Y SLO | 0 | 3.1E3 | 0 | 0 | 3.5E4 | 1 |
| 615 | 1161 | Eccentricità Y per sisma X SLO | 0 | 0 | 0 | -5.4E5 | 3.5E4 | 1 | 616 | 1161 | Eccentricità X per sisma Y SLO | 0 | 0 | 0 | 9.9E5 | 3.5E4 | 1 |
| 617 | 1161 | Sisma X SLD | 2.6E3 | 0 | 0 | 0 | 3.5E4 | 1 | 618 | 1161 | Sisma Y SLD | 0 | 2.6E3 | 0 | 0 | 3.5E4 | 1 |
| 619 | 1161 | Eccentricità Y per sisma X SLD | 0 | 0 | 0 | -4.5E5 | 3.5E4 | 1 | 620 | 1162 | Eccentricità X per sisma Y SLD | 0 | 0 | 0 | 8.2E5 | 3.5E4 | 1 |
| 621 | 1162 | Sisma X SLV | 1.1E4 | 0 | 0 | 0 | 6.1E4 | 1 | 622 | 1162 | Sisma Y SLV | 0 | 1.1E4 | 0 | 0 | 6.1E4 | 1 |
| 623 | 1162 | Eccentricità Y per sisma X SLV | 0 | 0 | 0 | -1.9E6 | 6.1E4 | 1 | 624 | 1162 | Eccentricità X per sisma Y SLV | 0 | 0 | 0 | 3.4E6 | 6.1E4 | 1 |
| 625 | 1162 | Sisma X SLO | 5374 | 0 | 0 | 0 | 6.1E4 | 1 | 626 | 1162 | Sisma Y SLO | 0 | 5.4E3 | 0 | 0 | 6.1E4 | 1 |
| 627 | 1162 | Eccentricità Y per sisma X SLO | 0 | 0 | 0 | -9.4E5 | 6.1E4 | 1 | 628 | 1162 | Eccentricità X per sisma Y SLO | 0 | 0 | 0 | 1.7E6 | 6.1E4 | 1 |
| 629 | 1162 | Sisma X SLD | 4.5E3 | 0 | 0 | 0 | 6.1E4 | 1 | 630 | 1162 | Sisma Y SLD | 0 | 4.5E3 | 0 | 0 | 6.1E4 | 1 |
| 631 | 1162 | Eccentricità Y per sisma X SLD | 0 | 0 | 0 | -7.8E5 | 6.1E4 | 1 | 632 | 1162 | Eccentricità X per sisma Y SLD | 0 | 0 | 0 | 1.4E6 | 6.1E4 | 1 |
| 633 | 1163 | Sisma X SLV | 1.1E4 | 0 | 0 | 0 | 6.1E4 | 1 | 634 | 1163 | Sisma Y SLV | 0 | 1.1E4 | 0 | 0 | 6.1E4 | 1 |
| 635 | 1163 | Eccentricità Y per sisma X SLV | 0 | 0 | 0 | -1.8E6 | 6.1E4 | 1 | 636 | 1163 | Eccentricità X per sisma Y SLV | 0 | 0 | 0 | 3.4E6 | 6.1E4 | 1 |
| 637 | 1163 | Sisma X SLO | 5.4E3 | 0 | 0 | 0 | 6.1E4 | 1 | 638 | 1163 | Sisma Y SLO | 0 | 5.4E3 | 0 | 0 | 6.1E4 | 1 |

| Indice | Nodo | Condizione | Fx | Fy | Fz | Mz | Peso | Y | Indice | Nodo | Condizione | Fx | Fy | Fz | Mz | Peso | Y |
|--------|------|--------------------------------|-------|----|----|--------|-------|---|--------|------|--------------------------------|----|-------|----|-------|-------|---|
| 639 | 1163 | Eccentricità Y per sisma X SLO | 0 | 0 | 0 | -9.4E5 | 6.1E4 | 1 | 640 | 1163 | Eccentricità X per sisma Y SLO | 0 | 0 | 0 | 1.7E6 | 6.1E4 | 1 |
| 641 | 1163 | Sisma X SLD | 4.5E3 | 0 | 0 | 0 | 6.1E4 | 1 | 642 | 1163 | Sisma Y SLD | 0 | 4.5E3 | 0 | 0 | 6.1E4 | 1 |
| 643 | 1163 | Eccentricità Y per sisma X SLD | 0 | 0 | 0 | -7.8E5 | 6.1E4 | 1 | 644 | 1163 | Eccentricità X per sisma Y SLD | 0 | 0 | 0 | 1.4E6 | 6.1E4 | 1 |
| 645 | 1164 | Sisma X SLV | 1.0E4 | 0 | 0 | 0 | 6.0E4 | 1 | 646 | 1164 | Sisma Y SLV | 0 | 1.0E4 | 0 | 0 | 6.0E4 | 1 |
| 647 | 1164 | Eccentricità Y per sisma X SLV | 0 | 0 | 0 | -1.8E6 | 6.0E4 | 1 | 648 | 1164 | Eccentricità X per sisma Y SLV | 0 | 0 | 0 | 3.3E6 | 6.0E4 | 1 |
| 649 | 1164 | Sisma X SLO | 5.3E3 | 0 | 0 | 0 | 6.0E4 | 1 | 650 | 1164 | Sisma Y SLO | 0 | 5361 | 0 | 0 | 6.0E4 | 1 |
| 651 | 1164 | Eccentricità Y per sisma X SLO | 0 | 0 | 0 | -9.3E5 | 6.0E4 | 1 | 652 | 1164 | Eccentricità X per sisma Y SLO | 0 | 0 | 0 | 1.7E6 | 6.0E4 | 1 |
| 653 | 1164 | Sisma X SLD | 4423 | 0 | 0 | 0 | 6.0E4 | 1 | 654 | 1164 | Sisma Y SLD | 0 | 4423 | 0 | 0 | 6.0E4 | 1 |
| 655 | 1164 | Eccentricità Y per sisma X SLD | 0 | 0 | 0 | -7.7E5 | 6.0E4 | 1 | 656 | 1164 | Eccentricità X per sisma Y SLD | 0 | 0 | 0 | 1.4E6 | 6.0E4 | 1 |
| 657 | 1165 | Sisma X SLV | 8.0E3 | 0 | 0 | 0 | 4.6E4 | 1 | 658 | 1165 | Sisma Y SLV | 0 | 8.0E3 | 0 | 0 | 4.6E4 | 1 |
| 659 | 1165 | Eccentricità Y per sisma X SLV | 0 | 0 | 0 | -1.4E6 | 4.6E4 | 1 | 660 | 1165 | Eccentricità X per sisma Y SLV | 0 | 0 | 0 | 2.6E6 | 4.6E4 | 1 |
| 661 | 1165 | Sisma X SLO | 4.0E3 | 0 | 0 | 0 | 4.6E4 | 1 | 662 | 1165 | Sisma Y SLO | 0 | 4.1E3 | 0 | 0 | 4.6E4 | 1 |
| 663 | 1165 | Eccentricità Y per sisma X SLO | 0 | 0 | 0 | -7.1E5 | 4.6E4 | 1 | 664 | 1165 | Eccentricità X per sisma Y SLO | 0 | 0 | 0 | 1.3E6 | 4.6E4 | 1 |
| 665 | 1165 | Sisma X SLD | 3.4E3 | 0 | 0 | 0 | 4.6E4 | 1 | 666 | 1165 | Sisma Y SLD | 0 | 3.4E3 | 0 | 0 | 4.6E4 | 1 |
| 667 | 1165 | Eccentricità Y per sisma X SLD | 0 | 0 | 0 | -5.9E5 | 4.6E4 | 1 | 668 | 1165 | Eccentricità X per sisma Y SLD | 0 | 0 | 0 | 1.1E6 | 4.6E4 | 1 |
| 669 | 1166 | Sisma X SLV | 8.8E3 | 0 | 0 | 0 | 5.1E4 | 1 | 670 | 1166 | Sisma Y SLV | 0 | 8.8E3 | 0 | 0 | 5.1E4 | 1 |
| 671 | 1166 | Eccentricità Y per sisma X SLV | 0 | 0 | 0 | -1.5E6 | 5.1E4 | 1 | 672 | 1166 | Eccentricità X per sisma Y SLV | 0 | 0 | 0 | 2.8E6 | 5.1E4 | 1 |
| 673 | 1166 | Sisma X SLO | 4.5E3 | 0 | 0 | 0 | 5.1E4 | 1 | 674 | 1166 | Sisma Y SLO | 0 | 4504 | 0 | 0 | 5.1E4 | 1 |
| 675 | 1166 | Eccentricità Y per sisma X SLO | 0 | 0 | 0 | -7.8E5 | 5.1E4 | 1 | 676 | 1166 | Eccentricità X per sisma Y SLO | 0 | 0 | 0 | 1.4E6 | 5.1E4 | 1 |
| 677 | 1166 | Sisma X SLD | 3716 | 0 | 0 | 0 | 5.1E4 | 1 | 678 | 1166 | Sisma Y SLD | 0 | 3716 | 0 | 0 | 5.1E4 | 1 |
| 679 | 1166 | Eccentricità Y per sisma X SLD | 0 | 0 | 0 | -6.5E5 | 5.1E4 | 1 | 680 | 1166 | Eccentricità X per sisma Y SLD | 0 | 0 | 0 | 1.2E6 | 5.1E4 | 1 |
| 681 | 1169 | Sisma X SLV | 8.3E3 | 0 | 0 | 0 | 4.8E4 | 1 | 682 | 1169 | Sisma Y SLV | 0 | 8.3E3 | 0 | 0 | 4.8E4 | 1 |
| 683 | 1169 | Eccentricità Y per sisma X SLV | 0 | 0 | 0 | -1.5E6 | 4.8E4 | 1 | 684 | 1169 | Eccentricità X per sisma Y SLV | 0 | 0 | 0 | 2.7E6 | 4.8E4 | 1 |
| 685 | 1169 | Sisma X SLO | 4.2E3 | 0 | 0 | 0 | 4.8E4 | 1 | 686 | 1169 | Sisma Y SLO | 0 | 4.3E3 | 0 | 0 | 4.8E4 | 1 |
| 687 | 1169 | Eccentricità Y per sisma X SLO | 0 | 0 | 0 | -7.4E5 | 4.8E4 | 1 | 688 | 1169 | Eccentricità X per sisma Y SLO | 0 | 0 | 0 | 1.4E6 | 4.8E4 | 1 |
| 689 | 1169 | Sisma X SLD | 3.5E3 | 0 | 0 | 0 | 4.8E4 | 1 | 690 | 1169 | Sisma Y SLD | 0 | 3.5E3 | 0 | 0 | 4.8E4 | 1 |
| 691 | 1169 | Eccentricità Y per sisma X SLD | 0 | 0 | 0 | -6.1E5 | 4.8E4 | 1 | 692 | 1169 | Eccentricità X per sisma Y SLD | 0 | 0 | 0 | 1.1E6 | 4.8E4 | 1 |
| 693 | 1170 | Sisma X SLV | 1.2E4 | 0 | 0 | 0 | 7.0E4 | 1 | 694 | 1170 | Sisma Y SLV | 0 | 1.2E4 | 0 | 0 | 7.0E4 | 1 |
| 695 | 1170 | Eccentricità Y per sisma X SLV | 0 | 0 | 0 | -2.1E6 | 7.0E4 | 1 | 696 | 1170 | Eccentricità X per sisma Y SLV | 0 | 0 | 0 | 3.9E6 | 7.0E4 | 1 |
| 697 | 1170 | Sisma X SLO | 6.2E3 | 0 | 0 | 0 | 7.0E4 | 1 | 698 | 1170 | Sisma Y SLO | 0 | 6.2E3 | 0 | 0 | 7.0E4 | 1 |
| 699 | 1170 | Eccentricità Y per sisma X SLO | 0 | 0 | 0 | -1.1E6 | 7.0E4 | 1 | 700 | 1170 | Eccentricità X per sisma Y SLO | 0 | 0 | 0 | 2.0E6 | 7.0E4 | 1 |
| 701 | 1170 | Sisma X SLD | 5.1E3 | 0 | 0 | 0 | 7.0E4 | 1 | 702 | 1170 | Sisma Y SLD | 0 | 5.1E3 | 0 | 0 | 7.0E4 | 1 |
| 703 | 1170 | Eccentricità Y per sisma X SLD | 0 | 0 | 0 | -9.0E5 | 7.0E4 | 1 | 704 | 1170 | Eccentricità X per sisma Y SLD | 0 | 0 | 0 | 1.6E6 | 7.0E4 | 1 |
| 705 | 1171 | Sisma X SLV | 1.2E4 | 0 | 0 | 0 | 7.0E4 | 1 | 706 | 1171 | Sisma Y SLV | 0 | 1.2E4 | 0 | 0 | 7.0E4 | 1 |
| 707 | 1171 | Eccentricità Y per sisma X SLV | 0 | 0 | 0 | -2.1E6 | 7.0E4 | 1 | 708 | 1171 | Eccentricità X per sisma Y SLV | 0 | 0 | 0 | 3.9E6 | 7.0E4 | 1 |
| 709 | 1171 | Sisma X SLO | 6.2E3 | 0 | 0 | 0 | 7.0E4 | 1 | 710 | 1171 | Sisma Y SLO | 0 | 6.2E3 | 0 | 0 | 7.0E4 | 1 |
| 711 | 1171 | Eccentricità Y per sisma X SLO | 0 | 0 | 0 | -1.1E6 | 7.0E4 | 1 | 712 | 1171 | Eccentricità X per sisma Y SLO | 0 | 0 | 0 | 2.0E6 | 7.0E4 | 1 |
| 713 | 1171 | Sisma X SLD | 5.1E3 | 0 | 0 | 0 | 7.0E4 | 1 | 714 | 1171 | Sisma Y SLD | 0 | 5.1E3 | 0 | 0 | 7.0E4 | 1 |
| 715 | 1171 | Eccentricità Y per sisma X SLD | 0 | 0 | 0 | -9.0E5 | 7.0E4 | 1 | 716 | 1171 | Eccentricità X per sisma Y SLD | 0 | 0 | 0 | 1.6E6 | 7.0E4 | 1 |
| 717 | 1172 | Sisma X SLV | 1.2E4 | 0 | 0 | 0 | 7.0E4 | 1 | 718 | 1172 | Sisma Y SLV | 0 | 1.2E4 | 0 | 0 | 7.0E4 | 1 |
| 719 | 1172 | Eccentricità Y per sisma X SLV | 0 | 0 | 0 | -2.1E6 | 7.0E4 | 1 | 720 | 1172 | Eccentricità X per sisma Y SLV | 0 | 0 | 0 | 3.9E6 | 7.0E4 | 1 |
| 721 | 1172 | Sisma X SLO | 6.2E3 | 0 | 0 | 0 | 7.0E4 | 1 | 722 | 1172 | Sisma Y SLO | 0 | 6.2E3 | 0 | 0 | 7.0E4 | 1 |
| 723 | 1172 | Eccentricità Y per sisma X SLO | 0 | 0 | 0 | -1.1E6 | 7.0E4 | 1 | 724 | 1172 | Eccentricità X per sisma Y SLO | 0 | 0 | 0 | 2.0E6 | 7.0E4 | 1 |
| 725 | 1172 | Sisma X SLD | 5.1E3 | 0 | 0 | 0 | 7.0E4 | 1 | 726 | 1172 | Sisma Y SLD | 0 | 5.1E3 | 0 | 0 | 7.0E4 | 1 |
| 727 | 1172 | Eccentricità Y per sisma X SLD | 0 | 0 | 0 | -9.0E5 | 7.0E4 | 1 | 728 | 1172 | Eccentricità X per sisma Y SLD | 0 | 0 | 0 | 1.6E6 | 7.0E4 | 1 |
| 729 | 1173 | Sisma X SLV | 1.2E4 | 0 | 0 | 0 | 7.0E4 | 1 | 730 | 1173 | Sisma Y SLV | 0 | 1.2E4 | 0 | 0 | 7.0E4 | 1 |
| 731 | 1173 | Eccentricità Y per sisma X SLV | 0 | 0 | 0 | -2.1E6 | 7.0E4 | 1 | 732 | 1173 | Eccentricità X per sisma Y SLV | 0 | 0 | 0 | 3.9E6 | 7.0E4 | 1 |
| 733 | 1173 | Sisma X SLO | 6.2E3 | 0 | 0 | 0 | 7.0E4 | 1 | 734 | 1173 | Sisma Y SLO | 0 | 6.2E3 | 0 | 0 | 7.0E4 | 1 |
| 735 | 1173 | Eccentricità Y per sisma X SLO | 0 | 0 | 0 | -1.1E6 | 7.0E4 | 1 | 736 | 1173 | Eccentricità X per sisma Y SLO | 0 | 0 | 0 | 2.0E6 | 7.0E4 | 1 |
| 737 | 1173 | Sisma X SLD | 5.1E3 | 0 | 0 | 0 | 7.0E4 | 1 | 738 | 1173 | Sisma Y SLD | 0 | 5.1E3 | 0 | 0 | 7.0E4 | 1 |
| 739 | 1173 | Eccentricità Y per sisma X SLD | 0 | 0 | 0 | -9.0E5 | 7.0E4 | 1 | 740 | 1173 | Eccentricità X per sisma Y SLD | 0 | 0 | 0 | 1.6E6 | 7.0E4 | 1 |
| 741 | 1174 | Sisma X SLV | 1.2E4 | 0 | 0 | 0 | 7.0E4 | 1 | 742 | 1174 | Sisma Y SLV | 0 | 1.2E4 | 0 | 0 | 7.0E4 | 1 |
| 743 | 1174 | Eccentricità Y per sisma X SLV | 0 | 0 | 0 | -2.1E6 | 7.0E4 | 1 | 744 | 1174 | Eccentricità X per sisma Y SLV | 0 | 0 | 0 | 3.9E6 | 7.0E4 | 1 |
| 745 | 1174 | Sisma X SLO | 6.2E3 | 0 | 0 | 0 | 7.0E4 | 1 | 746 | 1174 | Sisma Y SLO | 0 | 6.2E3 | 0 | 0 | 7.0E4 | 1 |
| 747 | 1174 | Eccentricità Y per sisma X SLO | 0 | 0 | 0 | -1.1E6 | 7.0E4 | 1 | 748 | 1174 | Eccentricità X per sisma Y SLO | 0 | 0 | 0 | 2.0E6 | 7.0E4 | 1 |
| 749 | 1174 | Sisma X SLD | 5.1E3 | 0 | 0 | 0 | 7.0E4 | 1 | 750 | 1174 | Sisma Y SLD | 0 | 5.1E3 | 0 | 0 | 7.0E4 | 1 |
| 751 | 1174 | Eccentricità Y per sisma X SLD | 0 | 0 | 0 | -9.0E5 | 7.0E4 | 1 | 752 | 1174 | Eccentricità X per sisma Y SLD | 0 | 0 | 0 | 1.6E6 | 7.0E4 | 1 |
| 753 | 1175 | Sisma X SLV | 8.9E3 | 0 | 0 | 0 | 5.1E4 | 1 | 754 | 1175 | Sisma Y SLV | 0 | 8.9E3 | 0 | 0 | 5.1E4 | 1 |
| 755 | 1175 | Eccentricità Y per sisma X SLV | 0 | 0 | 0 | -1.6E6 | 5.1E4 | 1 | 756 | 1175 | Eccentricità X per sisma Y SLV | 0 | 0 | 0 | 2.8E6 | 5.1E4 | 1 |
| 757 | 1175 | Sisma X SLO | 4501 | 0 | 0 | 0 | 5.1E4 | 1 | 758 | 1175 | Sisma Y SLO | 0 | 4.5E3 | 0 | 0 | 5.1E4 | 1 |
| 759 | 1175 | Eccentricità Y per sisma X SLO | 0 | 0 | 0 | -7.9E5 | 5.1E4 | 1 | 760 | 1175 | Eccentricità X per sisma Y SLO | 0 | 0 | 0 | 1.5E6 | 5.1E4 | 1 |
| 761 | 1175 | Sisma X SLD | 3.7E3 | 0 | 0 | 0 | 5.1E4 | 1 | 762 | 1175 | Sisma Y SLD | 0 | 3.7E3 | 0 | 0 | 5.1E4 | 1 |
| 763 | 1175 | Eccentricità Y per sisma X SLD | 0 | 0 | 0 | -6.6E5 | 5.1E4 | 1 | 764 | 1175 | Eccentricità X per sisma Y SLD | 0 | 0 | 0 | 1.2E6 | 5.1E4 | 1 |
| 765 | 1176 | Sisma X SLV | 1.1E4 | 0 | 0 | 0 | 6.6E4 | 1 | 766 | 1176 | Sisma Y SLV | 0 | 1.1E4 | 0 | 0 | 6.6E4 | 1 |
| 767 | 1176 | Eccentricità Y per sisma X SLV | 0 | 0 | 0 | -2.0E6 | 6.6E4 | 1 | 768 | 1176 | Eccentricità X per sisma Y SLV | 0 | 0 | 0 | 3.6E6 | 6.6E4 | 1 |
| 769 | 1176 | Sisma X SLO | 5.8E3 | 0 | 0 | 0 | 6.6E4 | 1 | 770 | 1176 | Sisma Y SLO | 0 | 5.8E3 | 0 | 0 | 6.6E4 | 1 |
| 771 | 1176 | Eccentricità Y per sisma X SLO | 0 | 0 | 0 | -1.0E6 | 6.6E4 | 1 | 772 | 1176 | Eccentricità X per sisma Y SLO | 0 | 0 | 0 | 1.9E6 | 6.6E4 | 1 |
| 773 | 1176 | Sisma X SLD | 4801 | 0 | 0 | 0 | 6.6E4 | 1 | 774 | 1176 | Sisma Y SLD | 0 | 4801 | 0 | 0 | 6.6E4 | 1 |

| Indice | Nodo | Condizione | Fx | Fy | Fz | Mz | Peso | Y | Indice | Nodo | Condizione | Fx | Fy | Fz | Mz | Peso | Y |
|--------|------|--------------------------------|-------|----|----|--------|-------|---|--------|------|--------------------------------|----|-------|----|-------|-------|---|
| 775 | 1176 | Eccentricità Y per sisma X SLD | 0 | 0 | 0 | -8.4E5 | 6.6E4 | 1 | 776 | 1176 | Eccentricità X per sisma Y SLD | 0 | 0 | 0 | 1.5E6 | 6.6E4 | 1 |
| 777 | 1177 | Sisma X SLV | 8854 | 0 | 0 | 0 | 5.1E4 | 1 | 778 | 1177 | Sisma Y SLV | 0 | 8854 | 0 | 0 | 5.1E4 | 1 |
| 779 | 1177 | Eccentricità Y per sisma X SLV | 0 | 0 | 0 | -1.5E6 | 5.1E4 | 1 | 780 | 1177 | Eccentricità X per sisma Y SLV | 0 | 0 | 0 | 2.8E6 | 5.1E4 | 1 |
| 781 | 1177 | Sisma X SLO | 4.5E3 | 0 | 0 | 0 | 5.1E4 | 1 | 782 | 1177 | Sisma Y SLO | 0 | 4.5E3 | 0 | 0 | 5.1E4 | 1 |
| 783 | 1177 | Eccentricità Y per sisma X SLO | 0 | 0 | 0 | -7.9E5 | 5.1E4 | 1 | 784 | 1177 | Eccentricità X per sisma Y SLO | 0 | 0 | 0 | 1.5E6 | 5.1E4 | 1 |
| 785 | 1177 | Sisma X SLD | 3.7E3 | 0 | 0 | 0 | 5.1E4 | 1 | 786 | 1177 | Sisma Y SLD | 0 | 3.7E3 | 0 | 0 | 5.1E4 | 1 |
| 787 | 1177 | Eccentricità Y per sisma X SLD | 0 | 0 | 0 | -6.5E5 | 5.1E4 | 1 | 788 | 1177 | Eccentricità X per sisma Y SLD | 0 | 0 | 0 | 1.2E6 | 5.1E4 | 1 |
| 789 | 1178 | Sisma X SLV | 1.1E4 | 0 | 0 | 0 | 6.6E4 | 1 | 790 | 1178 | Sisma Y SLV | 0 | 1.1E4 | 0 | 0 | 6.6E4 | 1 |
| 791 | 1178 | Eccentricità Y per sisma X SLV | 0 | 0 | 0 | -2.0E6 | 6.6E4 | 1 | 792 | 1178 | Eccentricità X per sisma Y SLV | 0 | 0 | 0 | 3.7E6 | 6.6E4 | 1 |
| 793 | 1178 | Sisma X SLO | 5.8E3 | 0 | 0 | 0 | 6.6E4 | 1 | 794 | 1178 | Sisma Y SLO | 0 | 5.9E3 | 0 | 0 | 6.6E4 | 1 |
| 795 | 1178 | Eccentricità Y per sisma X SLO | 0 | 0 | 0 | -1.0E6 | 6.6E4 | 1 | 796 | 1178 | Eccentricità X per sisma Y SLO | 0 | 0 | 0 | 1.9E6 | 6.6E4 | 1 |
| 797 | 1178 | Sisma X SLD | 4.8E3 | 0 | 0 | 0 | 6.6E4 | 1 | 798 | 1178 | Sisma Y SLD | 0 | 4.8E3 | 0 | 0 | 6.6E4 | 1 |
| 799 | 1178 | Eccentricità Y per sisma X SLD | 0 | 0 | 0 | -8.5E5 | 6.6E4 | 1 | 800 | 1178 | Eccentricità X per sisma Y SLD | 0 | 0 | 0 | 1.5E6 | 6.6E4 | 1 |
| 801 | 1181 | Sisma X SLV | 8.3E3 | 0 | 0 | 0 | 4.8E4 | 1 | 802 | 1181 | Sisma Y SLV | 0 | 8.3E3 | 0 | 0 | 4.8E4 | 1 |
| 803 | 1181 | Eccentricità Y per sisma X SLV | 0 | 0 | 0 | -1.5E6 | 4.8E4 | 1 | 804 | 1181 | Eccentricità X per sisma Y SLV | 0 | 0 | 0 | 2.7E6 | 4.8E4 | 1 |
| 805 | 1181 | Sisma X SLO | 4.2E3 | 0 | 0 | 0 | 4.8E4 | 1 | 806 | 1181 | Sisma Y SLO | 0 | 4.3E3 | 0 | 0 | 4.8E4 | 1 |
| 807 | 1181 | Eccentricità Y per sisma X SLO | 0 | 0 | 0 | -7.4E5 | 4.8E4 | 1 | 808 | 1181 | Eccentricità X per sisma Y SLO | 0 | 0 | 0 | 1.4E6 | 4.8E4 | 1 |
| 809 | 1181 | Sisma X SLD | 3.5E3 | 0 | 0 | 0 | 4.8E4 | 1 | 810 | 1181 | Sisma Y SLD | 0 | 3.5E3 | 0 | 0 | 4.8E4 | 1 |
| 811 | 1181 | Eccentricità Y per sisma X SLD | 0 | 0 | 0 | -6.1E5 | 4.8E4 | 1 | 812 | 1181 | Eccentricità X per sisma Y SLD | 0 | 0 | 0 | 1.1E6 | 4.8E4 | 1 |
| 813 | 1182 | Sisma X SLV | 1.2E4 | 0 | 0 | 0 | 7.0E4 | 1 | 814 | 1182 | Sisma Y SLV | 0 | 1.2E4 | 0 | 0 | 7.0E4 | 1 |
| 815 | 1182 | Eccentricità Y per sisma X SLV | 0 | 0 | 0 | -2.1E6 | 7.0E4 | 1 | 816 | 1182 | Eccentricità X per sisma Y SLV | 0 | 0 | 0 | 3.9E6 | 7.0E4 | 1 |
| 817 | 1182 | Sisma X SLO | 6.2E3 | 0 | 0 | 0 | 7.0E4 | 1 | 818 | 1182 | Sisma Y SLO | 0 | 6.2E3 | 0 | 0 | 7.0E4 | 1 |
| 819 | 1182 | Eccentricità Y per sisma X SLO | 0 | 0 | 0 | -1.1E6 | 7.0E4 | 1 | 820 | 1182 | Eccentricità X per sisma Y SLO | 0 | 0 | 0 | 2.0E6 | 7.0E4 | 1 |
| 821 | 1182 | Sisma X SLD | 5.1E3 | 0 | 0 | 0 | 7.0E4 | 1 | 822 | 1182 | Sisma Y SLD | 0 | 5.1E3 | 0 | 0 | 7.0E4 | 1 |
| 823 | 1182 | Eccentricità Y per sisma X SLD | 0 | 0 | 0 | -9.0E5 | 7.0E4 | 1 | 824 | 1182 | Eccentricità X per sisma Y SLD | 0 | 0 | 0 | 1.6E6 | 7.0E4 | 1 |
| 825 | 1183 | Sisma X SLV | 1.2E4 | 0 | 0 | 0 | 7.0E4 | 1 | 826 | 1183 | Sisma Y SLV | 0 | 1.2E4 | 0 | 0 | 7.0E4 | 1 |
| 827 | 1183 | Eccentricità Y per sisma X SLV | 0 | 0 | 0 | -2.1E6 | 7.0E4 | 1 | 828 | 1183 | Eccentricità X per sisma Y SLV | 0 | 0 | 0 | 3.9E6 | 7.0E4 | 1 |
| 829 | 1183 | Sisma X SLO | 6.2E3 | 0 | 0 | 0 | 7.0E4 | 1 | 830 | 1183 | Sisma Y SLO | 0 | 6.2E3 | 0 | 0 | 7.0E4 | 1 |
| 831 | 1183 | Eccentricità Y per sisma X SLO | 0 | 0 | 0 | -1.1E6 | 7.0E4 | 1 | 832 | 1183 | Eccentricità X per sisma Y SLO | 0 | 0 | 0 | 2.0E6 | 7.0E4 | 1 |
| 833 | 1183 | Sisma X SLD | 5.1E3 | 0 | 0 | 0 | 7.0E4 | 1 | 834 | 1183 | Sisma Y SLD | 0 | 5.1E3 | 0 | 0 | 7.0E4 | 1 |
| 835 | 1183 | Eccentricità Y per sisma X SLD | 0 | 0 | 0 | -9.0E5 | 7.0E4 | 1 | 836 | 1183 | Eccentricità X per sisma Y SLD | 0 | 0 | 0 | 1.6E6 | 7.0E4 | 1 |
| 837 | 1184 | Sisma X SLV | 1.2E4 | 0 | 0 | 0 | 7.0E4 | 1 | 838 | 1184 | Sisma Y SLV | 0 | 1.2E4 | 0 | 0 | 7.0E4 | 1 |
| 839 | 1184 | Eccentricità Y per sisma X SLV | 0 | 0 | 0 | -2.1E6 | 7.0E4 | 1 | 840 | 1184 | Eccentricità X per sisma Y SLV | 0 | 0 | 0 | 3.9E6 | 7.0E4 | 1 |
| 841 | 1184 | Sisma X SLO | 6.2E3 | 0 | 0 | 0 | 7.0E4 | 1 | 842 | 1184 | Sisma Y SLO | 0 | 6.2E3 | 0 | 0 | 7.0E4 | 1 |
| 843 | 1184 | Eccentricità Y per sisma X SLO | 0 | 0 | 0 | -1.1E6 | 7.0E4 | 1 | 844 | 1184 | Eccentricità X per sisma Y SLO | 0 | 0 | 0 | 2.0E6 | 7.0E4 | 1 |
| 845 | 1184 | Sisma X SLD | 5.1E3 | 0 | 0 | 0 | 7.0E4 | 1 | 846 | 1184 | Sisma Y SLD | 0 | 5.1E3 | 0 | 0 | 7.0E4 | 1 |
| 847 | 1184 | Eccentricità Y per sisma X SLD | 0 | 0 | 0 | -9.0E5 | 7.0E4 | 1 | 848 | 1184 | Eccentricità X per sisma Y SLD | 0 | 0 | 0 | 1.6E6 | 7.0E4 | 1 |
| 849 | 1185 | Sisma X SLV | 1.2E4 | 0 | 0 | 0 | 7.0E4 | 1 | 850 | 1185 | Sisma Y SLV | 0 | 1.2E4 | 0 | 0 | 7.0E4 | 1 |
| 851 | 1185 | Eccentricità Y per sisma X SLV | 0 | 0 | 0 | -2.1E6 | 7.0E4 | 1 | 852 | 1185 | Eccentricità X per sisma Y SLV | 0 | 0 | 0 | 3.9E6 | 7.0E4 | 1 |
| 853 | 1185 | Sisma X SLO | 6.2E3 | 0 | 0 | 0 | 7.0E4 | 1 | 854 | 1185 | Sisma Y SLO | 0 | 6.2E3 | 0 | 0 | 7.0E4 | 1 |
| 855 | 1185 | Eccentricità Y per sisma X SLO | 0 | 0 | 0 | -1.1E6 | 7.0E4 | 1 | 856 | 1185 | Eccentricità X per sisma Y SLO | 0 | 0 | 0 | 2.0E6 | 7.0E4 | 1 |
| 857 | 1185 | Sisma X SLD | 5.1E3 | 0 | 0 | 0 | 7.0E4 | 1 | 858 | 1185 | Sisma Y SLD | 0 | 5.1E3 | 0 | 0 | 7.0E4 | 1 |
| 859 | 1185 | Eccentricità Y per sisma X SLD | 0 | 0 | 0 | -9.0E5 | 7.0E4 | 1 | 860 | 1185 | Eccentricità X per sisma Y SLD | 0 | 0 | 0 | 1.6E6 | 7.0E4 | 1 |
| 861 | 1186 | Sisma X SLV | 12843 | 0 | 0 | 0 | 7.4E4 | 1 | 862 | 1186 | Sisma Y SLV | 0 | 12843 | 0 | 0 | 7.4E4 | 1 |
| 863 | 1186 | Eccentricità Y per sisma X SLV | 0 | 0 | 0 | -2.2E6 | 7.4E4 | 1 | 864 | 1186 | Eccentricità X per sisma Y SLV | 0 | 0 | 0 | 4.1E6 | 7.4E4 | 1 |
| 865 | 1186 | Sisma X SLO | 6.5E3 | 0 | 0 | 0 | 7.4E4 | 1 | 866 | 1186 | Sisma Y SLO | 0 | 6.6E3 | 0 | 0 | 7.4E4 | 1 |
| 867 | 1186 | Eccentricità Y per sisma X SLO | 0 | 0 | 0 | -1.1E6 | 7.4E4 | 1 | 868 | 1186 | Eccentricità X per sisma Y SLO | 0 | 0 | 0 | 2.1E6 | 7.4E4 | 1 |
| 869 | 1186 | Sisma X SLD | 5.4E3 | 0 | 0 | 0 | 7.4E4 | 1 | 870 | 1186 | Sisma Y SLD | 0 | 5.4E3 | 0 | 0 | 7.4E4 | 1 |
| 871 | 1186 | Eccentricità Y per sisma X SLD | 0 | 0 | 0 | -9.5E5 | 7.4E4 | 1 | 872 | 1186 | Eccentricità X per sisma Y SLD | 0 | 0 | 0 | 1.7E6 | 7.4E4 | 1 |
| 873 | 1187 | Sisma X SLV | 8.9E3 | 0 | 0 | 0 | 5.1E4 | 1 | 874 | 1187 | Sisma Y SLV | 0 | 8.9E3 | 0 | 0 | 5.1E4 | 1 |
| 875 | 1187 | Eccentricità Y per sisma X SLV | 0 | 0 | 0 | -1.6E6 | 5.1E4 | 1 | 876 | 1187 | Eccentricità X per sisma Y SLV | 0 | 0 | 0 | 2.8E6 | 5.1E4 | 1 |
| 877 | 1187 | Sisma X SLO | 4.5E3 | 0 | 0 | 0 | 5.1E4 | 1 | 878 | 1187 | Sisma Y SLO | 0 | 4.5E3 | 0 | 0 | 5.1E4 | 1 |
| 879 | 1187 | Eccentricità Y per sisma X SLO | 0 | 0 | 0 | -7.9E5 | 5.1E4 | 1 | 880 | 1187 | Eccentricità X per sisma Y SLO | 0 | 0 | 0 | 1.5E6 | 5.1E4 | 1 |
| 881 | 1187 | Sisma X SLD | 3.7E3 | 0 | 0 | 0 | 5.1E4 | 1 | 882 | 1187 | Sisma Y SLD | 0 | 3.7E3 | 0 | 0 | 5.1E4 | 1 |
| 883 | 1187 | Eccentricità Y per sisma X SLD | 0 | 0 | 0 | -6.6E5 | 5.1E4 | 1 | 884 | 1187 | Eccentricità X per sisma Y SLD | 0 | 0 | 0 | 1.2E6 | 5.1E4 | 1 |
| 885 | 1188 | Sisma X SLV | 1.1E4 | 0 | 0 | 0 | 6.3E4 | 1 | 886 | 1188 | Sisma Y SLV | 0 | 1.1E4 | 0 | 0 | 6.3E4 | 1 |
| 887 | 1188 | Eccentricità Y per sisma X SLV | 0 | 0 | 0 | -1.9E6 | 6.3E4 | 1 | 888 | 1188 | Eccentricità X per sisma Y SLV | 0 | 0 | 0 | 3.5E6 | 6.3E4 | 1 |
| 889 | 1188 | Sisma X SLO | 5.6E3 | 0 | 0 | 0 | 6.3E4 | 1 | 890 | 1188 | Sisma Y SLO | 0 | 5.6E3 | 0 | 0 | 6.3E4 | 1 |
| 891 | 1188 | Eccentricità Y per sisma X SLO | 0 | 0 | 0 | -9.7E5 | 6.3E4 | 1 | 892 | 1188 | Eccentricità X per sisma Y SLO | 0 | 0 | 0 | 1.8E6 | 6.3E4 | 1 |
| 893 | 1188 | Sisma X SLD | 4.6E3 | 0 | 0 | 0 | 6.3E4 | 1 | 894 | 1188 | Sisma Y SLD | 0 | 4.6E3 | 0 | 0 | 6.3E4 | 1 |
| 895 | 1188 | Eccentricità Y per sisma X SLD | 0 | 0 | 0 | -8.1E5 | 6.3E4 | 1 | 896 | 1188 | Eccentricità X per sisma Y SLD | 0 | 0 | 0 | 1.5E6 | 6.3E4 | 1 |
| 897 | 1190 | Sisma X SLV | 8.3E3 | 0 | 0 | 0 | 4.8E4 | 1 | 898 | 1190 | Sisma Y SLV | 0 | 8.3E3 | 0 | 0 | 4.8E4 | 1 |
| 899 | 1190 | Eccentricità Y per sisma X SLV | 0 | 0 | 0 | -1.5E6 | 4.8E4 | 1 | 900 | 1190 | Eccentricità X per sisma Y SLV | 0 | 0 | 0 | 2.7E6 | 4.8E4 | 1 |
| 901 | 1190 | Sisma X SLO | 4.2E3 | 0 | 0 | 0 | 4.8E4 | 1 | 902 | 1190 | Sisma Y SLO | 0 | 4.3E3 | 0 | 0 | 4.8E4 | 1 |
| 903 | 1190 | Eccentricità Y per sisma X SLO | 0 | 0 | 0 | -7.4E5 | 4.8E4 | 1 | 904 | 1190 | Eccentricità X per sisma Y SLV | 0 | 0 | 0 | 1.4E6 | 4.8E4 | 1 |
| 905 | 1190 | Sisma X SLD | 3.5E3 | 0 | 0 | 0 | 4.8E4 | 1 | 906 | 1190 | Sisma Y SLD | 0 | 3.5E3 | 0 | 0 | 4.8E4 | 1 |
| 907 | 1190 | Eccentricità Y per sisma X SLD | 0 | 0 | 0 | -6.1E5 | 4.8E4 | 1 | 908 | 1190 | Eccentricità X per sisma Y SLD | 0 | 0 | 0 | 1.1E6 | 4.8E4 | 1 |
| 909 | 1191 | Sisma X SLV | 1.2E4 | 0 | 0 | 0 | 7.0E4 | 1 | 910 | 1191 | Sisma Y SLV | 0 | 1.2E4 | 0 | 0 | 7.0E4 | 1 |

| Indice | Nodo | Condizione | Fx | Fy | Fz | Mz | Peso | Y | Indice | Nodo | Condizione | Fx | Fy | Fz | Mz | Peso | Y |
|--------|------|--------------------------------|-------|----|----|--------|-------|---|--------|------|--------------------------------|----|-------|----|-------|-------|---|
| 911 | 1191 | Eccentricità Y per sisma X SLV | 0 | 0 | 0 | -2.1E6 | 7.0E4 | 1 | 912 | 1191 | Eccentricità X per sisma Y SLV | 0 | 0 | 0 | 3.9E6 | 7.0E4 | 1 |
| 913 | 1191 | Sisma X SLO | 6.2E3 | 0 | 0 | 0 | 7.0E4 | 1 | 914 | 1191 | Sisma Y SLO | 0 | 6.2E3 | 0 | 0 | 7.0E4 | 1 |
| 915 | 1191 | Eccentricità Y per sisma X SLO | 0 | 0 | 0 | -1.1E6 | 7.0E4 | 1 | 916 | 1191 | Eccentricità X per sisma Y SLO | 0 | 0 | 0 | 2.0E6 | 7.0E4 | 1 |
| 917 | 1191 | Sisma X SLD | 5.1E3 | 0 | 0 | 0 | 7.0E4 | 1 | 918 | 1191 | Sisma Y SLD | 0 | 5.1E3 | 0 | 0 | 7.0E4 | 1 |
| 919 | 1191 | Eccentricità Y per sisma X SLD | 0 | 0 | 0 | -9.0E5 | 7.0E4 | 1 | 920 | 1191 | Eccentricità X per sisma Y SLD | 0 | 0 | 0 | 1.6E6 | 7.0E4 | 1 |
| 921 | 1192 | Sisma X SLV | 1.2E4 | 0 | 0 | 0 | 7.0E4 | 1 | 922 | 1192 | Sisma Y SLV | 0 | 1.2E4 | 0 | 0 | 7.0E4 | 1 |
| 923 | 1192 | Eccentricità Y per sisma X SLV | 0 | 0 | 0 | -2.1E6 | 7.0E4 | 1 | 924 | 1192 | Eccentricità X per sisma Y SLV | 0 | 0 | 0 | 3.9E6 | 7.0E4 | 1 |
| 925 | 1192 | Sisma X SLO | 6.2E3 | 0 | 0 | 0 | 7.0E4 | 1 | 926 | 1192 | Sisma Y SLO | 0 | 6.2E3 | 0 | 0 | 7.0E4 | 1 |
| 927 | 1192 | Eccentricità Y per sisma X SLO | 0 | 0 | 0 | -1.1E6 | 7.0E4 | 1 | 928 | 1192 | Eccentricità X per sisma Y SLO | 0 | 0 | 0 | 2.0E6 | 7.0E4 | 1 |
| 929 | 1192 | Sisma X SLD | 5.1E3 | 0 | 0 | 0 | 7.0E4 | 1 | 930 | 1192 | Sisma Y SLD | 0 | 5.1E3 | 0 | 0 | 7.0E4 | 1 |
| 931 | 1192 | Eccentricità Y per sisma X SLD | 0 | 0 | 0 | -9.0E5 | 7.0E4 | 1 | 932 | 1192 | Eccentricità X per sisma Y SLD | 0 | 0 | 0 | 1.6E6 | 7.0E4 | 1 |
| 933 | 1193 | Sisma X SLV | 1.3E4 | 0 | 0 | 0 | 7.2E4 | 1 | 934 | 1193 | Sisma Y SLV | 0 | 1.3E4 | 0 | 0 | 7.2E4 | 1 |
| 935 | 1193 | Eccentricità Y per sisma X SLV | 0 | 0 | 0 | -2.2E6 | 7.2E4 | 1 | 936 | 1193 | Eccentricità X per sisma Y SLV | 0 | 0 | 0 | 4.0E6 | 7.2E4 | 1 |
| 937 | 1193 | Sisma X SLO | 6.4E3 | 0 | 0 | 0 | 7.2E4 | 1 | 938 | 1193 | Sisma Y SLO | 0 | 6.4E3 | 0 | 0 | 7.2E4 | 1 |
| 939 | 1193 | Eccentricità Y per sisma X SLO | 0 | 0 | 0 | -1.1E6 | 7.2E4 | 1 | 940 | 1193 | Eccentricità X per sisma Y SLO | 0 | 0 | 0 | 2.1E6 | 7.2E4 | 1 |
| 941 | 1193 | Sisma X SLD | 5.3E3 | 0 | 0 | 0 | 7.2E4 | 1 | 942 | 1193 | Sisma Y SLD | 0 | 5.3E3 | 0 | 0 | 7.2E4 | 1 |
| 943 | 1193 | Eccentricità Y per sisma X SLD | 0 | 0 | 0 | -9.3E5 | 7.2E4 | 1 | 944 | 1193 | Eccentricità X per sisma Y SLD | 0 | 0 | 0 | 1.7E6 | 7.2E4 | 1 |
| 945 | 1194 | Sisma X SLV | 9.7E3 | 0 | 0 | 0 | 5.6E4 | 1 | 946 | 1194 | Sisma Y SLV | 0 | 9.7E3 | 0 | 0 | 5.6E4 | 1 |
| 947 | 1194 | Eccentricità Y per sisma X SLV | 0 | 0 | 0 | -1.7E6 | 5.6E4 | 1 | 948 | 1194 | Eccentricità X per sisma Y SLV | 0 | 0 | 0 | 3.1E6 | 5.6E4 | 1 |
| 949 | 1194 | Sisma X SLO | 4.9E3 | 0 | 0 | 0 | 5.6E4 | 1 | 950 | 1194 | Sisma Y SLO | 0 | 4.9E3 | 0 | 0 | 5.6E4 | 1 |
| 951 | 1194 | Eccentricità Y per sisma X SLO | 0 | 0 | 0 | -8.6E5 | 5.6E4 | 1 | 952 | 1194 | Eccentricità X per sisma Y SLO | 0 | 0 | 0 | 1.6E6 | 5.6E4 | 1 |
| 953 | 1194 | Sisma X SLD | 4.1E3 | 0 | 0 | 0 | 5.6E4 | 1 | 954 | 1194 | Sisma Y SLD | 0 | 4.1E3 | 0 | 0 | 5.6E4 | 1 |
| 955 | 1194 | Eccentricità Y per sisma X SLD | 0 | 0 | 0 | -7.1E5 | 5.6E4 | 1 | 956 | 1194 | Eccentricità X per sisma Y SLD | 0 | 0 | 0 | 1.3E6 | 5.6E4 | 1 |
| 957 | 1195 | Sisma X SLV | 1.2E4 | 0 | 0 | 0 | 6.9E4 | 1 | 958 | 1195 | Sisma Y SLV | 0 | 1.2E4 | 0 | 0 | 6.9E4 | 1 |
| 959 | 1195 | Eccentricità Y per sisma X SLV | 0 | 0 | 0 | -2.1E6 | 6.9E4 | 1 | 960 | 1195 | Eccentricità X per sisma Y SLV | 0 | 0 | 0 | 3.8E6 | 6.9E4 | 1 |
| 961 | 1195 | Sisma X SLO | 6.0E3 | 0 | 0 | 0 | 6.9E4 | 1 | 962 | 1195 | Sisma Y SLO | 0 | 6.1E3 | 0 | 0 | 6.9E4 | 1 |
| 963 | 1195 | Eccentricità Y per sisma X SLO | 0 | 0 | 0 | -1.1E6 | 6.9E4 | 1 | 964 | 1195 | Eccentricità X per sisma Y SLO | 0 | 0 | 0 | 1.9E6 | 6.9E4 | 1 |
| 965 | 1195 | Sisma X SLD | 5.0E3 | 0 | 0 | 0 | 6.9E4 | 1 | 966 | 1195 | Sisma Y SLD | 0 | 5.0E3 | 0 | 0 | 6.9E4 | 1 |
| 967 | 1195 | Eccentricità Y per sisma X SLD | 0 | 0 | 0 | -8.8E5 | 6.9E4 | 1 | 968 | 1195 | Eccentricità X per sisma Y SLD | 0 | 0 | 0 | 1.6E6 | 6.9E4 | 1 |
| 969 | 1196 | Sisma X SLV | 9.7E3 | 0 | 0 | 0 | 5.6E4 | 1 | 970 | 1196 | Sisma Y SLV | 0 | 9.7E3 | 0 | 0 | 5.6E4 | 1 |
| 971 | 1196 | Eccentricità Y per sisma X SLV | 0 | 0 | 0 | -1.7E6 | 5.6E4 | 1 | 972 | 1196 | Eccentricità X per sisma Y SLV | 0 | 0 | 0 | 3.1E6 | 5.6E4 | 1 |
| 973 | 1196 | Sisma X SLO | 4.9E3 | 0 | 0 | 0 | 5.6E4 | 1 | 974 | 1196 | Sisma Y SLO | 0 | 5.0E3 | 0 | 0 | 5.6E4 | 1 |
| 975 | 1196 | Eccentricità Y per sisma X SLO | 0 | 0 | 0 | -8.6E5 | 5.6E4 | 1 | 976 | 1196 | Eccentricità X per sisma Y SLO | 0 | 0 | 0 | 1.6E6 | 5.6E4 | 1 |
| 977 | 1196 | Sisma X SLD | 4.1E3 | 0 | 0 | 0 | 5.6E4 | 1 | 978 | 1196 | Sisma Y SLD | 0 | 4.1E3 | 0 | 0 | 5.6E4 | 1 |
| 979 | 1196 | Eccentricità Y per sisma X SLD | 0 | 0 | 0 | -7.2E5 | 5.6E4 | 1 | 980 | 1196 | Eccentricità X per sisma Y SLD | 0 | 0 | 0 | 1.3E6 | 5.6E4 | 1 |
| 981 | 1198 | Sisma X SLV | 8.2E3 | 0 | 0 | 0 | 4.7E4 | 1 | 982 | 1198 | Sisma Y SLV | 0 | 8.2E3 | 0 | 0 | 4.7E4 | 1 |
| 983 | 1198 | Eccentricità Y per sisma X SLV | 0 | 0 | 0 | -1.4E6 | 4.7E4 | 1 | 984 | 1198 | Eccentricità X per sisma Y SLV | 0 | 0 | 0 | 2.6E6 | 4.7E4 | 1 |
| 985 | 1198 | Sisma X SLO | 4.1E3 | 0 | 0 | 0 | 4.7E4 | 1 | 986 | 1198 | Sisma Y SLO | 0 | 4.2E3 | 0 | 0 | 4.7E4 | 1 |
| 987 | 1198 | Eccentricità Y per sisma X SLO | 0 | 0 | 0 | -7.2E5 | 4.7E4 | 1 | 988 | 1198 | Eccentricità X per sisma Y SLO | 0 | 0 | 0 | 1.3E6 | 4.7E4 | 1 |
| 989 | 1198 | Sisma X SLD | 3.4E3 | 0 | 0 | 0 | 4.7E4 | 1 | 990 | 1198 | Sisma Y SLD | 0 | 3.4E3 | 0 | 0 | 4.7E4 | 1 |
| 991 | 1198 | Eccentricità Y per sisma X SLD | 0 | 0 | 0 | -6.0E5 | 4.7E4 | 1 | 992 | 1198 | Eccentricità X per sisma Y SLD | 0 | 0 | 0 | 1.1E6 | 4.7E4 | 1 |
| 993 | 1199 | Sisma X SLV | 1.2E4 | 0 | 0 | 0 | 6.9E4 | 1 | 994 | 1199 | Sisma Y SLV | 0 | 1.2E4 | 0 | 0 | 6.9E4 | 1 |
| 995 | 1199 | Eccentricità Y per sisma X SLV | 0 | 0 | 0 | -2.1E6 | 6.9E4 | 1 | 996 | 1199 | Eccentricità X per sisma Y SLV | 0 | 0 | 0 | 3.8E6 | 6.9E4 | 1 |
| 997 | 1199 | Sisma X SLO | 6.1E3 | 0 | 0 | 0 | 6.9E4 | 1 | 998 | 1199 | Sisma Y SLO | 0 | 6.1E3 | 0 | 0 | 6.9E4 | 1 |
| 999 | 1199 | Eccentricità Y per sisma X SLO | 0 | 0 | 0 | -1.1E6 | 6.9E4 | 1 | 1000 | 1199 | Eccentricità X per sisma Y SLO | 0 | 0 | 0 | 2.0E6 | 6.9E4 | 1 |
| 1001 | 1199 | Sisma X SLD | 5.1E3 | 0 | 0 | 0 | 6.9E4 | 1 | 1002 | 1199 | Sisma Y SLD | 0 | 5.1E3 | 0 | 0 | 6.9E4 | 1 |
| 1003 | 1199 | Eccentricità Y per sisma X SLD | 0 | 0 | 0 | -8.9E5 | 6.9E4 | 1 | 1004 | 1199 | Eccentricità X per sisma Y SLD | 0 | 0 | 0 | 1.6E6 | 6.9E4 | 1 |
| 1005 | 1200 | Sisma X SLV | 9.2E3 | 0 | 0 | 0 | 5.3E4 | 1 | 1006 | 1200 | Sisma Y SLV | 0 | 9.2E3 | 0 | 0 | 5.3E4 | 1 |
| 1007 | 1200 | Eccentricità Y per sisma X SLV | 0 | 0 | 0 | -1.6E6 | 5.3E4 | 1 | 1008 | 1200 | Eccentricità X per sisma Y SLV | 0 | 0 | 0 | 3.0E6 | 5.3E4 | 1 |
| 1009 | 1200 | Sisma X SLO | 4.7E3 | 0 | 0 | 0 | 5.3E4 | 1 | 1010 | 1200 | Sisma Y SLO | 0 | 4.7E3 | 0 | 0 | 5.3E4 | 1 |
| 1011 | 1200 | Eccentricità Y per sisma X SLO | 0 | 0 | 0 | -8.2E5 | 5.3E4 | 1 | 1012 | 1200 | Eccentricità X per sisma Y SLO | 0 | 0 | 0 | 1.5E6 | 5.3E4 | 1 |
| 1013 | 1200 | Sisma X SLD | 3.9E3 | 0 | 0 | 0 | 5.3E4 | 1 | 1014 | 1200 | Sisma Y SLD | 0 | 3.9E3 | 0 | 0 | 5.3E4 | 1 |
| 1015 | 1200 | Eccentricità Y per sisma X SLD | 0 | 0 | 0 | -6.8E5 | 5.3E4 | 1 | 1016 | 1200 | Eccentricità X per sisma Y SLD | 0 | 0 | 0 | 1.2E6 | 5.3E4 | 1 |
| 1017 | 1201 | Sisma X SLV | 1.2E4 | 0 | 0 | 0 | 6.9E4 | 1 | 1018 | 1201 | Sisma Y SLV | 0 | 1.2E4 | 0 | 0 | 6.9E4 | 1 |
| 1019 | 1201 | Eccentricità Y per sisma X SLV | 0 | 0 | 0 | -2.1E6 | 6.9E4 | 1 | 1020 | 1201 | Eccentricità X per sisma Y SLV | 0 | 0 | 0 | 3.8E6 | 6.9E4 | 1 |
| 1021 | 1201 | Sisma X SLO | 6.0E3 | 0 | 0 | 0 | 6.9E4 | 1 | 1022 | 1201 | Sisma Y SLO | 0 | 6.1E3 | 0 | 0 | 6.9E4 | 1 |
| 1023 | 1201 | Eccentricità Y per sisma X SLO | 0 | 0 | 0 | -1.6E6 | 6.9E4 | 1 | 1024 | 1201 | Eccentricità X per sisma Y SLO | 0 | 0 | 0 | 1.9E6 | 6.9E4 | 1 |
| 1025 | 1201 | Sisma X SLD | 5024 | 0 | 0 | 0 | 6.9E4 | 1 | 1026 | 1201 | Sisma Y SLD | 0 | 5024 | 0 | 0 | 6.9E4 | 1 |
| 1027 | 1201 | Eccentricità Y per sisma X SLD | 0 | 0 | 0 | -8.8E5 | 6.9E4 | 1 | 1028 | 1201 | Eccentricità X per sisma Y SLD | 0 | 0 | 0 | 1.6E6 | 6.9E4 | 1 |
| 1029 | 1202 | Sisma X SLV | 9258 | 0 | 0 | 0 | 5.3E4 | 1 | 1030 | 1202 | Sisma Y SLV | 0 | 9258 | 0 | 0 | 5.3E4 | 1 |
| 1031 | 1202 | Eccentricità Y per sisma X SLV | 0 | 0 | 0 | -1.6E6 | 5.3E4 | 1 | 1032 | 1202 | Eccentricità X per sisma Y SLV | 0 | 0 | 0 | 3.0E6 | 5.3E4 | 1 |
| 1033 | 1202 | Sisma X SLO | 4.7E3 | 0 | 0 | 0 | 5.3E4 | 1 | 1034 | 1202 | Sisma Y SLO | 0 | 4.7E3 | 0 | 0 | 5.3E4 | 1 |
| 1035 | 1202 | Eccentricità Y per sisma X SLO | 0 | 0 | 0 | -8.2E5 | 5.3E4 | 1 | 1036 | 1202 | Eccentricità X per sisma Y SLO | 0 | 0 | 0 | 1.5E6 | 5.3E4 | 1 |
| 1037 | 1202 | Sisma X SLD | 3.9E3 | 0 | 0 | 0 | 5.3E4 | 1 | 1038 | 1202 | Sisma Y SLD | 0 | 3.9E3 | 0 | 0 | 5.3E4 | 1 |
| 1039 | 1202 | Eccentricità Y per sisma X SLD | 0 | 0 | 0 | -6.8E5 | 5.3E4 | 1 | 1040 | 1202 | Eccentricità X per sisma Y SLD | 0 | 0 | 0 | 1.3E6 | 5.3E4 | 1 |
| 1041 | 1204 | Sisma X SLV | 6.1E3 | 0 | 0 | 0 | 3.5E4 | 1 | 1042 | 1204 | Sisma Y SLV | 0 | 6.1E3 | 0 | 0 | 3.5E4 | 1 |
| 1043 | 1204 | Eccentricità Y per sisma X SLV | 0 | 0 | 0 | -1.1E6 | 3.5E4 | 1 | 1044 | 1204 | Eccentricità X per sisma Y SLV | 0 | 0 | 0 | 1.9E6 | 3.5E4 | 1 |
| 1045 | 1204 | Sisma X SLO | 3.1E3 | 0 | 0 | 0 | 3.5E4 | 1 | 1046 | 1204 | Sisma Y SLO | 0 | 3.1E3 | 0 | 0 | 3.5E4 | 1 |

| Indice | Nodo | Condizione | Fx | Fy | Fz | Mz | Peso | Y | Indice | Nodo | Condizione | Fx | Fy | Fz | Mz | Peso | Y |
|--------|------|--------------------------------|-------|----|----|--------|-------|---|--------|------|--------------------------------|----|-------|----|-------|-------|---|
| 1047 | 1204 | Eccentricità Y per sisma X SLO | 0 | 0 | 0 | -5.4E5 | 3.5E4 | 1 | 1048 | 1204 | Eccentricità X per sisma Y SLO | 0 | 0 | 0 | 1.0E6 | 3.5E4 | 1 |
| 1049 | 1204 | Sisma X SLD | 2.6E3 | 0 | 0 | 0 | 3.5E4 | 1 | 1050 | 1204 | Sisma Y SLD | 0 | 2.6E3 | 0 | 0 | 3.5E4 | 1 |
| 1051 | 1204 | Eccentricità Y per sisma X SLD | 0 | 0 | 0 | -4.5E5 | 3.5E4 | 1 | 1052 | 1204 | Eccentricità X per sisma Y SLD | 0 | 0 | 0 | 8.2E5 | 3.5E4 | 1 |
| 1053 | 1205 | Sisma X SLV | 1.1E4 | 0 | 0 | 0 | 6.6E4 | 1 | 1054 | 1205 | Sisma Y SLV | 0 | 1.1E4 | 0 | 0 | 6.6E4 | 1 |
| 1055 | 1205 | Eccentricità Y per sisma X SLV | 0 | 0 | 0 | -2.0E6 | 6.6E4 | 1 | 1056 | 1205 | Eccentricità X per sisma Y SLV | 0 | 0 | 0 | 3.7E6 | 6.6E4 | 1 |
| 1057 | 1205 | Sisma X SLO | 5.8E3 | 0 | 0 | 0 | 6.6E4 | 1 | 1058 | 1205 | Sisma Y SLO | 0 | 5847 | 0 | 0 | 6.6E4 | 1 |
| 1059 | 1205 | Eccentricità Y per sisma X SLO | 0 | 0 | 0 | -1.0E6 | 6.6E4 | 1 | 1060 | 1205 | Eccentricità X per sisma Y SLO | 0 | 0 | 0 | 1.9E6 | 6.6E4 | 1 |
| 1061 | 1205 | Sisma X SLD | 4824 | 0 | 0 | 0 | 6.6E4 | 1 | 1062 | 1205 | Sisma Y SLD | 0 | 4824 | 0 | 0 | 6.6E4 | 1 |
| 1063 | 1205 | Eccentricità Y per sisma X SLD | 0 | 0 | 0 | -8.4E5 | 6.6E4 | 1 | 1064 | 1205 | Eccentricità X per sisma Y SLD | 0 | 0 | 0 | 1.5E6 | 6.6E4 | 1 |
| 1065 | 1207 | Sisma X SLV | 5.0E3 | 0 | 0 | 0 | 2.9E4 | 1 | 1066 | 1207 | Sisma Y SLV | 0 | 5.0E3 | 0 | 0 | 2.9E4 | 1 |
| 1067 | 1207 | Eccentricità Y per sisma X SLV | 0 | 0 | 0 | -8.8E5 | 2.9E4 | 1 | 1068 | 1207 | Eccentricità X per sisma Y SLV | 0 | 0 | 0 | 1.6E6 | 2.9E4 | 1 |
| 1069 | 1207 | Sisma X SLO | 2.5E3 | 0 | 0 | 0 | 2.9E4 | 1 | 1070 | 1207 | Sisma Y SLO | 0 | 2.6E3 | 0 | 0 | 2.9E4 | 1 |
| 1071 | 1207 | Eccentricità Y per sisma X SLO | 0 | 0 | 0 | -4.4E5 | 2.9E4 | 1 | 1072 | 1207 | Eccentricità X per sisma Y SLO | 0 | 0 | 0 | 8.2E5 | 2.9E4 | 1 |
| 1073 | 1207 | Sisma X SLD | 2.1E3 | 0 | 0 | 0 | 2.9E4 | 1 | 1074 | 1207 | Sisma Y SLD | 0 | 2.1E3 | 0 | 0 | 2.9E4 | 1 |
| 1075 | 1207 | Eccentricità Y per sisma X SLD | 0 | 0 | 0 | -3.7E5 | 2.9E4 | 1 | 1076 | 1207 | Eccentricità X per sisma Y SLD | 0 | 0 | 0 | 6.8E5 | 2.9E4 | 1 |

8.4 Aste

8.4.1 Carichi su aste

8.4.1.1 Carichi trapezoidali locali

Indice asta: indice dell'asta a cui si riferisce il carico trapezoidale.

Condizione: condizione elementare di carico a cui si riferisce il carico.

Posizione iniziale: posizione iniziale del carico sull'asse locale 1. [cm]

F1 iniziale: componente del valore iniziale del carico lungo l'asse locale 1. [daN/cm]

F2 iniziale: componente del valore iniziale del carico lungo l'asse locale 2. [daN/cm]

F3 iniziale: componente del valore iniziale del carico lungo l'asse locale 3. [daN/cm]

Posizione finale: posizione finale del carico sull'asse locale 1. [cm]

F1 finale: componente del valore finale del carico lungo l'asse locale 1. [daN/cm]

F2 finale: componente del valore finale del carico lungo l'asse locale 2. [daN/cm]

F3 finale: componente del valore finale del carico lungo l'asse locale 3. [daN/cm]

| Indice asta | Condizione | Posizione iniziale | F1 iniziale | F2 iniziale | F3 iniziale | Posizione finale | F1 finale | F2 finale | F3 finale |
|-------------|-------------|--------------------|-------------|-------------|-------------|------------------|-----------|-----------|-----------|
| 882 | Variabile G | 0 | 0 | -84 | 0 | 600 | 0 | -84 | 0 |
| 883 | Variabile G | 0 | 0 | -84 | 0 | 600 | 0 | -84 | 0 |
| 884 | Variabile G | 0 | 0 | -84 | 0 | 600 | 0 | -84 | 0 |
| 885 | Variabile G | 0 | 0 | -84 | 0 | 600 | 0 | -84 | 0 |
| 886 | Variabile G | 0 | 0 | -84 | 0 | 600 | 0 | -84 | 0 |
| 887 | Variabile G | 0 | 0 | -84 | 0 | 26.1 | 0 | -84 | 0 |
| 887 | Variabile G | 26.1 | 0 | -84 | 0 | 277.9 | 0 | -20.39 | 0 |
| 887 | Variabile G | 277.9 | 0 | -20.39 | 0 | 284 | 0 | -19.2 | 0 |
| 887 | Variabile G | 284 | 0 | -18.845 | 0 | 311.1 | 0 | -12 | 0 |
| 888 | Variabile G | 0 | 0 | -144 | 0 | 600 | 0 | -144 | 0 |
| 889 | Variabile G | 0 | 0 | -144 | 0 | 600 | 0 | -144 | 0 |
| 890 | Variabile G | 0 | 0 | -144 | 0 | 600 | 0 | -144 | 0 |
| 891 | Variabile G | 0 | 0 | -144 | 0 | 600 | 0 | -144 | 0 |
| 892 | Variabile G | 0 | 0 | -144 | 0 | 341.1 | 0 | -144 | 0 |
| 892 | Variabile G | 341.1 | 0 | -144 | 0 | 592.9 | 0 | -80.39 | 0 |
| 892 | Variabile G | 592.9 | 0 | -80.39 | 0 | 600 | 0 | -79.2 | 0 |
| 892 | Variabile G | 600 | 0 | -78.596 | 0 | 626.1 | 0 | -72 | 0 |
| 893 | Variabile G | 0 | 0 | -144 | 0 | 600 | 0 | -144 | 0 |
| 894 | Variabile G | 0 | 0 | -144 | 0 | 600 | 0 | -144 | 0 |
| 895 | Variabile G | 0 | 0 | -144 | 0 | 600 | 0 | -144 | 0 |
| 896 | Variabile G | 0 | 0 | -144 | 0 | 600 | 0 | -144 | 0 |
| 897 | Variabile G | 0 | 0 | -144 | 0 | 56.1 | 0 | -144 | 0 |
| 897 | Variabile G | 56.1 | 0 | -144 | 0 | 307.9 | 0 | -80.39 | 0 |
| 897 | Variabile G | 307.9 | 0 | -80.39 | 0 | 314 | 0 | -79.2 | 0 |
| 897 | Variabile G | 314 | 0 | -78.845 | 0 | 341.1 | 0 | -72 | 0 |
| 898 | Variabile G | 0 | 0 | -144 | 0 | 600 | 0 | -144 | 0 |
| 899 | Variabile G | 0 | 0 | -144 | 0 | 600 | 0 | -144 | 0 |
| 900 | Variabile G | 0 | 0 | -144 | 0 | 600 | 0 | -144 | 0 |
| 901 | Variabile G | 0 | 0 | -144 | 0 | 371.1 | 0 | -144 | 0 |
| 901 | Variabile G | 371.1 | 0 | -144 | 0 | 622.9 | 0 | -80.39 | 0 |
| 901 | Variabile G | 622.9 | 0 | -80.39 | 0 | 629 | 0 | -79.2 | 0 |
| 901 | Variabile G | 629 | 0 | -78.845 | 0 | 656.1 | 0 | -72 | 0 |
| 902 | Variabile G | 0 | 0 | -144 | 0 | 600 | 0 | -144 | 0 |
| 903 | Variabile G | 0 | 0 | -144 | 0 | 600 | 0 | -144 | 0 |
| 904 | Variabile G | 0 | 0 | -144 | 0 | 600 | 0 | -144 | 0 |
| 905 | Variabile G | 0 | 0 | -144 | 0 | 86 | 0 | -144 | 0 |
| 905 | Variabile G | 86 | 0 | -144 | 0 | 337.8 | 0 | -80.39 | 0 |
| 905 | Variabile G | 337.8 | 0 | -80.39 | 0 | 344 | 0 | -79.2 | 0 |
| 905 | Variabile G | 344 | 0 | -78.845 | 0 | 371.1 | 0 | -72 | 0 |
| 906 | Variabile G | 0 | 0 | -144 | 0 | 460.9 | 0 | -144 | 0 |
| 906 | Variabile G | 460.9 | 0 | -144 | 0 | 534.5 | 0 | -105.933 | 0 |
| 906 | Variabile G | 534.5 | 0 | -107.977 | 0 | 562.3 | 0 | -91.544 | 0 |
| 906 | Variabile G | 562.3 | 0 | -91.544 | 0 | 570 | 0 | -87.533 | 0 |
| 906 | Variabile G | 570 | 0 | -87.533 | 0 | 593 | 0 | -79.2 | 0 |
| 906 | Variabile G | 593 | 0 | -75.6 | 0 | 600 | 0 | -72 | 0 |
| 907 | Variabile G | 0 | 0 | -144 | 0 | 431 | 0 | -144 | 0 |
| 907 | Variabile G | 431 | 0 | -144 | 0 | 571.1 | 0 | -84.3 | 0 |
| 907 | Variabile G | 571.1 | 0 | -84.3 | 0 | 591.5 | 0 | -79.2 | 0 |
| 907 | Variabile G | 591.5 | 0 | -75.6 | 0 | 600 | 0 | -72 | 0 |
| 908 | Variabile G | 0 | 0 | -144 | 0 | 401 | 0 | -144 | 0 |

| Indice asta | Condizione | Posizione iniziale | F1 iniziale | F2 iniziale | F3 iniziale | Posizione finale | F1 finale | F2 finale | F3 finale |
|-------------|-------------|--------------------|-------------|-------------|-------------|------------------|-----------|-----------|-----------|
| 908 | Variabile G | 401 | 0 | -144 | 0 | 652.8 | 0 | -80.39 | 0 |
| 908 | Variabile G | 652.8 | 0 | -80.39 | 0 | 658.9 | 0 | -79.2 | 0 |
| 908 | Variabile G | 658.9 | 0 | -78.845 | 0 | 686 | 0 | -72 | 0 |
| 909 | Variabile G | 0 | 0 | -156.016 | 0 | 460.9 | 0 | -156.016 | 0 |
| 936 | Variabile G | 0 | 0 | -51.988 | 0 | 63.2 | 0 | -54.925 | 0 |
| 936 | Variabile G | 63.2 | 0 | -54.773 | 0 | 77.4 | 0 | -55.588 | 0 |
| 936 | Variabile G | 77.4 | 0 | -55.588 | 0 | 664.3 | 0 | -82.882 | 0 |
| 937 | Variabile G | 0 | 0 | -51.988 | 0 | 60.8 | 0 | -54.818 | 0 |
| 937 | Variabile G | 60.8 | 0 | -54.559 | 0 | 77.4 | 0 | -55.588 | 0 |
| 937 | Variabile G | 77.4 | 0 | -55.588 | 0 | 664.3 | 0 | -82.882 | 0 |
| 938 | Variabile G | 0 | 0 | -51.988 | 0 | 63.2 | 0 | -54.925 | 0 |
| 938 | Variabile G | 63.2 | 0 | -54.773 | 0 | 77.4 | 0 | -55.588 | 0 |
| 938 | Variabile G | 77.4 | 0 | -55.588 | 0 | 664.3 | 0 | -82.882 | 0 |
| 939 | Variabile G | 0 | 0 | -51.988 | 0 | 63.2 | 0 | -54.925 | 0 |
| 939 | Variabile G | 63.2 | 0 | -54.773 | 0 | 77.4 | 0 | -55.588 | 0 |
| 939 | Variabile G | 77.4 | 0 | -55.588 | 0 | 664.3 | 0 | -82.882 | 0 |
| 940 | Variabile G | 0 | 0 | -51.988 | 0 | 63.2 | 0 | -54.925 | 0 |
| 940 | Variabile G | 63.2 | 0 | -54.773 | 0 | 77.4 | 0 | -55.588 | 0 |
| 940 | Variabile G | 77.4 | 0 | -55.588 | 0 | 664.3 | 0 | -82.882 | 0 |
| 941 | Variabile G | 0 | 0 | -51.988 | 0 | 63.2 | 0 | -54.925 | 0 |
| 941 | Variabile G | 63.2 | 0 | -54.773 | 0 | 77.4 | 0 | -55.588 | 0 |
| 941 | Variabile G | 77.4 | 0 | -55.588 | 0 | 664.3 | 0 | -82.882 | 0 |
| 942 | Variabile G | 0 | 0 | -51.988 | 0 | 63.2 | 0 | -54.925 | 0 |
| 942 | Variabile G | 63.2 | 0 | -54.773 | 0 | 77.4 | 0 | -55.588 | 0 |
| 942 | Variabile G | 77.4 | 0 | -55.588 | 0 | 664.3 | 0 | -82.882 | 0 |
| 943 | Variabile G | 0 | 0 | -51.988 | 0 | 63.2 | 0 | -54.925 | 0 |
| 943 | Variabile G | 63.2 | 0 | -54.773 | 0 | 77.4 | 0 | -55.588 | 0 |
| 943 | Variabile G | 77.4 | 0 | -55.588 | 0 | 664.3 | 0 | -82.882 | 0 |
| 944 | Variabile G | 0 | 0 | -51.988 | 0 | 63.2 | 0 | -54.925 | 0 |
| 944 | Variabile G | 63.2 | 0 | -54.925 | 0 | 67.3 | 0 | -55.159 | 0 |
| 944 | Variabile G | 67.3 | 0 | -55.159 | 0 | 69.9 | 0 | -55.24 | 0 |
| 944 | Variabile G | 69.9 | 0 | -55.24 | 0 | 664.3 | 0 | -82.882 | 0 |
| 945 | Variabile G | 0 | 0 | -51.988 | 0 | 63.2 | 0 | -54.925 | 0 |
| 945 | Variabile G | 63.2 | 0 | -54.773 | 0 | 77.4 | 0 | -55.588 | 0 |
| 945 | Variabile G | 77.4 | 0 | -55.588 | 0 | 492.9 | 0 | -74.913 | 0 |
| 945 | Variabile G | 492.9 | 0 | -74.913 | 0 | 664.3 | 0 | -66.943 | 0 |
| 1031 | Variabile G | 0 | 0 | -144 | 0 | 460.9 | 0 | -144 | 0 |
| 1032 | Variabile G | 0 | 0 | -144 | 0 | 570 | 0 | -144 | 0 |
| 1033 | Variabile G | 0 | 0 | -144 | 0 | 251.8 | 0 | -80.39 | 0 |
| 1033 | Variabile G | 251.8 | 0 | -80.39 | 0 | 257.9 | 0 | -79.2 | 0 |
| 1033 | Variabile G | 257.9 | 0 | -78.845 | 0 | 285 | 0 | -72 | 0 |
| 1034 | Variabile G | 0 | 0 | -144 | 0 | 460.9 | 0 | -144 | 0 |
| 1035 | Variabile G | 0 | 0 | -144 | 0 | 285 | 0 | -144 | 0 |
| 1035 | Variabile G | 285 | 0 | -144 | 0 | 540 | 0 | -79.578 | 0 |
| 1035 | Variabile G | 540 | 0 | -79.578 | 0 | 541.2 | 0 | -79.2 | 0 |
| 1035 | Variabile G | 541.2 | 0 | -79.2 | 0 | 542.9 | 0 | -78.845 | 0 |
| 1035 | Variabile G | 542.9 | 0 | -78.845 | 0 | 570 | 0 | -72 | 0 |
| 1036 | Variabile G | 0 | 0 | -144 | 0 | 460.9 | 0 | -144 | 0 |
| 1037 | Variabile G | 0 | 0 | -144 | 0 | 251.8 | 0 | -80.39 | 0 |
| 1037 | Variabile G | 251.8 | 0 | -80.39 | 0 | 257.9 | 0 | -79.2 | 0 |
| 1037 | Variabile G | 257.9 | 0 | -78.845 | 0 | 285 | 0 | -72 | 0 |
| 1038 | Variabile G | 0 | 0 | -144 | 0 | 460.9 | 0 | -144 | 0 |
| 1039 | Variabile G | 0 | 0 | -72 | 0 | 139.1 | 0 | -144 | 0 |
| 1039 | Variabile G | 139.1 | 0 | -144 | 0 | 570 | 0 | -144 | 0 |
| 1040 | Variabile G | 0 | 0 | -72 | 0 | 39.6 | 0 | -88.877 | 0 |
| 1040 | Variabile G | 39.6 | 0 | -79.2 | 0 | 129.4 | 0 | -127.123 | 0 |
| 1040 | Variabile G | 129.4 | 0 | -127.123 | 0 | 169 | 0 | -144 | 0 |
| 1040 | Variabile G | 169 | 0 | -144 | 0 | 285 | 0 | -144 | 0 |
| 1040 | Variabile G | 285 | 0 | -144 | 0 | 536.8 | 0 | -80.39 | 0 |
| 1040 | Variabile G | 536.8 | 0 | -80.39 | 0 | 542.9 | 0 | -79.2 | 0 |
| 1040 | Variabile G | 542.9 | 0 | -78.845 | 0 | 570 | 0 | -72 | 0 |
| 1041 | Variabile G | 0 | 0 | -19.523 | 0 | 31.2 | 0 | -19.523 | 0 |
| 1041 | Variabile G | 31.2 | 0 | -18.547 | 0 | 106.5 | 0 | -19.523 | 0 |
| 1041 | Variabile G | 106.5 | 0 | -19.523 | 0 | 146.1 | 0 | -19.523 | 0 |
| 1041 | Variabile G | 146.1 | 0 | -19.523 | 0 | 477.2 | 0 | -22.147 | 0 |
| 1041 | Variabile G | 477.2 | 0 | -19.523 | 0 | 623.4 | 0 | -19.523 | 0 |
| 1044 | Variabile G | 0 | 0 | -16.257 | 0 | 30.8 | 0 | -16.257 | 0 |
| 1044 | Variabile G | 30.8 | 0 | -15.444 | 0 | 132.9 | 0 | -16.257 | 0 |
| 1044 | Variabile G | 132.9 | 0 | -16.257 | 0 | 167.2 | 0 | -16.257 | 0 |
| 1044 | Variabile G | 167.2 | 0 | -16.257 | 0 | 290.3 | 0 | -15.795 | 0 |
| 1044 | Variabile G | 290.3 | 0 | -16.257 | 0 | 615.9 | 0 | -16.257 | 0 |

8.4.1.2 Carichi trapezoidali locali autoportanza tralicciate

Indice asta: indice dell'asta a cui si riferisce il carico trapezoidale.

Posizione iniziale: posizione iniziale del carico sull'asse locale 1. [cm]

F1 iniziale: componente del valore iniziale del carico lungo l'asse locale 1. [daN/cm]

F2 iniziale: componente del valore iniziale del carico lungo l'asse locale 2. [daN/cm]

F3 iniziale: componente del valore iniziale del carico lungo l'asse locale 3. [daN/cm]

Posizione finale: posizione finale del carico sull'asse locale 1. [cm]

F1 finale: componente del valore finale del carico lungo l'asse locale 1. [daN/cm]

F2 finale: componente del valore finale del carico lungo l'asse locale 2. [daN/cm]

F3 finale: componente del valore finale del carico lungo l'asse locale 3. [daN/cm]

| Indice asta | Posizione iniziale | F1 iniziale | F2 iniziale | F3 iniziale | Posizione finale | F1 finale | F2 finale | F3 finale |
|-------------|--------------------|-------------|-------------|-------------|------------------|-----------|-----------|-----------|
| 882 | 0 | 0 | -15 | 0 | 600 | 0 | -15 | 0 |
| 882 | 0 | 0 | -20.405 | 0 | 600 | 0 | -20.405 | 0 |
| 883 | 0 | 0 | -15 | 0 | 600 | 0 | -15 | 0 |
| 883 | 0 | 0 | -20.405 | 0 | 600 | 0 | -20.405 | 0 |
| 884 | 0 | 0 | -15 | 0 | 600 | 0 | -15 | 0 |
| 884 | 0 | 0 | -20.405 | 0 | 600 | 0 | -20.405 | 0 |
| 885 | 0 | 0 | -15 | 0 | 600 | 0 | -15 | 0 |
| 885 | 0 | 0 | -20.405 | 0 | 600 | 0 | -20.405 | 0 |
| 886 | 0 | 0 | -15 | 0 | 600 | 0 | -15 | 0 |
| 886 | 0 | 0 | -20.405 | 0 | 600 | 0 | -20.405 | 0 |
| 887 | 0 | 0 | -15 | 0 | 311.1 | 0 | -15 | 0 |
| 887 | 0 | 0 | -20.405 | 0 | 26.1 | 0 | -20.405 | 0 |
| 887 | 26.1 | 0 | -20.405 | 0 | 277.9 | 0 | -4.953 | 0 |

| Indice asta | Posizione iniziale | F1 iniziale | F2 iniziale | F3 iniziale | Posizione finale | F1 finale | F2 finale | F3 finale |
|-------------|--------------------|-------------|-------------|-------------|------------------|-----------|-----------|-----------|
| 887 | 277.9 | 0 | -4.953 | 0 | 284 | 0 | -4.664 | 0 |
| 887 | 284 | 0 | -4.578 | 0 | 311.1 | 0 | -2.915 | 0 |
| 888 | 0 | 0 | -15 | 0 | 600 | 0 | -15 | 0 |
| 888 | 0 | 0 | -34.98 | 0 | 600 | 0 | -34.98 | 0 |
| 889 | 0 | 0 | -15 | 0 | 600 | 0 | -15 | 0 |
| 889 | 0 | 0 | -34.98 | 0 | 600 | 0 | -34.98 | 0 |
| 890 | 0 | 0 | -15 | 0 | 600 | 0 | -15 | 0 |
| 890 | 0 | 0 | -34.98 | 0 | 600 | 0 | -34.98 | 0 |
| 891 | 0 | 0 | -15 | 0 | 600 | 0 | -15 | 0 |
| 891 | 0 | 0 | -34.98 | 0 | 600 | 0 | -34.98 | 0 |
| 892 | 0 | 0 | -15 | 0 | 626.1 | 0 | -15 | 0 |
| 892 | 0 | 0 | -34.98 | 0 | 341.1 | 0 | -34.98 | 0 |
| 892 | 341.1 | 0 | -34.98 | 0 | 592.9 | 0 | -19.528 | 0 |
| 892 | 592.9 | 0 | -19.528 | 0 | 600 | 0 | -19.239 | 0 |
| 892 | 600 | 0 | -19.092 | 0 | 626.1 | 0 | -17.49 | 0 |
| 893 | 0 | 0 | -15 | 0 | 600 | 0 | -15 | 0 |
| 893 | 0 | 0 | -34.98 | 0 | 600 | 0 | -34.98 | 0 |
| 894 | 0 | 0 | -15 | 0 | 600 | 0 | -15 | 0 |
| 894 | 0 | 0 | -34.98 | 0 | 600 | 0 | -34.98 | 0 |
| 895 | 0 | 0 | -15 | 0 | 600 | 0 | -15 | 0 |
| 895 | 0 | 0 | -34.98 | 0 | 600 | 0 | -34.98 | 0 |
| 896 | 0 | 0 | -15 | 0 | 600 | 0 | -15 | 0 |
| 896 | 0 | 0 | -34.98 | 0 | 600 | 0 | -34.98 | 0 |
| 897 | 0 | 0 | -15 | 0 | 341.1 | 0 | -15 | 0 |
| 897 | 0 | 0 | -34.98 | 0 | 56.1 | 0 | -34.98 | 0 |
| 897 | 56.1 | 0 | -34.98 | 0 | 307.9 | 0 | -19.528 | 0 |
| 897 | 307.9 | 0 | -19.528 | 0 | 314 | 0 | -19.239 | 0 |
| 897 | 314 | 0 | -19.153 | 0 | 341.1 | 0 | -17.49 | 0 |
| 898 | 0 | 0 | -15 | 0 | 600 | 0 | -15 | 0 |
| 898 | 0 | 0 | -34.98 | 0 | 600 | 0 | -34.98 | 0 |
| 899 | 0 | 0 | -15 | 0 | 600 | 0 | -15 | 0 |
| 899 | 0 | 0 | -34.98 | 0 | 600 | 0 | -34.98 | 0 |
| 900 | 0 | 0 | -15 | 0 | 600 | 0 | -15 | 0 |
| 900 | 0 | 0 | -34.98 | 0 | 600 | 0 | -34.98 | 0 |
| 901 | 0 | 0 | -15 | 0 | 656.1 | 0 | -15 | 0 |
| 901 | 0 | 0 | -34.98 | 0 | 371.1 | 0 | -34.98 | 0 |
| 901 | 371.1 | 0 | -34.98 | 0 | 622.9 | 0 | -19.528 | 0 |
| 901 | 622.9 | 0 | -19.528 | 0 | 629 | 0 | -19.239 | 0 |
| 901 | 629 | 0 | -19.153 | 0 | 656.1 | 0 | -17.49 | 0 |
| 902 | 0 | 0 | -15 | 0 | 600 | 0 | -15 | 0 |
| 902 | 0 | 0 | -34.98 | 0 | 600 | 0 | -34.98 | 0 |
| 903 | 0 | 0 | -15 | 0 | 600 | 0 | -15 | 0 |
| 903 | 0 | 0 | -34.98 | 0 | 600 | 0 | -34.98 | 0 |
| 904 | 0 | 0 | -15 | 0 | 600 | 0 | -15 | 0 |
| 904 | 0 | 0 | -34.98 | 0 | 600 | 0 | -34.98 | 0 |
| 905 | 0 | 0 | -15 | 0 | 371.1 | 0 | -15 | 0 |
| 905 | 0 | 0 | -34.98 | 0 | 86 | 0 | -34.98 | 0 |
| 905 | 86 | 0 | -34.98 | 0 | 337.8 | 0 | -19.528 | 0 |
| 905 | 337.8 | 0 | -19.528 | 0 | 344 | 0 | -19.239 | 0 |
| 905 | 344 | 0 | -19.153 | 0 | 371.1 | 0 | -17.49 | 0 |
| 906 | 0 | 0 | -15 | 0 | 600 | 0 | -15 | 0 |
| 906 | 0 | 0 | -34.98 | 0 | 460.9 | 0 | -34.98 | 0 |
| 906 | 460.9 | 0 | -34.98 | 0 | 534.5 | 0 | -25.733 | 0 |
| 906 | 534.5 | 0 | -26.229 | 0 | 562.3 | 0 | -22.238 | 0 |
| 906 | 562.3 | 0 | -22.238 | 0 | 570 | 0 | -21.263 | 0 |
| 906 | 570 | 0 | -21.263 | 0 | 593 | 0 | -19.239 | 0 |
| 906 | 593 | 0 | -18.365 | 0 | 600 | 0 | -17.49 | 0 |
| 907 | 0 | 0 | -15 | 0 | 600 | 0 | -15 | 0 |
| 907 | 0 | 0 | -34.98 | 0 | 431 | 0 | -34.98 | 0 |
| 907 | 431 | 0 | -34.98 | 0 | 571.1 | 0 | -20.478 | 0 |
| 907 | 571.1 | 0 | -20.478 | 0 | 591.5 | 0 | -19.239 | 0 |
| 907 | 591.5 | 0 | -18.365 | 0 | 600 | 0 | -17.49 | 0 |
| 908 | 0 | 0 | -15 | 0 | 686 | 0 | -15 | 0 |
| 908 | 0 | 0 | -34.98 | 0 | 401 | 0 | -34.98 | 0 |
| 908 | 401 | 0 | -34.98 | 0 | 652.8 | 0 | -19.528 | 0 |
| 908 | 652.8 | 0 | -19.528 | 0 | 658.9 | 0 | -19.239 | 0 |
| 908 | 658.9 | 0 | -19.153 | 0 | 686 | 0 | -17.49 | 0 |
| 909 | 0 | 0 | -15 | 0 | 460.9 | 0 | -15 | 0 |
| 909 | 0 | 0 | -37.899 | 0 | 460.9 | 0 | -37.899 | 0 |
| 910 | 0 | 0 | -15 | 0 | 600 | 0 | -15 | 0 |
| 911 | 0 | 0 | -15 | 0 | 600 | 0 | -15 | 0 |
| 912 | 0 | 0 | -15 | 0 | 600 | 0 | -15 | 0 |
| 913 | 0 | 0 | -15 | 0 | 600 | 0 | -15 | 0 |
| 914 | 0 | 0 | -15 | 0 | 600 | 0 | -15 | 0 |
| 915 | 0 | 0 | -15 | 0 | 600 | 0 | -15 | 0 |
| 916 | 0 | 0 | -15 | 0 | 600 | 0 | -15 | 0 |
| 917 | 0 | 0 | -15 | 0 | 600 | 0 | -15 | 0 |
| 918 | 0 | 0 | -15 | 0 | 600 | 0 | -15 | 0 |
| 919 | 0 | 0 | -15 | 0 | 600 | 0 | -15 | 0 |
| 920 | 0 | 0 | -9 | 0 | 600 | 0 | -9 | 0 |
| 921 | 0 | 0 | -9 | 0 | 600 | 0 | -9 | 0 |
| 922 | 0 | 0 | -9 | 0 | 600 | 0 | -9 | 0 |
| 923 | 0 | 0 | -9 | 0 | 600 | 0 | -9 | 0 |
| 924 | 0 | 0 | -9 | 0 | 600 | 0 | -9 | 0 |
| 925 | 0 | 0 | -6 | 0 | 600 | 0 | -6 | 0 |
| 926 | 0 | 0 | -6 | 0 | 600 | 0 | -6 | 0 |
| 927 | 0 | 0 | -9 | 0 | 600 | 0 | -9 | 0 |
| 928 | 0 | 0 | -9 | 0 | 600 | 0 | -9 | 0 |
| 929 | 0 | 0 | -9 | 0 | 600 | 0 | -9 | 0 |
| 930 | 0 | 0 | -9 | 0 | 600 | 0 | -9 | 0 |
| 931 | 0 | 0 | -9 | 0 | 600 | 0 | -9 | 0 |
| 932 | 0 | 0 | -9 | 0 | 600 | 0 | -9 | 0 |
| 933 | 0 | 0 | -9 | 0 | 600 | 0 | -9 | 0 |
| 934 | 0 | 0 | -9 | 0 | 600 | 0 | -9 | 0 |
| 935 | 0 | 0 | -9 | 0 | 600 | 0 | -9 | 0 |
| 936 | 0 | 0 | -15 | 0 | 664.3 | 0 | -15 | 0 |
| 936 | 0 | 0 | -12.629 | 0 | 63.2 | 0 | -13.342 | 0 |
| 936 | 63.2 | 0 | -13.305 | 0 | 77.4 | 0 | -13.503 | 0 |
| 936 | 77.4 | 0 | -13.503 | 0 | 664.3 | 0 | -20.133 | 0 |
| 937 | 0 | 0 | -15 | 0 | 664.3 | 0 | -15 | 0 |
| 937 | 0 | 0 | -12.629 | 0 | 60.8 | 0 | -13.316 | 0 |

| Indice asta | Posizione iniziale | F1 iniziale | F2 iniziale | F3 iniziale | Posizione finale | F1 finale | F2 finale | F3 finale |
|-------------|--------------------|-------------|-------------|-------------|------------------|-----------|-----------|-----------|
| 937 | 60.8 | 0 | -13.253 | 0 | 77.4 | 0 | -13.503 | 0 |
| 937 | 77.4 | 0 | -13.503 | 0 | 664.3 | 0 | -20.133 | 0 |
| 938 | 0 | 0 | -15 | 0 | 664.3 | 0 | -15 | 0 |
| 938 | 0 | 0 | -12.629 | 0 | 63.2 | 0 | -13.342 | 0 |
| 938 | 63.2 | 0 | -13.305 | 0 | 77.4 | 0 | -13.503 | 0 |
| 938 | 77.4 | 0 | -13.503 | 0 | 664.3 | 0 | -20.133 | 0 |
| 939 | 0 | 0 | -15 | 0 | 664.3 | 0 | -15 | 0 |
| 939 | 0 | 0 | -12.629 | 0 | 63.2 | 0 | -13.342 | 0 |
| 939 | 63.2 | 0 | -13.305 | 0 | 77.4 | 0 | -13.503 | 0 |
| 939 | 77.4 | 0 | -13.503 | 0 | 664.3 | 0 | -20.133 | 0 |
| 940 | 0 | 0 | -15 | 0 | 664.3 | 0 | -15 | 0 |
| 940 | 0 | 0 | -12.629 | 0 | 63.2 | 0 | -13.342 | 0 |
| 940 | 63.2 | 0 | -13.305 | 0 | 77.4 | 0 | -13.503 | 0 |
| 940 | 77.4 | 0 | -13.503 | 0 | 664.3 | 0 | -20.133 | 0 |
| 941 | 0 | 0 | -15 | 0 | 664.3 | 0 | -15 | 0 |
| 941 | 0 | 0 | -12.629 | 0 | 63.2 | 0 | -13.342 | 0 |
| 941 | 63.2 | 0 | -13.305 | 0 | 77.4 | 0 | -13.503 | 0 |
| 941 | 77.4 | 0 | -13.503 | 0 | 664.3 | 0 | -20.133 | 0 |
| 942 | 0 | 0 | -15 | 0 | 664.3 | 0 | -15 | 0 |
| 942 | 0 | 0 | -12.629 | 0 | 63.2 | 0 | -13.342 | 0 |
| 942 | 63.2 | 0 | -13.305 | 0 | 77.4 | 0 | -13.503 | 0 |
| 942 | 77.4 | 0 | -13.503 | 0 | 664.3 | 0 | -20.133 | 0 |
| 943 | 0 | 0 | -15 | 0 | 664.3 | 0 | -15 | 0 |
| 943 | 0 | 0 | -12.629 | 0 | 63.2 | 0 | -13.342 | 0 |
| 943 | 63.2 | 0 | -13.305 | 0 | 77.4 | 0 | -13.503 | 0 |
| 943 | 77.4 | 0 | -13.503 | 0 | 664.3 | 0 | -20.133 | 0 |
| 944 | 0 | 0 | -15 | 0 | 664.3 | 0 | -15 | 0 |
| 944 | 0 | 0 | -12.629 | 0 | 63.2 | 0 | -13.342 | 0 |
| 944 | 63.2 | 0 | -13.305 | 0 | 77.4 | 0 | -13.503 | 0 |
| 944 | 77.4 | 0 | -13.503 | 0 | 664.3 | 0 | -20.133 | 0 |
| 945 | 0 | 0 | -15 | 0 | 664.3 | 0 | -15 | 0 |
| 945 | 0 | 0 | -12.629 | 0 | 63.2 | 0 | -13.342 | 0 |
| 945 | 63.2 | 0 | -13.305 | 0 | 77.4 | 0 | -13.503 | 0 |
| 945 | 77.4 | 0 | -13.503 | 0 | 492.9 | 0 | -18.198 | 0 |
| 945 | 492.9 | 0 | -18.198 | 0 | 664.3 | 0 | -16.262 | 0 |
| 1031 | 0 | 0 | -15 | 0 | 460.9 | 0 | -15 | 0 |
| 1031 | 0 | 0 | -34.98 | 0 | 460.9 | 0 | -34.98 | 0 |
| 1032 | 0 | 0 | -15 | 0 | 570 | 0 | -15 | 0 |
| 1032 | 0 | 0 | -34.98 | 0 | 570 | 0 | -34.98 | 0 |
| 1033 | 0 | 0 | -15 | 0 | 285 | 0 | -15 | 0 |
| 1033 | 0 | 0 | -34.98 | 0 | 251.8 | 0 | -19.528 | 0 |
| 1033 | 251.8 | 0 | -19.528 | 0 | 257.9 | 0 | -19.239 | 0 |
| 1033 | 257.9 | 0 | -19.153 | 0 | 285 | 0 | -17.49 | 0 |
| 1034 | 0 | 0 | -15 | 0 | 460.9 | 0 | -15 | 0 |
| 1034 | 0 | 0 | -34.98 | 0 | 460.9 | 0 | -34.98 | 0 |
| 1035 | 0 | 0 | -15 | 0 | 570 | 0 | -15 | 0 |
| 1035 | 0 | 0 | -34.98 | 0 | 285 | 0 | -34.98 | 0 |
| 1035 | 285 | 0 | -34.98 | 0 | 540 | 0 | -19.331 | 0 |
| 1035 | 540 | 0 | -19.331 | 0 | 541.2 | 0 | -19.239 | 0 |
| 1035 | 541.2 | 0 | -19.239 | 0 | 542.9 | 0 | -19.153 | 0 |
| 1035 | 542.9 | 0 | -19.153 | 0 | 570 | 0 | -17.49 | 0 |
| 1036 | 0 | 0 | -15 | 0 | 460.9 | 0 | -15 | 0 |
| 1036 | 0 | 0 | -34.98 | 0 | 460.9 | 0 | -34.98 | 0 |
| 1037 | 0 | 0 | -15 | 0 | 285 | 0 | -15 | 0 |
| 1037 | 0 | 0 | -34.98 | 0 | 251.8 | 0 | -19.528 | 0 |
| 1037 | 251.8 | 0 | -19.528 | 0 | 257.9 | 0 | -19.239 | 0 |
| 1037 | 257.9 | 0 | -19.153 | 0 | 285 | 0 | -17.49 | 0 |
| 1038 | 0 | 0 | -15 | 0 | 460.9 | 0 | -15 | 0 |
| 1038 | 0 | 0 | -34.98 | 0 | 460.9 | 0 | -34.98 | 0 |
| 1039 | 0 | 0 | -15 | 0 | 570 | 0 | -15 | 0 |
| 1039 | 0 | 0 | -17.49 | 0 | 139.1 | 0 | -34.98 | 0 |
| 1039 | 139.1 | 0 | -34.98 | 0 | 570 | 0 | -34.98 | 0 |
| 1040 | 0 | 0 | -15 | 0 | 570 | 0 | -15 | 0 |
| 1040 | 0 | 0 | -17.49 | 0 | 39.6 | 0 | -21.59 | 0 |
| 1040 | 39.6 | 0 | -19.239 | 0 | 129.4 | 0 | -30.88 | 0 |
| 1040 | 129.4 | 0 | -30.88 | 0 | 169 | 0 | -34.98 | 0 |
| 1040 | 169 | 0 | -34.98 | 0 | 285 | 0 | -34.98 | 0 |
| 1040 | 285 | 0 | -34.98 | 0 | 536.8 | 0 | -19.528 | 0 |
| 1040 | 536.8 | 0 | -19.528 | 0 | 542.9 | 0 | -19.239 | 0 |
| 1040 | 542.9 | 0 | -19.153 | 0 | 570 | 0 | -17.49 | 0 |
| 1041 | 0 | 0 | -9 | 0 | 623.4 | 0 | -9 | 0 |
| 1041 | 0 | 0 | -4.742 | 0 | 31.2 | 0 | -4.742 | 0 |
| 1041 | 31.2 | 0 | -4.505 | 0 | 106.5 | 0 | -4.742 | 0 |
| 1041 | 106.5 | 0 | -4.742 | 0 | 146.1 | 0 | -4.742 | 0 |
| 1041 | 146.1 | 0 | -4.742 | 0 | 477.2 | 0 | -5.38 | 0 |
| 1041 | 477.2 | 0 | -4.742 | 0 | 623.4 | 0 | -4.742 | 0 |
| 1042 | 0 | 0 | -9 | 0 | 600 | 0 | -9 | 0 |
| 1043 | 0 | 0 | -9 | 0 | 600 | 0 | -9 | 0 |
| 1044 | 0 | 0 | -9 | 0 | 615.9 | 0 | -9 | 0 |
| 1044 | 0 | 0 | -3.949 | 0 | 30.8 | 0 | -3.949 | 0 |
| 1044 | 30.8 | 0 | -3.752 | 0 | 132.9 | 0 | -3.949 | 0 |
| 1044 | 132.9 | 0 | -3.949 | 0 | 167.2 | 0 | -3.949 | 0 |
| 1044 | 167.2 | 0 | -3.949 | 0 | 290.3 | 0 | -3.837 | 0 |
| 1044 | 290.3 | 0 | -3.949 | 0 | 615.9 | 0 | -3.949 | 0 |
| 1045 | 0 | 0 | -9 | 0 | 600 | 0 | -9 | 0 |
| 1046 | 0 | 0 | -9 | 0 | 600 | 0 | -9 | 0 |
| 1047 | 0 | 0 | -9 | 0 | 600 | 0 | -9 | 0 |
| 1048 | 0 | 0 | -9 | 0 | 600 | 0 | -9 | 0 |

8.4.2 Caratteristiche meccaniche aste

I seguenti dati si riferiscono alle caratteristiche meccaniche delle aste utilizzate dal solutore ad elementi finiti. Normalmente differiscono dalle caratteristiche inerziali delle sezioni definite nel database. Tengono conto dei moltiplicatori inerziali espressi nelle preferenze FEM e di indicazioni tratte dalla bibliografia (SAP 90 Volume I Figura X-8; Belluzzi Vol. 1).

I.: numero dell'elemento nell'insieme che lo contiene.

Area: area della sezione trasversale. [cm²]

Area 2: area di taglio per sforzo di taglio nella direzione 2. [cm²]

Area 3: area di taglio per sforzo di taglio nella direzione 3. [cm²]

In.2: momento d'inerzia attorno all'asse locale 2. [cm⁴]**In.3:** momento d'inerzia attorno all'asse locale 3. [cm⁴]**In.tors.:** momento d'inerzia torsionale corretto con il fattore di torsione. [cm⁴]**E:** modulo di elasticità longitudinale. [daN/cm²]**G:** modulo di elasticità tangenziale. [daN/cm²] **α :** coefficiente di dilatazione termica longitudinale. [°C-1]**P.unit.:** peso per unità di lunghezza dell'elemento. [daN/cm]**S.fibre:** caratteristiche della sezione a fibre.**Sez.corr.:** sezione degli elementi correlati.**Desc.:** descrizione o nome assegnato all'elemento.**Mat.corr.:** materiale degli elementi correlati.**Desc.:** descrizione o nome assegnato all'elemento.

| I. | Area | Area 2 | Area 3 | In.2 | In.3 | In.tors. | E | G | α | P.unit. | S.fibre | Sez.corr. Desc. | Mat.corr. Desc. |
|----|------|--------|--------|---------|---------|----------|--------|--------|----------|---------|---------|-------------------|-----------------|
| 1 | 531 | 478 | 478 | 17119 | 17119 | 342 | 346255 | 157389 | 0.00001 | 0.986 | | | |
| 2 | 6000 | 5000 | 5000 | 1800000 | 5000000 | 44784 | 346255 | 157389 | 0.00001 | 0 | | R 60x100 | C35/45 |
| 3 | 3600 | 3000 | 3000 | 1080000 | 1080000 | 15984 | 346255 | 157389 | 0.00001 | 0 | | R 60x60 | C35/45 |
| 4 | 2400 | 2000 | 2000 | 720000 | 320000 | 7424 | 346255 | 157389 | 0.00001 | 0 | | R 60x40 | C35/45 |
| 5 | 7854 | 7069 | 7069 | 4846020 | 4846020 | 95655 | 346255 | 157389 | 0.00001 | 19.635 | | Circolare (D=100) | C35/45 |

8.4.3 Definizioni aste

Indice: numero dell'elemento nell'insieme che lo contiene.**Nodo I:** nodo iniziale.**Nodo J:** nodo finale.**Nodo K:** nodo che definisce l'asse locale 2.**Sezione:** caratteristiche inerziali-mecaniche della sezione.**Indice:** numero dell'elemento nell'insieme che lo contiene.

| Indice | Nodo I | Nodo J | Nodo K | Sezione | Indice | Nodo I | Nodo J | Nodo K | Sezione | Indice | Nodo I | Nodo J | Nodo K | Sezione | Indice | Nodo I | Nodo J | Nodo K | Sezione |
|--------|--------|--------|--------|---------|--------|--------|--------|--------|---------|--------|--------|--------|--------|---------|--------|--------|--------|--------|---------|
| 1 | 918 | 748 | 1349 | 1 | 2 | 748 | 578 | 1349 | 1 | 3 | 578 | 408 | 1349 | 1 | 4 | 408 | 171 | 1349 | 1 |
| 5 | 171 | 68 | 1349 | 1 | 6 | 919 | 749 | 1350 | 1 | 7 | 749 | 579 | 1350 | 1 | 8 | 579 | 409 | 1350 | 1 |
| 9 | 409 | 172 | 1350 | 1 | 10 | 172 | 69 | 1350 | 1 | 11 | 929 | 759 | 1370 | 1 | 12 | 759 | 589 | 1370 | 1 |
| 13 | 589 | 419 | 1370 | 1 | 14 | 419 | 182 | 1370 | 1 | 15 | 182 | 79 | 1370 | 1 | 16 | 928 | 758 | 1369 | 1 |
| 17 | 758 | 588 | 1369 | 1 | 18 | 588 | 418 | 1369 | 1 | 19 | 418 | 181 | 1369 | 1 | 20 | 181 | 78 | 1369 | 1 |
| 21 | 942 | 772 | 1395 | 1 | 22 | 772 | 602 | 1395 | 1 | 23 | 602 | 432 | 1395 | 1 | 24 | 432 | 195 | 1395 | 1 |
| 25 | 195 | 92 | 1395 | 1 | 26 | 943 | 773 | 1396 | 1 | 27 | 773 | 603 | 1396 | 1 | 28 | 603 | 433 | 1396 | 1 |
| 29 | 433 | 196 | 1396 | 1 | 30 | 196 | 93 | 1396 | 1 | 31 | 949 | 779 | 1408 | 1 | 32 | 779 | 609 | 1408 | 1 |
| 33 | 609 | 439 | 1408 | 1 | 34 | 439 | 202 | 1408 | 1 | 35 | 202 | 99 | 1408 | 1 | 36 | 858 | 688 | 1231 | 1 |
| 37 | 688 | 518 | 1231 | 1 | 38 | 518 | 348 | 1231 | 1 | 39 | 348 | 111 | 1231 | 1 | 40 | 111 | 8 | 1231 | 1 |
| 41 | 859 | 689 | 1232 | 1 | 42 | 689 | 519 | 1232 | 1 | 43 | 519 | 349 | 1232 | 1 | 44 | 349 | 112 | 1232 | 1 |
| 45 | 112 | 9 | 1232 | 1 | 46 | 867 | 697 | 1246 | 1 | 47 | 697 | 527 | 1246 | 1 | 48 | 527 | 357 | 1246 | 1 |
| 49 | 357 | 120 | 1246 | 1 | 50 | 120 | 17 | 1246 | 1 | 51 | 874 | 704 | 1263 | 1 | 52 | 704 | 534 | 1263 | 1 |
| 53 | 534 | 364 | 1263 | 1 | 54 | 364 | 127 | 1263 | 1 | 55 | 127 | 24 | 1263 | 1 | 56 | 875 | 705 | 1264 | 1 |
| 57 | 705 | 535 | 1264 | 1 | 58 | 535 | 365 | 1264 | 1 | 59 | 365 | 128 | 1264 | 1 | 60 | 128 | 25 | 1264 | 1 |
| 61 | 887 | 717 | 1288 | 1 | 62 | 717 | 547 | 1288 | 1 | 63 | 547 | 377 | 1288 | 1 | 64 | 377 | 140 | 1288 | 1 |
| 65 | 140 | 37 | 1288 | 1 | 66 | 886 | 716 | 1287 | 1 | 67 | 716 | 546 | 1287 | 1 | 68 | 546 | 376 | 1287 | 1 |
| 69 | 376 | 139 | 1287 | 1 | 70 | 139 | 36 | 1287 | 1 | 71 | 1096 | 1000 | 1511 | 1 | 72 | 1000 | 830 | 1511 | 1 |
| 73 | 830 | 660 | 1511 | 1 | 74 | 660 | 490 | 1511 | 1 | 75 | 490 | 320 | 1511 | 1 | 76 | 320 | 253 | 1511 | 1 |
| 77 | 1097 | 1001 | 1512 | 1 | 78 | 1001 | 831 | 1512 | 1 | 79 | 831 | 661 | 1512 | 1 | 80 | 661 | 491 | 1512 | 1 |
| 81 | 491 | 321 | 1512 | 1 | 82 | 321 | 254 | 1512 | 1 | 83 | 1098 | 1002 | 1514 | 1 | 84 | 1002 | 832 | 1514 | 1 |
| 85 | 832 | 662 | 1514 | 1 | 86 | 662 | 492 | 1514 | 1 | 87 | 492 | 322 | 1514 | 1 | 88 | 322 | 255 | 1514 | 1 |
| 89 | 1057 | 961 | 1435 | 1 | 90 | 961 | 791 | 1435 | 1 | 91 | 791 | 621 | 1435 | 1 | 92 | 621 | 451 | 1435 | 1 |
| 93 | 451 | 281 | 1435 | 1 | 94 | 281 | 214 | 1435 | 1 | 95 | 1058 | 962 | 1436 | 1 | 96 | 962 | 792 | 1436 | 1 |
| 97 | 792 | 622 | 1436 | 1 | 98 | 622 | 452 | 1436 | 1 | 99 | 452 | 282 | 1436 | 1 | 100 | 282 | 215 | 1436 | 1 |
| 101 | 1065 | 969 | 1449 | 1 | 102 | 969 | 799 | 1449 | 1 | 103 | 799 | 629 | 1449 | 1 | 104 | 629 | 459 | 1449 | 1 |
| 105 | 459 | 289 | 1449 | 1 | 106 | 289 | 222 | 1449 | 1 | 107 | 1091 | 995 | 1500 | 1 | 108 | 995 | 825 | 1500 | 1 |
| 109 | 825 | 655 | 1500 | 1 | 110 | 655 | 485 | 1500 | 1 | 111 | 485 | 315 | 1500 | 1 | 112 | 315 | 248 | 1500 | 1 |
| 113 | 1086 | 990 | 1490 | 1 | 114 | 990 | 820 | 1490 | 1 | 115 | 820 | 650 | 1490 | 1 | 116 | 650 | 480 | 1490 | 1 |
| 117 | 480 | 310 | 1490 | 1 | 118 | 310 | 243 | 1490 | 1 | 119 | 1092 | 996 | 1502 | 1 | 120 | 996 | 826 | 1502 | 1 |
| 121 | 826 | 656 | 1502 | 1 | 122 | 656 | 486 | 1502 | 1 | 123 | 486 | 316 | 1502 | 1 | 124 | 316 | 249 | 1502 | 1 |
| 125 | 1095 | 999 | 1508 | 1 | 126 | 999 | 829 | 1508 | 1 | 127 | 829 | 659 | 1508 | 1 | 128 | 659 | 489 | 1508 | 1 |
| 129 | 489 | 319 | 1508 | 1 | 130 | 319 | 252 | 1508 | 1 | 131 | 1059 | 963 | 1437 | 1 | 132 | 963 | 793 | 1437 | 1 |
| 133 | 793 | 623 | 1437 | 1 | 134 | 623 | 453 | 1437 | 1 | 135 | 453 | 283 | 1437 | 1 | 136 | 283 | 216 | 1437 | 1 |
| 137 | 1060 | 964 | 1438 | 1 | 138 | 964 | 794 | 1438 | 1 | 139 | 794 | 624 | 1438 | 1 | 140 | 624 | 454 | 1438 | 1 |
| 141 | 454 | 284 | 1438 | 1 | 142 | 284 | 217 | 1438 | 1 | 143 | 1066 | 970 | 1450 | 1 | 144 | 970 | 800 | 1450 | 1 |
| 145 | 800 | 630 | 1450 | 1 | 146 | 630 | 460 | 1450 | 1 | 147 | 460 | 290 | 1450 | 1 | 148 | 290 | 223 | 1450 | 1 |
| 149 | 1051 | 955 | 1421 | 1 | 150 | 955 | 785 | 1421 | 1 | 151 | 785 | 615 | 1421 | 1 | 152 | 615 | 445 | 1421 | 1 |
| 153 | 445 | 275 | 1421 | 1 | 154 | 275 | 208 | 1421 | 1 | 155 | 1052 | 956 | 1422 | 1 | 156 | 956 | 786 | 1422 | 1 |
| 157 | 786 | 616 | 1422 | 1 | 158 | 616 | 446 | 1422 | 1 | 159 | 446 | 276 | 1422 | 1 | 160 | 276 | 209 | 1422 | 1 |
| 161 | 1062 | 966 | 1442 | 1 | 162 | 966 | 796 | 1442 | 1 | 163 | 796 | 626 | 1442 | 1 | 164 | 626 | 456 | 1442 | 1 |
| 165 | 456 | 286 | 1442 | 1 | 166 | 286 | 219 | 1442 | 1 | 167 | 1061 | 965 | 1441 | 1 | 168 | 965 | 795 | 1441 | 1 |
| 169 | 795 | 625 | 1441 | 1 | 170 | 625 | 455 | 1441 | 1 | 171 | 455 | 285 | 1441 | 1 | 172 | 285 | 218 | 1441 | 1 |
| 173 | 1075 | 979 | 1469 | 1 | 174 | 979 | 809 | 1469 | 1 | 175 | 809 | 639 | 1469 | 1 | 176 | 639 | 469 | 1469 | 1 |
| 177 | 469 | 299 | 1469 | 1 | 178 | 299 | 232 | 1469 | 1 | 179 | 1076 | 980 | 1470 | 1 | 180 | 980 | 810 | 1470 | 1 |
| 181 | 810 | 640 | 1470 | 1 | 182 | 640 | 470 | 1470 | 1 | 183 | 470 | 300 | 1470 | 1 | 184 | 300 | 233 | 1470 | 1 |
| 185 | 1081 | 985 | 1480 | 1 | 186 | 985 | 815 | 1480 | 1 | 187 | 815 | 645 | 1480 | 1 | 188 | 645 | 475 | 1480 | 1 |
| 189 | 475 | 305 | 1480 | 1 | 190 | 305 | 238 | 1480 | 1 | 191 | 878 | 708 | 1267 | 1 | 192 | 708 | 538 | 1267 | 1 |
| 193 | 538 | 368 | 1267 | 1 | 194 | 368 | 131 | 1267 | 1 | 195 | 131 | 28 | 1267 | 1 | 196 | 879 | 709 | 1268 | 1 |
| 197 | 709 | 539 | 1268 | 1 | 198 | 539 | 369 | 1268 | 1 | 199 | 369 | 132 | 1268 | 1 | 200 | 132 | 29 | 1268 | 1 |
| 201 | 891 | 721 | 1292 | 1 | 202 | 721 | 551 | 1292 | 1 | 203 | 551 | 381 | 1292 | 1 | 204 | 381 | 144 | 1292 | 1 |
| 205 | 144 | 41 | 1292 | 1 | 206 | 890 | 720 | 1291 | 1 | 207 | 720 | 550 | 1291 | 1 | 208 | 550 | 380 | 1291 | 1 |
| 209 | 380 | 143 | 1291 | 1 | 210 | 143 | 40 | 1291 | 1 | 211 | 901 | 731 | 1313 | 1 | 212 | 731 | 561 | 1313 | 1 |
| 213 | 561 | 391 | 1313 | 1 | 214 | 391 | 154 | 1313 | 1 | 215 | 154 | 51 | 1313 | 1 | 216 | 902 | 732 | 1314 | 1 |
| 217 | 732 | 562 | 1314 | 1 | | | | | | | | | | | | | | | |

Porto di Bari - Dente di attracco alla banchina Capitaneria

| Indice | Nodo I | Nodo J | Nodo K | Sezione | Indice | Nodo I | Nodo J | Nodo K | Sezione | Indice | Nodo I | Nodo J | Nodo K | Sezione | Indice | Nodo I | Nodo J | Nodo K | Sezione |
|--------|--------|--------|--------|---------|--------|--------|--------|--------|---------|--------|--------|--------|--------|---------|--------|--------|--------|--------|---------|
| | | | | | | | | | | | | | | | | | | | |
| 249 | 1106 | 1010 | 1530 | 1 | 250 | 1010 | 840 | 1530 | 1 | 251 | 840 | 670 | 1530 | 1 | 252 | 670 | 500 | 1530 | 1 |
| 253 | 500 | 330 | 1530 | 1 | 254 | 330 | 263 | 1530 | 1 | 255 | 1053 | 957 | 1431 | 1 | 256 | 957 | 787 | 1431 | 1 |
| 257 | 787 | 617 | 1431 | 1 | 258 | 617 | 447 | 1431 | 1 | 259 | 447 | 277 | 1431 | 1 | 260 | 277 | 210 | 1431 | 1 |
| 261 | 1054 | 958 | 1432 | 1 | 262 | 958 | 788 | 1432 | 1 | 263 | 788 | 618 | 1432 | 1 | 264 | 618 | 448 | 1432 | 1 |
| 265 | 448 | 278 | 1432 | 1 | 266 | 278 | 211 | 1432 | 1 | 267 | 1063 | 967 | 1447 | 1 | 268 | 967 | 797 | 1447 | 1 |
| 269 | 797 | 627 | 1447 | 1 | 270 | 627 | 457 | 1447 | 1 | 271 | 457 | 287 | 1447 | 1 | 272 | 287 | 220 | 1447 | 1 |
| 273 | 1067 | 971 | 1461 | 1 | 274 | 971 | 801 | 1461 | 1 | 275 | 801 | 631 | 1461 | 1 | 276 | 631 | 461 | 1461 | 1 |
| 277 | 461 | 291 | 1461 | 1 | 278 | 291 | 224 | 1461 | 1 | 279 | 1068 | 972 | 1462 | 1 | 280 | 972 | 802 | 1462 | 1 |
| 281 | 802 | 632 | 1462 | 1 | 282 | 632 | 462 | 1462 | 1 | 283 | 462 | 292 | 1462 | 1 | 284 | 292 | 225 | 1462 | 1 |
| 285 | 1077 | 981 | 1476 | 1 | 286 | 981 | 811 | 1476 | 1 | 287 | 811 | 641 | 1476 | 1 | 288 | 641 | 471 | 1476 | 1 |
| 289 | 471 | 301 | 1476 | 1 | 290 | 301 | 234 | 1476 | 1 | 291 | 1087 | 991 | 1495 | 1 | 292 | 991 | 821 | 1495 | 1 |
| 293 | 821 | 651 | 1495 | 1 | 294 | 651 | 481 | 1495 | 1 | 295 | 481 | 311 | 1495 | 1 | 296 | 311 | 244 | 1495 | 1 |
| 297 | 1088 | 992 | 1496 | 1 | 298 | 992 | 822 | 1496 | 1 | 299 | 822 | 652 | 1496 | 1 | 300 | 652 | 482 | 1496 | 1 |
| 301 | 482 | 312 | 1496 | 1 | 302 | 312 | 245 | 1496 | 1 | 303 | 1093 | 997 | 1505 | 1 | 304 | 997 | 827 | 1505 | 1 |
| 305 | 827 | 657 | 1505 | 1 | 306 | 657 | 487 | 1505 | 1 | 307 | 487 | 317 | 1505 | 1 | 308 | 317 | 250 | 1505 | 1 |
| 309 | 1055 | 959 | 1433 | 1 | 310 | 959 | 789 | 1433 | 1 | 311 | 789 | 619 | 1433 | 1 | 312 | 619 | 449 | 1433 | 1 |
| 313 | 449 | 279 | 1433 | 1 | 314 | 279 | 212 | 1433 | 1 | 315 | 1056 | 960 | 1434 | 1 | 316 | 960 | 790 | 1434 | 1 |
| 317 | 790 | 620 | 1434 | 1 | 318 | 620 | 450 | 1434 | 1 | 319 | 450 | 280 | 1434 | 1 | 320 | 280 | 213 | 1434 | 1 |
| 321 | 1064 | 968 | 1448 | 1 | 322 | 968 | 798 | 1448 | 1 | 323 | 798 | 628 | 1448 | 1 | 324 | 628 | 458 | 1448 | 1 |
| 325 | 458 | 288 | 1448 | 1 | 326 | 288 | 221 | 1448 | 1 | 327 | 1069 | 973 | 1463 | 1 | 328 | 973 | 803 | 1463 | 1 |
| 329 | 803 | 633 | 1463 | 1 | 330 | 633 | 463 | 1463 | 1 | 331 | 463 | 293 | 1463 | 1 | 332 | 293 | 226 | 1463 | 1 |
| 333 | 1070 | 974 | 1464 | 1 | 334 | 974 | 804 | 1464 | 1 | 335 | 804 | 634 | 1464 | 1 | 336 | 634 | 464 | 1464 | 1 |
| 337 | 464 | 294 | 1464 | 1 | 338 | 294 | 227 | 1464 | 1 | 339 | 1078 | 982 | 1477 | 1 | 340 | 982 | 812 | 1477 | 1 |
| 341 | 812 | 642 | 1477 | 1 | 342 | 642 | 472 | 1477 | 1 | 343 | 472 | 302 | 1477 | 1 | 344 | 302 | 235 | 1477 | 1 |
| 345 | 1071 | 975 | 1465 | 1 | 346 | 975 | 805 | 1465 | 1 | 347 | 805 | 635 | 1465 | 1 | 348 | 635 | 465 | 1465 | 1 |
| 349 | 465 | 295 | 1465 | 1 | 350 | 295 | 228 | 1465 | 1 | 351 | 1072 | 976 | 1466 | 1 | 352 | 976 | 806 | 1466 | 1 |
| 353 | 806 | 636 | 1466 | 1 | 354 | 636 | 466 | 1466 | 1 | 355 | 466 | 296 | 1466 | 1 | 356 | 296 | 229 | 1466 | 1 |
| 357 | 1079 | 983 | 1478 | 1 | 358 | 983 | 813 | 1478 | 1 | 359 | 813 | 643 | 1478 | 1 | 360 | 643 | 473 | 1478 | 1 |
| 361 | 473 | 303 | 1478 | 1 | 362 | 303 | 236 | 1478 | 1 | 363 | 922 | 752 | 1357 | 1 | 364 | 752 | 582 | 1357 | 1 |
| 365 | 582 | 412 | 1357 | 1 | 366 | 412 | 175 | 1357 | 1 | 367 | 175 | 72 | 1357 | 1 | 368 | 923 | 753 | 1358 | 1 |
| 369 | 753 | 583 | 1358 | 1 | 370 | 583 | 413 | 1358 | 1 | 371 | 413 | 176 | 1358 | 1 | 372 | 176 | 73 | 1358 | 1 |
| 373 | 932 | 762 | 1375 | 1 | 374 | 762 | 592 | 1375 | 1 | 375 | 592 | 422 | 1375 | 1 | 376 | 422 | 185 | 1375 | 1 |
| 377 | 185 | 82 | 1375 | 1 | 378 | 940 | 770 | 1393 | 1 | 379 | 770 | 600 | 1393 | 1 | 380 | 600 | 430 | 1393 | 1 |
| 381 | 430 | 193 | 1393 | 1 | 382 | 193 | 90 | 1393 | 1 | 383 | 941 | 771 | 1394 | 1 | 384 | 771 | 601 | 1394 | 1 |
| 385 | 601 | 431 | 1394 | 1 | 386 | 431 | 194 | 1394 | 1 | 387 | 194 | 91 | 1394 | 1 | 388 | 948 | 778 | 1407 | 1 |
| 389 | 778 | 608 | 1407 | 1 | 390 | 608 | 438 | 1407 | 1 | 391 | 438 | 201 | 1407 | 1 | 392 | 201 | 98 | 1407 | 1 |
| 393 | 952 | 782 | 1415 | 1 | 394 | 782 | 612 | 1415 | 1 | 395 | 612 | 442 | 1415 | 1 | 396 | 442 | 205 | 1415 | 1 |
| 397 | 205 | 102 | 1415 | 1 | 398 | 953 | 783 | 1416 | 1 | 399 | 783 | 613 | 1416 | 1 | 400 | 613 | 443 | 1416 | 1 |
| 401 | 443 | 206 | 1416 | 1 | 402 | 206 | 103 | 1416 | 1 | 403 | 954 | 784 | 1418 | 1 | 404 | 784 | 614 | 1418 | 1 |
| 405 | 614 | 444 | 1418 | 1 | 406 | 444 | 207 | 1418 | 1 | 407 | 207 | 104 | 1418 | 1 | 408 | 854 | 684 | 1227 | 1 |
| 413 | 855 | 685 | 1228 | 1 | 414 | 685 | 515 | 1228 | 1 | 415 | 515 | 345 | 1228 | 1 | 416 | 345 | 108 | 1228 | 1 |
| 417 | 108 | 5 | 1228 | 1 | 418 | 865 | 695 | 1244 | 1 | 419 | 695 | 525 | 1244 | 1 | 420 | 525 | 355 | 1244 | 1 |
| 421 | 355 | 118 | 1244 | 1 | 422 | 118 | 15 | 1244 | 1 | 423 | 870 | 700 | 1259 | 1 | 424 | 700 | 530 | 1259 | 1 |
| 425 | 530 | 360 | 1259 | 1 | 426 | 360 | 123 | 1259 | 1 | 427 | 123 | 20 | 1259 | 1 | 428 | 871 | 701 | 1260 | 1 |
| 429 | 701 | 531 | 1260 | 1 | 430 | 531 | 361 | 1260 | 1 | 431 | 361 | 124 | 1260 | 1 | 432 | 124 | 21 | 1260 | 1 |
| 433 | 883 | 713 | 1284 | 1 | 434 | 713 | 543 | 1284 | 1 | 435 | 543 | 373 | 1284 | 1 | 436 | 373 | 136 | 1284 | 1 |
| 437 | 136 | 33 | 1284 | 1 | 438 | 882 | 712 | 1283 | 1 | 439 | 712 | 542 | 1283 | 1 | 440 | 542 | 372 | 1283 | 1 |
| 441 | 372 | 135 | 1283 | 1 | 442 | 135 | 32 | 1283 | 1 | 443 | 893 | 723 | 1305 | 1 | 444 | 723 | 553 | 1305 | 1 |
| 445 | 553 | 383 | 1305 | 1 | 446 | 383 | 146 | 1305 | 1 | 447 | 146 | 43 | 1305 | 1 | 448 | 894 | 724 | 1306 | 1 |
| 449 | 724 | 554 | 1306 | 1 | 450 | 554 | 384 | 1306 | 1 | 451 | 384 | 147 | 1306 | 1 | 452 | 147 | 44 | 1306 | 1 |
| 453 | 906 | 736 | 1330 | 1 | 454 | 736 | 566 | 1330 | 1 | 455 | 566 | 396 | 1330 | 1 | 456 | 396 | 159 | 1330 | 1 |
| 457 | 159 | 56 | 1330 | 1 | 458 | 905 | 735 | 1329 | 1 | 459 | 735 | 565 | 1329 | 1 | 460 | 565 | 395 | 1329 | 1 |
| 461 | 395 | 158 | 1329 | 1 | 462 | 158 | 55 | 1329 | 1 | 463 | 916 | 746 | 1347 | 1 | 464 | 746 | 576 | 1347 | 1 |
| 465 | 576 | 406 | 1347 | 1 | 466 | 406 | 169 | 1347 | 1 | 467 | 169 | 66 | 1347 | 1 | 468 | 917 | 747 | 1348 | 1 |
| 469 | 747 | 577 | 1348 | 1 | 470 | 577 | 407 | 1348 | 1 | 471 | 407 | 170 | 1348 | 1 | 472 | 170 | 67 | 1348 | 1 |
| 473 | 927 | 757 | 1368 | 1 | 474 | 757 | 587 | 1368 | 1 | 475 | 587 | 417 | 1368 | 1 | 476 | 417 | 180 | 1368 | 1 |
| 477 | 180 | 77 | 1368 | 1 | 478 | 926 | 756 | 1367 | 1 | 479 | 756 | 586 | 1367 | 1 | 480 | 586 | 416 | 1367 | 1 |
| 481 | 416 | 179 | 1367 | 1 | 482 | 179 | 76 | 1367 | 1 | 483 | 938 | 768 | 1387 | 1 | 484 | 768 | 598 | 1387 | 1 |
| 485 | 598 | 428 | 1387 | 1 | 486 | 428 | 191 | 1387 | 1 | 487 | 191 | 88 | 1387 | 1 | 488 | 939 | 769 | 1388 | 1 |
| 489 | 769 | 599 | 1388 | 1 | 490 | 599 | 429 | 1388 | 1 | 491 | 429 | 192 | 1388 | 1 | 492 | 192 | 89 | 1388 | 1 |
| 493 | 947 | 777 | 1404 | 1 | 494 | 777 | 607 | 1404 | 1 | 495 | 607 | 437 | 1404 | 1 | 496 | 437 | 200 | 1404 | 1 |
| 497 | 200 | 97 | 1404 | 1 | 498 | 946 | 776 | 1403 | 1 | 499 | 776 | 606 | 1403 | 1 | 500 | 606 | 436 | 1403 | 1 |
| 501 | 436 | 199 | 1403 | 1 | 502 | 199 | 96 | 1403 | 1 | 503 | 852 | 682 | 1225 | 1 | 504 | 682 | 512 | 1225 | 1 |
| 505 | 512 | 342 | 1225 | 1 | 506 | 342 | 105 | 1225 | 1 | 507 | 105 | 2 | 1225 | 1 | 508 | 853 | 683 | 1226 | 1 |
| 509 | 683 | 513 | 1226 | 1 | 510 | 513 | 343 | 1226 | 1 | 511 | 343 | 106 | 1226 | 1 | 512 | 106 | 3 | 1226 | 1 |
| 513 | 864 | 694 | 1243 | 1 | 514 | | | | | | | | | | | | | | |

| Indice | Nodo I | Nodo J | Nodo K | Sezione | Indice | Nodo I | Nodo J | Nodo K | Sezione | Indice | Nodo I | Nodo J | Nodo K | Sezione | Indice | Nodo I | Nodo J | Nodo K | Sezione |
|--------|--------|--------|--------|---------|--------|--------|--------|--------|---------|--------|--------|--------|--------|---------|--------|--------|--------|--------|---------|
| 641 | 378 | 141 | 1289 | 1 | 642 | 141 | 38 | 1289 | 1 | 643 | 899 | 729 | 1311 | 1 | 644 | 729 | 559 | 1311 | 1 |
| 645 | 559 | 389 | 1311 | 1 | 646 | 389 | 152 | 1311 | 1 | 647 | 152 | 49 | 1311 | 1 | 648 | 900 | 730 | 1312 | 1 |
| 649 | 730 | 560 | 1312 | 1 | 650 | 560 | 390 | 1312 | 1 | 651 | 390 | 153 | 1312 | 1 | 652 | 153 | 50 | 1312 | 1 |
| 653 | 912 | 742 | 1336 | 1 | 654 | 742 | 572 | 1336 | 1 | 655 | 572 | 402 | 1336 | 1 | 656 | 402 | 165 | 1336 | 1 |
| 657 | 165 | 62 | 1336 | 1 | 658 | 911 | 741 | 1335 | 1 | 659 | 741 | 571 | 1335 | 1 | 660 | 571 | 401 | 1335 | 1 |
| 661 | 401 | 164 | 1335 | 1 | 662 | 164 | 61 | 1335 | 1 | 663 | 924 | 754 | 1359 | 1 | 664 | 754 | 584 | 1359 | 1 |
| 665 | 584 | 414 | 1359 | 1 | 666 | 414 | 177 | 1359 | 1 | 667 | 177 | 74 | 1359 | 1 | 668 | 925 | 755 | 1360 | 1 |
| 669 | 755 | 585 | 1360 | 1 | 670 | 585 | 415 | 1360 | 1 | 671 | 415 | 178 | 1360 | 1 | 672 | 178 | 75 | 1360 | 1 |
| 673 | 933 | 763 | 1376 | 1 | 674 | 763 | 593 | 1376 | 1 | 675 | 593 | 423 | 1376 | 1 | 676 | 423 | 186 | 1376 | 1 |
| 677 | 186 | 83 | 1376 | 1 | 678 | 862 | 692 | 1235 | 1 | 679 | 692 | 522 | 1235 | 1 | 680 | 522 | 352 | 1235 | 1 |
| 681 | 352 | 115 | 1235 | 1 | 682 | 115 | 12 | 1235 | 1 | 683 | 863 | 693 | 1236 | 1 | 684 | 693 | 523 | 1236 | 1 |
| 685 | 523 | 353 | 1236 | 1 | 686 | 353 | 116 | 1236 | 1 | 687 | 116 | 13 | 1236 | 1 | 688 | 869 | 699 | 1248 | 1 |
| 689 | 699 | 529 | 1248 | 1 | 690 | 529 | 359 | 1248 | 1 | 691 | 359 | 122 | 1248 | 1 | 692 | 122 | 19 | 1248 | 1 |
| 693 | 856 | 686 | 1229 | 1 | 694 | 686 | 516 | 1229 | 1 | 695 | 516 | 346 | 1229 | 1 | 696 | 346 | 109 | 1229 | 1 |
| 697 | 109 | 6 | 1229 | 1 | 698 | 857 | 687 | 1230 | 1 | 699 | 687 | 517 | 1230 | 1 | 700 | 517 | 347 | 1230 | 1 |
| 701 | 347 | 110 | 1230 | 1 | 702 | 110 | 7 | 1230 | 1 | 703 | 866 | 696 | 1245 | 1 | 704 | 696 | 526 | 1245 | 1 |
| 705 | 526 | 356 | 1245 | 1 | 706 | 356 | 119 | 1245 | 1 | 707 | 119 | 16 | 1245 | 1 | 708 | 872 | 702 | 1261 | 1 |
| 709 | 702 | 532 | 1261 | 1 | 710 | 532 | 362 | 1261 | 1 | 711 | 362 | 125 | 1261 | 1 | 712 | 125 | 22 | 1261 | 1 |
| 713 | 873 | 703 | 1262 | 1 | 714 | 703 | 533 | 1262 | 1 | 715 | 533 | 363 | 1262 | 1 | 716 | 363 | 126 | 1262 | 1 |
| 717 | 126 | 23 | 1262 | 1 | 718 | 885 | 715 | 1286 | 1 | 719 | 715 | 545 | 1286 | 1 | 720 | 545 | 375 | 1286 | 1 |
| 721 | 375 | 138 | 1286 | 1 | 722 | 138 | 35 | 1286 | 1 | 723 | 884 | 714 | 1285 | 1 | 724 | 714 | 544 | 1285 | 1 |
| 725 | 544 | 374 | 1285 | 1 | 726 | 374 | 137 | 1285 | 1 | 727 | 137 | 34 | 1285 | 1 | 728 | 895 | 725 | 1307 | 1 |
| 729 | 725 | 555 | 1307 | 1 | 730 | 555 | 385 | 1307 | 1 | 731 | 385 | 148 | 1307 | 1 | 732 | 148 | 45 | 1307 | 1 |
| 733 | 896 | 726 | 1308 | 1 | 734 | 726 | 556 | 1308 | 1 | 735 | 556 | 386 | 1308 | 1 | 736 | 386 | 149 | 1308 | 1 |
| 737 | 149 | 46 | 1308 | 1 | 738 | 908 | 738 | 1332 | 1 | 739 | 738 | 568 | 1332 | 1 | 740 | 568 | 398 | 1332 | 1 |
| 741 | 398 | 161 | 1332 | 1 | 742 | 161 | 58 | 1332 | 1 | 743 | 907 | 737 | 1331 | 1 | 744 | 737 | 567 | 1331 | 1 |
| 745 | 567 | 397 | 1331 | 1 | 746 | 397 | 160 | 1331 | 1 | 747 | 160 | 57 | 1331 | 1 | 748 | 1112 | 1016 | 1542 | 1 |
| 749 | 1016 | 846 | 1542 | 1 | 750 | 846 | 676 | 1542 | 1 | 751 | 676 | 506 | 1542 | 1 | 752 | 506 | 336 | 1542 | 1 |
| 753 | 336 | 269 | 1542 | 1 | 754 | 1111 | 1015 | 1540 | 1 | 755 | 1015 | 845 | 1540 | 1 | 756 | 845 | 675 | 1540 | 1 |
| 757 | 675 | 505 | 1540 | 1 | 758 | 505 | 335 | 1540 | 1 | 759 | 335 | 268 | 1540 | 1 | 760 | 1113 | 1017 | 1544 | 1 |
| 761 | 1017 | 847 | 1544 | 1 | 762 | 847 | 677 | 1544 | 1 | 763 | 677 | 507 | 1544 | 1 | 764 | 507 | 337 | 1544 | 1 |
| 765 | 337 | 270 | 1544 | 1 | 766 | 1114 | 1018 | 1546 | 1 | 767 | 1018 | 848 | 1546 | 1 | 768 | 848 | 678 | 1546 | 1 |
| 769 | 678 | 508 | 1546 | 1 | 770 | 508 | 338 | 1546 | 1 | 771 | 338 | 271 | 1546 | 1 | 772 | 1108 | 1012 | 1534 | 1 |
| 773 | 1012 | 842 | 1534 | 1 | 774 | 842 | 672 | 1534 | 1 | 775 | 672 | 502 | 1534 | 1 | 776 | 502 | 332 | 1534 | 1 |
| 777 | 332 | 265 | 1534 | 1 | 778 | 1107 | 1011 | 1532 | 1 | 779 | 1011 | 841 | 1532 | 1 | 780 | 841 | 671 | 1532 | 1 |
| 781 | 671 | 501 | 1532 | 1 | 782 | 501 | 331 | 1532 | 1 | 783 | 331 | 264 | 1532 | 1 | 784 | 1109 | 1013 | 1536 | 1 |
| 785 | 1013 | 843 | 1536 | 1 | 786 | 843 | 673 | 1536 | 1 | 787 | 673 | 503 | 1536 | 1 | 788 | 503 | 333 | 1536 | 1 |
| 789 | 333 | 266 | 1536 | 1 | 790 | 1110 | 1014 | 1538 | 1 | 791 | 1014 | 844 | 1538 | 1 | 792 | 844 | 674 | 1538 | 1 |
| 793 | 674 | 504 | 1538 | 1 | 794 | 504 | 334 | 1538 | 1 | 795 | 334 | 267 | 1538 | 1 | 796 | 1100 | 1004 | 1518 | 1 |
| 797 | 1004 | 834 | 1518 | 1 | 798 | 834 | 664 | 1518 | 1 | 799 | 664 | 494 | 1518 | 1 | 800 | 494 | 324 | 1518 | 1 |
| 801 | 324 | 257 | 1518 | 1 | 802 | 1099 | 1003 | 1516 | 1 | 803 | 1003 | 833 | 1516 | 1 | 804 | 833 | 663 | 1516 | 1 |
| 805 | 663 | 493 | 1516 | 1 | 806 | 493 | 323 | 1516 | 1 | 807 | 323 | 256 | 1516 | 1 | 808 | 1101 | 1005 | 1520 | 1 |
| 809 | 1005 | 835 | 1520 | 1 | 810 | 835 | 665 | 1520 | 1 | 811 | 665 | 495 | 1520 | 1 | 812 | 495 | 325 | 1520 | 1 |
| 813 | 325 | 258 | 1520 | 1 | 814 | 1102 | 1006 | 1522 | 1 | 815 | 1006 | 836 | 1522 | 1 | 816 | 836 | 666 | 1522 | 1 |
| 817 | 666 | 496 | 1522 | 1 | 818 | 496 | 326 | 1522 | 1 | 819 | 326 | 259 | 1522 | 1 | 820 | 935 | 765 | 1380 | 1 |
| 821 | 765 | 595 | 1380 | 1 | 822 | 595 | 425 | 1380 | 1 | 823 | 425 | 188 | 1380 | 1 | 824 | 188 | 85 | 1380 | 1 |
| 825 | 934 | 764 | 1378 | 1 | 826 | 764 | 594 | 1378 | 1 | 827 | 594 | 424 | 1378 | 1 | 828 | 424 | 187 | 1378 | 1 |
| 829 | 187 | 84 | 1378 | 1 | 830 | 936 | 766 | 1382 | 1 | 831 | 766 | 596 | 1382 | 1 | 832 | 596 | 426 | 1382 | 1 |
| 833 | 426 | 189 | 1382 | 1 | 834 | 189 | 86 | 1382 | 1 | 835 | 937 | 767 | 1384 | 1 | 836 | 767 | 597 | 1384 | 1 |
| 837 | 597 | 427 | 1384 | 1 | 838 | 427 | 190 | 1384 | 1 | 839 | 190 | 87 | 1384 | 1 | 840 | 1083 | 987 | 1484 | 1 |
| 841 | 987 | 817 | 1484 | 1 | 842 | 817 | 647 | 1484 | 1 | 843 | 647 | 477 | 1484 | 1 | 844 | 477 | 307 | 1484 | 1 |
| 845 | 307 | 240 | 1484 | 1 | 846 | 1082 | 986 | 1482 | 1 | 847 | 986 | 816 | 1482 | 1 | 848 | 816 | 646 | 1482 | 1 |
| 849 | 646 | 476 | 1482 | 1 | 850 | 476 | 306 | 1482 | 1 | 851 | 306 | 239 | 1482 | 1 | 852 | 1084 | 988 | 1486 | 1 |
| 853 | 988 | 818 | 1486 | 1 | 854 | 818 | 648 | 1486 | 1 | 855 | 648 | 478 | 1486 | 1 | 856 | 478 | 308 | 1486 | 1 |
| 857 | 308 | 241 | 1486 | 1 | 858 | 1085 | 989 | 1488 | 1 | 859 | 989 | 819 | 1488 | 1 | 860 | 819 | 649 | 1488 | 1 |
| 861 | 649 | 479 | 1488 | 1 | 862 | 479 | 309 | 1488 | 1 | 863 | 309 | 242 | 1488 | 1 | 864 | 1115 | 1019 | 1549 | 1 |
| 865 | 1019 | 849 | 1549 | 1 | 866 | 849 | 679 | 1549 | 1 | 867 | 679 | 509 | 1549 | 1 | 868 | 509 | 339 | 1549 | 1 |
| 869 | 339 | 272 | 1549 | 1 | 870 | 1116 | 1020 | 1550 | 1 | 871 | 1020 | 850 | 1550 | 1 | 872 | 850 | 680 | 1550 | 1 |
| 873 | 680 | 510 | 1550 | 1 | 874 | 510 | 340 | 1550 | 1 | 875 | 340 | 273 | 1550 | 1 | 876 | 1117 | 1021 | 1552 | 1 |
| 877 | 1021 | 851 | 1552 | 1 | 878 | 851 | 681 | 1552 | 1 | 879 | 681 | 511 | 1552 | 1 | 880 | 511 | 341 | 1552 | 1 |
| 881 | 341 | 274 | 1552 | 1 | 882 | 1151 | 1169 | 1212 | 2 | 883 | 1169 | 1181 | 1212 | 2 | 884 | 1181 | 1190 | 1212 | 2 |
| 885 | 1190 | 1198 | 1212 | 2 | 886 | 1198 | 1204 | 1212 | 2 | 887 | 1204 | 1207 | 1212 | 2 | 888 | 1152 | 1170 | 1212 | 2 |
| 889 | 1170 | 1182 | 1212 | 2 | 890 | 1182 | 1191 | 1212 | 2 | 891 | 1191 | 1199 | 1212 | 2 | 892 | 1199 | 1205 | 1212 | 2 |
| 893 | 1153 | 1171 | 1212 | 2 | 894 | 1171 | 1183 | 1212 | 2 | 895 | 1183 | 1192 | 1212 | 2 | 896 | 1192 | 1200 | 1212 | 2 |
| 897 | 1200 | 1202 | 1212 | 2 | 898 | 1154 | 1172 | 1212 | 2 | 899 | 1172 | 1184 | 1212 | 2 | 900 | 1184 | 1193 | 1212 | 2 |
| 901 | 1193 | 1201 | 1212 | 2 | 902 | 1155 | 1173 | 1212 | 2 | 903 | 1173 | 1185 | 1212 | 2 | 904 | 1185 | 1194 | 1212 | |

| Indice | Nodo I | Nodo J | Nodo K | Sezione | Indice | Nodo I | Nodo J | Nodo K | Sezione | Indice | Nodo I | Nodo J | Nodo K | Sezione | Indice | Nodo I | Nodo J | Nodo K | Sezione | Indice | | |
|--------|--------|--------|--------|---------|--------|--------|--------|--------|---------|--------|--------|--------|--------|---------|--------|--------|--------|--------|---------|--------|------|---|
| 1033 | 1177 | 1187 | 1212 | 2 | | 1034 | 1159 | 1164 | 1212 | 2 | | 1035 | 1164 | 1178 | 1212 | 2 | | 1036 | 1160 | 1165 | 1212 | 2 |
| 1037 | 1165 | 1175 | 1212 | 2 | | 1038 | 1157 | 1162 | 1212 | 2 | | 1039 | 1162 | 1176 | 1212 | 2 | | 1040 | 1176 | 1188 | 1212 | 2 |
| 1041 | 1186 | 1176 | 1212 | 3 | | 1042 | 1176 | 1177 | 1212 | 3 | | 1043 | 1177 | 1178 | 1212 | 3 | | 1044 | 1174 | 1162 | 1212 | 3 |
| 1045 | 1162 | 1163 | 1212 | 3 | | 1046 | 1163 | 1164 | 1212 | 3 | | 1047 | 1164 | 1165 | 1212 | 3 | | 1048 | 1165 | 1166 | 1212 | 3 |

8.5 Masse

Nodo: nodo su cui è applicata la massa.

Massa X: massa per la componente di spostamento lungo l'asse X. [daN/(cm/s²)]

Massa Y: massa per la componente di spostamento lungo l'asse Y. [daN/(cm/s²)]

Massa Z: massa per la componente di spostamento lungo l'asse Z. [daN/(cm/s²)]

Momento Z: massa momento d'inerzia per la componente di rotazione attorno all'asse Z. [[daN/(cm/s²)]*cm²]

| Nodo | Massa X | Massa Y | Massa Z | Momento Z | Nodo | Massa X | Massa Y | Massa Z | Momento Z |
|------|---------|---------|---------|-----------|------|---------|---------|---------|-----------|
| 1151 | 32.228 | 32.228 | 0 | 0 | 1152 | 46.777 | 46.777 | 0 | 0 |
| 1153 | 46.777 | 46.777 | 0 | 0 | 1154 | 46.777 | 46.777 | 0 | 0 |
| 1155 | 46.777 | 46.777 | 0 | 0 | 1156 | 46.71 | 46.71 | 0 | 0 |
| 1157 | 38.771 | 38.771 | 0 | 0 | 1158 | 38.771 | 38.771 | 0 | 0 |
| 1159 | 38.771 | 38.771 | 0 | 0 | 1160 | 38.771 | 38.771 | 0 | 0 |
| 1161 | 35.717 | 35.717 | 0 | 0 | 1162 | 62.315 | 62.315 | 0 | 0 |
| 1163 | 62.174 | 62.174 | 0 | 0 | 1164 | 61.606 | 61.606 | 0 | 0 |
| 1165 | 46.934 | 46.934 | 0 | 0 | 1166 | 51.758 | 51.758 | 0 | 0 |
| 1169 | 48.927 | 48.927 | 0 | 0 | 1170 | 71.602 | 71.602 | 0 | 0 |
| 1171 | 71.602 | 71.602 | 0 | 0 | 1172 | 71.602 | 71.602 | 0 | 0 |
| 1173 | 71.602 | 71.602 | 0 | 0 | 1174 | 71.63 | 71.63 | 0 | 0 |
| 1175 | 52.192 | 52.192 | 0 | 0 | 1176 | 66.871 | 66.871 | 0 | 0 |
| 1177 | 52.116 | 52.116 | 0 | 0 | 1178 | 67.367 | 67.367 | 0 | 0 |
| 1181 | 48.927 | 48.927 | 0 | 0 | 1182 | 71.602 | 71.602 | 0 | 0 |
| 1183 | 71.602 | 71.602 | 0 | 0 | 1184 | 71.602 | 71.602 | 0 | 0 |
| 1185 | 71.602 | 71.602 | 0 | 0 | 1186 | 75.596 | 75.596 | 0 | 0 |
| 1187 | 52.214 | 52.214 | 0 | 0 | 1188 | 64.474 | 64.474 | 0 | 0 |
| 1190 | 48.927 | 48.927 | 0 | 0 | 1191 | 71.602 | 71.602 | 0 | 0 |
| 1192 | 71.602 | 71.602 | 0 | 0 | 1193 | 73.823 | 73.823 | 0 | 0 |
| 1194 | 56.816 | 56.816 | 0 | 0 | 1195 | 69.965 | 69.965 | 0 | 0 |
| 1196 | 57.158 | 57.158 | 0 | 0 | 1198 | 48.009 | 48.009 | 0 | 0 |
| 1199 | 70.526 | 70.526 | 0 | 0 | 1200 | 54.317 | 54.317 | 0 | 0 |
| 1201 | 69.977 | 69.977 | 0 | 0 | 1202 | 54.494 | 54.494 | 0 | 0 |
| 1204 | 35.742 | 35.742 | 0 | 0 | 1205 | 67.191 | 67.191 | 0 | 0 |
| 1207 | 29.485 | 29.485 | 0 | 0 | | | | | |

8.6 Masse di piano

Quota: quota, livello o falda, a cui compete la massa risultante.

Massa X: massa per la componente di spostamento lungo l'asse X. [daN/(cm/s²)]

Massa Y: massa per la componente di spostamento lungo l'asse Y. [daN/(cm/s²)]

| Quota | Massa X | Massa Y | Quota | Massa X | Massa Y |
|--------------|---------|---------|----------|----------|----------|
| Fondale -680 | 0 | 0 | banchina | 2794.397 | 2794.397 |

8.7 Gusci

8.7.1 Caratteristiche meccaniche gusci

Indice: numero dell'elemento nell'insieme che lo contiene.

Comportamento: comportamento del materiale.

E1: modulo di elasticità longitudinale, lungo l'asse 1 del sistema di riferimento locale. [daN/cm²]

v: modulo di Poisson. Il valore è adimensionale.

E2: modulo di elasticità longitudinale, lungo l'asse 2 del sistema di riferimento locale. [daN/cm²]

G: modulo di elasticità tangenziale. [daN/cm²]

α: coefficiente di dilatazione termica longitudinale. [°C-1]

Peso unitario: peso per unità di volume, riferito allo spessore membranale. [daN/cm³]

| Indice | Comportamento | E1 | v | E2 | G | α | Peso unitario |
|--------|---------------|--------|-----|----|---|---------|---------------|
| 1 | Isotropo | 346255 | 0.1 | 0 | 0 | 0.00001 | 0 |

8.7.2 Definizioni gusci

In.: numero dell'elemento nell'insieme che lo contiene.

Nodo I: primo nodo di definizione dell'elemento.

Nodo J: secondo nodo di definizione dell'elemento.

Nodo L: terzo nodo di definizione dell'elemento; nel caso di elementi triangolari non è definito.

Nodo K: ultimo nodo di definizione dell'elemento.

Sp.mem..: spessore membranale dell'elemento. [cm]

Sp.fless..: spessore flessionale dell'elemento. [cm]

Tm: variazione termica nel piano medio dell'elemento. [°C]

Mat.: caratteristiche meccaniche dell'elemento.

Ind.: numero dell'elemento nell'insieme che lo contiene.

| In. | Nodo I | Nodo J | Nodo L | Nodo K | Sp.mem. | Sp.fless. | Tm | Mat. | Ind. |
|-----|--------|--------|--------|--------|---------|-----------|----|------|------|
| 1 | 1140 | 1172 | | 1171 | 40 | 40 | 0 | 1 | |
| 3 | 1189 | 1191 | | 1197 | 40 | 40 | 0 | 1 | |
| 5 | 1150 | 1170 | | 1168 | 40 | 40 | 0 | 1 | |
| 7 | 1170 | 1150 | | 1139 | 40 | 40 | 0 | 1 | |
| 9 | 1141 | 1173 | | 1172 | 40 | 40 | 0 | 1 | |
| 11 | 1205 | 1203 | | 1199 | 40 | 40 | 0 | 1 | |
| 13 | 1203 | 1208 | | 1206 | 40 | 40 | 0 | 1 | |
| 15 | 1185 | 1186 | | 1194 | 40 | 40 | 0 | 1 | |
| 17 | 1149 | 1166 | | 1148 | 40 | 40 | 0 | 1 | |
| 19 | 1199 | 1202 | | 1205 | 40 | 40 | 0 | 1 | |
| 21 | 1182 | 1168 | | 1170 | 40 | 40 | 0 | 1 | |
| 23 | 1170 | 1183 | | 1182 | 40 | 40 | 0 | 1 | |
| 25 | 1182 | 1183 | | 1191 | 40 | 40 | 0 | 1 | |
| 27 | 1200 | 1191 | | 1192 | 40 | 40 | 0 | 1 | |
| 29 | 1205 | 1202 | | 1208 | 40 | 40 | 0 | 1 | |
| 31 | 1172 | 1140 | | 1141 | 40 | 40 | 0 | 1 | |
| 33 | 1184 | 1183 | | 1172 | 40 | 40 | 0 | 1 | |
| 35 | 1183 | 1184 | | 1192 | 40 | 40 | 0 | 1 | |
| 37 | 1202 | 1199 | | 1200 | 40 | 40 | 0 | 1 | |
| 39 | 1194 | 1184 | | 1185 | 40 | 40 | 0 | 1 | |
| 41 | 1173 | 1141 | | 1142 | 40 | 40 | 0 | 1 | |
| 43 | 1172 | 1185 | | 1184 | 40 | 40 | 0 | 1 | |
| 45 | 1144 | 1163 | | 1162 | 40 | 40 | 0 | 1 | |
| 47 | 1196 | 1208 | | 1201 | 40 | 40 | 0 | 1 | |
| 49 | 1174 | 1142 | | 1143 | 40 | 40 | 0 | 1 | |
| 51 | 1184 | 1194 | | 1193 | 40 | 40 | 0 | 1 | |
| 53 | 1195 | 1208 | | 1196 | 40 | 40 | 0 | 1 | |
| 55 | 1193 | 1196 | | 1201 | 40 | 40 | 0 | 1 | |
| 57 | 1163 | 1176 | | 1162 | 40 | 40 | 0 | 1 | |
| 59 | 1186 | 1176 | | 1188 | 40 | 40 | 0 | 1 | |
| 61 | 1208 | 1195 | | 1167 | 40 | 40 | 0 | 1 | |
| 63 | 1167 | 1195 | | 1188 | 40 | 40 | 0 | 1 | |
| 65 | 1167 | 1188 | | 1187 | 40 | 40 | 0 | 1 | |
| 67 | 1164 | 1145 | | 1146 | 40 | 40 | 0 | 1 | |
| 69 | 1167 | 1187 | | 1178 | 40 | 40 | 0 | 1 | |
| 71 | 1165 | 1146 | | 1147 | 40 | 40 | 0 | 1 | |
| 73 | 1176 | 1174 | | 1162 | 40 | 40 | 0 | 1 | |
| 75 | 1163 | 1144 | | 1145 | 40 | 40 | 0 | 1 | |
| 77 | 1175 | 1164 | | 1165 | 40 | 40 | 0 | 1 | |
| 79 | 1146 | 1165 | | 1164 | 40 | 40 | 0 | 1 | |
| 81 | 1166 | 1175 | | 1165 | 40 | 40 | 0 | 1 | |
| 83 | 1163 | 1178 | | 1177 | 40 | 40 | 0 | 1 | |

| In. | Nodo I | Nodo J | Nodo L | Nodo K | Sp.mem. | Sp.fless. | Tm | Mat. | Ind. |
|-----|--------|--------|--------|--------|---------|-----------|----|------|------|
| 2 | 1183 | 1170 | | 1171 | 40 | 40 | 0 | 1 | |
| 4 | 1180 | 1182 | | 1189 | 40 | 40 | 0 | 1 | |
| 6 | 1139 | 1171 | | 1170 | 40 | 40 | 0 | 1 | |
| 8 | 1139 | 1150 | | 1138 | 40 | 40 | 0 | 1 | |
| 10 | 1191 | 1189 | | 1182 | 40 | 40 | 0 | 1 | |
| 12 | 1185 | 1172 | | 1173 | 40 | 40 | 0 | 1 | |
| 14 | 1201 | 1200 | | 1193 | 40 | 40 | 0 | 1 | |
| 16 | 1148 | 1166 | | 1147 | 40 | 40 | 0 | 1 | |
| 18 | 1166 | 1149 | | 1167 | 40 | 40 | 0 | 1 | |
| 20 | 1206 | 1208 | | 1209 | 40 | 40 | 0 | 1 | |
| 22 | 1171 | 1139 | | 1140 | 40 | 40 | 0 | 1 | |
| 24 | 1168 | 1182 | | 1180 | 40 | 40 | 0 | 1 | |
| 26 | 1199 | 1197 | | 1191 | 40 | 40 | 0 | 1 | |
| 28 | 1199 | 1203 | | 1197 | 40 | 40 | 0 | 1 | |
| 30 | 1203 | 1205 | | 1208 | 40 | 40 | 0 | 1 | |
| 32 | 1171 | 1172 | | 1183 | 40 | 40 | 0 | 1 | |
| 34 | 1192 | 1191 | | 1183 | 40 | 40 | 0 | 1 | |
| 36 | 1191 | 1200 | | 1199 | 40 | 40 | 0 | 1 | |
| 38 | 1192 | 1193 | | 1200 | 40 | 40 | 0 | 1 | |
| 40 | 1201 | 1208 | | 1202 | 40 | 40 | 0 | 1 | |
| 42 | 1142 | 1174 | | 1173 | 40 | 40 | 0 | 1 | |
| 44 | 1193 | 1192 | | 1184 | 40 | 40 | 0 | 1 | |
| 46 | 1195 | 1194 | | 1186 | 40 | 40 | 0 | 1 | |
| 48 | 1200 | 1201 | | 1202 | 40 | 40 | 0 | 1 | |
| 50 | 1186 | 1185 | | 1174 | 40 | 40 | 0 | 1 | |
| 52 | 1173 | 1174 | | 1185 | 40 | 40 | 0 | 1 | |
| 54 | 1196 | 1193 | | 1194 | 40 | 40 | 0 | 1 | |
| 56 | 1178 | 1163 | | 1164 | 40 | 40 | 0 | 1 | |
| 58 | 1143 | 1162 | | 1174 | 40 | 40 | 0 | 1 | |
| 60 | 1186 | 1188 | | 1195 | 40 | 40 | 0 | 1 | |
| 62 | 1194 | 1195 | | 1196 | 40 | 40 | 0 | 1 | |
| 64 | 1176 | 1186 | | 1174 | 40 | 40 | 0 | 1 | |
| 66 | 1187 | 1176 | | 1177 | 40 | 40 | 0 | 1 | |
| 68 | 1166 | 1167 | | 1175 | 40 | 40 | 0 | 1 | |
| 70 | 1167 | 1178 | | 1175 | 40 | 40 | 0 | 1 | |
| 72 | 1187 | 1188 | | 1176 | 40 | 40 | 0 | 1 | |
| 74 | 1162 | 1143 | | 1144 | 40 | 40 | 0 | 1 | |
| 76 | 1145 | 1164 | | 1163 | 40 | 40 | 0 | 1 | |
| 78 | 1175 | 1178 | | 1164 | 40 | 40 | 0 | 1 | |
| 80 | 1147 | 1166 | | 1165 | 40 | 40 | 0 | 1 | |
| 82 | 1176 | 1163 | | 1177 | 40 | 40 | 0 | 1 | |
| 84 | 1178 | 1187 | | 1177 | 40 | 40 | 0 | 1 | |

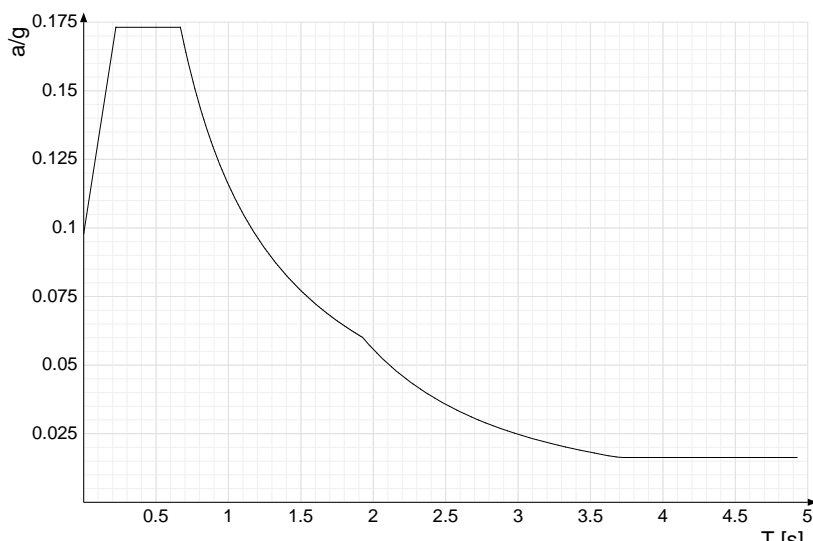
8.8 Accelerazioni spettrali

Ind.vertice: Indice del valore.

T: Periodo di vibrazione. [s]

a/g: Accelerazione spettrale normalizzata ottenuta dividendo l'accelerazione spettrale per l'accelerazione di gravità. Il valore è adimensionale.

Sisma X SLV



| Ind.vertice | T | a/g |
|-------------|-------|-------|
| 1 | 0 | 0.098 |
| 5 | 0.693 | 0.167 |
| 9 | 0.743 | 0.156 |
| 13 | 0.793 | 0.146 |
| 17 | 0.843 | 0.137 |
| 21 | 0.893 | 0.13 |
| 25 | 0.943 | 0.123 |
| 29 | 0.992 | 0.117 |
| 33 | 1.042 | 0.111 |
| 37 | 1.092 | 0.106 |
| 41 | 1.142 | 0.101 |
| 45 | 1.192 | 0.097 |
| 49 | 1.241 | 0.093 |

| Ind.vertice | T | a/g |
|-------------|-------|-------|
| 2 | 0.223 | 0.173 |
| 6 | 0.706 | 0.164 |
| 10 | 0.756 | 0.153 |
| 14 | 0.806 | 0.144 |
| 18 | 0.855 | 0.135 |
| 22 | 0.905 | 0.128 |
| 26 | 0.955 | 0.121 |
| 30 | 1.005 | 0.115 |
| 34 | 1.055 | 0.11 |
| 38 | 1.104 | 0.105 |
| 42 | 1.154 | 0.1 |
| 46 | 1.204 | 0.096 |
| 50 | 1.254 | 0.092 |

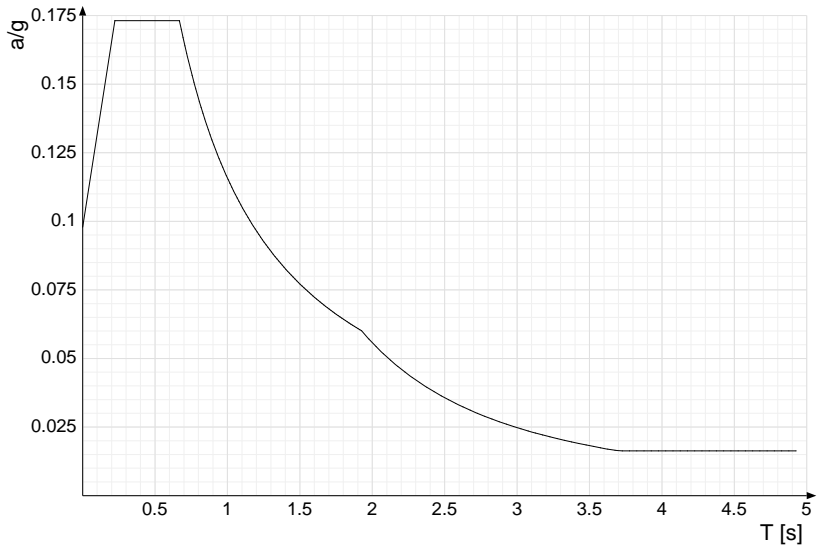
| Ind.vertice | T | a/g |
|-------------|-------|-------|
| 3 | 0.669 | 0.173 |
| 7 | 0.718 | 0.161 |
| 11 | 0.768 | 0.151 |
| 15 | 0.818 | 0.142 |
| 19 | 0.868 | 0.133 |
| 23 | 0.918 | 0.126 |
| 27 | 0.967 | 0.12 |
| 31 | 1.017 | 0.114 |
| 35 | 1.067 | 0.109 |
| 39 | 1.117 | 0.104 |
| 43 | 1.167 | 0.099 |
| 47 | 1.217 | 0.095 |
| 51 | 1.266 | 0.091 |

| Ind.vertice | T | a/g |
|-------------|-------|-------|
| 4 | 0.681 | 0.17 |
| 8 | 0.731 | 0.158 |
| 12 | 0.781 | 0.148 |
| 16 | 0.83 | 0.139 |
| 20 | 0.88 | 0.132 |
| 24 | 0.93 | 0.124 |
| 28 | 0.98 | 0.118 |
| 32 | 1.03 | 0.112 |
| 36 | 1.08 | 0.107 |
| 40 | 1.129 | 0.103 |
| 44 | 1.179 | 0.098 |
| 48 | 1.229 | 0.094 |
| 52 | 1.279 | 0.091 |

Porto di Bari - Dente di attracco alla banchina Capitaneria

| Ind.vertice | T | a/g |
|-------------|-------|-------|-------------|-------|-------|-------------|-------|-------|-------------|-------|-------|
| 53 | 1.291 | 0.09 | 54 | 1.304 | 0.089 | 55 | 1.316 | 0.088 | 56 | 1.329 | 0.087 |
| 57 | 1.341 | 0.086 | 58 | 1.354 | 0.086 | 59 | 1.366 | 0.085 | 60 | 1.378 | 0.084 |
| 61 | 1.391 | 0.083 | 62 | 1.403 | 0.083 | 63 | 1.416 | 0.082 | 64 | 1.428 | 0.081 |
| 65 | 1.441 | 0.08 | 66 | 1.453 | 0.08 | 67 | 1.466 | 0.079 | 68 | 1.478 | 0.078 |
| 69 | 1.49 | 0.078 | 70 | 1.503 | 0.077 | 71 | 1.515 | 0.076 | 72 | 1.528 | 0.076 |
| 73 | 1.54 | 0.075 | 74 | 1.553 | 0.075 | 75 | 1.565 | 0.074 | 76 | 1.578 | 0.073 |
| 77 | 1.59 | 0.073 | 78 | 1.603 | 0.072 | 79 | 1.615 | 0.072 | 80 | 1.627 | 0.071 |
| 81 | 1.64 | 0.071 | 82 | 1.652 | 0.07 | 83 | 1.665 | 0.07 | 84 | 1.677 | 0.069 |
| 85 | 1.69 | 0.069 | 86 | 1.702 | 0.068 | 87 | 1.715 | 0.068 | 88 | 1.727 | 0.067 |
| 89 | 1.74 | 0.067 | 90 | 1.752 | 0.066 | 91 | 1.764 | 0.066 | 92 | 1.777 | 0.065 |
| 93 | 1.789 | 0.065 | 94 | 1.802 | 0.064 | 95 | 1.814 | 0.064 | 96 | 1.827 | 0.063 |
| 97 | 1.839 | 0.063 | 98 | 1.852 | 0.063 | 99 | 1.864 | 0.062 | 100 | 1.877 | 0.062 |
| 101 | 1.889 | 0.061 | 102 | 1.901 | 0.061 | 103 | 1.914 | 0.06 | 104 | 1.926 | 0.06 |
| 105 | 1.976 | 0.057 | 106 | 2.026 | 0.054 | 107 | 2.076 | 0.052 | 108 | 2.126 | 0.049 |
| 109 | 2.176 | 0.047 | 110 | 2.226 | 0.045 | 111 | 2.276 | 0.043 | 112 | 2.326 | 0.041 |
| 113 | 2.376 | 0.039 | 114 | 2.426 | 0.038 | 115 | 2.476 | 0.036 | 116 | 2.526 | 0.035 |
| 117 | 2.576 | 0.034 | 118 | 2.626 | 0.032 | 119 | 2.676 | 0.031 | 120 | 2.726 | 0.03 |
| 121 | 2.776 | 0.029 | 122 | 2.826 | 0.028 | 123 | 2.876 | 0.027 | 124 | 2.926 | 0.026 |
| 125 | 2.976 | 0.025 | 126 | 3.026 | 0.024 | 127 | 3.076 | 0.024 | 128 | 3.126 | 0.023 |
| 129 | 3.176 | 0.022 | 130 | 3.226 | 0.021 | 131 | 3.276 | 0.021 | 132 | 3.326 | 0.02 |
| 133 | 3.376 | 0.02 | 134 | 3.426 | 0.019 | 135 | 3.476 | 0.018 | 136 | 3.526 | 0.018 |
| 137 | 3.576 | 0.017 | 138 | 3.626 | 0.017 | 139 | 3.676 | 0.017 | 140 | 3.726 | 0.016 |
| 141 | 3.776 | 0.016 | 142 | 3.826 | 0.016 | 143 | 3.876 | 0.016 | 144 | 3.926 | 0.016 |
| 145 | 3.976 | 0.016 | 146 | 4.026 | 0.016 | 147 | 4.076 | 0.016 | 148 | 4.126 | 0.016 |
| 149 | 4.176 | 0.016 | 150 | 4.226 | 0.016 | 151 | 4.276 | 0.016 | 152 | 4.326 | 0.016 |
| 153 | 4.376 | 0.016 | 154 | 4.426 | 0.016 | 155 | 4.476 | 0.016 | 156 | 4.526 | 0.016 |
| 157 | 4.576 | 0.016 | 158 | 4.626 | 0.016 | 159 | 4.676 | 0.016 | 160 | 4.726 | 0.016 |
| 161 | 4.776 | 0.016 | 162 | 4.826 | 0.016 | 163 | 4.876 | 0.016 | 164 | 4.926 | 0.016 |

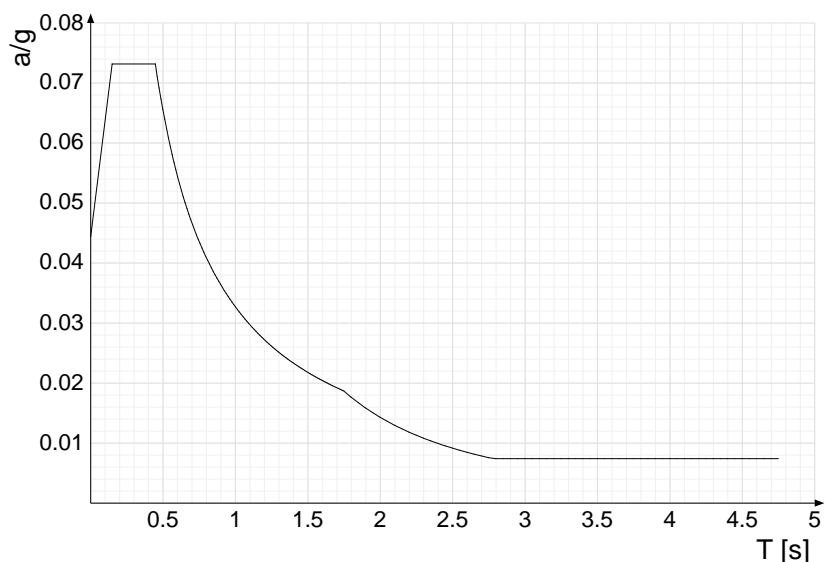
Sisma Y SLV



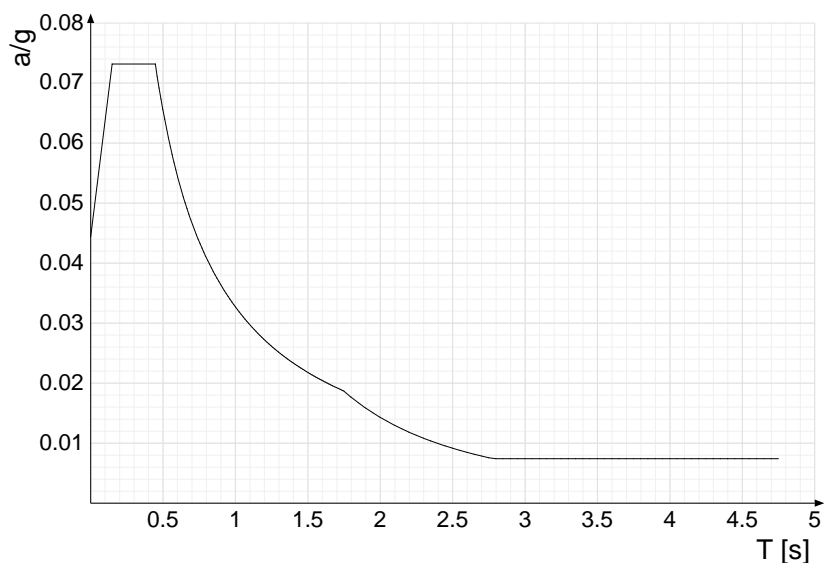
| Ind.vertice | T | a/g |
|-------------|-------|-------|-------------|-------|-------|-------------|-------|-------|-------------|-------|-------|
| 1 | 0 | 0.098 | 2 | 0.223 | 0.173 | 3 | 0.669 | 0.173 | 4 | 0.681 | 0.17 |
| 5 | 0.693 | 0.167 | 6 | 0.706 | 0.164 | 7 | 0.718 | 0.161 | 8 | 0.731 | 0.158 |
| 9 | 0.743 | 0.156 | 10 | 0.756 | 0.153 | 11 | 0.768 | 0.151 | 12 | 0.781 | 0.148 |
| 13 | 0.793 | 0.146 | 14 | 0.806 | 0.144 | 15 | 0.818 | 0.142 | 16 | 0.83 | 0.139 |
| 17 | 0.843 | 0.137 | 18 | 0.855 | 0.135 | 19 | 0.868 | 0.133 | 20 | 0.88 | 0.132 |
| 21 | 0.893 | 0.13 | 22 | 0.905 | 0.128 | 23 | 0.918 | 0.126 | 24 | 0.93 | 0.124 |
| 25 | 0.943 | 0.123 | 26 | 0.955 | 0.121 | 27 | 0.967 | 0.12 | 28 | 0.98 | 0.118 |
| 29 | 0.992 | 0.117 | 30 | 1.005 | 0.115 | 31 | 1.017 | 0.114 | 32 | 1.03 | 0.112 |
| 33 | 1.042 | 0.111 | 34 | 1.055 | 0.11 | 35 | 1.067 | 0.109 | 36 | 1.08 | 0.107 |
| 37 | 1.092 | 0.106 | 38 | 1.104 | 0.105 | 39 | 1.117 | 0.104 | 40 | 1.129 | 0.103 |
| 41 | 1.142 | 0.101 | 42 | 1.154 | 0.1 | 43 | 1.167 | 0.099 | 44 | 1.179 | 0.098 |
| 45 | 1.192 | 0.097 | 46 | 1.204 | 0.096 | 47 | 1.217 | 0.095 | 48 | 1.229 | 0.094 |
| 49 | 1.241 | 0.093 | 50 | 1.254 | 0.092 | 51 | 1.266 | 0.091 | 52 | 1.279 | 0.091 |
| 53 | 1.291 | 0.09 | 54 | 1.304 | 0.089 | 55 | 1.316 | 0.088 | 56 | 1.329 | 0.087 |
| 57 | 1.341 | 0.086 | 58 | 1.354 | 0.086 | 59 | 1.366 | 0.085 | 60 | 1.378 | 0.084 |
| 61 | 1.391 | 0.083 | 62 | 1.403 | 0.083 | 63 | 1.416 | 0.082 | 64 | 1.428 | 0.081 |
| 65 | 1.441 | 0.08 | 66 | 1.453 | 0.08 | 67 | 1.466 | 0.079 | 68 | 1.478 | 0.078 |
| 69 | 1.49 | 0.078 | 70 | 1.503 | 0.077 | 71 | 1.515 | 0.076 | 72 | 1.528 | 0.076 |
| 73 | 1.54 | 0.075 | 74 | 1.553 | 0.075 | 75 | 1.565 | 0.074 | 76 | 1.578 | 0.073 |
| 77 | 1.59 | 0.073 | 78 | 1.603 | 0.072 | 79 | 1.615 | 0.072 | 80 | 1.627 | 0.071 |
| 81 | 1.64 | 0.071 | 82 | 1.652 | 0.07 | 83 | 1.665 | 0.07 | 84 | 1.677 | 0.069 |
| 85 | 1.69 | 0.069 | 86 | 1.702 | 0.068 | 87 | 1.715 | 0.068 | 88 | 1.727 | 0.067 |
| 89 | 1.74 | 0.067 | 90 | 1.752 | 0.066 | 91 | 1.764 | 0.066 | 92 | 1.777 | 0.065 |
| 93 | 1.789 | 0.065 | 94 | 1.802 | 0.064 | 95 | 1.814 | 0.064 | 96 | 1.827 | 0.063 |
| 97 | 1.839 | 0.063 | 98 | 1.852 | 0.063 | 99 | 1.864 | 0.062 | 100 | 1.877 | 0.062 |
| 101 | 1.889 | 0.061 | 102 | 1.901 | 0.061 | 103 | 1.914 | 0.06 | 104 | 1.926 | 0.06 |
| 105 | 1.976 | 0.057 | 106 | 2.026 | 0.054 | 107 | 2.076 | 0.052 | 108 | 2.126 | 0.049 |
| 109 | 2.176 | 0.047 | 110 | 2.226 | 0.045 | 111 | 2.276 | 0.043 | 112 | 2.326 | 0.041 |
| 113 | 2.376 | 0.039 | 114 | 2.426 | 0.038 | 115 | 2.476 | 0.036 | 116 | 2.526 | 0.035 |
| 117 | 2.576 | 0.034 | 118 | 2.626 | 0.032 | 119 | 2.676 | 0.031 | 120 | 2.726 | 0.03 |
| 121 | 2.776 | 0.029 | 122 | 2.826 | 0.028 | 123 | 2.876 | 0.027 | 124 | 2.926 | 0.026 |
| 125 | 2.976 | 0.025 | 126 | 3.026 | 0.024 | 127 | 3.076 | 0.024 | 128 | 3.126 | 0.023 |
| 129 | 3.176 | 0.022 | 130 | 3.226 | 0.021 | 131 | 3.276 | 0.021 | 132 | 3.326 | 0.02 |
| 133 | 3.376 | 0.02 | 134 | 3.426 | 0.019 | 135 | 3.476 | 0.018 | 136 | 3.526 | 0.018 |
| 137 | 3.576 | 0.017 | 138 | 3.626 | 0.017 | 139 | 3.676 | 0.017 | 140 | 3.726 | 0.016 |
| 141 | 3.776 | 0.016 | 142 | 3.826 | 0.016 | 143 | 3.876 | 0.016 | 144 | 3.926 | 0.016 |
| 145 | 3.976 | 0.016 | 146 | 4.026 | 0.016 | 147 | 4.076 | 0.016 | 148 | 4.126 | 0.016 |
| 149 | 4.176 | 0.016 | 150 | 4.226 | 0.016 | 151 | 4.276 | 0.016 | 152 | 4.326 | 0.016 |

| Ind.vertice | T | a/g |
|-------------|-------|-------|-------------|-------|-------|-------------|-------|-------|-------------|-------|-------|
| 153 | 4.376 | 0.016 | 154 | 4.426 | 0.016 | 155 | 4.476 | 0.016 | 156 | 4.526 | 0.016 |
| 157 | 4.576 | 0.016 | 158 | 4.626 | 0.016 | 159 | 4.676 | 0.016 | 160 | 4.726 | 0.016 |
| 161 | 4.776 | 0.016 | 162 | 4.826 | 0.016 | 163 | 4.876 | 0.016 | 164 | 4.926 | 0.016 |

Sisma X SLD

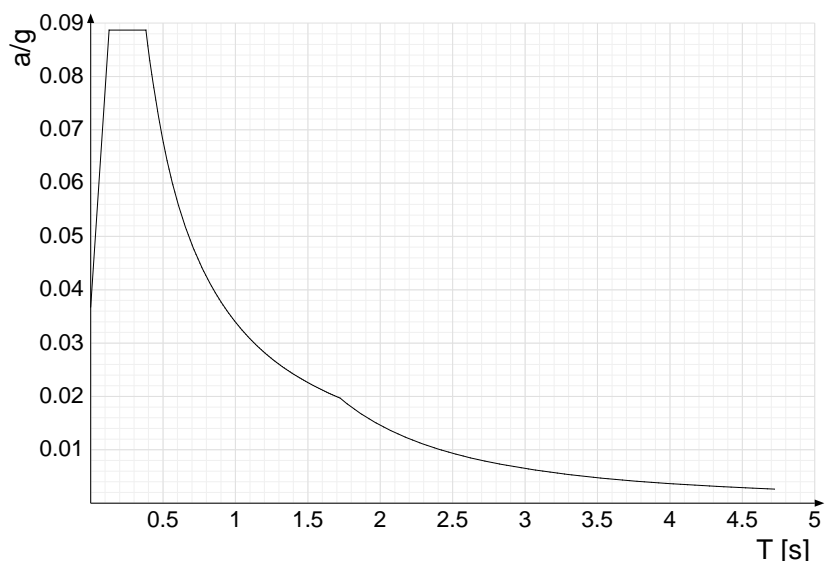


| Ind.vertice | T | a/g |
|-------------|-------|-------|-------------|-------|-------|-------------|-------|-------|-------------|-------|-------|
| 1 | 0 | 0.044 | 2 | 0.149 | 0.073 | 3 | 0.446 | 0.073 | 4 | 0.459 | 0.071 |
| 5 | 0.472 | 0.069 | 6 | 0.485 | 0.067 | 7 | 0.498 | 0.066 | 8 | 0.511 | 0.064 |
| 9 | 0.524 | 0.062 | 10 | 0.537 | 0.061 | 11 | 0.55 | 0.059 | 12 | 0.562 | 0.058 |
| 13 | 0.575 | 0.057 | 14 | 0.588 | 0.056 | 15 | 0.601 | 0.054 | 16 | 0.614 | 0.053 |
| 17 | 0.627 | 0.052 | 18 | 0.64 | 0.051 | 19 | 0.653 | 0.05 | 20 | 0.666 | 0.049 |
| 21 | 0.678 | 0.048 | 22 | 0.691 | 0.047 | 23 | 0.704 | 0.046 | 24 | 0.717 | 0.046 |
| 25 | 0.73 | 0.045 | 26 | 0.743 | 0.044 | 27 | 0.756 | 0.043 | 28 | 0.769 | 0.043 |
| 29 | 0.782 | 0.042 | 30 | 0.794 | 0.041 | 31 | 0.807 | 0.04 | 32 | 0.82 | 0.04 |
| 33 | 0.833 | 0.039 | 34 | 0.846 | 0.039 | 35 | 0.859 | 0.038 | 36 | 0.872 | 0.037 |
| 37 | 0.885 | 0.037 | 38 | 0.897 | 0.036 | 39 | 0.91 | 0.036 | 40 | 0.923 | 0.035 |
| 41 | 0.936 | 0.035 | 42 | 0.949 | 0.034 | 43 | 0.962 | 0.034 | 44 | 0.975 | 0.034 |
| 45 | 0.988 | 0.033 | 46 | 1.001 | 0.033 | 47 | 1.013 | 0.032 | 48 | 1.026 | 0.032 |
| 49 | 1.039 | 0.031 | 50 | 1.052 | 0.031 | 51 | 1.065 | 0.031 | 52 | 1.078 | 0.03 |
| 53 | 1.091 | 0.03 | 54 | 1.104 | 0.03 | 55 | 1.117 | 0.029 | 56 | 1.129 | 0.029 |
| 57 | 1.142 | 0.029 | 58 | 1.155 | 0.028 | 59 | 1.168 | 0.028 | 60 | 1.181 | 0.028 |
| 61 | 1.194 | 0.027 | 62 | 1.207 | 0.027 | 63 | 1.22 | 0.027 | 64 | 1.233 | 0.027 |
| 65 | 1.245 | 0.026 | 66 | 1.258 | 0.026 | 67 | 1.271 | 0.026 | 68 | 1.284 | 0.025 |
| 69 | 1.297 | 0.025 | 70 | 1.31 | 0.025 | 71 | 1.323 | 0.025 | 72 | 1.336 | 0.024 |
| 73 | 1.349 | 0.024 | 74 | 1.361 | 0.024 | 75 | 1.374 | 0.024 | 76 | 1.387 | 0.024 |
| 77 | 1.4 | 0.023 | 78 | 1.413 | 0.023 | 79 | 1.426 | 0.023 | 80 | 1.439 | 0.023 |
| 81 | 1.452 | 0.023 | 82 | 1.464 | 0.022 | 83 | 1.477 | 0.022 | 84 | 1.49 | 0.022 |
| 85 | 1.503 | 0.022 | 86 | 1.516 | 0.022 | 87 | 1.529 | 0.021 | 88 | 1.542 | 0.021 |
| 89 | 1.555 | 0.021 | 90 | 1.568 | 0.021 | 91 | 1.58 | 0.021 | 92 | 1.593 | 0.021 |
| 93 | 1.606 | 0.02 | 94 | 1.619 | 0.02 | 95 | 1.632 | 0.02 | 96 | 1.645 | 0.02 |
| 97 | 1.658 | 0.02 | 98 | 1.671 | 0.02 | 99 | 1.684 | 0.019 | 100 | 1.696 | 0.019 |
| 101 | 1.709 | 0.019 | 102 | 1.722 | 0.019 | 103 | 1.735 | 0.019 | 104 | 1.748 | 0.019 |
| 105 | 1.798 | 0.018 | 106 | 1.848 | 0.017 | 107 | 1.898 | 0.016 | 108 | 1.948 | 0.015 |
| 109 | 1.998 | 0.014 | 110 | 2.048 | 0.014 | 111 | 2.098 | 0.013 | 112 | 2.148 | 0.012 |
| 113 | 2.198 | 0.012 | 114 | 2.248 | 0.011 | 115 | 2.298 | 0.011 | 116 | 2.348 | 0.01 |
| 117 | 2.398 | 0.01 | 118 | 2.448 | 0.01 | 119 | 2.498 | 0.009 | 120 | 2.548 | 0.009 |
| 121 | 2.598 | 0.008 | 122 | 2.648 | 0.008 | 123 | 2.698 | 0.008 | 124 | 2.748 | 0.008 |
| 125 | 2.798 | 0.007 | 126 | 2.848 | 0.007 | 127 | 2.898 | 0.007 | 128 | 2.948 | 0.007 |
| 129 | 2.998 | 0.007 | 130 | 3.048 | 0.007 | 131 | 3.098 | 0.007 | 132 | 3.148 | 0.007 |
| 133 | 3.198 | 0.007 | 134 | 3.248 | 0.007 | 135 | 3.298 | 0.007 | 136 | 3.348 | 0.007 |
| 137 | 3.398 | 0.007 | 138 | 3.448 | 0.007 | 139 | 3.498 | 0.007 | 140 | 3.548 | 0.007 |
| 141 | 3.598 | 0.007 | 142 | 3.648 | 0.007 | 143 | 3.698 | 0.007 | 144 | 3.748 | 0.007 |
| 145 | 3.798 | 0.007 | 146 | 3.848 | 0.007 | 147 | 3.898 | 0.007 | 148 | 3.948 | 0.007 |
| 149 | 3.998 | 0.007 | 150 | 4.048 | 0.007 | 151 | 4.098 | 0.007 | 152 | 4.148 | 0.007 |
| 153 | 4.198 | 0.007 | 154 | 4.248 | 0.007 | 155 | 4.298 | 0.007 | 156 | 4.348 | 0.007 |
| 157 | 4.398 | 0.007 | 158 | 4.448 | 0.007 | 159 | 4.498 | 0.007 | 160 | 4.548 | 0.007 |
| 161 | 4.598 | 0.007 | 162 | 4.648 | 0.007 | 163 | 4.698 | 0.007 | 164 | 4.748 | 0.007 |

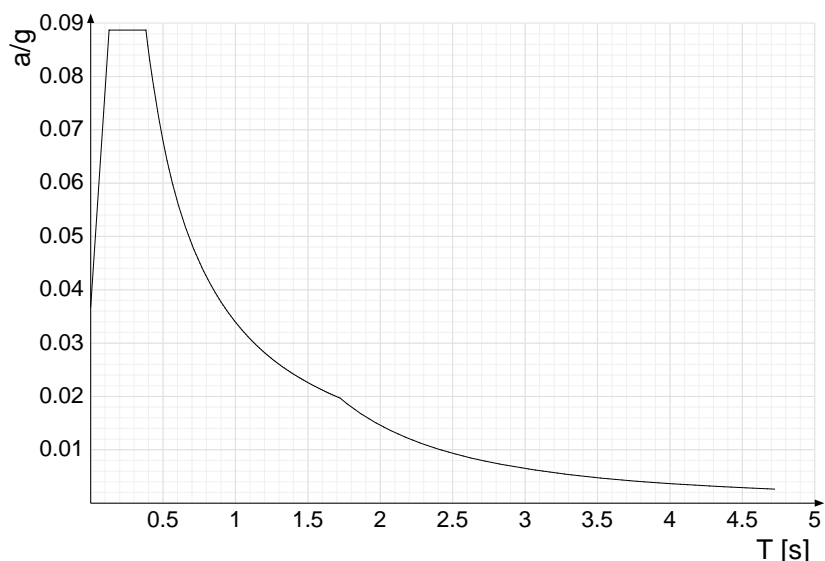


| Ind.vertice | T | a/g |
|-------------|-------|-------|-------------|-------|-------|-------------|-------|-------|-------------|-------|-------|
| 1 | 0 | 0.044 | 2 | 0.149 | 0.073 | 3 | 0.446 | 0.073 | 4 | 0.459 | 0.071 |
| 5 | 0.472 | 0.069 | 6 | 0.485 | 0.067 | 7 | 0.498 | 0.066 | 8 | 0.511 | 0.064 |
| 9 | 0.524 | 0.062 | 10 | 0.537 | 0.061 | 11 | 0.55 | 0.059 | 12 | 0.562 | 0.058 |
| 13 | 0.575 | 0.057 | 14 | 0.588 | 0.056 | 15 | 0.601 | 0.054 | 16 | 0.614 | 0.053 |
| 17 | 0.627 | 0.052 | 18 | 0.64 | 0.051 | 19 | 0.653 | 0.05 | 20 | 0.666 | 0.049 |
| 21 | 0.678 | 0.048 | 22 | 0.691 | 0.047 | 23 | 0.704 | 0.046 | 24 | 0.717 | 0.046 |
| 25 | 0.73 | 0.045 | 26 | 0.743 | 0.044 | 27 | 0.756 | 0.043 | 28 | 0.769 | 0.043 |
| 29 | 0.782 | 0.042 | 30 | 0.794 | 0.041 | 31 | 0.807 | 0.04 | 32 | 0.82 | 0.04 |
| 33 | 0.833 | 0.039 | 34 | 0.846 | 0.039 | 35 | 0.859 | 0.038 | 36 | 0.872 | 0.037 |
| 37 | 0.885 | 0.037 | 38 | 0.897 | 0.036 | 39 | 0.91 | 0.036 | 40 | 0.923 | 0.035 |
| 41 | 0.936 | 0.035 | 42 | 0.949 | 0.034 | 43 | 0.962 | 0.034 | 44 | 0.975 | 0.034 |
| 45 | 0.988 | 0.033 | 46 | 1.001 | 0.033 | 47 | 1.013 | 0.032 | 48 | 1.026 | 0.032 |
| 49 | 1.039 | 0.031 | 50 | 1.052 | 0.031 | 51 | 1.065 | 0.031 | 52 | 1.078 | 0.03 |
| 53 | 1.091 | 0.03 | 54 | 1.104 | 0.03 | 55 | 1.117 | 0.029 | 56 | 1.129 | 0.029 |
| 57 | 1.142 | 0.029 | 58 | 1.155 | 0.028 | 59 | 1.168 | 0.028 | 60 | 1.181 | 0.028 |
| 61 | 1.194 | 0.027 | 62 | 1.207 | 0.027 | 63 | 1.22 | 0.027 | 64 | 1.233 | 0.027 |
| 65 | 1.245 | 0.026 | 66 | 1.258 | 0.026 | 67 | 1.271 | 0.026 | 68 | 1.284 | 0.025 |
| 69 | 1.297 | 0.025 | 70 | 1.31 | 0.025 | 71 | 1.323 | 0.025 | 72 | 1.336 | 0.024 |
| 73 | 1.349 | 0.024 | 74 | 1.361 | 0.024 | 75 | 1.374 | 0.024 | 76 | 1.387 | 0.024 |
| 77 | 1.4 | 0.023 | 78 | 1.413 | 0.023 | 79 | 1.426 | 0.023 | 80 | 1.439 | 0.023 |
| 81 | 1.452 | 0.023 | 82 | 1.464 | 0.022 | 83 | 1.477 | 0.022 | 84 | 1.49 | 0.022 |
| 85 | 1.503 | 0.022 | 86 | 1.516 | 0.022 | 87 | 1.529 | 0.021 | 88 | 1.542 | 0.021 |
| 89 | 1.555 | 0.021 | 90 | 1.568 | 0.021 | 91 | 1.58 | 0.021 | 92 | 1.593 | 0.021 |
| 93 | 1.606 | 0.02 | 94 | 1.619 | 0.02 | 95 | 1.632 | 0.02 | 96 | 1.645 | 0.02 |
| 97 | 1.658 | 0.02 | 98 | 1.671 | 0.02 | 99 | 1.684 | 0.019 | 100 | 1.696 | 0.019 |
| 101 | 1.709 | 0.019 | 102 | 1.722 | 0.019 | 103 | 1.735 | 0.019 | 104 | 1.748 | 0.019 |
| 105 | 1.798 | 0.018 | 106 | 1.848 | 0.017 | 107 | 1.898 | 0.016 | 108 | 1.948 | 0.015 |
| 109 | 1.998 | 0.014 | 110 | 2.048 | 0.014 | 111 | 2.098 | 0.013 | 112 | 2.148 | 0.012 |
| 113 | 2.198 | 0.012 | 114 | 2.248 | 0.011 | 115 | 2.298 | 0.011 | 116 | 2.348 | 0.01 |
| 117 | 2.398 | 0.01 | 118 | 2.448 | 0.01 | 119 | 2.498 | 0.009 | 120 | 2.548 | 0.009 |
| 121 | 2.598 | 0.008 | 122 | 2.648 | 0.008 | 123 | 2.698 | 0.008 | 124 | 2.748 | 0.008 |
| 125 | 2.798 | 0.007 | 126 | 2.848 | 0.007 | 127 | 2.898 | 0.007 | 128 | 2.948 | 0.007 |
| 129 | 2.998 | 0.007 | 130 | 3.048 | 0.007 | 131 | 3.098 | 0.007 | 132 | 3.148 | 0.007 |
| 133 | 3.198 | 0.007 | 134 | 3.248 | 0.007 | 135 | 3.298 | 0.007 | 136 | 3.348 | 0.007 |
| 137 | 3.398 | 0.007 | 138 | 3.448 | 0.007 | 139 | 3.498 | 0.007 | 140 | 3.548 | 0.007 |
| 141 | 3.598 | 0.007 | 142 | 3.648 | 0.007 | 143 | 3.698 | 0.007 | 144 | 3.748 | 0.007 |
| 145 | 3.798 | 0.007 | 146 | 3.848 | 0.007 | 147 | 3.898 | 0.007 | 148 | 3.948 | 0.007 |
| 149 | 3.998 | 0.007 | 150 | 4.048 | 0.007 | 151 | 4.098 | 0.007 | 152 | 4.148 | 0.007 |
| 153 | 4.198 | 0.007 | 154 | 4.248 | 0.007 | 155 | 4.298 | 0.007 | 156 | 4.348 | 0.007 |
| 157 | 4.398 | 0.007 | 158 | 4.448 | 0.007 | 159 | 4.498 | 0.007 | 160 | 4.548 | 0.007 |
| 161 | 4.598 | 0.007 | 162 | 4.648 | 0.007 | 163 | 4.698 | 0.007 | 164 | 4.748 | 0.007 |

Sisma X SLO



| Ind.vertice | T | a/g |
|-------------|-------|-------|-------------|-------|-------|-------------|-------|-------|-------------|-------|-------|
| 1 | 0 | 0.037 | 2 | 0.127 | 0.089 | 3 | 0.382 | 0.089 | 4 | 0.396 | 0.086 |
| 5 | 0.409 | 0.083 | 6 | 0.422 | 0.08 | 7 | 0.435 | 0.078 | 8 | 0.449 | 0.076 |
| 9 | 0.462 | 0.073 | 10 | 0.475 | 0.071 | 11 | 0.488 | 0.069 | 12 | 0.502 | 0.068 |
| 13 | 0.515 | 0.066 | 14 | 0.528 | 0.064 | 15 | 0.542 | 0.063 | 16 | 0.555 | 0.061 |
| 17 | 0.568 | 0.06 | 18 | 0.581 | 0.058 | 19 | 0.595 | 0.057 | 20 | 0.608 | 0.056 |
| 21 | 0.621 | 0.055 | 22 | 0.634 | 0.053 | 23 | 0.648 | 0.052 | 24 | 0.661 | 0.051 |
| 25 | 0.674 | 0.05 | 26 | 0.688 | 0.049 | 27 | 0.701 | 0.048 | 28 | 0.714 | 0.047 |
| 29 | 0.727 | 0.047 | 30 | 0.741 | 0.046 | 31 | 0.754 | 0.045 | 32 | 0.767 | 0.044 |
| 33 | 0.78 | 0.043 | 34 | 0.794 | 0.043 | 35 | 0.807 | 0.042 | 36 | 0.82 | 0.041 |
| 37 | 0.833 | 0.041 | 38 | 0.847 | 0.04 | 39 | 0.86 | 0.039 | 40 | 0.873 | 0.039 |
| 41 | 0.887 | 0.038 | 42 | 0.9 | 0.038 | 43 | 0.913 | 0.037 | 44 | 0.926 | 0.037 |
| 45 | 0.94 | 0.036 | 46 | 0.953 | 0.036 | 47 | 0.966 | 0.035 | 48 | 0.979 | 0.035 |
| 49 | 0.993 | 0.034 | 50 | 1.006 | 0.034 | 51 | 1.019 | 0.033 | 52 | 1.033 | 0.033 |
| 53 | 1.046 | 0.032 | 54 | 1.059 | 0.032 | 55 | 1.072 | 0.032 | 56 | 1.086 | 0.031 |
| 57 | 1.099 | 0.031 | 58 | 1.112 | 0.03 | 59 | 1.125 | 0.03 | 60 | 1.139 | 0.03 |
| 61 | 1.152 | 0.029 | 62 | 1.165 | 0.029 | 63 | 1.178 | 0.029 | 64 | 1.192 | 0.028 |
| 65 | 1.205 | 0.028 | 66 | 1.218 | 0.028 | 67 | 1.232 | 0.028 | 68 | 1.245 | 0.027 |
| 69 | 1.258 | 0.027 | 70 | 1.271 | 0.027 | 71 | 1.285 | 0.026 | 72 | 1.298 | 0.026 |
| 73 | 1.311 | 0.026 | 74 | 1.324 | 0.026 | 75 | 1.338 | 0.025 | 76 | 1.351 | 0.025 |
| 77 | 1.364 | 0.025 | 78 | 1.378 | 0.025 | 79 | 1.391 | 0.024 | 80 | 1.404 | 0.024 |
| 81 | 1.417 | 0.024 | 82 | 1.431 | 0.024 | 83 | 1.444 | 0.023 | 84 | 1.457 | 0.023 |
| 85 | 1.47 | 0.023 | 86 | 1.484 | 0.023 | 87 | 1.497 | 0.023 | 88 | 1.51 | 0.022 |
| 89 | 1.523 | 0.022 | 90 | 1.537 | 0.022 | 91 | 1.55 | 0.022 | 92 | 1.563 | 0.022 |
| 93 | 1.577 | 0.022 | 94 | 1.59 | 0.021 | 95 | 1.603 | 0.021 | 96 | 1.616 | 0.021 |
| 97 | 1.63 | 0.021 | 98 | 1.643 | 0.021 | 99 | 1.656 | 0.02 | 100 | 1.669 | 0.02 |
| 101 | 1.683 | 0.02 | 102 | 1.696 | 0.02 | 103 | 1.709 | 0.02 | 104 | 1.723 | 0.02 |
| 105 | 1.773 | 0.019 | 106 | 1.823 | 0.018 | 107 | 1.873 | 0.017 | 108 | 1.923 | 0.016 |
| 109 | 1.973 | 0.015 | 110 | 2.023 | 0.014 | 111 | 2.073 | 0.014 | 112 | 2.123 | 0.013 |
| 113 | 2.173 | 0.012 | 114 | 2.223 | 0.012 | 115 | 2.273 | 0.011 | 116 | 2.323 | 0.011 |
| 117 | 2.373 | 0.01 | 118 | 2.423 | 0.01 | 119 | 2.473 | 0.01 | 120 | 2.523 | 0.009 |
| 121 | 2.573 | 0.009 | 122 | 2.623 | 0.008 | 123 | 2.673 | 0.008 | 124 | 2.723 | 0.008 |
| 125 | 2.773 | 0.008 | 126 | 2.823 | 0.007 | 127 | 2.873 | 0.007 | 128 | 2.923 | 0.007 |
| 129 | 2.973 | 0.007 | 130 | 3.023 | 0.006 | 131 | 3.073 | 0.006 | 132 | 3.123 | 0.006 |
| 133 | 3.173 | 0.006 | 134 | 3.223 | 0.006 | 135 | 3.273 | 0.005 | 136 | 3.323 | 0.005 |
| 137 | 3.373 | 0.005 | 138 | 3.423 | 0.005 | 139 | 3.473 | 0.005 | 140 | 3.523 | 0.005 |
| 141 | 3.573 | 0.005 | 142 | 3.623 | 0.004 | 143 | 3.673 | 0.004 | 144 | 3.723 | 0.004 |
| 145 | 3.773 | 0.004 | 146 | 3.823 | 0.004 | 147 | 3.873 | 0.004 | 148 | 3.923 | 0.004 |
| 149 | 3.973 | 0.004 | 150 | 4.023 | 0.004 | 151 | 4.073 | 0.004 | 152 | 4.123 | 0.003 |
| 153 | 4.173 | 0.003 | 154 | 4.223 | 0.003 | 155 | 4.273 | 0.003 | 156 | 4.323 | 0.003 |
| 157 | 4.373 | 0.003 | 158 | 4.423 | 0.003 | 159 | 4.473 | 0.003 | 160 | 4.523 | 0.003 |
| 161 | 4.573 | 0.003 | 162 | 4.623 | 0.003 | 163 | 4.673 | 0.003 | 164 | 4.723 | 0.003 |



| Ind.vertice | T | a/g |
|-------------|-------|-------|-------------|-------|-------|-------------|-------|-------|-------------|-------|-------|
| 1 | 0 | 0.037 | 2 | 0.127 | 0.089 | 3 | 0.382 | 0.089 | 4 | 0.396 | 0.086 |
| 5 | 0.409 | 0.083 | 6 | 0.422 | 0.08 | 7 | 0.435 | 0.078 | 8 | 0.449 | 0.076 |
| 9 | 0.462 | 0.073 | 10 | 0.475 | 0.071 | 11 | 0.488 | 0.069 | 12 | 0.502 | 0.068 |
| 13 | 0.515 | 0.066 | 14 | 0.528 | 0.064 | 15 | 0.542 | 0.063 | 16 | 0.555 | 0.061 |
| 17 | 0.568 | 0.06 | 18 | 0.581 | 0.058 | 19 | 0.595 | 0.057 | 20 | 0.608 | 0.056 |
| 21 | 0.621 | 0.055 | 22 | 0.634 | 0.053 | 23 | 0.648 | 0.052 | 24 | 0.661 | 0.051 |
| 25 | 0.674 | 0.05 | 26 | 0.688 | 0.049 | 27 | 0.701 | 0.048 | 28 | 0.714 | 0.047 |
| 29 | 0.727 | 0.047 | 30 | 0.741 | 0.046 | 31 | 0.754 | 0.045 | 32 | 0.767 | 0.044 |
| 33 | 0.78 | 0.043 | 34 | 0.794 | 0.043 | 35 | 0.807 | 0.042 | 36 | 0.82 | 0.041 |
| 37 | 0.833 | 0.041 | 38 | 0.847 | 0.04 | 39 | 0.86 | 0.039 | 40 | 0.873 | 0.039 |
| 41 | 0.887 | 0.038 | 42 | 0.9 | 0.038 | 43 | 0.913 | 0.037 | 44 | 0.926 | 0.037 |
| 45 | 0.94 | 0.036 | 46 | 0.953 | 0.036 | 47 | 0.966 | 0.035 | 48 | 0.979 | 0.035 |
| 49 | 0.993 | 0.034 | 50 | 1.006 | 0.034 | 51 | 1.019 | 0.033 | 52 | 1.033 | 0.033 |
| 53 | 1.046 | 0.032 | 54 | 1.059 | 0.032 | 55 | 1.072 | 0.032 | 56 | 1.086 | 0.031 |
| 57 | 1.099 | 0.031 | 58 | 1.112 | 0.03 | 59 | 1.125 | 0.03 | 60 | 1.139 | 0.03 |
| 61 | 1.152 | 0.029 | 62 | 1.165 | 0.029 | 63 | 1.178 | 0.029 | 64 | 1.192 | 0.028 |
| 65 | 1.205 | 0.028 | 66 | 1.218 | 0.028 | 67 | 1.232 | 0.028 | 68 | 1.245 | 0.027 |
| 69 | 1.258 | 0.027 | 70 | 1.271 | 0.027 | 71 | 1.285 | 0.026 | 72 | 1.298 | 0.026 |
| 73 | 1.311 | 0.026 | 74 | 1.324 | 0.026 | 75 | 1.338 | 0.025 | 76 | 1.351 | 0.025 |
| 77 | 1.364 | 0.025 | 78 | 1.378 | 0.025 | 79 | 1.391 | 0.024 | 80 | 1.404 | 0.024 |
| 81 | 1.417 | 0.024 | 82 | 1.431 | 0.024 | 83 | 1.444 | 0.023 | 84 | 1.457 | 0.023 |
| 85 | 1.47 | 0.023 | 86 | 1.484 | 0.023 | 87 | 1.497 | 0.023 | 88 | 1.51 | 0.022 |
| 89 | 1.523 | 0.022 | 90 | 1.537 | 0.022 | 91 | 1.55 | 0.022 | 92 | 1.563 | 0.022 |
| 93 | 1.577 | 0.022 | 94 | 1.59 | 0.021 | 95 | 1.603 | 0.021 | 96 | 1.616 | 0.021 |
| 97 | 1.63 | 0.021 | 98 | 1.643 | 0.021 | 99 | 1.656 | 0.02 | 100 | 1.669 | 0.02 |
| 101 | 1.683 | 0.02 | 102 | 1.696 | 0.02 | 103 | 1.709 | 0.02 | 104 | 1.723 | 0.02 |
| 105 | 1.773 | 0.019 | 106 | 1.823 | 0.018 | 107 | 1.873 | 0.017 | 108 | 1.923 | 0.016 |
| 109 | 1.973 | 0.015 | 110 | 2.023 | 0.014 | 111 | 2.073 | 0.014 | 112 | 2.123 | 0.013 |
| 113 | 2.173 | 0.012 | 114 | 2.223 | 0.012 | 115 | 2.273 | 0.011 | 116 | 2.323 | 0.011 |
| 117 | 2.373 | 0.01 | 118 | 2.423 | 0.01 | 119 | 2.473 | 0.01 | 120 | 2.523 | 0.009 |
| 121 | 2.573 | 0.009 | 122 | 2.623 | 0.008 | 123 | 2.673 | 0.008 | 124 | 2.723 | 0.008 |
| 125 | 2.773 | 0.008 | 126 | 2.823 | 0.007 | 127 | 2.873 | 0.007 | 128 | 2.923 | 0.007 |
| 129 | 2.973 | 0.007 | 130 | 3.023 | 0.006 | 131 | 3.073 | 0.006 | 132 | 3.123 | 0.006 |
| 133 | 3.173 | 0.006 | 134 | 3.223 | 0.006 | 135 | 3.273 | 0.005 | 136 | 3.323 | 0.005 |
| 137 | 3.373 | 0.005 | 138 | 3.423 | 0.005 | 139 | 3.473 | 0.005 | 140 | 3.523 | 0.005 |
| 141 | 3.573 | 0.005 | 142 | 3.623 | 0.004 | 143 | 3.673 | 0.004 | 144 | 3.723 | 0.004 |
| 145 | 3.773 | 0.004 | 146 | 3.823 | 0.004 | 147 | 3.873 | 0.004 | 148 | 3.923 | 0.004 |
| 149 | 3.973 | 0.004 | 150 | 4.023 | 0.004 | 151 | 4.073 | 0.004 | 152 | 4.123 | 0.003 |
| 153 | 4.173 | 0.003 | 154 | 4.223 | 0.003 | 155 | 4.273 | 0.003 | 156 | 4.323 | 0.003 |
| 157 | 4.373 | 0.003 | 158 | 4.423 | 0.003 | 159 | 4.473 | 0.003 | 160 | 4.523 | 0.003 |
| 161 | 4.573 | 0.003 | 162 | 4.623 | 0.003 | 163 | 4.673 | 0.003 | 164 | 4.723 | 0.003 |